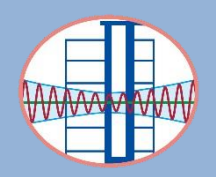
# 105 年度 國家地震工程研究中心 研究成果報告





財團法人國家實驗研究院國家地震工程研究中心中華民國 106 年 5 月 31 日

# 目 録

- 1 耐震設計規範之檢討與改進對策 鄧崇任、翁元滔、邱世彬、郭俊翔、盧志杰、柴駿甫、簡文郁、林克強、林瑞良、 洪曉慧、汪向榮、許尚逸、張毓文、林凡茹
- 5 自來水池狀結構耐震設計規範研擬 翁元滔、鍾立來、劉季宇、林敏郎、沈文成、李昭賢
- 9 美濃地震液化災損調查及簡易評估 盧志杰、許尚逸、黃郁惟、黃俊鴻
- 13 美濃地震台南地區土壤液化災害之復舊工法調查 楊炫智、盧志杰、許尚逸、張為光、黃俊鴻、陳正興
- 17 斷層錯動量評估 簡文郁、張喭汝、劉勛仁、張毓文、張志偉
- 21 台灣西南部間歇性泥火山之研究 瓦里亞、林世榮、亞耳文、宋翊羣、傅慶州、溫國樑
- 25 利用微地動單站頻譜比擬合技術建構宜蘭盆地剪力波速度構造 林哲民、方熙蒂、郭俊翔、黃雋彦、溫國樑
- 29 美濃地震近震源區域的強地動與場址放大特性 郭俊翔、林哲民、黃雋彦、許丁友、趙書賢、溫國樑
- 33 基於經驗轉換函數進行山腳斷層之高頻強地動模擬-測試不同斷層 滑移量模型 黃雋彦、溫國樑、林哲民、郭俊翔
- 37 台灣西南部地殼活動監測(III) 張議仁、溫士忠、溫怡瑛、林哲民
- 41 平面不對稱建築物之頂樓質量阻尼器 林瑞良
- 45 以土木 404-100 設計例探討非線性靜力與動力分析 葉勇凱、周德光
- 49 既有鋼筋混凝土結構應用直接接合型鋼框架斜撐補強工法之研究 蕭輔沛、褚有倫、黃昭勳
- 53 層間梁配合擴柱之耐震補強工法驗證 黃昭勳、林敏郎、 陳維宏、鄭宇軒
- 57 老舊公寓之耐震補強技術-以電梯核心牆補強為例 <sup>邱聰智、涂耀賢</sup>

- 61 鋼筋混凝土牆厚與邊界柱深比對構架耐震行為影響研究 涂耀賢、邱聰智、劉德賢、周逢霖、鍾立來、劉俊秀、江文卿
- 65 RC 牆偏心配置之牆厚與邊界柱深比對構架耐震行為影響研究 涂耀賢、邱聰智、陳照枝、周逢霖、鍾立來、劉俊秀、江文卿
- 69 發展適用於台灣地區的地震動模型 趙書賢、程毅豪、林柏伸、許喬筑
- 73 核能電廠圍阻體 1/13 縮尺試體反覆載重試驗設計規劃 張哲瑜、楊炫智、吳俊霖、徐增全、呂胡忠、張長菁
- 77 核能電廠圍阻體 1/13 縮尺試體反覆載重試驗(2)-結果探討 呂胡忠、楊炫智、張哲瑜、張長菁、吳俊霖、王孔君、楊元森、徐增全
- 81 核能電廠用過燃料池完整性評估方法 徐瑋鴻、柴駿甫
- 85 含邊界構材之鋼板混凝土複合牆反覆載重試驗研究 張長菁、黃尹男、鄭與錚、何其安
- 89 台灣地區核能電廠加速耐震評估程序報告 柴駿甫、林凡茹、簡子婕
- 93 台灣離岸風場地震力評估研究 曾柏翰、許尚逸、張毓文、柴駿甫、許雅涵、賴姿妤
- 97 嵌埋式軌道系統振動噪音之試驗與分析研究 葉芳耀、張曉婷、宋裕祺
- 101 新北市地震防災管理系統之建立與應用 許家銓、宋裕祺
- 105 建築消防撒水管線系統耐震性能評估方法研究(I) 林凡茹、柴駿甫、葉昶辰、張國鎮
- 109 建築消防撒水管線系統耐震性能評估方法研究(II) 葉昶辰、林凡茹、柴駿甫、張國鎭
- 113 消防撒水系統耐震斜撐連接裝置受力行為研究 徐瑋鴻、柴駿甫、林凡茹、林震宇、王鑑翔、廖文義、高樹禹
- 117 高雄美濃地震-高科技廠房非結構勘查報告 柴駿甫、林凡茹、林震宇、賴姿妤、王鑑翔
- 121 電廠管線法蘭接頭之力學分析與試驗驗證 柴駿甫、吳文方、林凡茹、賴姿妤、徐瑋鴻、呂宥勳

- 125 電廠餘熱移除管線系統之振動台耐震性能試驗 柴駿甫、黃尹男、林凡茹、張長菁、賴姿妤、張文婕
- 129 傾斜滑動隔震支承之數值模擬與實驗驗證 林致寬、楊卓諺、 汪向榮、林旺春、游忠翰、張國鎮、黃震興、鍾立來
- 133 斜面式滾動隔震支承於不同設計地震下之位移探討 注向榮、林旺春、楊卓諺、游忠翰
- 137 國内減震黏性阻尼器安裝之缺點改進與相對設計理論推導 林旺春、汪向榮、黃震興、楊卓諺、戴偉鈞
- 141 使用電熱熔渣銲改良背墊板細節之梁接頭耐震性能研究 莊勝智、林克強、吳忠哲、李昭賢、林志翰、蔡克銓
- 145 多振動台測試系統控制技術之開發與驗證 陳沛清、賴晉達、江宏偉、林沛暘
- 149 受震池槽結構液體動態載重研究之回顧 劉季宇
- 153 地理資訊系統核心運算技術之研發 楊承道、林祺皓、葉錦勳
- 157 公共給水系統地震災害衝擊模擬技術研究 葉錦勳、劉季宇、洪祥瑗、黃李暉
- 161 醫院緊急供電設備物之耐震易損性研究 林祺皓、劉小勤、楊承道
- 165 臺灣老舊校舍耐震能力提升計畫 蔣佳憓、沈文成、鍾立來
- 169 核能設施地震危害度重新評估-地震震源特徵 陳冠宇、陳憶萍、陳宗祺、郭鶯萍、張毓文、劉勛仁、張志偉、張喭汝、吳俊霖、 張哲瑜、鄭錦桐、丁禕、李易叡、邵國士、黃柏壽、林殿順、葉錦勳、鄭錦桐、 Kevin Clahan
- 173 地震災害潛勢圖資建置 葉錦勳、劉季宇、黃李暉

# 耐震設計規範之檢討與改進對策

鄧崇任<sup>1</sup> 翁元滔<sup>2</sup> 邱世彬<sup>3</sup> 郭俊翔<sup>2</sup> 盧志杰<sup>2</sup> 柴駿甫<sup>1</sup> 簡文郁<sup>1</sup> 林克強<sup>1</sup> 林瑞良<sup>1</sup> 洪曉慧<sup>1</sup> 汪向榮<sup>1</sup> 許尚逸<sup>2</sup> 張毓文<sup>3</sup> 林凡茹<sup>3</sup>

#### 摘要

本計畫持續針對國內之耐震設計規範進行檢討及提出改進對策,成立「規範研究發展委員會」及幕僚小組,對於規範相關議題進行研究及討論,提出具體之修正建議,並規劃新一代耐震設計規範之理念架構及發展方向。

關鍵詞:耐震設計規範、規範修正建議、規範研究發展委員會

#### 一、前言

台灣自 921 大地震後,學界及業界投入大量資源從事耐震科技研究,同時引進許多國外之抗震技術,相關之規定與規範也日新月異,本計畫之目的即為針對國內耐震設計規範進行相關研究,適度新增或修訂相關條文及解說內容,以因應國際科技發展與國內工程界之實際需要,強化新建建築之耐震能力。

對於現行之耐震設計規範,持續進行 檢討與改進,彙整工程界及學界對於耐震 設計規範之疑義,進行研究提出相關修訂 建議草案,並召集產、官、學、研各界代 表組成「規範研究發展委員會」,定期討 論議案,達成修訂共識後送交主管機關審 議,進而修訂規範內容,使國內之耐震設 計規範更趨完備及合理。

本計畫擬召開「規範研究發展委員會」,討論規範相關議題,代表的組成除了國內研究耐震設計規範方面之專家學者、政府研究部門如內政部建築研究所及交通部運輸研究所外,依據不同之議題內容,亦邀集有結構工程、橋梁工程、網結構、鋼筋混凝土結構、大地及基礎工程、隔震及制震等先進技術、地

震危害度分析等等之研究人員、各技師工 會代表以及工程顧問公司之執業人員等共 同參與討論,以提出符合學理以及工程實 務之規範修訂內容。

目前建築物耐震設計規範之主管機關 為內政部營建署,橋梁部分則為交通部, 本計畫研擬之規範修訂建議案或是性能設 計法草案,經由規範研究發展委員會研議 通過後,送交主管機關審議,本中心亦配 合審議之意見進行修改,使規範修訂案能 順利通過並公告實行。

## 二、105年度規範修訂情況

延續 104 年度修訂之議題,105 年度, 於營建署審議之議題共有五項,分別為: 1.近斷層設計地震調整因子修訂;2.土壤液 化評估使用之地震規模分區;3.補充臺北盆 地設計地震微分區未明訂之里;4.土壤剪力 波速經驗式修訂;5.含被動消能系統建築物 之設計修訂。目前僅有第 3 項修訂通過, 其餘發還本中心修訂中。

除上述於營建署審議之議題外,為因 應 105 年 2 月 6 日美濃地震發生,造成台 南市多棟樓房倒塌以及大規模土壤液化發 生的情況,營建署亦委託國震中心進行相

<sup>1</sup> 國家地震工程研究中心研究員

<sup>2</sup> 國家地震工程研究中心副研究員

<sup>3</sup> 國家地震工程研究中心助理研究員

對應之建築物耐震設計規範條文修訂。

# 三、既有建物耐震評估與補強之修 訂現況

我國建築技術規則在民國 63 年修正後,才有較詳細的耐震設計規定,其後經民國 71 年、78 年、86 年、88 年、94 年及100 年多次修訂,因此將有不少的老舊建築物之耐震能力不符最新規範之耐震需求。綜觀近年來發生之災害地震,發生破壞之案例多屬此類耐震性較差之建築,因此針對量龐大之且未經耐震評估之老舊建築,將其篩選出並及時補強,為現今刻不容緩之重要課題。

行政院於民國89年6月16日核定「建築物實施村震能力評估及補強方案」,有建築的震能力評估及補強方案」,有建築物先行實施,進而推動私有建築物之大實施,進而提升公有建築物之意。另外,在105年2月6日3年4月29日在105年4月29日在105年4月29日在105年4月29日在於105年4月29日在於105年4月29日在於105年4月29日在於105年4月29日在於105年4月29日在於105年4月29日在於105年4月29日在於105年4月29日國計畫」,推動和震評估與計畫」,在105年2日與其準的之一數。

建築物經過初步耐震能力評估後判定 為有耐震疑慮或確有疑慮的,除直接拆除 在此須特別注意的是,以靜力側推分 析為基礎所發展的評估方式,在運用非線 性静力侧推分析求得容量曲線的限制,因 無法準確地估計在動態反應中結構勁度軟 化的效應,以及模擬多自由度系統高模態 的行為,因此在中高樓層建築因其高模態 反應占比較高,僅以非線性靜力側推分析 會產生較大誤差。因此在規範中規定若第 一振態之有效參與質量與結構總質量之比 值低於 75%以下時,或是結構任一樓層其 90%質量參與之模態造成之層間剪力超過 第一模態造成之1.3倍時,應以非線性動力 歷時分析作為結構的詳細評估方式,且塑 鉸之設定要能確實反應補強前及補強後構 件之動態特性。如果建築物具有扭轉不規 則性時,同樣應以非線性動力分析作為結 構的詳細評估方式。

至於耐震能力的補強基準,即整體結構補強後的耐震性能應達 475 年設計地震之性能目標。補強後耐震性能點可依下列三項準則決定,並由其中之最小者所控制:

- 1. 強度準則:強度衰減為最大強度值之 0.85 倍時所對應之尖峰地表加速度值。
- 位移準則:任一樓層之最大層間變位角為2%時所對應之尖峰地表加速度值。
- 3. 軸向承載力喪失準則: 整體補強範 圍內之任一主要構件達軸力喪失點。

準則一及準則二所對應尖峰地表加速度值(PGA)之較小者即為此結構所能抵抗之水平地表加速度,其必須大於回歸期 475年之設計有效尖峰地表加速度值(即EPA=0.4SDS)方能認定為具有足夠之耐震能力。並且在達到上述地表加速度之值以前結構物整體補強範圍內之任一主要構件均不能到達軸力喪失點(即準則 3)。

對於靜力分析方式而言,以上之分析 流程可以經由非線性測推分析,求得強度 衰減為最大強度值之 0.85 倍時以及最大層 間變位角為 2%時所對應之 Sa 及 Sd 值(即 性能點),經容量震譜法換算為等效地表加 速度值,並在此過程中確認任一主要構件 均未達軸力喪失點即可。

然而對於高樓層之建築物來說,靜力 分析方式並不適用,因此須用非線性動力 分析方式,選取至少7筆與反應譜相符之 地震紀錄,連續縮放其尖峰地表加速度幅 值,找出相對應於此PGA之層間變位角以 及最大基底剪力值,建立7條以上之PGA 相對於層間變位角以及最大基底剪力之關 係,則對準則1而言,取7筆地震相對於 層間變位為 2% 時之 PGA 並對其做幾何平 均,即為準則1之控制值。對準則2而言, 同一PGA下可對7筆紀錄之最大基底剪力 作幾何平均值,同樣找出基底剪力為最大 強度值之 0.85 倍時所對應之 PGA 值,即為 準則 2 之控制值。同樣,在上述過程中均 須確認任一主要構件均未達軸力喪失點 (準則 3)。

目前本案仍為規劃階段之草案,仍待 經由本中心邀集學者專家組成之規範研究 發展委員會討論成案後,再送請營建署進 行審議。

#### 四、土壤液化相關修訂

極軟弱粘性土層及粉土層在地震作用 下,將因承受反覆變形而造成剪力強度大 幅降低,減少基礎的垂直與水平承載力。

疏鬆飽和砂質土壤在地震作用下,將 因超額孔隙水壓增加,可能產生液化現 象,導致建築物基礎垂直與水平承載能力 大幅降低,而發生沉陷、傾斜與水平位移。 在水岸附近或傾斜地形處,因土壤液化作 用地盤可能產生流動,建築物基礎會受到 地盤流動的作用。

因此建築物基礎之耐震設計應考慮極軟弱與液化地盤的影響。建築物基礎土壤若發生液化,如果該建築物基礎設計未作適當的抗液化處理的話,可能造成建築物產生嚴重沉陷或傾斜破壞,譬如 1964 年日本新潟地震、1990 年菲律賓北呂宋地震、1995 年日本阪神地震、1999 年 921 集集大地震及 2016 年美濃地震均有此種建築物液化損壞案例。

本計畫於 105 年度大幅修訂建築物耐 震設計規範第十一章中與液化有關之規定 條文,目前此議題已由規範研究發展委員 會審議中,待通過後送請營建署審議。

# 五、容許層間相對側向位移角檢討 以及新增最小地震力要求

延續 104 年度計畫,於耐震設計規範 及解說第 2.16 節容許層間相對側向位移角 規定中,除檢核在 30 年回歸期(中小度)之 地震作用下,建築物之層間相對側向位移 角不得超過 0.005 之規定外,新增偶遇地震 (回歸期 72 年)以及罕遇地震(回歸期 475 年) 下結構物依據其不同之用途係數所需達到 的性能要求,即層間變位角的限制。

由於非屬抗側力系統之結構構件與接合需能經得起特定的變位及旋轉,雖然此類構件與接合在進行設計抗側力分析時被忽略不計,但它們仍應在地震作用下能有效發揮其功用,亦即它們承受與抗側力系統構件相似的變位與旋轉。此外,由於側

目前我國耐震設計規範對於長週期結構在 T>2.5T0<sup>D</sup> 時仍有 SaD=0.4SDS 的最小地震力要求,若經檢核在 475 年設計地震作用下結構仍能滿足相對應的性能要求(層間變位角規定),則設計最小地震力要求在長週期段可隨週期增大而遞減,此也符合結構的動力特性。目前此部分修訂條文仍在草擬中。

### 六、結論與展望

耐震設計規範的訂定為落實結構工程基礎研究,並提供國內工程界耐震設計之依循,攸關經濟及工程之層面甚廣,規範研究發展委員會至 105 年底為止,共召開過 26 次會議,討論之議題共有 30 項,研議後皆已送請內政部營建署審議通過。

本計畫透過召開「規範研究發展委員 會」討論規範相關議題,規範委員會之成 員除了邀請國內研究耐震設計規範之專家 學者、政府研究部門(如內政部建築研究 所以及交通部運輸研究所)外,依據不同 

- 1. 「建築物耐震設計規範及解說修訂草 案」,2002,內政部建築技術審議委員會。
- 2. 「建築物耐震設計規範及解說」, 營建雜 誌社, 民國 100 年 7 月。
- 3. 日本道路橋示方書(2002)
- 4. FEMA-273,(1997) "NEHRP Recommended Provisions for Seismic Regulations for New Buildings and Other Structures", BSSC, Federal Emergency Management Agency, Washington, D. C.
- 5. FEMA-274, (1997) "NEHRP Recommended Provisions for Seismic Regulations for New Buildings and Other Structures", BSSC, Federal Emergency Management Agency, Washington, D. C.
- 6. FEMA-356, (2000) "NEHRP Recommended Provisions for Seismic Regulations for New Buildings and Other Structures", BSSC, Federal Emergency Management Agency, Washington, D. C.
- 7. FEMA-357, (2000) "NEHRP Recommended Provisions for Seismic Regulations for New Buildings and Other Structures", BSSC, Federal Emergency Management Agency, Washington, D. C.
- 8. ASCE Standard, ASCE/SEI 7-10, Minimum Design Loads for Buildings and Other Structures, American Society of Civil Engineers, 2010.

# 自來水池狀結構耐震設計規範研擬

翁元滔 1 鍾立來 2 劉季宇 3 林敏郎 1 沈文成 4 李昭賢 4

#### 摘要

臺灣地區地處於歐亞、太平洋及菲律賓板塊之撞擊地帶,地震頻繁。1999年9月21日,臺灣地區發生百年來災情最慘重之「集集地震」,造成大臺中地區供水系統嚴重受損,而失去原有供水功能,70萬用戶於震災後面臨幾乎無水可用之困窘。是故,地震不僅影響供水穩定,更是自來水事業經營的隱憂。自來水系統包含許多池狀結構,例如散布於各供水分區的配水池,以及淨水場內的各種水池。經由國、內外重大震災調查結果可知,自來水系統除地下管線外,池狀結構的損害亦常發生,在地震力作用下,池狀結構發生水體與結構的互制效應,動水壓常為結構損壞之肇因,發生損壞的地方有池壁(邊柱)、內柱、伸縮縫、基礎、頂版、頂版與池壁搭接處,以及附屬抽水泵浦、進出水連接管等。然而地震災害發生後,自來水廠與供水直接有關之廠房與建築物,必須維持機能以救濟大眾,屬重要之維生設施,因此,自來水系統池狀結構的耐震安全十分重要。國內自來水池狀結構以鋼筋混凝土構造居多,為構築耐震永續的自來水設施,實有必要建立自來水池狀結構耐震設計規範,以為未來相關構造優質耐震設計之依據。

關鍵詞:自來水設施、池狀結構、液體動態載重、耐震設計

#### 一、研究緣起與背景

自來水系統包含許多池狀結構,例如 散布於各供水分區的配水池,以及淨水場 內的各種水池。配水池之主要作用為配合

日常用水需求而調整配水量,及保持貯水 機能以備應急用水。淨水場內的水池,有 **氣曝池、加藥池、混合池、水躍池、膠羽** 池、沉澱池、慢瀘池、快瀘池、清水池等, 乃基於淨水程序之需求而依序設立。目前 我國自來水池狀結構設計,乃主要參照美 國波特蘭水泥協會所編製之「Rectangular Concrete Tanks | Circular Concrete Tanks without Prestressing | 兩本設計指南 (Portland Cement Association)及改編的「水 池設計 | (陳榮藏, 1985 及 1986), 主要以 雙向版原理計算應力。採用之應力強度除 應符合建築技術規則之規定外,仍應遵守 美國混凝土協會之衛生工程鋼筋混凝土規 範 ACI 350 R-77(ACI, 1977)之建議,故其設 計方法仍以容許應力法為主,其中主要以 強度及穩定性為首要設計條件,而以變形 與龜裂之控制、水密性及耐蝕性等條件為 次要使用要求,但對於耐震設計則明顯未 予重視,例如地震引致的液體動態載重如

<sup>1</sup> 國家地震工程研究中心副研究員

<sup>2</sup> 國家地震工程研究中心副主任、國立台灣大學土木工程學系教授

<sup>3</sup> 國家地震工程研究中心研究員

<sup>4</sup> 國家地震工程研究中心助理研究員

何估算,亦尚未採用基礎構造設計規範中 最新且兼具嚴謹的地震引致動態土壓力估 算方法,故有關目前臺灣的池狀結構設計 方法實有更新之必要。

以日本「水道施設耐震工法指針・解 說」之設計地震力要求及耐震設計程序為 例,其思維及架構與美國及臺灣有明顯不 同,而中華民國自來水協會所訂「自來水 設施耐震設計指南及解說」(2013)雖然採 用日本「水道施設耐震工法指針・解説」 之架構,並將國內設計地震力要求與之融 合,但其仍採用類似於日本的性能要求與 設計地震力程序,則與國內設計地震力分 級並不相同,故仍須就設計地震力分級及 性能要求加以重新研擬規劃;其次,美國 ASCE 7-10: Minimum Design Loads for Buildings and Other Structures(2010)與美國 混凝土協會所訂 ACI 350.3-06 Seismic Design of Liquid-Containing Concrete Structures and Commentary(2006)主要提供 混凝土池狀結構之設計地震力估算方法、 承載液體之非建築結構基本週期估算方式、 管線介面設計最小位移量限制、液面晃動 高度計算方式及出水高度限制等,但並未 提供實際池狀結構常應考慮的土體靜、動 熊載重計算及載重組合方式; 反觀國內現 行自來水系統池狀結構之耐震設計,因其 屬非建築結構之一,故須遵循建築物耐震 設計規範及解說(2011)之非建築結構設計 地震力要求,但其設計地震力估算及韌性 容量之訂定早已過時、急待更新;另外, 國內仍未有池狀結構耐震性能檢核及分析 模擬之方法,須待池狀結構之性能要求確 立後,參酌國內鋼筋混凝土設計規範(2011) 及基礎構造設計規範(2001)等,據以研擬 配套的相關規定。故本計畫參酌上述國內 外池狀結構耐震設計規範及技術指針的內 容與架構,並針對國內設計地震力要求之 格式與架構,將其整合連結,以訂定適用 於本國現況之池狀結構耐震設計規範,使 之合理可行,作為池狀結構耐震設計與性 能評估之重要參考。

#### 二、國內外池狀結構震災經驗

國、內外各重大地震事件中,池狀結構經常發生損害。九二一地震(1999/9/21,Mw 7.6)中,由於車籠埔斷層錯動,斷層破裂帶的鄰近範圍,所有自來水設施無一倖免,尤其大臺中地區主要供水來源的豐原第一淨水場幾近全毀、第二淨水場嚴重損害(葉純松,2002)。

以配水池與清水池為例,最近研究(經濟部水利署,2015)已收集校正九二一地震實際損害共七件,例如:

(a) 豐原第一淨水場舊有 15,000 m³ 清水池: 因緊鄰斷層錯動,地盤嚴重變形,導致 頂版崩塌、池壁開裂,儲水功能喪失, 不堪使用,如圖1所示,震後拆除重建。



<mark>圖 1</mark> 豐原第一淨水場舊有 15,000 m<sup>3</sup> 清水池震害

(台灣自來水公司第四區管理處提供)

(b) 豐原第一淨水場舊有 17,000 m³ 清水池: 因緊鄰斷層錯動,地盤嚴重變形,導致 池壁嚴重開裂,儲水功能喪失,不堪使 用,如圖 2 所示,震後拆除重建。



<mark>圖 1</mark> 豐原第一淨水場舊有 17,000 m<sup>3</sup> 清水池震害

(台灣自來水公司第四區管理處提供)

經由國、內外重大震災調查結果可知, 自來水系統除地下管線外, 池狀結構的損 害亦常發生,在地震力作用下,池狀結構 發生水體與結構的互制效應,動水壓常為 結構損壞之肇因,發生損壞的地方有池壁 (邊柱)、內柱、伸縮縫、基礎、頂版、頂版 與池壁搭接處,以及附屬抽水泵浦、進出 水連接管等。然而地震災害發生後,自來 水廠與供水直接有關之廠房與建築物,必 須維持機能以救濟大眾,屬重要之維生設 施,因此,自來水系統池狀結構的耐震安 全十分重要。國內自來水池狀結構以鋼筋 混凝土構造居多,為構築耐震永續的自來 水設施,實有必要建立自來水池狀結構耐 震設計規範,以為未來相關構造優質耐震 設計之依據。

#### 三、研究方法與進度說明

在第一年計畫中,將蒐集國內外文獻 或相關資料,參考國外池狀結構及國內建 築物之耐震設計規範,探討池狀結構耐震 設計之需求。另外,本計畫亦參考國 相關結構設計規範,據以訂定各種載內外 相關結構設計規範,據以訂定各種對 素及組合方式,以作為池狀結構分析及 計之依據。再以既有矩形及圓形 RC 池狀 結構各一為例,檢討並說明池狀結構耐震 計之設定程序。最後,初步提出池狀寫 構耐震設計規範條文,作為第二年修訂與 審查之基礎。 在第二年計畫中,將參考國外池狀結構及國內建築物之耐震設計規範,探討池狀結構耐震設計之容量計算方法,訂定池狀結構耐震性能之要求及其檢核之方法,檢核之對象包括池體及其進出水之管道。然後根據第一年計畫成果及第二年計畫進度,進一步訂定池狀結構耐震設計規範條文並撰寫解說,並以新建矩形及圓形 RC池狀結構各一(容量 5,000~10,000 m³)為例,完成耐震設計之示範例。

#### 四、預期成果

預訂兩年期內完成下列主要項目:

- (1) 訂定池狀結構之耐震設計需求及韌性 容量等設計參數,以量化之方式呈現。
- (2) 提出池狀結構池體及其進出水管道之 耐震性能檢核方法,以確保震後之供水 機能。
- (3) 訂定臺灣本土化的「自來水池狀結構耐 震設計規範與解說」,使池狀結構之新 建或補強設計有所依循。
- (4) 提供矩形及圓形 RC 池狀結構各一(容量 5,000~10,000m³)之設計示範例,從耐震設計需求至韌性容量,詳述結構耐震設計及構件性能檢核之程序,並提供設計基本圖,作為未來工程設計之參考。

- 1. ASCE (American Society of Civil Engineers), 1984, Guidelines for the Seismic Design of Oil and Gas Pipeline Systems, Prepared by the Committee on Gas and Liquid Fuel Lifelines of the Technical Council on Lifeline Earthquake Engineering, Section 7.
- American Society of Civil Engineers (ASCE), 2010. Minimum Design Loads for Buildings and Other Structures, ASCE 7, ASCE Standard, SEI/ASCE 7-10, Reston, VA.
- 3. American Water Works Association (AWWA), 2005. Welded Steel Tanks for

- *Water Storage*, AWWA D-100, Denver, CO.
- 4. American Water Works Association (AWWA), 1995, Wire- and Strand-Wound Circular, Prestressed Concrete Water Tanks, AWWA D-110, Denver, CO.
- 5. American Water Works Association (AWWA), 1995. Circular Prestressed Concrete Water Tanks with Circumferential Tendons, AWWAD-115, Denver, CO.
- 6. 日本水道協會,2009,「水道施設耐震工 法指針・解說」。

# 美濃地震液化災損調查及簡易評估

盧志杰<sup>1</sup> 許尚逸<sup>2</sup> 黃郁惟<sup>3</sup> 黃俊鴻<sup>4</sup>

#### 摘要

高雄市美濃區於台灣時間 2016 年 2 月 6 日發生一起芮氏規模 ML=6.6 之地震。由震後勘災報告顯示,雖然地震規模不大,台南市新市區及安南區等地建物仍因土壤液化而出現多處損害,引起國內與國際社會的關注。為進一步探討受災地區之液化特性,本研究利用國內、外常見之 SPT 及 CPT 簡易評估法,依據國震中心於上述液化災區所調查之6處 SPT 及 5處 CPT 探查孔資料,進行液化評估,計算鑽孔內各土層之液化安全係數(FS)以及液化潛能指數(LPI)。分析將針對變異性較大之水平最大地表加速度,進行不確定性分析。之後再嘗試以液化評估結果以及土層特性,解釋建物災損機制。

關鍵詞:美濃地震、土壤液化、簡易評估法

#### 一、前言

綜觀歷史重大地震液化案例,例如 1999年集集地震,此次美濃地震所釋放之 能量屬中度地震規模,但造成如此嚴重液 化災情實屬少見。且此地區地層細料含量 較高,理應具有相對較佳之抗液化條件, 因此無論土壤液化行為、災區震損機制、 液化土層與淺基礎結構之互制行為均值得 詳細探討。針對以上,本文章將首先回顧整理液化災區現勘結果,並說明災區復舊現況。後將以常見之土壤液化簡易評估法配合現地 SPT 及 CPT 探查孔資料,進行液化評估以識別主要液化土層深度,並解釋建物災損機制。



圖一 震央、土壤液化發生地點與中央 氣象局即時測站

## 二、液化災損調查

根據國震中心勘災報告,此次發生土 壤液化之範圍,主要集中於大台南地區(如

<sup>1</sup> 國家地震工程研究中心副研究員

<sup>2</sup> 國家地震工程研究中心副研究員

<sup>3</sup> 國家地震工程研究中心專案佐理研究員

<sup>4</sup> 國家地震工程研究中心組長

圖一所示),其震度(中央氣象局震度標準) 皆為五,最大地表水平加速度(PGA)約介於 0.18~0.25g 之間。主要液化發生之區域, 包含安南區惠安街-聖安街(L1)、新市三民 街(L2)、中西區文和街-文祥街(L3)、北區正 覺街 102 巷 (L4)、永康大灣東路(L5)、新化 高鐵附近農田(L6)。經比較此次液化地點 與早期地圖(台灣百年歷史地圖)後顯示, 發生液化之地區多屬於舊埤塘,包含 L1(惠 安街)、L3(文祥街)、L4(正覺街),為不同時 間回填之區域,而新市三民街液化最嚴重 之區域亦為舊池塘。由於回填地之回填材 料多屬鬆散砂土,本身抗液化強度較差, 因此在此次地震後出現較嚴重之液化災情。 此次地震所導致之液化現象,除有明顯之 噴砂孔外,亦造成多處民宅之沉陷、傾斜 及地下管線之損害。其中以安南區惠安街 -聖安街、新市三民街、中西區文和街-文祥 街較為嚴重。為量化災損之程度,勘災報 告根據 Bray and Stewart (2000)所提出之地 盤破壞指數(Ground Failure Index, GF),記 錄每個液化區域之災損程度與範圍。地盤 破壞指數分為四級(GFO~GF3),主要根據沉 陷、傾斜與側移量加以界定,各液化區之 損害程度與分布詳圖二。除了上述建物損 害地區外,永康大灣東路及新化高鐵附近 農田亦有液化現象。



圖二 美濃地震後液化範圍與 GF 分布

## 三、鑽探調查及判釋

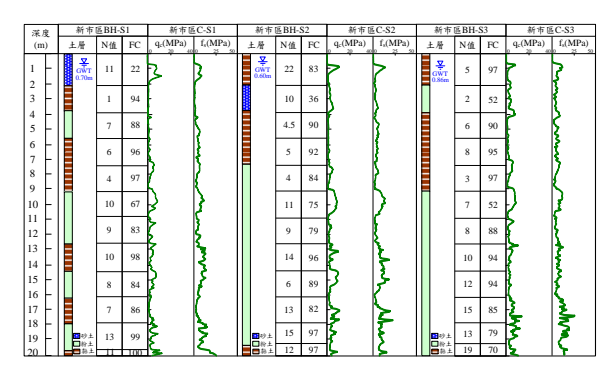
此次台南市災損地區多集中在多安南 區及新市區,此區域地質屬於抗液化條件 較差之全新世沖積層。再加上據國家地震 中心勘災報告顯示,此二區內有許多舊埤 塘回填後之新生地,研判其回填材料多屬 鬆散砂土且未有效夯實,因此若再配合較 大之地震動以及高地下水位條件,則極有 可能出現嚴重液化現象。為進一步瞭解安 南區及新市區等災損嚴重區域之液化機制, 國家地震中心特別針對此二區進行一系列 之 SPT 及 CPT 試驗(各區現地試驗位置詳圖 二)。各 SPT 鑽孔之試驗 N 值、細料含量, 以及 CPT 鑽孔錐尖阻抗(qc)及套管摩擦阻 抗(fs)詳圖三。

如圖所示,安南區之地下水位均在地 表下 1.0m 範圍內。地層可概分為砂土、粉 土及黏土,其中砂土及粉土具液化潛勢。 由現地鑽探結果顯示,地表下約 11m 範圍 內之地層,SPT-N 值多低於 5,錐尖阻抗(qc) 亦多低於 3MPa,顯示此區間之砂土層及 粉土層本身抗液化強度不高;此區間之黏 土層則因強度不佳,難以單獨提供上部結 構足夠之承載力。低於地表下 11m 之地層 則強度條件相對較佳,惟某些區段例如 BH-A3 深度 14.5~16.5 處,仍有強度不佳之 粉土層。此外,BH-A3 鑽孔之 SPT 試驗結 果顯示,淺地層偶現 N 值高達 22 之情況, 鄰近之 CPT 鑽孔(C-A1)則未出現無此一堅 實地層,研判此情況應為回填材料內含礫 石且回填不均匀所致。

新市區之地下水位均在地表下 0.9m 範圍內,此地區地層多屬粉土及黏土,僅 表層約 4m 範圍內有砂土。由現地 SPT 及 CPT 試驗結果顯示,此區域地層內之砂土 及粉土之 SPT-N 值多低於 10, 錐尖阻抗(qc) 亦多低於 3MPa, 抗液化強度較差, 配合現 地之高地下水位,在地震作用過程較容易 出現液化現象。再者,此區域非液化淺層 黏土地層強度亦不高,因此在地震過程中, 若鄰近砂土及粉土發生液化現象,則軟弱 黏土層將無法提供上部結構足夠之承載力, 造成上方淺基礎結構物失穩而沉陷、傾斜。 此外,BH-S2 鑽孔之 SPT 試驗結果顯示, 淺層黏土之 N 值高達 22,對比鄰近之 CPT 鑽孔(C-S2),發現於深度約 0.8m 處亦出現 錐尖阻抗(qc)高於 10MPa 之情況,附近之 其他鑽孔相同高程則未顯示無此一堅實地

層,研判此情況應為局部淺層黏土過壓密 所致。

深度 安南區BH-A		A1	安南區BH-A2			安南區C-A2		安南區BH-A3		安南區C-A1			
(m)	土層	N值	FC	土層	N值	FC	q <sub>c</sub> (MPa)	f <sub>s</sub> (MPa)	土層	N值	FC	q <sub>c</sub> (MPa)	f <sub>s</sub> (MPa)
1 -	Ç GWT 0.94m	1	75	Ç GWT 0.80m	0.66	26		}	GWT 0.84m	22	25		
3		2.5	53		1.33	79	ŀ	-		1.5	24	ŀ	
5		8	97		6	78				2.5	94	Ī,	Į.
7		1.5	33		3	65	2	}		10	63	5	Š
8 -		2.5	97		4.5	86	7	7		2	91	ŀ	
10		11	51		3.5	98	Þ	>		8	47	h	7
12		10	20		18	20	-	5		19	29	}	{
13 -		28	27		19	48	2	کے		12	32	5	5
15		15	25		18	44	٤	Σ		3	57	1	3
16		24	36		17	38	Į	}		H		⋛	ا عُ
18	■砂土	31	28	四砂土	42	16	(	>	回り土	37	16	}	🕹
19	日か土	28	23	日か土	28	17	1 1	1	日か土	25	26	18	15



圖三 災區 SPT 及 CPT 探查孔資料

### 四、液化潛能之簡易評估

液化簡易評估法為美國加州柏克萊大 學教授 H.B. Seed 所領導之研究團隊,長期 累積相關研究成果後首先提出。世界各國 之學者再依類似邏輯,以不同之考量方式 或是統計資料庫,發展出類似之液化簡易 評估法。由於液化簡易評估法具有方法簡 單、容易理解且具一定程度之正確性,因 此廣為各界採用。考量到目前國內各界之 使用狀況以及最新發展,本研究所考量之 SPT 液化簡易評估法包括 Seed 法 (Seed et al., 1985)、JRA (日本道路協會, 1996)、 NCEER (Youd and Idriss, 1997)、AIJ (日本建 築學會, 2009)以及本土 HBF (黃俊鴻等, 2012)。對於 CPT 液化簡易評估法,本研究 則考量 NCEER (Youd and Idriss, 2008)以及 Juang (Juang et al., 2008) •

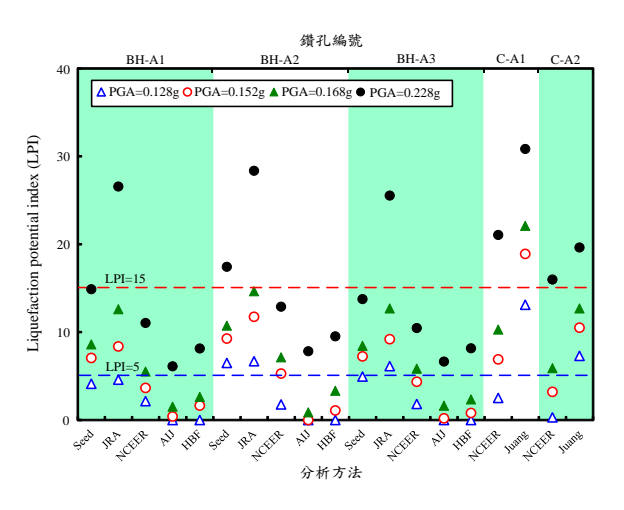
本研究案例之液化評估參數中,水平 最大地表加速度(PGA)之不確定性較大,主 要原因為場址附近無較接近之測站,且此 二處場址位於舊埤塘回填地,場址放大效 應明顯,由遠處測站所外推之結果難以反 應實際情況。目前安南區及新市區水平最 大地表加速度(PGA)之評估方式包括最接 近測站之實測結果、地震 PGA 等震圖之推 估值以及依加速度衰減式之推估值。除了 上述水平最大地表加速度之評估結果外, 為適度考量場址所在位置因區域場址放 等震圖所得結果再乘上 1.5 倍作為分析考 量情境之一,所得之安南區 PGA 為 0.228g, 新市區 PGA 則為 0.294g。各種水平最大地 表加速度之評估結果詳表一。

表一 最大地表加速度評估方式及結果

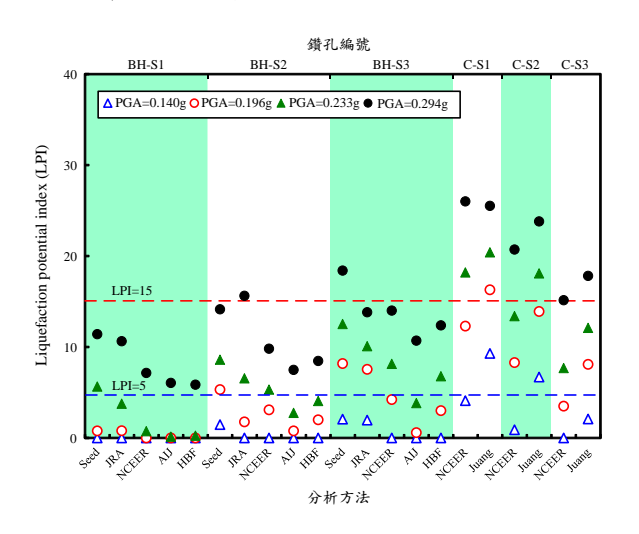
評估方法	安南區	新市區
最近地震測站實測值	0.168g	0.233g
	(TAI)	(SSH)
地震PGA等震圖 (國家地震工程 研究中心,2016)	0.152g	0.196g
加速度衰減式 (Jean et al., 2006)	0.128g	0.140g
地震PGA等震圖x1.5 (考量場址放大效應)	0.228g	0.294g

有關 SPT 鑽孔地下水位、SPT-N、細料含量、土壤分類及單位重;CPT 鑽孔之錐 尖阻抗(qc)及套管摩擦阻抗(fs)等資料均參考自相關試驗報告。此外,CPT 鑽孔之水 位資料及平均單位重將參考鄰近 SPT 鑽孔。

本研究採用 SPT 及 CPT 等液化簡易評 估法, 針對安南區及新市區及新市區之 SPT 及 CPT 鑽孔進行液化評估,經評估後 所得之液化潛能指數(LPI)詳圖四及圖五。 如圖三所示,由於二處場址之地層內含許 多不具液化潛能之黏土層,故即使在地加 速度較大之情況,整個土層加權計算後之 液化潛能指數亦不高。安南區除了部分評 估方法在加速度條件為 0.228g 外,所求得 之 LPI 多小於 15,屬於中度液化至輕度液 化之範疇。新市區則是除了部分評估方法 在加速度條件為 0.294g 外,所求得之 LPI 多小於 15,亦同樣屬於中度液化至輕度液 化之範疇。對比現場震後情形,單就液化 潛能評估結果似乎無法合理解釋現場嚴重 之災情。比對圖三鑽探資料顯示,二處場 址之淺層土壤強度甚低、承載力不佳,故 若承載層內砂土或粉土再因地震而液化時, 其下軟弱黏土層之承載力將可能無法支撐 上部結構。在其上方之地表結構將因基礎 失穩而向下沉陷擠壓、排開基礎黏性土壤, 進而出現嚴重沉陷、傾斜等災損現象,建 物周圍地表則受到排開土壤之擠壓而隆起。



圖四 安南區各鑽孔於不同水平地表加速 度及評估方法下之液化潛能指數



圖五 新市區各鑽孔於不同水平地表加速 度及評估方法下之液化潛能指數

#### 五、結論與展望

本場址為舊埤塘回填地,地震時容易出現場址放大效應。由於場址附近沒有地震測站,因此場址實際發生之水平最大地表加速度不易評估,此不確定性值得進一步探討。由於場址淺地層內含許多軟弱黏土,雖然地震過程中不會液化,但其附近地層液化後,整個基礎層即可能無法承載上部結構而失穩滑動,造成上部建築物嚴上部結構而失穩滑動,造成上部建築物嚴

重沉陷、傾斜。因此單就液化潛能指數不 易解釋災區受損情況。建議針對此類同時 具有軟弱土壤及具液化潛能土壤之地層, 應綜合考量各種因素,再配合適當之數值 分析以判釋災區淺基礎建物受損機制。

- 1. 日本道路協會,「道路橋示方書·同解說, V耐震設計編」(1996)。
- 2. 日本建築學會,「建築構造設計指針」 (2009)。國家地震工程研究中心, 「2016.02.06 高雄美濃地震資訊」, http://www.ncree.org/Ncree.aspx?id=17 (2016)。
- 3. 黄俊鴻、陳正興、莊長賢,「本土 HBF土壤液化評估法之不確定性」,地工技術,第 133 期,第 77~86 頁 (2012)。
- 4. 鄭世楠、王子賓、林祖慰、江嘉豪,「台灣地區地震目錄的建置(II)」,中央氣象局,MOTC-CWB-99-E-26,第57卷 (2010)。
- 5. Bray, J.D. and Stewart, J.P., "Chapter 8: Damage patterns and foundation performance in Adapazari. Kocaeli, Turkey Earthquake of August 17, 1999 Reconnaissance Report", Youd, T.L., Bardet, J.P., and Bray, J.D., eds., Earthquake Spectra, Supplement A to Vol. 16, pp. 163-189 (2000).
- 6. Jean, W.Y., Chang, Y.W., Wen, K.L., and Loh, C.H., "Early estimation of seismic hazard for strong earthquakes in Taiwan", Natural Hazards, Volume 37, Issue 1-2, pp. 39-53 (2006).
- 7. Juang, C.H., Liu, C.N., Chen, C.H., Hwang, J.H. and Lu, C.C., "Calibration of liquefaction potential index a re-visit focusing on a new CPTU model", Engineering Geology, Vol. 102, Issues 1-2, pp.19-30 (2008).
- 8. Seed, H.B., Tokimatsu, K., Harder, L.F., and Chung, R.M., "The influence of SPT procedures in soil liquefaction resistance evaluation", Journal of Geotechnical Engineering, ASCE, Vol. 111, No.12, pp. 1425-1445 (1985).
- 9. Youd, T.L. and Idriss, I.M., "Proceedings of the NCEER workshop on evaluation of liquefaction resistance of soils", Technical Report NCEER-97-0022 (1997).

# 美濃地震台南地區土壤液化災害之復舊工法調查

楊炫智1 盧志杰1 許尚逸1 張為光1 黃俊鴻2 陳正興3

#### 摘要

台灣時間 2016 年 02 月 06 日凌晨 03 時 57 分,於台灣高雄市美濃區(屏東縣政府北偏東方 27.4 公里)發生一起芮氏規模 ML=6.6 之地震,引起國內與國際社會的關注。為讓社會各界瞭解本次地震造成的大地工程災害,國家地震工程中心大地工程組於地震發生後,即著手針對土壤液化、堤防滑移破壞等區域進行現地勘查,將災區之大地地震工程災害如實記錄於報告中。而除了現地災情之勘查外,有鑑於災後重建的時程與復舊工法更為一重要課題,故本組同仁於災後持續派人追蹤災區復建進度與災區狀態,並針對現地鑽探資料進行土壤液化分析,災害發生迄今已滿一年,嚴重之受災區亦已大致復舊完畢;本次追蹤調查之災區地點主要以土壤液化之受災區為主,包含台南市新市區三民街與安南區惠安街一帶,以瞭解地震後之大地工程災情之復舊狀態。

關鍵詞:土壤液化、復舊工法、美濃地震

#### 一、前言

台灣時間 2016 年 02 月 06 日凌晨 03 時 57 分,於台灣高雄市美濃區 (屏東縣政府北偏東方 27.4 公里) 發生一起芮氏規模 ML=6.6 之地震,造成台南地區有明顯的土壤液化災情。台灣在過往地震災害是 1999 年 9 月 21 日發生之集集大地震,該地震造成的之界,引致最嚴重之土壤液化災害是 1999 年 9 月 21 日發生之集集大地震,該地震造院,是層價斜、大量價砂、路基開裂、地區等人災情, 2016 年 0206 美濃地震對台南街人災情, 2016 年 0206 美濃地震對台南街人災情,在東液化災情,再次提醒我們,土壤液化的災害防治工作不可懈怠,就現地復建工作更是重要的一環,後續就現地復舊工法與因應對策做一說明。

# 二、台南地區土壤液化災情

0206 美濃地震對台南地區災區附近 測站所測得之最大地表水平加速度(PGA) 約介於 0.18~0.25g 之間,除在部分農田有 產生噴砂之災情外,主要皆為建築物沉陷、 傾斜以及維生管線之損害為主,圖 4 為各 災情之分布情形,依災情種類分類如下:



圖 1 土壤液化之編號與分布位置[1]

1. 噴砂:噴砂現象係因淺層土壤因液化過程而累積超額孔隙水壓,導致砂與水之混合體由地層中之裂隙往上衝出覆蓋土層致地表,故會形成一類似噴水孔之形狀,同時因其夾帶大量懸浮砂土,會於其周圍產生圓錐狀堆積物,本次災情主要發生在建築物周圍以及永康大灣東路、新化高鐵沿線等農田,如圖2所示。

<sup>1</sup> 國家地震工程研究中心副研究員

<sup>2</sup> 國立中央大學教授

<sup>3</sup> 國家地震工程研究中心顧問







圖 2 台南市因土壤液化產生之噴砂[2]

2. 房屋基礎傾斜:圖3為一四樓高之新建街屋,其基礎之設計為筏式基礎,於美濃地震發生時下方土壤產生土壤液化,導致基礎土壤之承載力不足,發生不均勻下陷,問圍水溝內亦遭噴出之砂漿填滿,致使建築物產生傾斜的狀態。





圖3 府安路街屋土壤液化房屋傾斜

 破壞,整個底板因而隆起達 55.5 公 分。

圖 6 則是基礎型式不同在土壤液化後的兩個明顯的對比案例,圖片左方為921 地震後興建的 7 層樓高建物,採用深入岩盤之樁基礎支撐結構物,在方則為傳統聯合街屋之設計。在有戶上賽液化下,右方的聯合街屋生工均勻的沉陷,房舍底版有產生產地頭完全無災情發生,兩者之沉陷差異量達到 20 公分。



圖 4 惠安街街屋土壤液化下陷傾斜[2]



圖 5 三民街街屋土壤液化地板隆起[2]



圖 6 聖安街街屋差異沉陷[2]

為分類各液化地區之災損程度,根據 Bray and Stewart (2000)所提出之地盤破壞 指數(Ground Failure Index, GF)[3],根據沉陷、傾斜與側移量加以界定,各區域之災損情況詳表 1。

表 1 台南市各區域之災損情況[1]

/- 1. F	地盤	災損狀況
行政區	破壞指數	
安南區	GF1	此區域沉陷量約為10-20cm,主要發
安南區	GF2	生於建築物及其周圍;因建物與道路 之差異沉陷導致路面兩側鄰房處產 生裂隙;同時亦造成埋置於建築物邊
		界與路面交界的管線破裂。 此區域建物嚴重沉陷與傾斜,路面有
安南區		隆起與噴砂狀況。建物沉陷量約
		40~60cm,傾斜約1-7度。
新市區	GF1	此區土壤液化輕微,建築物沉陷量不 顯著。
新市區	GF2	此區域建物最大柱位沉陷約10cm,房子傾斜最大約1度,房子後面廚房與排水溝淤砂,道路邊緣破裂,騎樓地坪隆起破裂,自來水管線破裂。
新市區	GF2	此區域為早期之魚池,因液化嚴重, 承重柱明顯沉陷,造成室內與前庭地 坪嚴重隆起開裂,室內噴泥積砂嚴 重。防火巷隆起,邊溝積砂,沉陷建 物前道路隆起龜裂,管線破裂,到處 噴泥積砂。
中西區	GF2	此區建築物沉陷約數公分,地坪與道 路有龜裂與輕微之喷砂現象。
中西區	GF3	此區建物最大傾斜4度,最大沉陷約 20cm。附近路面有噴砂狀況。
北區	GF1	此區液化程度較為輕微,包括建築物 之差異沉陷造成磚牆龜裂,鐵窗變 形,道路與地坪開裂

#### 三、土壤液化建物復舊工法與措施

災害復舊工作在地震後隨即展開,依據建物基礎型式之不同以及災害嚴重程度 差異所選擇的復舊工法將有所不同,經過 探勘與訪查後所整理之建物復舊原則如表 2所示。

表 2 現地液化災損復舊原則[1]

破壞程度	復舊現況
10cm以下	路面降挖至與建物1樓地板同
建物沉陷	高,並重新施作排水溝。
建物沉陷約 20~30cm	獨立基腳建物採用千斤頂扶正 後回填灌漿;筏式基礎建物則 採用低壓灌漿扶正。
建物沉陷 50cm以上	建物拆除重建。





圖7安南區聖安街街道復舊狀況

- 2. 房屋扶正頂升:當建築物因土壤液化發生的沉陷量仍可修復之情況下,則可選用房屋扶正頂升的工法進行復舊,在本次地震災害復舊之訪查,針對房屋扶正頂升的工法之適用性主要受限於房屋基礎型式,復舊工程之說明如下。
  - (1) 低壓擠壓灌漿扶正:建築物於災後 已因傾斜角度較大影響生活起居與 鄰房安全,而該街屋採用筏式基礎 之設計,故選用低壓擠壓灌漿進行 扶正,在圖 3 之建物之工程案例中 採用低壓灌漿方式將地盤強化,並 使其膨脹頂升上方之建築物達到扶 正的效果,工期總計約 1 個月,復舊 狀態如圖 8 所示。





圖 8 安南區府安路街屋復舊狀態

(2) 千斤頂頂升扶正:就工法適用性而言,因需要進行基礎底作之開挖底作之開挖基腳之基腳之人人。 一般而言獨立基腳之是集集大人。 震後,土壤液化受災民眾廣為地震後,土壤液化受災民眾廣為大類。 實後,土壤液化受災民眾廣為無大範圍的挖掘,將因下水位過高之影響無法施工。而其於 水位過程中可將建物由原本與 立基腳改變為筏式基礎,四棟獨立 之聯合街屋之施工期間的耗時。 個月。 個月。 個月 個月



圖 9 千斤頂頂升工法施工流程照

3. 嚴重拆除:建築物因土壤液化發生嚴重 傾斜與下陷,判定為危險建物之建築物 主要位於安南區惠安街161巷,拆除作 業自地震後一個月即開始進行,拆除過 程中發現,各建築物之高度與型態雖有 所不同,其基礎之型式皆為獨立基腳與 地樑之設計。拆除工作耗時約1個月。

#### 四、結論

在本次美濃地震經驗中,因土壤液化 而遭受破壞之建築物主要都是採用獨立基 腳與地樑之基礎設計。另一方面,相較於

- 1. 盧志杰等(2016),「美濃地震液化災損調查及簡易評估」,中華民國第十三屆結構工程研討會暨第三屆地震工程研討會,8月24-26日,桃園
- 2. 黄俊鴻等(2016),「美濃地震台南地區土壤液化與地工災害之踏勘調查」,國家地震工程研究中心報告,NCREE-16-004
- 3. Bray, J.D. and Stewart, J.P., "Chapter 8: Damage patterns and foundation performance in Adapazari. Kocaeli, Turkey Earthquake of August 17, 1999 Reconnaissance Report", Youd, T.L., Bardet, J.P., and Bray, J.D., eds., Earthquake Spectra, Supplement A to Vol. 16, pp. 163-189 (2000).

# 斷層錯動量評估

簡文郁<sup>1</sup>、張喭汝<sup>2</sup>、劉勛仁<sup>3</sup>、張毓文<sup>3</sup>、張志偉<sup>3</sup>

#### 摘要

對於通過或鄰近活動斷層的公共工程,例如道路、橋梁、輸油與輸水等維生管線系統,斷層錯動量評估在地震危害分析與工程設計上相當重要。本研究以目前發展出之斷層錯動評估經驗模型,配合斷層調查之幾何參數進行台灣活動斷層之錯動量評估,以供工程實務耐震評估與補強參考。採用位移評估法(displacement approach,定值法)進行主斷層的錯動量評估。活動斷層與其參考之幾何、斷層型態、評估地震規模等參數主要以地調所2012年版之台灣活斷層圖及TEM'2016年版之台灣活斷層(構造)為參考。

關鍵詞:維生管線系統、活動斷層、錯動量、位移評估法

#### 一、前言

斷層錯動量(fault displacement,又稱斷層移距、斷距、斷層位移)評估大致有兩種評估程序(Youngs, et al., 2003):(1)地震評估法(earthquake approach)—或稱機率式斷層位移評估法(probabilistic fault displacement hazard analysis, PFDHA),針對特定活動斷層採用與機率式地震動評估(PSHA)相類似的程序評估地表破裂之錯動量與機率;及(2)位移評估法(displacement approach)—可視為一種定值法,直接針對被評估的斷層的幾何參數建立斷層錯動與位移之經驗式,評估斷層線上不同位置的可能錯動量。

美國在評估 Yucca Mountain 做為核廢料最終儲存場址之適宜性時,為分析斷層引致之地表破裂潛勢,而發展 PFDHA 程序(Stepp, et. al., 2001);除主斷層破裂外,亦建立次生斷層或次生破裂之機率模型,以評估一定範圍(面積)內因斷層錯動而造成(近)地表破裂之機率與錯動量。然而,對於線狀分布的維生線系統, PFDHA 分析結果之應用仍有待討論,且其評估結果不論就機率或錯動量均相對很小。本研究針對台灣活動斷層(系統),採用位移評估法

(displacement approach,定值法)進行主斷層的錯動量評估。

#### 二、定值式位移評估法

Wells and Coppersmith (1994)由歷史 斷層地震觀察結果分別建立了斷層錯動可 能最大位移(DMAX)、平均位移(DAVG)與震 矩規模(MW)、斷層破裂長度(LSR)、破裂面 寬度(WR)、破裂面積 AR 間的關係經驗式。 其中斷層錯動可能最大位移為斷層破裂時 全線觀測所得的最大位移量,平均位移量 為斷層沿線所觀測的位移量之平均。其定 義為沿著滑動面之錯動量,亦及水平向位 移量與垂直向位移量的向量和。

主斷層錯動量評估程序與相關經驗模型概述如下(Youngs, et al., 2003; Wells and Coppersmith, 1994; Rose, 2011):

(1)設定斷層幾何參數:斷層長度(LsR 或 L)、破裂面積(A<sub>R</sub>=L<sub>SR</sub>\*W<sub>R</sub>)。其中斷層長度主要以地調所2012年版之台灣活斷層圖為主要依據,斷層面之傾角及孕震深度則以TEM'2016年版之台灣活斷層(構造)為參考,以計算斷層破裂寬度 W<sub>R</sub> 及破裂面積A<sub>R</sub>。

<sup>1</sup>國家地震工程研究中心研究員

<sup>2</sup>國家地震工程研究中心專案助理研究員

<sup>3</sup>國家地震工程研究中心助理研究員

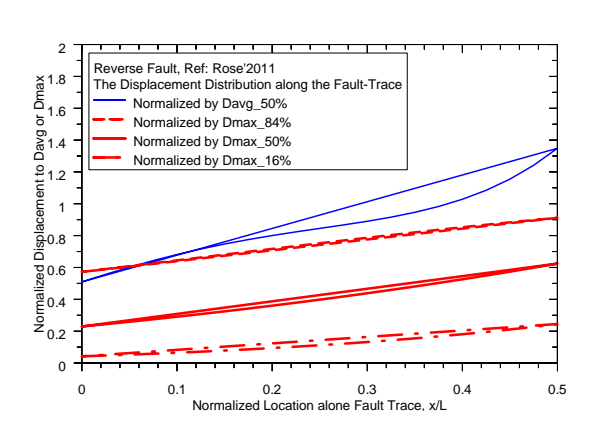
- (2) 評估斷層可能之特徵地震規模 Mw: 為較充分納入不同經驗模型之影響,考慮三種地震規模經驗模型,分別由斷層破裂長度( $L_{SR}$ )、破裂寬度  $W_R$ 、及破裂面積  $A_R$  估算,得到三種地震規模  $M_W$  之估算值(Wells and Coppersmith, 1994)。一般而言,由前述不同斷層參數評估得到的地震規模  $M_W$  其差異約在 0.4 以下,
- (3) 估算斷層平均錯動量 Davg 及最大錯動量 Dmax:,主要採用 Wells and Coppersmith (1994)提出之相關經驗模型;由於該研究所蒐集之地震資料中,逆斷層型式之回歸模型與資料間之關聯性係數不佳,因此,逆斷層以一般斷層模型評估。而 Rose (2011)針對逆斷層地震,新增部分地震資料,重新進行迴歸分析,所得逆斷層之斷層錯動量與地震規模 Mw之經驗模型亦參考採用。
- (4) 評估斷層沿線不同位置之可能錯動量:實際地震調查顯示斷層錯動量沿斷層線位置分布之變異性相當大,但仍可採用 Beta、Gamma 或 Weibull 等常用的機率分布函數來近似。通常以無因次化(正規化) 錯動量(或位移量)參數 z 及正規化位置參數  $\lambda$  ,建立經驗模型。正規化位置參數  $\lambda$  ,建立經驗模型。正規化位置參數  $\lambda$  ,建立經驗模型。正規化位置參數  $\lambda$  ,基本位置距斷層端點之距離,L 為斷層長度,亦即  $\lambda$  上為斷層長度,亦即  $\lambda$  上級數量參數  $\lambda$  ,求得錯動量分別對  $\lambda$  Davg 或  $\lambda$  少縣(3)所得之斷層平均錯動量  $\lambda$  及最大錯動量  $\lambda$

#### 三、地表錯動量之分布模型

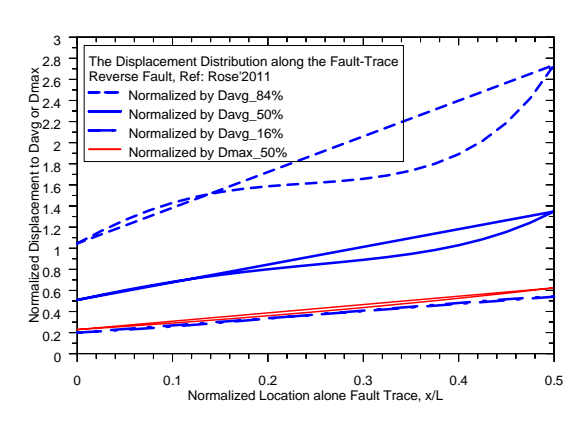
Rose (2011)針對逆斷層地震資料迴歸分析,得到逆斷層沿線不同位置之正規化地表錯動量之分布模型如圖一所示。其中,(藍)粗線模型適用於對平均錯動量正規化,(紅)細線模型適用於對最大錯動量正規化;虛線為 84%超越機率之分布模型,一點索線為 16%超越機率之分布模型。

分別比較以平均錯動量及最大錯動量 正規化後之地表錯動量分布模型之統計特 性,可以發現以最大錯動量正規化之模型有較小的 COV 值(0.68~0.87),但 COV 平均值約 0.77 仍明顯偏高以平均錯動量正規化之模型其 COV 平均值約 0.82 (COV=0.53~1.16),明顯偏高且變化較大。Youngs (2003)等學者針對正斷層地震資料迴歸分析,得到正斷層沿線不同位置之正規化地表錯動量之分布模型,亦有類似結果。對最大錯動量正斷層地表錯動量之分布模型之統計上變異性較小,其 COV 值之範圍為 0.22~0.71,平均約 0.36。

主斷層錯動量評估若採用定值法分析 且考慮多種模型之加權平均,圖一可做為 邏輯樹之權重分配參考,以平均錯動量評 估之分支建議給予較低之權重。由於斷層 錯動量評估研究建立之斷層錯動資料相對 不完整、不充足,使前述分布模型之變異 性較大,本研究採用中值模型進行後續分 析,不建議不同分位數的分布模型。



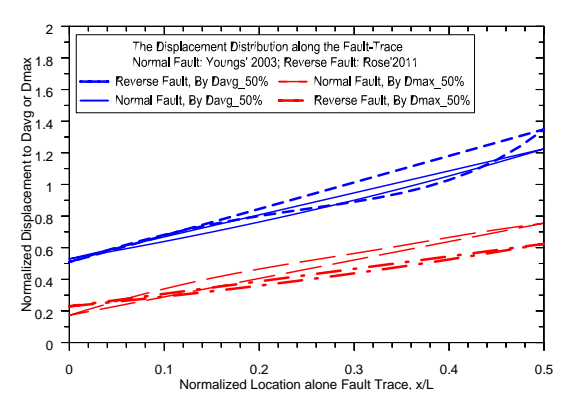
(a)地表錯動量對最大錯動量正規化之分布模型



(b)地表錯動量對平均錯動量正規化之分布模型

圖一: 逆斷層正規化地表錯動量沿斷層跡線位置之分布模型比較。(Rose, 2011)

比較前述學者(Youngs, et. al., 2003; Rose, 2011)提出之正、逆斷層正規化地表錯動量之中值分布模型,如圖二,顯示不論由平均錯動量或最大錯動量調查資料,正規化後之地表錯動量分布模型對正、逆斷層並無統計上的顯著差異。而實務上,斷層錯動機制長為複合型式,其滑移自以所實務評估斷層錯動量沿斷層跡線之分布時,應可不必區分斷層機制造成之差異,或取正、逆斷層模型之平均結果。



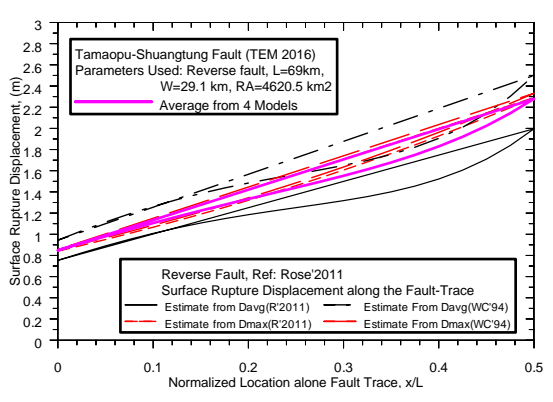
圖二:正、逆斷層地表錯動量沿斷層跡線 位置之分布比較

## 四、案例分析比較

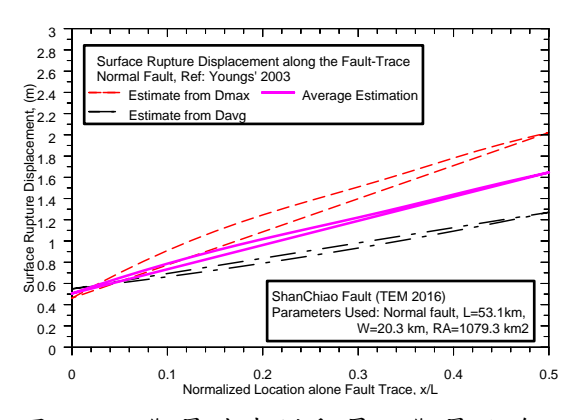
Wells and Coppersmith (1994, WC94) 提出三種斷層破裂機制之平均錯動量 DAVG 及最大錯動量 DMAX 之評估經驗式, 其逆斷層錯動量之評估,建議採用一般斷 層之迴歸分析模型。Rose (2011)針對逆斷 層地震資料迴歸分析,得到逆斷層沿線不 同位置之正規化地表錯動量之分布模型, 如圖一、二所示。以大茅埔-雙冬斷層(逆斷 層)為例,採用 TEM, 2016 之斷層參數,定 其斷層長度約為 69km,破裂面寬度 29 km,破裂面積約4620 km<sup>2</sup>。以三種地震規 模評估模型分別以 Rose (2011)之經驗式計 算斷層平均錯動量 Dava 及最大錯動量 D<sub>MAX</sub>, 其均值分別為 1.48m 及 3.67m。評 估所得之斷層錯動量比較如圖三所示。比 較顯示,在斷層中段區域其評估結果存在 約15%之差異,主要差異來自WC94評估 之 DAVG 所得結果,為所有模型之下限。各 種評估(中值)模型間具有一致性。

以北部山腳斷層(正斷層)為例,採用 TEM, 2016 之斷層參數,定其斷層長度約 為 53km, 破裂面寬度 20.3 km, 破裂面積 約 1079 km<sup>2</sup>。以三種地震規模評估模型分 別計算斷層平均錯動量 DAVG 及最大錯動 量 DMAX。評估所得之斷層錯動量比較如圖 四所示,在斷層中段區域其評估結果存在 近 1.5 倍之差異。實際斷層錯動量及其分布 不論由何種正規化錯動量之中值分布模型 評估應一致。進一步比較正規化地表錯動 量之中值分布模型,顯示80%之範圍內(λ = 0.1~0.5),由平均錯動量或最大錯動量正 規化後之地表錯動量分布模型之比值約為 2,亦相當平穩;此意味著斷層最大錯動量 DMAX 及平均錯動量 DAVG 之比值應接近 2.0。 圖四山腳斷層評估案例結果存在近 1.5 倍之差異,來自 DMAX 及 DAVG 評估結果之 誤差。

建議評估時仍須考慮多種模型可能造成之不確定性,建立定值法分析之邏輯樹,以求取加權平均之結果。



圖三: 逆斷層地表錯動量沿斷層跡線位置 之分布比較例(大茅埔-雙冬斷層)。



圖四:正斷層地表錯動量沿斷層跡線位置 之分布比較例(山腳斷層)。

實務工程評估應用實,可依據工址位置距斷層起點之距離 X 及斷層長度  $S_{RL}$ (或 L),計算正規化位置參數  $\lambda$ ( $\lambda$ =X/L),即可由圖三、四中之實線直接查得錯動量。圖中顯示之錯動量皆為沿破裂面方向之錯動量。

#### 五、結論與展望

本研究僅針對主斷層錯動量進行定值 法評估。為考量斷層在地表跡線位置仍存 有不確定性,建議前述評估所得之斷層錯 動量(Dm)之應用範圍加以擴增。擴增範圍 可參酌中央地質調查所對斷層地質敏感帶 之劃分原則,建議如下:

(1)正、逆斷層:(a)下盤之工址,距離50公尺內採用Dm,50公尺至100公尺採用Dm/2;(b)上盤之工址,距離100公尺內採用Dm,100公尺至200公尺採用Dm/2。(2)走向滑移斷層:斷層兩側距離75公尺內採用Dm,75公尺至150公尺採用Dm/2。

定值法評估仍建議考量斷層幾何參數 (斷層長度、破裂面傾角、深度或寬度)之不確定性,採多種評估模型分析,加權平均,以反映評估模型之不確定性,但皆採用中值模型之評估結果。由斷層錯動量資料建置之分布模型,其 DMAX 所建置模型之變異性較小,顯示資料庫之可性度應較高,建議在邏輯樹之權重分配時,以平均錯動量評估之分支應給予較低之權重。

應用時仍應參酌結構物之重要性類別適度考量不同之可靠度(重要性群組)因子。例如美國維生線聯盟所發行之輸水系統耐震設計準則(G&E Engineering Systems Inc., 2005)建議一般系統採用中值錯動量為設計基準,而重要系統及災後需提供緊急服務之必要系統,其設計基準分別再提升為1.5倍及2.3倍。對於重要之維生線系統,例如大口徑重要輸油、輸水管線、高速鐵路系統等之設計基準較一般結構高,建議以1.5倍中值錯動量(Dm)為設計基準。

斷層錯動量評估技術尚在發展的階段,評估模型研究所需之斷層錯動資料相對不完整、不充足,國際學術界正加強震

災調查,建置研究資料庫。因此,相關評估經驗模型亦有欠缺。本報告僅對中央地質調查所公布之活動斷層,配合斷層調查 之幾何參數,進行主斷層錯動量評估,以 為國內維生系統耐震評估與設計之參考。

斷層次生破裂可能發生之範圍、位置 有極大之不確定性,發生機率相對較低, 且斷層次生破裂引致之錯動量也相對較 小,以機率法評估較為恰當,後續研究。

- Rose, Z.E., 2011. Probabilistic Fault Displacement Hazard Analysis For Reverse Faults And Surface Rupture Scale Invariance, Thesis, the Faculty of California Polytechnic State University, San Luis Obispo.
- 2. Wells, D. L. and Coppersmith, K. J. (1994). "New Empirical Relationships among Magnitude, Rupture Length, Rupture Width, Rupture Area, and Surface Displacement," Bull. Seism. Soc. Am., 84, 974-1002.
- 3. Youngs, R.R., Arabasz, W.J., Anderson, R.E., Ramelli, A.R., Ake, J.P., Slemmons, D.B., McCalpin, J.P., Doser, D.I., Fridrich, C.J., Swan, F.H. III, Rogers, A.M., Yount, J.C., Anderson, L.W., Smith, K.D., Bruhn, R.L., Knuepfer, L.K., Smith, R.B., dePolo, C.M., O'Leary, K.W., Coppersmith, K.J., Pezzopane, S.K., Schwartz, D.P., Whitney, J.W., Olig, S.S., and Toro, G.R., 2003, A methodology for probabilistic fault displacement hazard analysis (PFDHA): Earthquake Spectra, vol. 19, no. 1, p. 191-219.
- 4. Petersen, Mark D., Timothy E. Dawson, Rui Chen, Tianqing Cao, Christopher J. Wills, David P. Schwartz, and Arthur D. Frankel, 2011. Fault Displacement Hazard for Strike-Slip Faults, Bull. Seismol. Soc. Am. 101(2), 805–825.

# 台灣西南部間歇性泥火山之研究

瓦里亞 1 林世榮 2 亞耳文 3 宋翊羣 4 傅慶州 5 溫國樑 6

#### 摘要

台灣西南部有許多泥火山分布,其中位於屏東萬丹及近年在高雄鳥松之泥火山,屬間歇性噴發,亦即噴發活動會不定時、不定點。噴發期間伴隨大量高溫泥漿溢流,造成農田覆蓋、道路受阻及溝渠阻塞等災情。本研究利用土壤氣體分析技術探討噴發前後可能的土壤逸氣成分變化,並在萬丹地區設置小區域微震觀測網。

初步結果顯示土壤氡氣在鳥松及萬丹地區平均背景值分別是 22,500 及 13,000 貝克/ 立方米,因採樣時間間隔的關係,噴發前後未見顯著變化。位於萬丹之寬頻地震儀則有 完整記錄到噴發的時間序列。

關鍵詞:間歇性泥火山、氦氣、寬頻地震儀

#### 一、前言

#### 二、間歇性泥火山

一般常見的泥火山,其噴發活動均不大,屬細水長流型;而間歇性泥火山特點是噴發活動會不定時、不定點,短則一天長則 2-3 天內結束。其噴出的氣體含有大量

甲烷,而泥漿也經常造成溝渠堵塞,農田 也因泥漿覆蓋而無法使用,之後現場遺留 下一個坑洞,以屏東萬丹及高雄鳥松為典 型代表。

以下分別就屏東萬丹及高雄鳥松雨地 作介紹:

#### (1) 屏東萬丹:

<sup>1</sup>國家地震工程研究中心研究員

<sup>2</sup>國家地震工程研究中心助理研究員

<sup>3</sup>國家地震工程研究中心專案副研究員

<sup>4</sup>國家地震工程研究中心專案助理技術師

<sup>5</sup>中研院地球所博士後研究

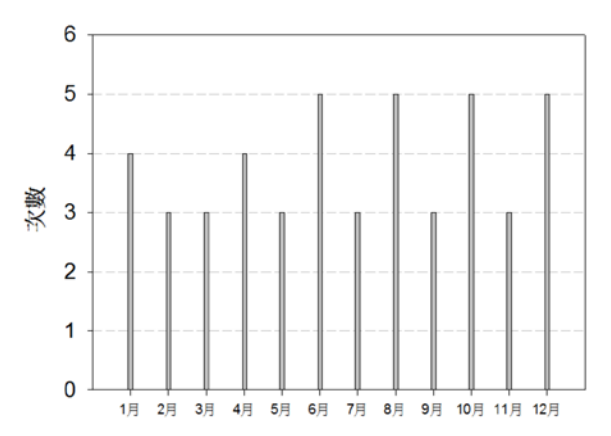
<sup>6</sup>國家地震工程研究中心組長

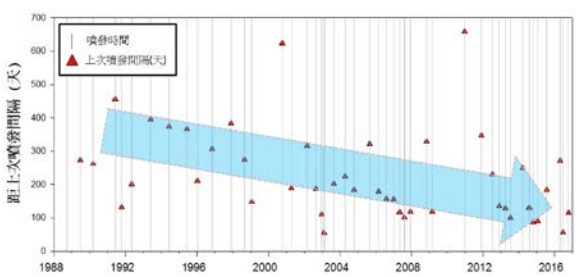


圖一 萬丹泥火山近年噴發點分布及寬頻 地震站與土壤氣體採樣點位置。

#### 表一 萬丹泥火山噴發時間

噴發日期	距上一 次噴發 間隔 (天)	噴發日期	距上一 次噴發 間隔 (天)
1988/09/15	-	2005/09/02	322
1989/06/15	273	2006/02/28	179
1990/03/04	262	2006/08/04	157
1991/06/03	456	2007/01/07	156
1991/10/13	132	2007/05/04	117
1992/05/01	201	2007/08/14	102
1993/05/31	395	2007/12/11	119
1994/06/09	374	2008/11/04	329
1995/06/10	366	2009/03/02	118
1996/01/07	211	2010/12/21	659
1996/11/08	306	2011/12/02	346
1997/11/27	384	2012/07/20	231
1998/08/28	274	2012/12/02	135
1999/01/23	148	2013/04/10	129
2000/10/08	624	2013/07/19	100
2001/04/15	189	2014/03/26	250
2002/02/25	316	2014/08/04	131
2002/08/31	187	2014/10/30	87
2002/12/19	110	2015/01/28	90
2003/02/12	55	2015/07/31	184
2003/09/02	202	2016/04/28	272
2004/04/14	225	2016/06/24	57
2004/10/15	184	2016/10/18	116





圖二 (a)萬丹泥火山歷年噴發之月份; (b)前後噴發之時間間隔。

#### (2)高雄鳥松:

位於高雄鳥松鄉,2010年首次噴發,2011 年無噴發,之後幾乎年年噴發,2016年甚 至噴發 4次,噴發地點就在工廠旁一塊農 地上,如圖三,訪查附近居民,過去未聞 有噴發記錄。噴發期間噴出的泥漿可高達 3米,大量泥漿水溢流至排水溝。其噴發 口逐年擴大,由原先一裂隙擴大至一直徑 約3公尺泥水坑,如圖四,歷次噴發時間 整理如表二。

2016 年起在噴發口旁放置固定採樣點,採 集土壤氣體,分析氡氣、甲烷及二氧化碳 等含量。



圖三 鳥松泥火山噴發照



圖四 鳥松泥火山噴發口變化,由一裂縫 漸漸擴大至泥水坑

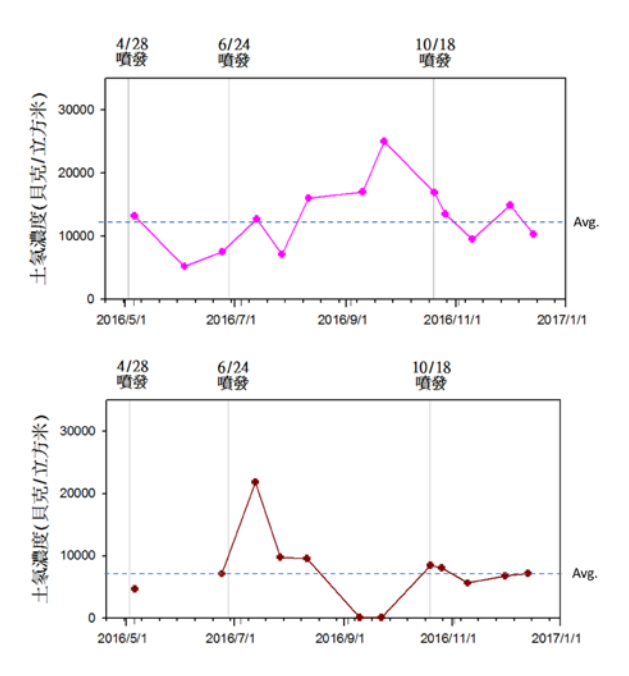
表二 高雄鳥松泥火山歷次噴發時間

	1
噴發日期	距上一次噴發 間隔(天)
2010/4/14	-
2012/2/9	666
2012/3/24	44
2013/7/20	483
2014/3/7	230
2014/9/21	198
2015/10/26	400
2016/5/7	194
2016/7/7	61
2016/9/28	83
2016/12/2	65
2017/2/13	73

## 三、初步結果

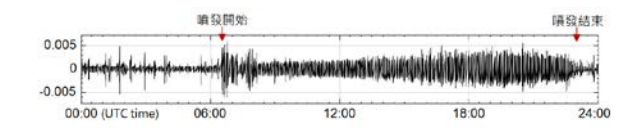
#### (1)屏東萬丹:

在萬丹地區透過每月 1~2 次的採樣頻率, 其結果如圖五,皇源聖殿舊噴發口(WD-1) 旁之土壤氡氣活度背景值約 13,000 貝克/ 立方米,而鄰近土地公廟舊噴發口(WD-2) 背景值約 7,500 貝克/立方米。採樣期間有 經歷過3次噴發,從土壤氦氣之時序變化, 尚無法顯示土氡活度變化與噴發事件之關 聯。



圖五 萬丹地區舊噴發口旁固定採樣點之 土壤氡氣分析結果 (a)皇源聖殿旁(WD-1); (b)土地公廟(WD-2)

在寬頻地震儀結果上,從時序資料顯示噴發期間高頻訊號特別明顯,震幅也增大,可清楚顯示噴發開始(6/24 14:30)跟結束(6/25 07:00),如圖六。民眾看到泥漿流出大約是下午3點,之後再通報已過一段時間。待我方人員到達現場已接近深夜時間。待我方人員到達現場已接近深夜時光子是噴發活動的最劇烈的時候,直至隔日上午7點左右噴發才逐漸停止。從波形上研判該次噴發的時間持續約 16.5 小時。



圖六 萬丹寬頻地震測站-1 在 2016/6/24 噴 發當日之所記錄之波形(UTC time)

#### (2)高雄鳥松:

在鳥松地區每月1~2次的採樣頻率,其結果如圖七,在噴發口旁之固定採樣點所測得之土壤氡氣活度背景值約22,500 貝克/立方米。2016年間共有4次噴發,從土壤氡氣之時序變化,無法顯示土氡活度變化與噴發事件之關聯。



圖七 鳥松泥火山旁固定採樣點之土壤 氡氣分析結果

#### 四、結論與展望

- 陳太山、石文卿(2013)臺灣西南部的 泥火山分佈與油氣探勘潛能。鑛冶,第 57卷3期,65-74頁。
- 2. 楊燦堯(2006)泥火山噴氣所帶來的地 底訊息。地質25卷6期,30-36頁。
- 3. 鄭筑云(2015)萬丹與鳥松泥火山噴發 活動特徵之研究。高雄師範大學地理系 碩士論文,共92頁。
- 4. Walia, V., Yang, T.F., Lin, S.J., Hong, W.L., Fu, C.C., Wen, K.L., Chen, C.H. (2009b). "Continuous temporal soil.gas composition variations for earthquake precursory studies along Hsincheng and Hsinhua faults in Taiwan". Radiat. Meas., 44, 934.939.
- 5. Walia, V., Yang, T.F., Lin, S.J., Hong, WL., Fu, C.C., Wen, K-L., Chen, C-H.

- (2009a). "Geochemical variation of soilgas composition for fault and earthquake precursory studies along Hsincheng fault in NW Taiwan". Appl. Radiat. Isotopes, 67, 1855-1863.
- 6. Walia, V., Yang, T.F., Lin, S-J., Kumar, A., Fu, C-C., Chiu, J-M., Chang, H-H., Wen, K-L., Chen, C-H. (2013). "Temporal variation of soil gas compositions for earthquake surveillance in Taiwan." Radiat Meas., 50, 154-159.
- Yang, T.F., Yeh, G-H., Fu, C-C., Wang, C-C., Lan, T.F., Lee, H-F., Chen, C-H., Walia, V., Sung Q-C., (2004).
   Composition and exhalation flux of gases from mud volcanoes in Taiwan. Environmental Geology, 46, 1003–11.

# 利用微地動單站頻譜比擬合技術建構 官蘭盆地剪力波速度構造

林哲民 1 方熙蒂 2 郭俊翔 1 黃雋彥 3 溫國樑 4,5

#### 摘要

宜蘭平原為一覆蓋著鬆散第四紀沖積層的沈積盆地,其下是堅硬的中新世基盤,此高地層速度落差之盆地構造易放大地震動影響。由於此地區地震頻仍,是台灣高地震風險的區域之一,詳細的剪力波速度構造有助於地動場址效應之研究。宜蘭平原已有密集的微地動量測分析資料,本研究利用微地動單站頻譜比擬合技術,估算剪力波速度構造。研究中以氣象局強震站之接收函數分析結果和強震測站場址工程地質資料庫的鑽探岩心資料作為速度剖面之初始模型,利用基因演算法找到各測點最佳的剪力波速度剖面。

宜蘭平原的基盤和淺部三個地層之構造形貌皆透過本研究結果描繪出來,基盤等高線圖與過去研究結果相似,但透過密集且平均的測點分佈獲得更為平滑且詳細的形貌。最上層的鬆軟土層於宜蘭東部沿岸厚達 250 公尺,剪力波速度為 150 至 400m/s 之間。其下的沖積層的速度範圍在 300 至 700 m/s。第三層為更新世地層,其厚度為 10 至 800 公尺間不等,越往東則越厚。盆地底部之基盤面深度在 30 至 1300 公尺間,地層剪力波速度為 900 至 1500 m/s;此結果也進一步證實宜蘭盆地之地震動場址特性明顯受控於盆地基盤面形貌,也就是盆地內鬆軟土層及沈積層之分布。

關鍵詞:宜蘭平原、微地動、單站頻譜比、剪力波速度、場址效應

#### 一、前言

 預估及災情評估之需要,一個可以實際反應其複雜地震動場址特性之宜蘭盆地淺部 速度構造成為不可或缺之重要基礎。

Chiang(1976)已將宜蘭盆地基盤形貌之等深圖(圖一)描繪出來,盆地內沈積層厚度由盆地邊緣往東北海岸線逐漸加深,最深處之現世沖積層和更新世地層底部深度分別為400和1600公尺。中新世基盤之壓縮波(P波)速度速度為3.3km/sec,覆蓋其上之沖積層和更新世地層波速則分別為500至1000m/sec和1.8至2.0km/sec (Wen and Yen, 1984)。

宜蘭盆地在前人研究中已完成了共354個均勻測點分布之密集微地動量測(圖一),並透過單站頻譜比(single-station horizontal-to-vertical (H/V) spectral ratio)分

<sup>1</sup> 國家地震工程研究中心副研究員

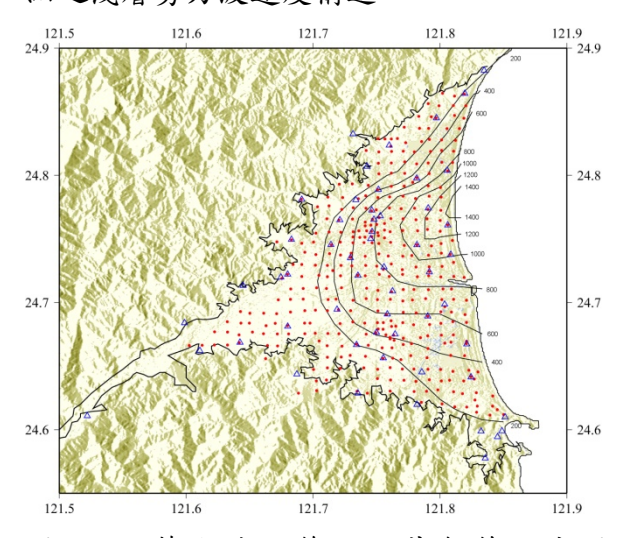
<sup>2</sup> 國立中央大學地球科學系碩士畢業生

<sup>3</sup> 國家地震工程研究中心助理研究員

<sup>4</sup> 國家地震工程研究中心組長

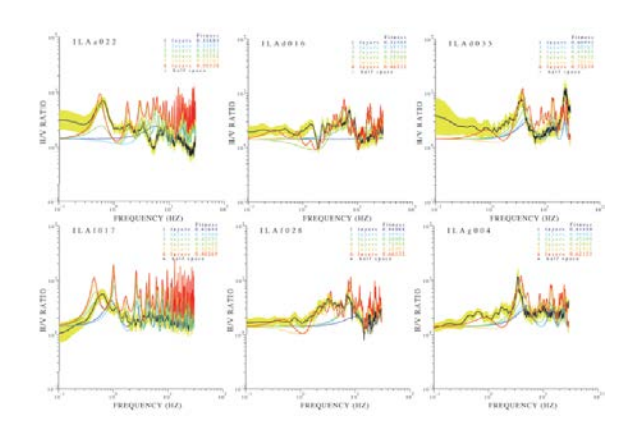
<sup>5</sup> 國立中央大學地球科學系教授

析其場址特性變化。宜蘭地區的微地動場,盆共振主頻發生頻帶多落在 0.3 至 3.0Hz,盆地邊緣則可會在較高的 6.0Hz 以上,盆地東側沿海上亞國門區的微地動場。 一個人 1.3 Hz 之 1.3 Hz 之 1.3 Hz 之 1.4 上 2.4 上 2.4 上 3.4 上 3.4 上 3.4 上 4.5 上 5.4 上 5.4



圖一 宜蘭盆地之第三紀基盤等深度圖 (Chiang, 1976)。黑線為等深線,深度單位為公尺。紅點標示出 354 個微地動測點, 藍色三角形為 55 個氣象局 TSMIP 強震站。

## 二、微地動單站頻譜比之擬合

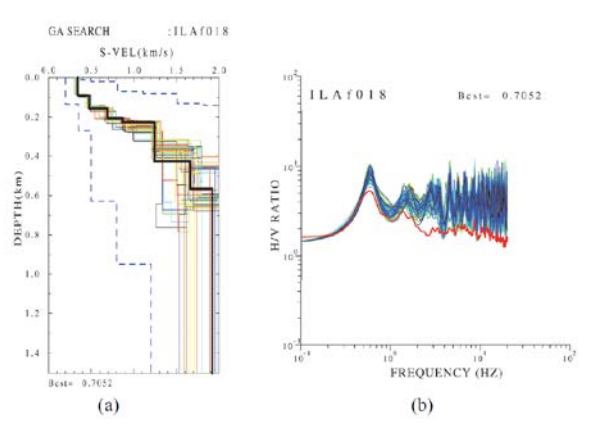


圖二 六個 TSMIP 強震站之微地動單站頻譜比(黑線)與其接收函數速度模型之理論 SH 波轉換函數(紅線)的比對。其他顏色線條代表較少地層之理論轉換函數,作為評估特定地層對場址特性之參考。

在微地動單站頻譜比擬合工作上,本 研究是採用赫氏法(Haskell method)計算 一維模型之 SH 波垂直入射理論地層轉換 函數 (Haskell, 1960)。一般來說,場址之 主要放大頻帶可輕易的透過簡單地層之理 論函數擬合,但對於複雜之全頻率單站頻 譜比擬合則需考慮複雜多層構造或甚至是 二維或三維構造效應。為解決模型擬合上 的複雜性,本研究採用自行研發之基因赫 氏法(GA-Haskell method), 此技術結合赫 氏法與基因演算法來搜尋擬合單站頻譜比 之最加速度模型解,透過基因演算法中之 擇優、交配及突變操作,利用適應函數判 斷個體之優劣,產生擁有較優良基因的新 一代個體,如此反覆演化直到產生適應力 高達一特定值或達到最大演化世代,達到 最佳解搜尋目的。

在起始模型設定上,主要參考宜蘭盆 地內 55 個氣象局 TSMIP 強震站(圖一) 經接收函數分析所得之淺層速度剖面結果,建立 6 或 7 層之速度模型。為測試微 地動單站頻譜比與起始模型之相關性,首 數,與微地動單站頻譜比相比較並計算理 論與觀測結果都有一定程度相關性,可 計與觀測結果都有一定程度相關性,可 理將這些起始模型作為鄰近微地動測點之 輸入模型起始範圍。此外,國震中心之 EGDT資料庫 (Kuo et al., 2012) 在宜蘭地 區也有 52 個 TSMIP 強震站有鑽探資料, 其中包含近地表之 SPT-N 值、壓縮波及剪 力波速度,其剪力波速度資料也可作為本 研究模型設定之參考。

在基因赫氏法之單站頻譜比擬合上, 是從起始之地層厚度和速度範圍中隨機產 生許多速度模型,再產生其理論轉換函數 並與實測單站頻譜比計算其線性相關係數 (適應函數),判斷個體之優劣,產生擁有 較優良基因的新一代個體,如此反覆演化 求得最佳擬合解。在大量的演算後,最佳 的速度剖面解會被儲存,如圖三即是一測 點之基因赫氏法結果, 包含 50 個擬合最佳 之速度剖面(圖三 a),以及其對應的理論 轉換函數與實測頻譜比之比較(圖三b)。 由大多數測點擬合結果來看基因赫氏法求 得之理論轉換函數與單站頻譜比相當符 合,而因適應函數中加入了主頻的控制, 雨者之主頻完全一致, 主頻之振幅也大致 吻合,且此方法對於較複雜的單站頻譜比 也能由速度構造的變化加以擬合。



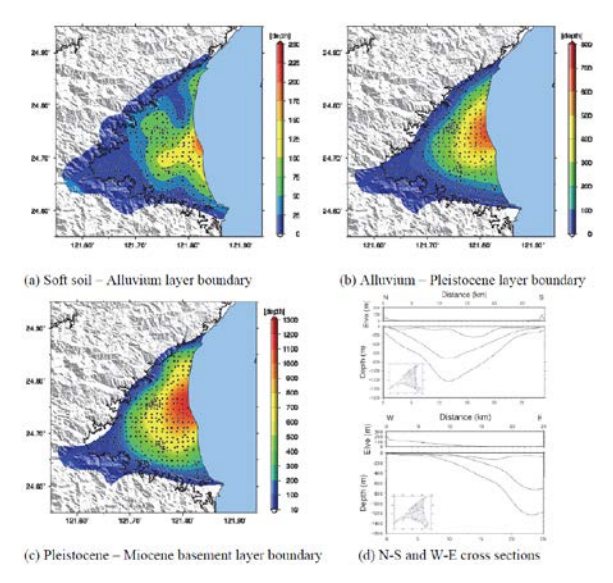
圖三 微地動單站頻譜比擬合範例。(a) 50 個擬合最佳之剪力波速度剖面,黑色為最 佳解,藍色虛線為起始模型之搜尋範圍。 (b) 最佳解對應之理論地層轉換函數與實 測微地動單站頻譜比(紅線)之比較。

## 三、剪力波速度構造結果

從圖三之單站頻譜比擬合結果範例速 度剖面中,可看到數個速度落差較顯著之 深度位置,這些速度介面可視為主要地層 邊界位置,透過介面上下之剪力波速度範 圍,考量因覆土壓力、膠結或岩化程度之 差異給予一定程度之差異後,即可從各個 微地動測點之速度剖面結果中挑選出一致 的主要地層速度介面,並由其深度形貌與 速度範圍對應前人研究所指出之宜蘭盆地 內之主要地層年代。

整合所有微地動測點之速度剖面結 果,本研究辨識出宜蘭盆地內三個主要地 層邊界形貌(圖四)。最上層第一個地層介 面(圖四a)是介於近地表未膠結鬆軟土層 與其下沖積層,這個速度介面相對較不明 顯,但仍能在多數測點結果上找到對應之 位置,盆地內近地表未膠結鬆軟土層之剪 力波速隨深度變化在 150 至 400m/sec 之 間,沖積層之剪力波速則在300至700m/sec 之間;兩者介面深度構造形貌較不規則, 盆地西側之邊緣的深度都在25公尺內,然 而,介面深度最深的蘭陽溪口處則可達約 250 公尺,也就是現在沖刷沈積活動最活躍 的位置,隨著測點由海岸線往北、西及南 邊移動,其上的鬆軟土層即越來越薄。第 二個地層介面被判斷是上新世地層之頂 部,其上就是現世沖積層;此介面可清楚 且一貫的在大多數測點結果中辨視出來 (圖四 b),上新世地層剪力波速介於 500 至 1100m/sec 之間,頂部深度位置則在 10 至 800 公尺間變化。此上新世地層之頂部 介面由盆地邊緣逐漸向東側海岸逐漸變 深,形成一完整的半盆地形貌,相對於前 述沖積層頂部介面,上新世地層頂部最深 800 公尺的位置略往北移,約在壯圍海邊。

最深的第三個地層介面是剪力波速度 對比變化最大的一個,由其深度和速度範圍可判斷其為上新世地層與中新世基盤 層之介面。此高速度對比之基盤構造造整 出之益地基盤形貌如圖以主在 900 出之盆地基盤形貌如圖力波速在 900 也中新世基盤地層剪力波速在 900 是 1500m/sec 之間,深度從盆地邊緣的淺深 度變化相當大,最深處也是在壯圍海。 一種,同樣形成一更深的半盆地形貌。 Chiang (1976) 震測與鑽探之結果(圖一)相當 一致,宜蘭之基盤面都由盆地邊緣往東下 傾至壯圍一帶,並有往外海龜山島方向延伸之趨勢,與此區域屬於弧後擴張盆地之延伸的地體構造背景吻合。然而,本研究密集且均勻的微地動資料則更完整的描繪整個盆地之形貌,也進一步證實宜蘭盆地之地震動場址共振主頻明顯受控於此基盤面形貌,也就是盆地內鬆軟土層及沈積層之分布。



圖四 本研究所描繪出宜蘭盆地剪力波速度構造之三個主要地層速度介面。(a) 鬆軟土層-沖積層介面,(b) 沖積層-上新世地層介面,(c)上新世-中新世基盤地層介面,(d) 三個地層介面在南北及東西兩條跨越宜蘭盆地之構造形貌剖面。

彙整本研究所辨識出之宜蘭盆地三維 速度構造,進一步繪製成兩條跨越宜蘭盆 地之構造形貌剖面,如圖四 d 所示。南北 向剖面位置在盆地東側沿海, 由頭城、礁 溪一帶往南延伸至蘇澳,顯示基盤面之南 北向剖面呈現對稱的變化,由南北往盆地 中間變深,更新世地層頂部也是相似的變 化;最淺的鬆軟土層和沖積層分布形貌則 較不規則,兩者間介面最深位置也較為南 邊,顯示此段沈積過程中存在沈積中心南 移的變化。南北向的剖面由盆地西端之三 星往東北至壯圍一帶,盆地內之沈積物厚 度的由西側的 50 公尺快速加深至東側的 1300 公尺,沖積層及更新世地層都是越往 東越厚,地表之鬆軟土層則有在盆地中心 變深後再往東變淺的變化。

### 四、結論

- 1. Chiang, S. C. (1976). "A Seismic Refraction Prospecting of the Ilan Plain," *Minging Tech.*, 14, 215-221.
- 2. Haskell, N. A. (1960). "Crust reflection of plane SH-waves, " *J. Geophys. Res.*, 65, 4147-4150.
- 3. Kuo, C. H., Wen, K. L., Hsieh, H. H., Lin, C. M., Chang, T. M., and Kuo, K. W. (2012). "Site Classification and Vs30 Estimation of Free-field TSMIP Stations Using the Logging Data of EGDT," *Engineering Geology*, 129-130, 68-75.
- 4. Lin, C. M. (2003). Shallow Structure Beneath Lan-Yang Plain using High-frequency Receiver Function Technique, *Master Thesis*, National Central University, Taoyuan.
- 5. Wen, K. L. and Yeh, Y. T. (1984). "Seismic Velocity Structure Beneath the SMART 1 Array. Bulletin of the Institute of Earth Sciences," *Academia Sinica*, 4, 51-72.

# 美濃地震近震源區域的強地動與場址放大特性

郭俊翔 1 林哲民 2 黄雋彦 3 許丁友 4 趙書賢 5 溫國樑 6

#### 摘要

2016年2月6日凌晨,震矩規模(Mw)6.5(芮式規模6.6)的強震發生在高雄市美濃區(屏東縣政府北偏東方27.1公里)。這個地震中所觀測到的地表最大加速度(PGA)和最大速度(PGV)分別為445gal和76cm/s。主要災害地區大約位於整個PGA值達到200gal和PGV值30cm/s以上的範圍內,同時在台南市境內與震央夾角105度的區域內也觀測到強烈的震源破裂方向效應。經分析後,共有27個測站記錄到所謂的速度脈衝訊號(Pulse-like velocity),這些測站所在之處的水平向最大PGV都高於25cm/s。這些速度脈衝訊號依照其方向大致可分為兩群:(1)位於台南市中部到北部一帶,可觀測到數個測站都記錄到接近南北方向的最大速度脈衝;(2)在台南市中區至西區一帶的幾個測站,所觀測到的最大速度脈衝則是呈東西方向。此現象正好能以學者所提出的雙斷層面模型來解釋。本研究則更進一步將震源破裂方向效應和場址效應分開量化,若以震源距30公里內的地區來說,美濃地震所造成的場址放大和震源破裂的加乘效應分別是3.1倍和5.4倍。

關鍵詞:美濃地震、近斷層地動、破裂方向效應、場址效應、速度脈衝

### 一、前言

台灣時間2016年2月6日凌晨3時57 分(標準時間2月5日19點57分)於高 雄市美濃區 (屏東縣政府北偏東方 27.1 公 里)發生芮氏地震規模 ML 6.6 的強震(震 矩規模 MW 6.5), 共造成 117 人死亡, 250 餘棟房屋嚴重受損。根據中央氣象局 (CWB) 地震測報中心的地震報告,美濃 地震的震央座標為東經 120.54 度、北緯 22.92 度,約落在屏東縣政府東北方 27.1 公里處,其震源深度約為14.6公里,震源 機制所得的兩個破裂面分別為 275°/41°/17 °和 172°/79°/130°,分别呈現左移和斜向 逆衝的破裂機制。美國地質調查所(USGS) 所公佈的 W-Phase 震源機制解的結果則為 299°/25°/38°和 174°/75°/110°,分別呈現 斜向逆衝和逆衝斷層的破裂機制。因使用

的測站不同,氣象局地震中心和美國地調 所的震源機制解在斷層走向的角度很接 近,但傾角和滑移角則差異較大。

<sup>1</sup> 國家地震工程研究中心副研究員

<sup>2</sup> 國家地震工程研究中心副研究員

<sup>3</sup> 國家地震工程研究中心助理研究員

<sup>4</sup> 國立台灣科技大學營建系助理教授

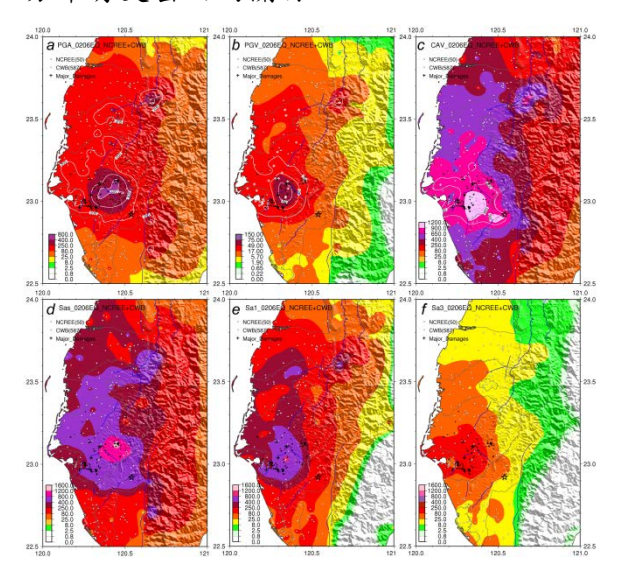
<sup>5</sup> 國家地震工程研究中心副研究員

<sup>6</sup> 國立中央大學地球科學系教授

解釋不同速度脈衝方向的特殊現象。由於 台南市西區位於相當厚的沈積層上,此處 的地震災害也與場址放大效應有關,本研 究進一步利用氣象局地表-井下觀測網的 地震記錄,將震源破裂方向性效應和場址 放大效應分開進行量化分析與討論。

#### 二、近震源區域的強地動

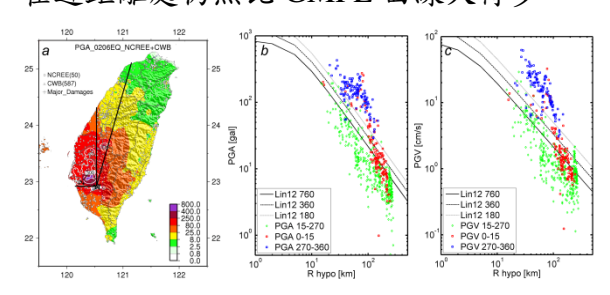
此地震中所觀測到的最大地表加速度 (PGA) 為 445 gal, 位於 CHY062 測站, 其震央距為 23.8 公里;最大地表速度 (PGV) 為 76 cm/s, 位於 CHY063 測站, 其震央距為22.8公里,測站與震源之方位 角分別為 301 度和 340 度。近震源地區最 大震度為7級(PGA大於400 gal),也因 此造成許多房屋嚴重的損毀。因此我們要 使用氣象局(Shin et al. 2013)和國震中心 的強震記錄分析近震源地區的地動特性, 並討論震度分布與災損的關係。我們將 PGA、PGV、累積絕對速度(CAV)、以 及 0.3 秒、1 秒、3 秒的加速度反應譜分布 圖繪於圖一。我們使用 587 個氣象局測站 記錄和50個國震中心的測站記錄來繪製圖 一。雖然氣象局所採用的官方震度是依據 PGA 值來定義,但一般相信 PGV 值和災害 分布有更密切的關係。



圖一 PGA、PGV、CAV(上排)與 Sa0.3、Sa1.0、Sa3.0(下排)之分布圖。

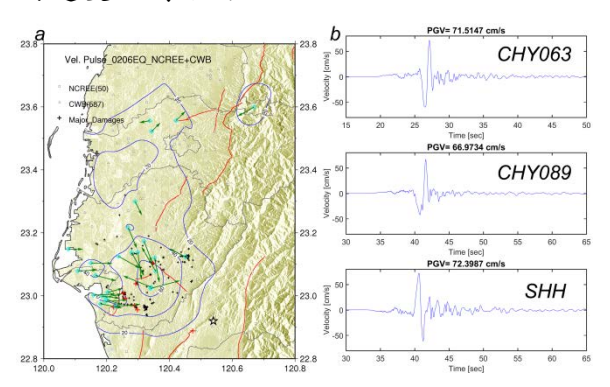
我們發現主要災害都分布在PGA大於200 gal、PGV大於30 cm/s、CAV大於600

cm/s 的範圍內。不同週期的反應譜分布圖 則能夠用來分析不同週期地動值的分布。 台南市遭受不同週期的強烈震波衝擊,因 此不同高度的建築物都有損壞的情況,不 對稱的震度分布反應了震源的破裂效應, 將強地動實測值與使用預估式(GMPE)所 計算的估計值的比較(圖二)之下也可看 出此現象。震源破裂效應所影響的方位角 約為 N90°W 到 N15°E, 共 105 度的範圍, 我們將此範圍再分為2個區段,分別是N90 °W(藍色點)到N和N到N15°E(紅色 點),黑色分隔線畫於圖二左的震度分布 圖上。剩下方位角的地動值則以綠色表 示。此GMPE曲線分別考慮Vs30為760 m/s (岩盤)、360 m/s (堅實土層)、180 m/s (軟弱土層)等情況(由下至上)作為比 較。由於震源破裂效應顯著,即使考慮軟 弱土層的放大效應後,PGA和 PGV 觀測值 在近距離處仍然比 GMPE 曲線大得多。



圖二 左圖為測站的分隔示意圖;中圖和右 圖分別為 PGA 和 PGV 的觀測值和 GPME 經驗式的比較圖。

Huang et al. (2016) 使用大地測量和 地震資料推求美濃地震的有限斷層模型, 該研究提出雙斷層模型解釋美濃地震複雜 的地動特性,斷層一為震源向西破裂,接 近東西走向之斷層; 斷層二則是由斷層一 中間往北破裂,但其深度較斷層一淺,故 其呈現接近南北走向。這個雙斷層模型就 能很好地解釋我們所觀測到的最大速度脈 衝方向特性。南北向的速度脈衝訊號是由 斷層一(東西走向)破裂所引起,東西向 速度脈衝訊號則是由淺部的斷層二(南北 走向)破裂所引起。圖三右圖則是 CHY063、CHY089、SHH 三個測站的最大 水平向速度震波圖,為速度脈衝訊號的三 個案例。在觀測到速度脈衝的 27 個測站 中,其水平向最大 PGV 從 25 cm/s 到 72 cm/s, 而北邊的嘉義市境內有 3 個測站也 呈現速度脈衝訊號,但由於其距離太遠, 我們排除是由於震源破裂效應所引起,認 為應該是區域場址效應所造成,而雲林縣 境內山區的草嶺站也觀測到類似波型,因 為該測站波型較特殊,判斷是由於地形效 應所造成。此區域內許多建築物都受到此 強烈的速度脈衝作用而損壞,數棟損害較 嚴重的建築物其變形方向幾乎與與近測站 的速度脈衝方向一致。



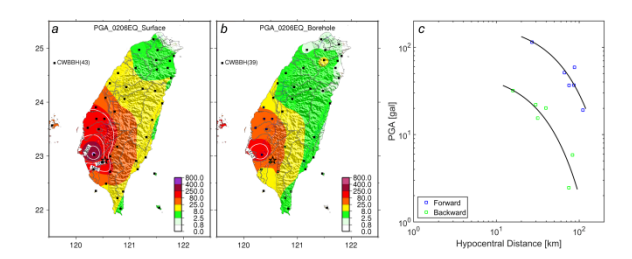
圖三 左圖為速度脈衝的測站和其方向;右 圖則是3個測站案例。

# 三、震源破裂與場址放大效應之量化 分析

圖二中所看到的強地動異常高值出現在 105 度方位角內,除了受到震源破裂效應外,因為該區域位於沖積層相當厚的西

部平原,因此也有部份是由於場址放大效應所造成。我們使用氣象局近年來設置的地表-井下測站的地震記錄來分析應過數大效應和破裂方向效應和發展過去和井下位置的震度圖層。我們假立大效應,們所不到的一個測到最大的實質與一個人。我們選擇位於,實際或數應的另一位的記錄,使用公式(1)來分析此區域的場址放大效應,

若可移除場址放大效應,我們則可直接分析震源破裂的方向效應,因此直接分析不受場址效應影響的井下地震記錄即得到類似成果。此步驟中我們選用位於震源西北方向的同樣 6 個測站 (藍色方框),並選用位於背向震源破裂方向的 6 個測站 (綠色方框) 作為比較,其 PGA 分布結果如圖四右圖所示。我們使用簡單的公式分別表示其衰減律為 PGA = 193.16 × exp(-0.019R) 以及 PGV = 54.12 × exp(-0.033R),R 代表震源距。而震源破裂效應 (FDE) 可使用公式 (2) 來量化,



圖四 (a)和(b)分別是地表和井下的震度圖,(c)則是 PGA 隨距離的分布與衰減曲線,位於破裂方向的測站 PGA 以藍色表示,相反方向則以綠色表示。

#### 四、結論

本研究使用強震記錄計算並繪製不同的震度圖,以了解不同週期的強地動分布特性,發現主要災損分布在PGA大於200gal、PGV大於30cm/s、以及CAV大於650cm/s的區域內。

破裂方向效應所引起的速度脈衝型訊 號極具破壞力,在美濃地震中共有27個測 站觀測到此種類的震波,此外,我們也發 現台南市內測站在不同區域分別具有互相 正交的最大速度脈衝方向:(1) 位於台南 市中部到北部一帶,可觀測到數個測站都 記錄到接近南北方向的最大速度脈衝;(2) 在台南市中區至西區一帶的幾個測站,所 觀測到的最大速度脈衝則是呈東西方向。 此現象較為特殊,因一般破裂方向效應所 引致的最大速度脈衝方向通常垂直於斷層 走向 (Somerville et al. 1997; Shahi and Baker, 2014)。近期相關研究 (Huang et al. 2016) 提出的雙斷層模型則能解釋此一現 象,這也代表單一地震有可能產生 2 個以 上不同方向的最大速度脈衝訊號。

本研究計算出美濃地震中西部平原的PGA和PGV的場址放大因子為3.13和3.42;FDE效應因子在震源距20、30、50、80公里處分別為4.7、5.4、7.2、10.9。此105度內的破裂方向效應結合西部平原的場址放大效應造成強烈的地動,台南市首當其衝之下,有數棟嚴重損毀的建築物其傾倒方向和速度脈衝方向一致。我們也由

此了解即使在致震斷層未破裂至地表的中型地震中,也可能產生對建築物破壞力極 強的近斷層速度脈衝訊號。

- 1. Huang M.-H., Tung, H., Fielding, E.-J., Huang, H.-H., Liang, C., Huang, C. and Hu, J.-C., (2016). "Multiple fault slip triggered above the 2016 MW 6.4 Meinong earthquake in Taiwan", Geophys. Res. Lett. 43, 7459-7467.
- 2. Shahi, S.-K. and Baker, J.-W., (2014). "An Efficient Algorithm to Identify Strong-Velocity Pulse in Multicomponent Ground Motions", Bull. Seism. Soc. Am. 104(5), 2456-2466.
- 3. 財團法人中興顧問社 (2012)。"核電廠 地質調查與地震危害度參數委託研究", 行政院原子能委員會核能研究所,反應 譜衰減率建置期末報告。
- 4. Shin, T.-C., Chang, C.-H., Pu, H.-C., Lin, H.-W., and Lu, P.-L. (2013). "The geophysical database management system in Taiwan", Terr. Atmos. Ocean Sci. 24, 11-18.
- Somerville, P.-G., Smith, N.-F., Graves, R.-W., Abrahamson, N.-A. (1997). "Modification of empirical strong ground motion attenuation relations to include the amplitude and duration effects of rupture directivity", Seismo. Res. Lett. 68(1), 199-222.

# 基於經驗轉換函數進行山腳斷層之高頻強地動模擬 - 測試不同斷層滑移量模型

黄雋彦<sup>1</sup>、溫國樑<sup>2</sup>、林哲民<sup>3</sup>、郭俊翔<sup>3</sup>

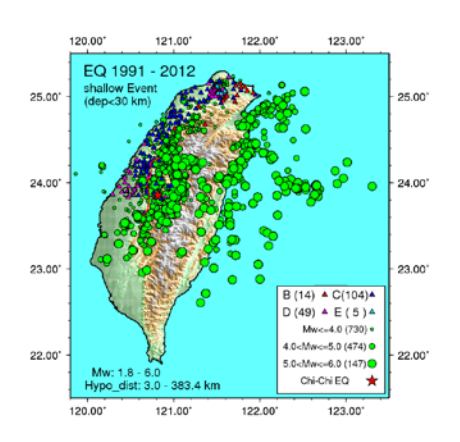
#### 摘要

強地動產生區(Strong Motion Generation Area, SMGA)對於高頻強地動模擬而言是一個很重要的震源參數,其通常由震源逆推所得到,同時,高頻強地動模擬在工程地震學領域十分重要。基於經驗轉換函數對於隨機式有限斷層模擬進行場址修正技術(Empirical Transfer Function, ETF, Huang et al., 2017),已被應用於 1999 年集集台灣地震之高頻模擬結果上。除了傳統震源逆推之滑移量高區模型外,隨機滑移量高區模型(Huang et al. 2014)亦被使用。本研究首先測試依據前人研究(NIED, 2009)所建置之隨機滑移量高區,以確認隨機分佈之強地動產生區,對於相同地震事件而言之近斷層效應。由於其位於首都都會區旁,可能產生直擊首都圈之地震,山腳斷層即成為北台灣地區最重要的斷層系統之一。所以,本研究試著結合以上概念,計算山腳斷層系統之可能地動範圍,基於此模擬結果,可對於初步災防預估計畫或建築設計問題提供一可能之參考。

關鍵詞:隨機式模擬、經驗轉換函數、強地動產生區、山腳斷層

# 一、前言

斷層滑移量高區(Asperity)模型對於 高頻地動模擬而言影響很大,對於不同地 震事件需要仔細考慮。本研究運用隨機式 點震源及有限斷層模擬技術進行高頻強地 動模擬,接著將利用淺地殼地震資料庫所 計算,觀測及模擬(岩盤反應)之頻譜差 異視為經驗轉換函數 (Empirical transfer function, ETF, Huang et al., 2017) 以降低地 動模擬之預估誤差。對隨機式地動模擬而 言,由1980年代開始,各項修正係數一步 一步地被發現及被考慮(Boore, 1983),相 對於一些發展良好之參數而言,如路徑衰 減項、高頻衰減項、幾何擴散項、地殼放 大函數等,這些須經由不同地區之觀測資 料調整比對得到,而場址放大效應為其一 最重要之參數,且至今,對於不同測站仍 然必須仔細地分別考慮以得到良好之預估 模擬結果。



圖一 西北部台灣強地動測站所收錄之淺 地殼地震資料庫。

對於場址效應研究而言,由於參考岩盤測站紀錄不易取得,台灣地區一系列頻率域之場址效應相關研究,為基於沖積層站之觀測頻譜及非常堅硬岩盤(Very Hard Rock, VHR)之模擬頻譜差異而得(Sokolov et al., 2009)。本研究首先使用前人研究,關於震源、路徑效應之基本參數,建置 VHR 頻譜作為參考岩盤反應。接著使用淺地殼

<sup>1</sup> 國家地震工程研究中心助理研究員

<sup>2</sup> 國家地震工程研究中心組長、國立中央大學教授

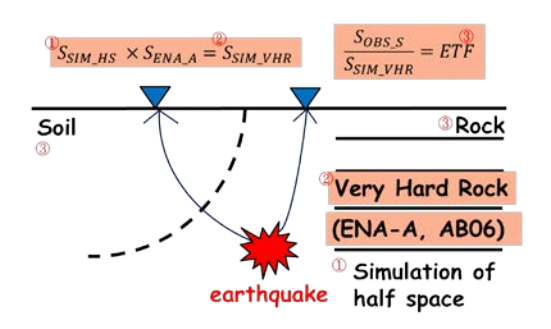
<sup>3</sup> 國家地震工程研究中心副研究員

地震以建置經驗轉換函數,以測試對於災防目的而言,未來可能致災之大地震之可能地動範圍。為了方便應用於點震源模擬,選用規模 1.8 至 6.0 之地動紀錄。

山腳斷層為首都所在之台北盆地附近 一重要之活動斷層。同時,台北盆地於地 震發生時具強烈之場址效應。所以本研究 試著聚焦於山腳斷層可能發生之地動範 圍,討論不同強地動產生區引致之地動。

# 二、經驗轉換函數之建置

本研究中 ETF 是由觀測及未考慮盆地 構造的隨機式地動模擬之頻譜差異而得。 選取 TSMIP 位於西北台灣地區之強地動資 料作分析(圖一),時間段為 1991-2012 年。 ETF 之建構方式分為兩階段,第一階段為利 用隨機式點震源,對於各測站(無論沖積 層或岩盤站)所收到資料庫內之各小地 震,模擬至一半空間後,加入層狀構造之 效應,將模擬之頻譜推展至 VHR (圖二)。 第二階段,將觀測與模擬之時間域,切取 S 波視窗,將觀測頻譜除以第一階段模擬之 頻譜求得 ETF。圖三為 TAP090 測站之範例 ETF。



圖二 對於岩盤站或沖積層站建置 ETF 之流程圖。

時間域及頻率域之誤差使用**O**ln Err 及 DSPD (Degree of Spectra Difference) 計算, 其公式為:

$$\sigma_{\ln Err} = \sqrt{\frac{1}{N} \sum_{i=1}^{N} (\ln Err_i)^2}$$
 (1)

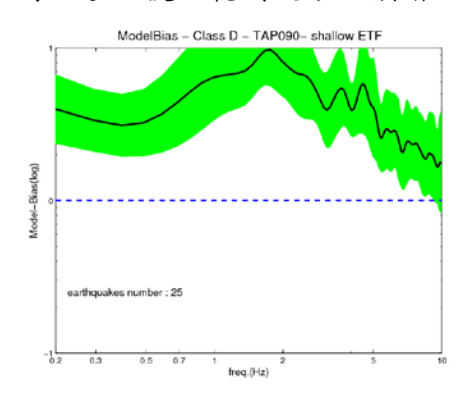
$$\ln Err = \ln PGA_{\sigma} - \ln PGA_{sim} \tag{2}$$

$$DSPD = \sum_{i=0,2}^{10} \left( \left| \log_{10} \frac{FAS_0}{FAS_0} \right| \times df \right)$$
 (3)

$$df = \log_{10}(f_{i+1}/f_i) \tag{4}$$

N 是測站數、PGAo 為兩水平向經幾何

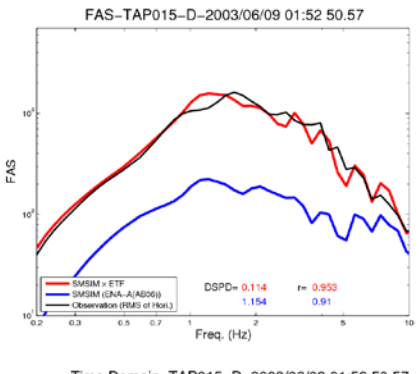
平均之觀測 PGA 值、PGAsim 為模擬之 PGA,DSPD 為計算兩頻譜間之面積而得,選取頻段由 0.2 至 10Hz。圖四為對於目標地震,經 ETF 場址修正後之範例波形及頻譜。

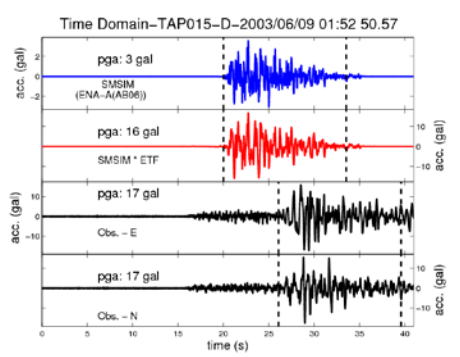


圖三 台北盆地內測站 TAP090 之範例 ETF。Vs30:324.6 m/s, D 類場址。

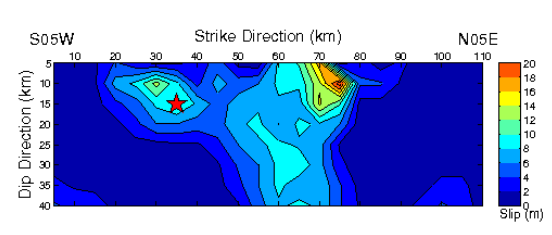
### 三、結果

為了確認基於 ETF 修正之隨機式有限 斷層模擬,對於強地動產生區之模擬效 果,本研究利用 1999 年集集地震紀錄進行 驗證,斷層滑移量模型選用 Ma et al. (2001) 逆推所得之模型(圖五)。其 DSPD 及『加歌之結果顯示經修正之預估誤差明顯 改善(圖六)。總體而言,經ETF場址修正 之 PGA 模擬,可提供與地動預估模式 ( Ground Motion Prediction Equation, GMPE)相同之效果,此方法並可提供具可 信度之頻譜預估結果。確認過此方法之預 估準確度後,本研究根據日本的 Recipe (NIED, 2009) 所建置之隨機斷層滑移量高 區模型,亦被應用於1999年集集地震(圖 七)。150 組隨機分布之滑移量高區模型所 提供之預估誤差顯示於圖八中。其結果顯 示經逆推而得之模型仍可提供較佳之預估 值,但對於未來未發生之地震,如山腳斷 層而言無法確認斷層滑移量將出現於何相 對位置,此時隨機分佈之滑移量高區模型 即可提供可接受之模擬誤差供使用,並可 提供接近於逆推之 PGA 及頻譜預估結果。





圖四 基於 ETF 場址修正之範例。(a) 頻率域。(b) 時間域。

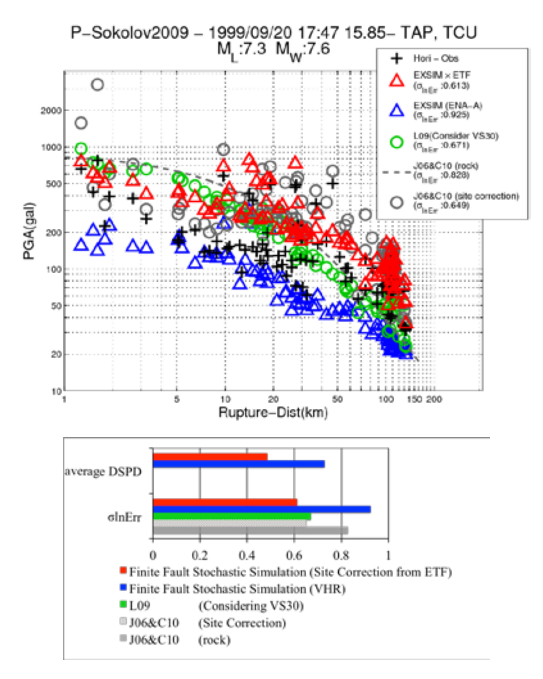


圖五 車籠埔斷層於 1999 年集集地震時之 斷層滑移量模型。(改繪自 Ma et al., 2001)

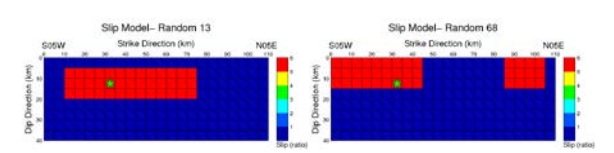
最後,根據隨機分佈之滑移量高區模型,對於未發生之活動斷層可提供初步強地動預估,本研究即應用此技術於山腳斷層。圖九中顯示台北盆地內可能遭受之PGA範圍。對於極端例子Mw7.2之規模而言,近斷層區域可達1G之預估。另外,場址修正後之GMPE顯示近距離處承明顯之PGA高估,可能由於近域處並無良好觀測控制點所致。據此,隨機分佈之滑移量模型搭配基於ETF場址修正之模擬結果,可提供初步地動預估,供危害度分析或災防目的使用。

#### 四、結論

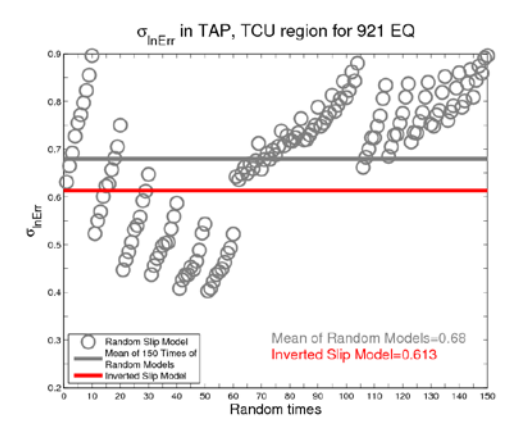
基於 ETF 對隨機式地動模擬進行場址 修正之預估結果顯示,1999 年集集地震, 其頻率域及時間域可得良好之預估。但對 於未來可能發生之地震而言,斷層滑移量 分佈不易確認,需由隨機分佈之滑移量模 型進行預估,其結果顯示可提供合理之預 估(圖八)。本研究即對台北盆地提供山腳 斷層可能發生之地動預估範圍。又由於傳 統 GMPE 通常缺乏近斷層區域之觀測作為 參考,此種透過模擬方法之預估結果可幫 助決定地震引致之災害防救議題使用。

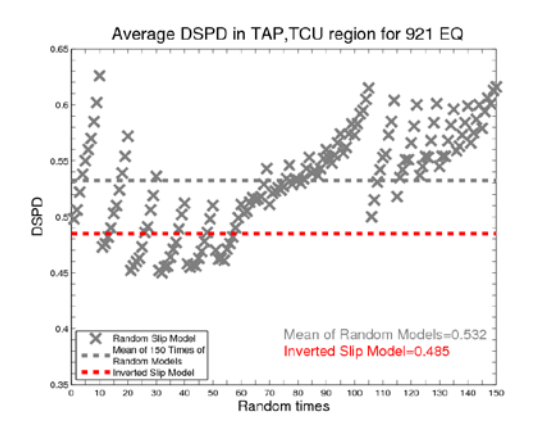


圖六 (a) 1999 年集集地震之 PGA 隨距離 衰減關係。(b) 時間域及頻率域之誤差比 較。

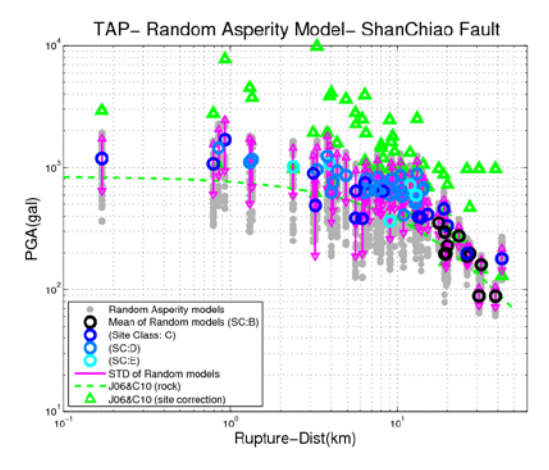


圖七 隨機分佈之滑移量模型範例。





圖八 對 1999 年集集地震所使用之隨機分佈之滑移量模型,TAP、TCU 地區之(a)頻率域預估誤差(b)時間域預估誤差。



圖九 由 99 組隨機分佈之斷層滑移量模型 所計算,台北盆地內測站之 PGA 預估結果。

# 參考文獻

- 1. Boore, D. M. (1983). "Stochastic Simulation of High-Frequency Ground Motions Based on Seismological Models of the Radiated Spectra", Bull. seism. Soc. Am., 73(6), 1865-1894.
- 2. Huang, J.-Y., Wen, K.-L., Chen, C.-T., Lin, C.-M., Kuo, C.-H. and Chang, S.-C., (2014). "Uncertainties of Asperity Distribution Models for High Frequency Strong Motion Simulation", The proceeding of 5th Asia Conference on Earthquake Engineering (5ACEE), Taipei, Taiwan.
- 3. Huang, J.-Y., Wen, K.-L., Lin, C.-M., Kuo, C.-H., Chen, C.-T. and Chang, S.-C., (2017). "Site Correction of a High-Frequency Strong-Ground-Motion

- Simulation Based on an Empirical Transfer Function", Journal of Asian Earth Sciences 138, 399-415.
- 4. Ma, K.-F., Mori, J., Lee, S.-J. and Yu, S.-B., (2001). "Spatial and Temporal Distribution of Slip for the 1999 Chi-Chi, Taiwan, Earthquake", Bull. seism. Soc. Am., 91(5), 1069-1087.
- 5. National research Institute for Earth science and Disaster prevention (NIED), "Strong Ground Motion (2009).Prediction Method ("Recipe") for Source Earthquakes with Specified Faults", Technical note of NIED, 336, Appendix 1-50.
- 6. Sokolov, V., Wen, K.-L., Miksat, J., Wenzel, F. and Chen, C.T., (2009). "Analysis of Taipei Basin Response for Earthquakes of Various Depths and Locations using Empirical Data", Terr. Atm. Ocean., 20(5), 687-702.

# 台灣西南部地殼活動監測(III)

張議仁 温士忠 2 温怡瑛 3 林哲民 4

#### 摘要

台灣西南部受地理環境及地形特性等因素影響,歷年來飽受各種天然災害的侵襲,其中尤因受到兩大板塊擠壓的影響,不斷遭受地震災害威脅,此區之前發生之歷史地震往往造成嚴重損傷。因此,此區域的地震活動與孕震構造有其監測的必要性與重要性。地殼因受大地應力影響而導致物理性質產生變化,尤其強震前後相關物理參數(速度值、衰減值)產生改變的論點已被許多研究報告提及。因為地震發生後造成岩石碎裂導致孔隙中流體遷移或填充,此現象可利用地震波傳的路徑效應觀測到物理參數的改變。本研究利用高密度地震網監測台灣西南部地殼活動。藉由地震重新定位、震源機制解及地震活動度 b 值得獲得作為一個判斷地震潛勢和強地動預估的指標。因此,本研究旨在分析該地區的孕震構造與地震活動度之間的相關程度,根據研究結果可對地層演化、地震危害度評估有進一步的了解。已知西南部孕震構造確實有因地震活動、造山帶活動而有所變化。

關鍵詞:震源機制解、b值、複雜構造

## 一、前言

地震背景活動度可由地震監測網的觀 測資料歸納彙整,其主要的關鍵條件在於 地震目錄的觀測紀錄時間與資料完整性。 是故,欲對地震高潛勢區域有所了解,高 密度地震監測網是不可或缺的。台灣西南 部地區百年來持續受到地震災害威脅,尤 其此區域大部分為地質較鬆軟的平原,經 濟建設與人口密集,使得此區域具有較大 的地震災害潛在危險。而此區位在丘陵與 平原之交界带,為一系列變形前緣的逆衝 斷層,此區域主要包含濱海平原與西部麓 山带雨大地質分類,以第三紀沈積岩為主 (Ho, 1988);也造成雲嘉南地區特殊的地理 環境及地形。因此,本研究主要對雲嘉南 地區進行微震監測,由基礎的地震觀測進 而求取震源機制解、剪波分裂特性、頻散 衰減特性等,用以分析區域應力變化與區 域活動斷層參數,並且做為往後三維震波 模擬的基礎資料。

# 二、台灣西南部地震分布

國家地震工程研究中心與中央氣象局 設置的寬頻地震監測網,廣佈於台灣本島 及附近少數島嶼上。密集的三分量寬頻地 震儀提供高品質的 P 波及 S 波走時記錄, 可用以精確的地震定位與地下構造研究。 為了進一步了解此區域地震活動,本中心 與國立中正大學(CCU)相互合作,佈設雲 嘉南地震活動聯合觀測網, 定期對地震站 進行資料收集與測站維護,所收集到的地 動波形,利用 Antelope 資料庫系統進行 P、S 波形撿拾,使用 Hypo71(Lee and Lahr, 1972)進行定位,並對所觀測到的地震事件 進行三維重新定位(Thurber, 1983);此方法 利用模擬彎曲波線法(Pseudo bending method)及三維速度構造用以重新定位降 低誤差。

<sup>1</sup> 國家地震工程研究中心助理研究員

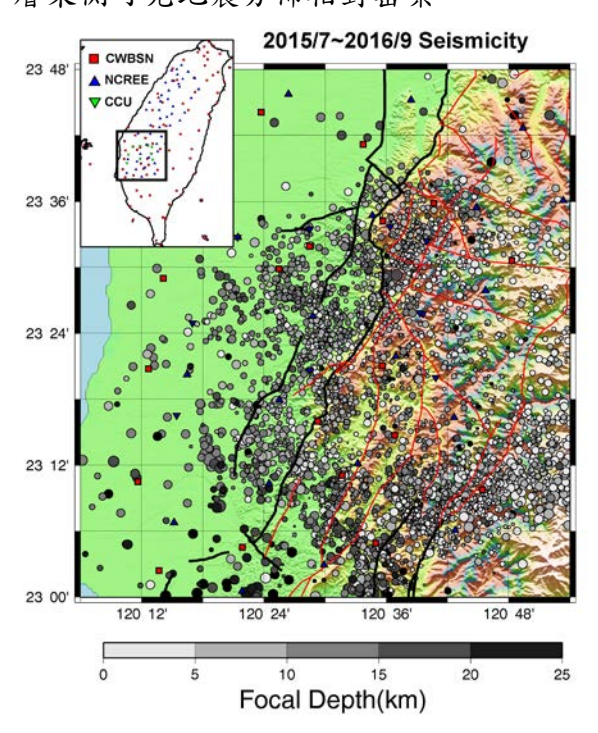
<sup>2</sup> 國立中正大學地球與環境科學系助理教授

<sup>3</sup> 國立中正大學地球與環境科學系副教授

<sup>4</sup> 國家地震工程研究中心副研究員

地震儀使用 Guralp CMG-6TD 為 24 位元寬頻地震儀,為速度型感測器,頻率 範圍 0.033 至 50Hz,採 24 小時連續紀錄, 設定波形取樣率每秒 100 點,有別於強震 站,以便監測較小地震活動。圖一,紅色 方塊為中央氣象局地震觀測站 (CWBSN),考慮既有中央氣象局測站、與 層位置及歷史地震活動分佈,本中心 層位置及歷史地震活動分佈,本中過國 立中正大學另設置 18處地震站,如圖一藍 色及綠色三角形位置,涵蓋本要斷層局 邊,測站包覆微震分佈,利於地震定位。

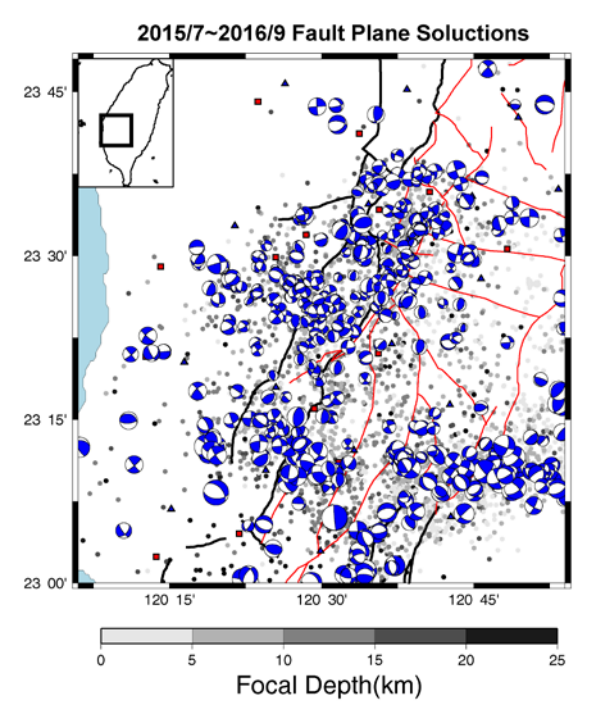
圖一為結合 NCREE、CCU 及 CWBSN 測站資料,聯合定位之地震分佈圖,期間 為 2015 年 7 月至 2016 年 9 月,總計共定 出 4208 筆地震,圖上圓點大小隨地震規模 變化;濃淡隨震源深度變化。於大尖山斷 層東側可見地震分佈相對密集。



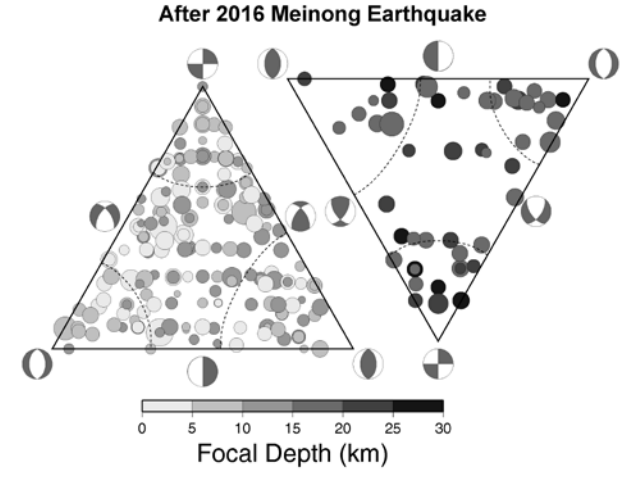
圖一 測站分佈圖,藍色三角形為 NCREE 與 CCU 測站位置,紅色方塊為 CWBSN 測站位置之聯合定位地震分佈圖

為了瞭解區域斷層構造活動,進一步解算震源機制,但由於小地震的能量較小,相對於較大的地震來講,單一地震能接收到的測站較少,且訊噪比較低,不容易明確分出P波上下動,所以當測站包覆性不佳的情況下,能解算的震源機制數量便受局限。圖二為區域內地震所解算之震

源機制,共583筆,平原區多為走向滑移斷層。圖三為2016美濃地震後發生於此區之震源機制解三元統計圖(Forhlich, 1992, 2001),依每10公里深度繪製。此區域地震多數發生在深度5-15公里間,20-30公里地震數量較少,圖三可見多數為正斷層與走向滑移斷層數量較多。



圖二 區域內地震所解算之震源機制

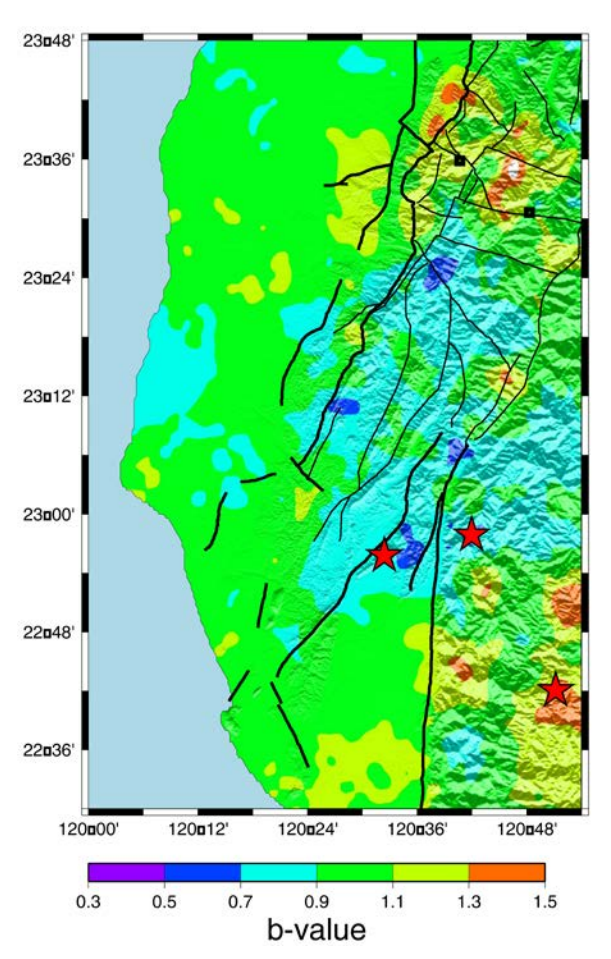


圖三 2016 美濃地震後震源機制解三元統 計圖

# 三、b值微分區計算

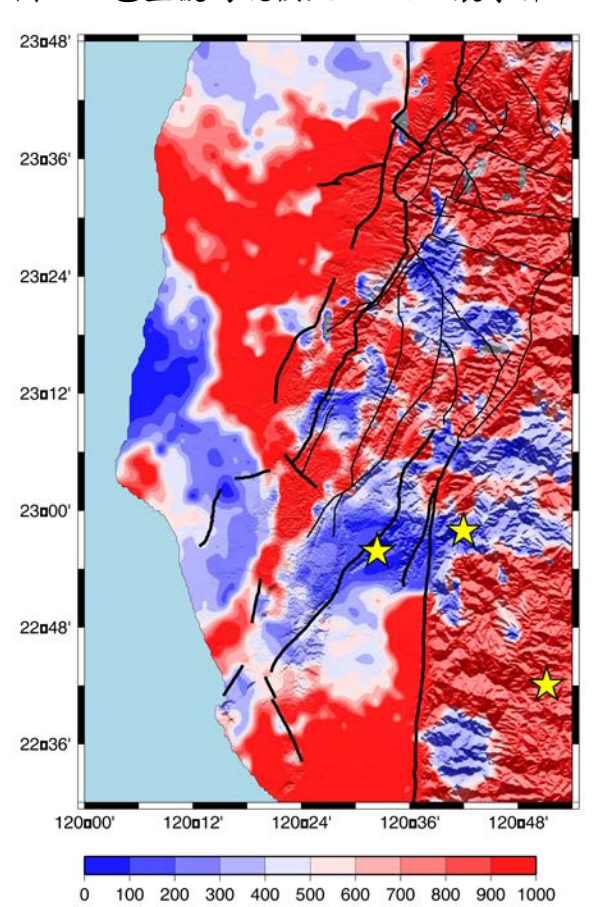
在早期地震相關研究中,Gutenberg 與 Richter 兩位學者提出一地震發生頻率與 地震規模的經驗關係式:logN = a - bM,

其中a值則代表了某段時間內特定區域內 的地震活動,a值愈大表示地震活動度愈 高;b 值則反映不同地震規模之間的比例 關係。一般來說,根據不同的地體構造, 全球的 b 值變化範圍為 0.5~2.5, 平均值則 為1,而對某些地震群集區域則可達到2。 b 值隨著研究區域內的不同地質特性、地 體構造、地溫與應力形式等條件不同而有 所變化。過去曾有多位學者 (Tsai et al., 1981; Wang, 1988; Cheng and Yeh, 1989) 針對臺灣地區不同時期的全區進行b值研 究,其所得結果介於 0.8~1.2 的範圍之間。 另外,對於地震監測網可偵測到的最小完 整規模 Mc (completeness of magnitude),台 灣於 1974 年進入現代化觀測與連續式記 錄的地震觀測數量較之前大幅增加,能觀 測到的最小完整規模更可平均降低至 1.6。對於特定區域背景地震活動分析,必 須濾除過去地震重大事件及其可能影響的 範圍。



圖四 台灣西南部1991~2010地震b值分布

圖,紅色星號為規模大於6之地震事件



圖五 M ≥6回復週期分布圖, 黃色星號為 2010後規模大於6之地震事件

Recurrence Time(yr)

有鑑於大地震發生之後,往往伴隨大 量的餘震活動,若不將其餘震序列自背景 地震活動中抽離(decluster),而以全部觀測 到的地震活動進行分析,則所得的結果將 偏於整體平均效應,難以作為地震活動度 異常研究的判斷標準。為了瞭解台灣西南 部在 2010 甲仙地震前的 b 值變化,本研究 利用 1991~2010 中央氣象局所收錄到的地 震資料,利用網格化分析技術,選取適當 的網格展距大小,即可依序計算各子網格 的背景地震活動參數,這些參數即為各子 網格本身的背景活動特性,亦即移除較大 地震序列發生的情況下,該地區基本的地 震活動表現。另外,分析地震活動依據每 個子網格大小為4 X 4 公里,外加周圍半 徑15公里內分析地震樣本數至少100個地 震以上,以及回歸分析時擬合度須達90% 以上等條件進行計算,所得b值分布圖與 地震規模大於6之回歸週期圖結果如圖四

與圖五所示。

## 四、結果分析與討論

就背景地震活動來說,b 值偏低現象集 中於下列地區,一在嘉南地區觸口斷層上 盤與高雄旗山、美濃、甲仙之間,另外在 台南北門以北地區。本區計算所得 b 值相 較於其他分區為低,推測其原因亦應與推 擠的板塊作用力於西部麓山帶長期累積應 力所導致。本區自 1991 年至 2010 年間的 b 值分布圖可歸納三點結果:(1)西部麓山 帶前緣具有較高 b 值,顯示該區為應力作 用較強烈且易釋放能量的破裂帶,因此地 震活動量密集但多為小地震。(2)高雄旗山 美濃區域具有較低 b 值,顯示這個子區為 應力作用較強烈但不易釋放能量的破裂 带,因此地震活動量少但多為規模較大地 震,2010 甲仙地震與2016 美濃地震亦發生 於此區。(3)整個西南部的研究顯示,b 值 介於 0.3~1.5 範圍之間,顯示本區地質構造 相對複雜且差異較大。過往研究推斷較大 壓應力所造成的逆衝斷層,其區域 b 值較 小,而較小的圍岩壓力下,重力效應所造 成的正斷層區域 b 值則較大。由圖四中 b 值分布圖顯示,台灣西部麓山帶多為褶皺 逆衝斷層,b值小;中央山脈則出現b值高 區,表現出其受板塊應力作用下地體材料 與周圍的差異性。

# 五、結論與展望

# 参考文獻

- 1. Cheng, S. N., and Yeh, Y. T., (1989) Catalog of the earthquakes in Taiwan from 1604 to 1988. Inst. Earth Sci., Academia Sinica, IES-R-661, 255pp.
- 2. Frohlich, C., (1992) Triangle diagrams: ternary graphs to display similarity and diversity of earthquake focal mechanisms, Physics of the Earth and Planetary Interiors, 75, 193-198
- 3. Frohlich, C., (2001) Display and quantitative assessment of distributions of earthquake focal mechanisms, Geophysical Journal International. 144, 300-308
- 4. Ho, C. S., (1988) An introduction to the geology of Taiwan: explanatory text of the geological map of Taiwan, Central Geological Survey, MOEA, Taiwan Second edition pp. 192
- 5. Lee, W. H. K. and J. C. Lahr (1972). HYP071: A computer program for determining hypocenter, magnitude, and first motion pattern of local earthquakes, *Open File Report*, *U. S. Geological Survey*, 100 pp.
- 6. Thurber, C. H.(1983). Earthquake locations and three-dimension crustal structure in the Coyote Lake area, central California, *J. Geophys. Res.*, **88**, 8226-8236.
- 7. Tsai, Y. B., Liaw, Z. S., and Lee, T. Q. (1981), A statistical study of the Taiwan Telemetered Seimographic Network Data during 1973-1979, *Bull. Inst. of Earth Sci.*, 1, 1-22.
- 8. Wang, J.H. (1988), b values of shallow earthquakes in Taiwan, *Bull. Seism. Soc. Am.*, 78, 1243-1254

# 平面不對稱建築物之頂樓質量阻尼器

林瑞良1

#### 摘要

利用建築物的一部分做為質量阻尼器明顯具有經濟上的優勢:不僅可以節省材料,更可以減少阻尼器裝置與擺動所需要的空間。本研究提出利用新建的平面不對稱建築物的頂樓作為質量阻尼器,或是在既有平面不對稱建築物的頂部增建一層樓作為質量阻尼器,以提升該建築物的耐震性能。這種阻尼器稱為頂樓質量阻尼器,採用原雙向平面不對稱建築的第一組三個振態的三自由度振態特性所構成。所謂第一組三個振態指的是雙向平面不對稱建築在兩個水平方向及一個旋轉方向上各自的第一個主控振態。一般而言,這三個振態對於結構物的受震反應影響最大,頂樓質量阻尼器的設計目的就是要抑制這三個振態所產生的振動。本研究以一棟二十層樓雙向平面不對稱建築的頻率反應函數來驗證頂樓質量阻尼器的減震效益。

關鍵詞:調諧質量阻尼器,受震反應,結構控制,平面不對稱建築

## 一、前言

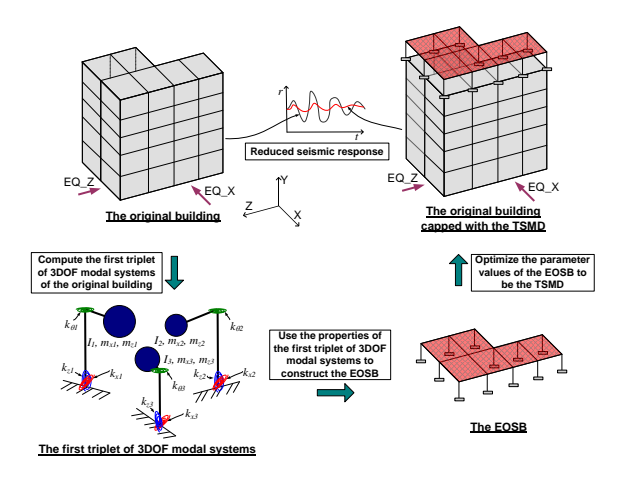
許多文獻已經證實調諧質量阻尼器 (tuned mass damper, TMD)能夠有效抑制由風力、地震力或重型工業機械所造成的結構物振動。雖然 TMD 的質量與建築物的總質量的比值相當小(約 1%至 5%),但是TMD 的實際質量仍然相當大。以台北 101大樓、紐約花旗銀行總部、波士頓 John Hancock 建築的 TMD 為例,分別重達 660噸、370噸與 2×300噸。除了巨大的質量,由於 TMD 的衝程大於一般建築物的層質量的空間亦是相當龐大。這個被 TMD 長期佔據的龐大空間,無法作為其它商業用途消失。

為了克服上述TMD的缺點,Villaverde (1998)提出以屋頂隔離系統來降低建築物的受震反應。此屋頂隔離系統作用如同TMD,利用屋頂結構的自重,包含屋頂板、大梁、小梁及女兒牆等,作為TMD的質量。屋頂隔離系統的勁度則由安裝於屋頂大梁底與建築物柱頂間的橡膠支承墊提供,阻尼則由線性阻尼器提供。因此屋頂隔離系統不需要額外的質量塊與空間。但

是該研究僅限於對稱建築結構。當質量中心(CM)與勁度中心(CR)不對齊於一個或兩個水平座標軸方向上,即分別稱為單向或雙向平面不對稱建築。本研究的目的是發展利用結構物自重的新式 TMD,並且能夠以一個 TMD 同時控制雙向平面不對稱建築的多個振態。

近年, Lin and Tsai (2013)發展出可以 保有具額外阻尼的單向平面不對稱建築的 第一對振態特性的有效單層樓建築 (effective one-story building, EOSB)。由於 EOSB能夠保有原建築物多個振態的動力 特性,因此可以將EOSB轉化為額外的一層 樓,用來抑制平面不對稱建築物多個振態 的受震反應。為達成此一特殊目的而建造 的頂樓即稱之為頂樓質量阻尼器(top-story mass damper, TSMD)。以雙向平面不對稱 建築的第一組三個振態的特性來建構 EOSB。所謂第一組三個振熊指的是在兩個 水平方向及一個旋轉方向上各自的第一個 主控振熊。圖一為建構TSMD以控制雙向平 面不對稱建築的第一組三個振態的受震反 應的概念示意圖。

<sup>1</sup>國家地震工程研究中心研究員



圖一 建構TSMD的概念示意圖

## 二、理論基礎

本研究中兩個水平座標軸為 x 軸與 z 軸,y 軸垂直向上。下標 x、z 與 $\theta$ 分別代表與 x 平移、z 平移與 y 旋轉有關的物理量。假設建築物具有比例阻尼與剛性樓板。每一層樓的 CM 與 CR 不對齊於任一水平座標軸方向上,並且所有樓層的 CM 與 CR 分別位於兩個垂直線上。一棟 N 層樓雙向平面不對稱建築的質量、阻尼、勁度矩陣與振態向量表示如下:

$$\mathbf{M} = \begin{bmatrix} \mathbf{m}_{x} & \mathbf{0} & \mathbf{0} \\ \mathbf{0} & \mathbf{m}_{z} & \mathbf{0} \\ \mathbf{0} & \mathbf{0} & \mathbf{I}_{0} \end{bmatrix}_{3N \times 3N}, \quad \mathbf{C} = \begin{bmatrix} \mathbf{c}_{xx} & \mathbf{c}_{xz} & \mathbf{c}_{x\theta} \\ \mathbf{c}_{zx} & \mathbf{c}_{zz} & \mathbf{c}_{z\theta} \\ \mathbf{c}_{\theta x} & \mathbf{c}_{\theta z} & \mathbf{c}_{\theta \theta} \end{bmatrix}_{3N \times 3N}$$

$$(1)$$

$$\mathbf{K} = \begin{bmatrix} \mathbf{k}_{xx} & \mathbf{k}_{xz} & \mathbf{k}_{x\theta} \\ \mathbf{k}_{zx} & \mathbf{k}_{zz} & \mathbf{k}_{z\theta} \\ \mathbf{k}_{\theta x} & \mathbf{k}_{\theta z} & \mathbf{k}_{\theta \theta} \end{bmatrix}_{3N \times 3N}$$

$$\boldsymbol{\varphi}_{n} = \begin{bmatrix} \boldsymbol{\varphi}_{xn} \\ \boldsymbol{\varphi}_{zn} \\ \boldsymbol{\varphi}_{\theta n} \end{bmatrix}_{3N \times 1}, \quad n = 1 \sim 3N$$

其中 $\mathbf{m}_{x}$ 、 $\mathbf{m}_{z}$ 與 $\mathbf{I}_{0}$ 分別為x方向質量矩陣, $\mathbf{q}_{xn}$ 有的質量矩陣與質量慣性矩矩陣; $\mathbf{q}_{xn}$  與 $\mathbf{q}_{0n}$ 為第n個無阻尼振形的 $N \times I$  次向量; $\mathbf{0}$  為 $N \times N$  的零矩陣。 $\mathbf{M}$ 、 $\mathbf{C}$  與  $\mathbf{K}$  矩陣(式 1)中的每一個元素均為 $N \times N$  次矩陣。並且,雙向平面不對稱建築的第j 個級中移主控振態、第j 個  $\mathbf{z}$  平移主控振態的第 $\mathbf{j}$  組振態中的任一振態在每一個方點(或是稱為第 $\mathbf{j}$  組振形皆有 $\mathbf{j}$  個不動點(或是稱為節點)的振形皆有 $\mathbf{j}$  個不動點(或是稱為節點)的振形皆有 $\mathbf{j}$  個不動點(或是稱為節點)之態,實反應經常具有最顯著的貢獻。因此希望建立的 EOSB 能夠保有原建築物的第一組

振態的動力特性。

EOSB 的位移向量、質量、阻尼與勁 度矩陣表示如下:

$$\mathbf{u}^{*} = \begin{bmatrix} u_{x}^{*} \\ u_{z}^{*} \\ u_{\theta}^{*} \end{bmatrix}_{3\times 1}, \quad \mathbf{M}^{*} = \begin{bmatrix} m_{x}^{*} & 0 & 0 \\ 0 & m_{z}^{*} & 0 \\ 0 & 0 & I^{*} \end{bmatrix}_{3\times 3},$$

$$\mathbf{C}^{*} = \begin{bmatrix} c_{xx}^{*} & c_{xz}^{*} & c_{x\theta}^{*} \\ c_{zx}^{*} & c_{zz}^{*} & c_{z\theta}^{*} \\ c_{\alpha x}^{*} & c_{\alpha z}^{*} & c_{\theta \theta}^{*} \end{bmatrix}_{3\times 3}, \quad \mathbf{K}^{*} = \begin{bmatrix} k_{xx}^{*} & k_{xz}^{*} & k_{x\theta}^{*} \\ k_{zx}^{*} & k_{zz}^{*} & k_{z\theta}^{*} \\ k_{\alpha x}^{*} & k_{\alpha z}^{*} & k_{\theta \theta}^{*} \end{bmatrix}_{3\times 3}$$

$$(2)$$

其無阻尼振形表示如下:

$$\mathbf{\Phi}^* = \begin{bmatrix} \phi_{x1}^* & \phi_{x2}^* & \phi_{x3}^* \\ \phi_{z1}^* & \phi_{z2}^* & \phi_{z3}^* \\ \phi_{\theta 1}^* & \phi_{\theta 2}^* & \phi_{\theta 3}^* \end{bmatrix}_{3\times 3}$$
(3)

式2與式3中的上標\*用於表示該物理量屬 於 EOSB,以區別屬於原結構物的該種物 理量。質量矩陣 M\*的三個對角線元素亦可 以表示為 $m_{*}^{*}$ 、 $\mu^{*} = \sqrt{m_{*}^{*}/m_{*}^{*}}$  與 $r^{*} = \sqrt{I^{*}/m_{*}^{*}}$ 。因 為 EOSB 要能夠保有原建築物的第一組振 態的動力特性, $\mu^*$ 與 $r^*$ 的值必須與原建築 物的第一組振態的對應值(μ與 r)相同。並 且取 $m_{*}^{*}$ 的值為 1。 至此,EOSB 還剩下的 六個未知數(即勁度矩陣中的三個對角線 元素與三個非對角線元素)可以由下述兩 個條件決定。第一個條件為 EOSB 的三個 振熊頻率必須與原建築物的第一組振熊的 三個振態頻率相同。第二個條件為 EOSB 的每一個振態的 x 方向質量與 z 方向質量 的比值及x方向質量與y方向質量慣性矩 的比值必須與原建築物的對應振態的該種 物理量比值相同。利用這些條件,EOSB 的運動方程式(不含阻尼項)可以表示如 下:

$$\begin{bmatrix} 1 & 0 & 0 \\ 0 & 1 & 0 \\ 0 & 0 & 1 \end{bmatrix} \begin{bmatrix} \ddot{u}_{x}^{*} \\ \mu^{*}\ddot{u}_{z}^{*} \\ r^{*}\ddot{u}_{\theta}^{*} \end{bmatrix} + \begin{bmatrix} k_{11} & k_{12} & k_{13} \\ k_{22} & k_{23} \\ sym. & k_{33} \end{bmatrix} \begin{bmatrix} u_{x}^{*} \\ \mu^{*}u_{z}^{*} \\ r^{*}u_{\theta}^{*} \end{bmatrix}$$

$$= -\begin{bmatrix} \ddot{u}_{gx}(t) \\ \mu^{*}\ddot{u}_{gz}(t) \\ 0 \end{bmatrix}$$

$$(4a)$$

其中

$$k_{11} = m_{x1}\omega_{1}^{2} + m_{x2}\omega_{2}^{2} + m_{x3}\omega_{3}^{2}$$

$$k_{12} = -\begin{bmatrix} \left(s_{2}\sqrt{m_{x2}m_{z2}} + s_{3}\sqrt{m_{x3}m_{z3}}\right)\omega_{1}^{2} \\ + \left(s_{1}\sqrt{m_{x1}m_{z1}} + s_{3}\sqrt{m_{x3}m_{z3}}\right)\omega_{2}^{2} \\ + \left(s_{1}\sqrt{m_{x1}m_{z1}} + s_{2}\sqrt{m_{x2}m_{z2}}\right)\omega_{3}^{2} \end{bmatrix}$$

$$k_{13} = -\begin{bmatrix} \left(s_{5}\sqrt{m_{x2}I_{2}} + s_{6}\sqrt{m_{x3}I_{3}}\right)\omega_{1}^{2} \\ + \left(s_{4}\sqrt{m_{x1}I_{1}} + s_{6}\sqrt{m_{x3}I_{3}}\right)\omega_{2}^{2} \\ + \left(s_{4}\sqrt{m_{x1}I_{1}} + s_{5}\sqrt{m_{x2}I_{2}}\right)\omega_{3}^{2} \end{bmatrix}$$

$$k_{22} = m_{z1}\omega_{1}^{2} + m_{z2}\omega_{2}^{2} + m_{z3}\omega_{3}^{2}$$

$$k_{23} = -\begin{bmatrix} \left(s_{2}s_{5}\sqrt{m_{z2}I_{2}} + s_{3}s_{6}\sqrt{m_{z3}I_{3}}\right)\omega_{1}^{2} \\ + \left(s_{1}s_{4}\sqrt{m_{z1}I_{1}} + s_{3}s_{6}\sqrt{m_{z3}I_{3}}\right)\omega_{2}^{2} \\ + \left(s_{1}s_{4}\sqrt{m_{z1}I_{1}} + s_{2}s_{5}\sqrt{m_{z2}I_{2}}\right)\omega_{3}^{2} \end{bmatrix}$$

$$k_{33} = I_{1}\omega_{1}^{2} + I_{2}\omega_{2}^{2} + I_{3}\omega_{3}^{2}$$

$$m_{xi} = \mathbf{\phi}_{xi}^{T}\mathbf{m}_{x}\mathbf{\phi}_{xi}, \quad m_{zi} = \mathbf{\phi}_{zi}^{T}\mathbf{m}_{z}\mathbf{\phi}_{zi}$$

$$I_{i} = \mathbf{\phi}_{xi}^{T}\mathbf{I}_{0}\mathbf{\phi}_{xi}, \quad i = 1, 2, 3$$

$$(4b)$$

 $\ddot{u}_{gx}$ 與 $\ddot{u}_{gz}$ 分別為X向與Z向的地表加速度記錄。式 4b 中的 $\omega_1$ 、 $\omega_2$ 與 $\omega_3$  為原建築物的第一組振態的三個圓頻率。 $s_1$ 至  $s_6$ 的值皆為 1 或-1,其決定方式如下:

若  $φ_{xi}$  與  $φ_{xi}$  ( $i = 1 \, \Xi \, 3$ ) 的方向相同,則  $s_i = 1 \, \circ \, \Box \, Z$ ,若  $φ_{ii}$  與  $φ_{xi}$  ( $i = 1 \, \Xi \, 3$ ) 的方向相反,則  $s_i = -1 \, \circ \, \Xi \, \phi_{ii}$  與  $φ_{xi}$  ( $i = 1 \, \Xi \, 3$ ) 的方向相同,則  $s_{i+3} = 1 \, \circ \, \Box \, Z$ ,若  $φ_{ii}$  與  $φ_{xi}$  ( $i = 1 \, \Xi \, 3$ ) 的方向相同,則  $s_{i+3} = -1 \, \circ \, Z$ 

當對 EOSB 進行最佳化以做為 TSMD 時,TSMD 的質量、阻尼與勁度矩陣(分別以符號 $\mathbf{M}_a^*$ 、 $\mathbf{C}_a^*$ 與 $\mathbf{K}_a^*$ 表示)可以寫成下式:

$$\mathbf{M}_{a}^{*} = \alpha^{*} \mathbf{M}^{*}, \quad \mathbf{C}_{a}^{*} = \beta \alpha^{*} \mathbf{C}^{*}, \quad \mathbf{K}_{a}^{*} = f \alpha^{*} \mathbf{K}^{*}$$
 (5)

其中 $\mathbf{M}^*$ 、 $\mathbf{C}^*$ 與 $\mathbf{K}^*$ 為 EOSB 的質量、阻尼與勁度矩陣; $\alpha^*$ 、 $\beta$ 與f分別為質量、阻尼與勁度矩陣的調整參數。定義 TSMD 的質量比 $\alpha$ 為 TSMD 的 x 方向質量與原建築物的 x 方向質量的比值。因為 EOSB 的 x 方向質量為 1,則 $\alpha$ 等於  $\alpha^*$ /sum(diag( $\mathbf{m}_x$ )),其中 sum(diag( $\mathbf{m}_x$ ))表示原建築物的 x 方向質量。正如同一般 TMD 的設計方法,質量比 $\alpha$ 是由設計者所選定,只有參數 $\beta$ 與 f 須待調整,以達到最佳化設計的目

的。本研究採用 Min-Min-Max 方式進行 搜尋  $\beta$  與 f 的 最 佳 化 值 。 在 Min-Min-Max 搜尋中,採用了目標函數 CT,CT 的定義如下:

$$CT = CT_x + CT_z + CT_\theta (6a)$$

其中

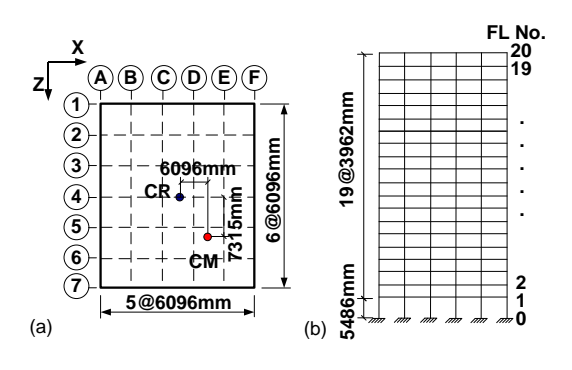
$$CT_{x} = \frac{\left(H_{x,N}\right)_{\text{max}} - \left(H_{x,N}^{a}\right)_{\text{max}}}{3\left(H_{x,N}\right)_{\text{max}}}, \quad CT_{z} = \frac{\left(H_{z,N}\right)_{\text{max}} - \left(H_{z,N}^{a}\right)_{\text{max}}}{3\left(H_{z,N}\right)_{\text{max}}}$$

$$CT_{\theta} = \frac{\left(H_{\theta,N}\right)_{\text{max}} - \left(H_{\theta,N}^{a}\right)_{\text{max}}}{3\left(H_{\theta,N}\right)_{\text{max}}}$$
(6b)

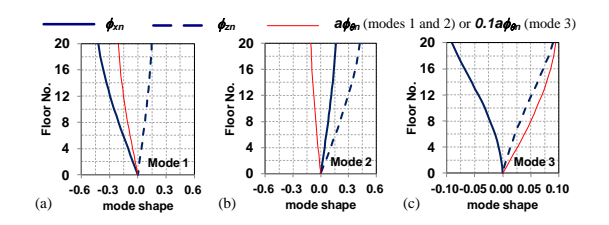
式 6b 中, $H_{x,N}$ 、 $H_{z,N}$  與  $H_{\theta,N}$  表示未裝有 TSMD 的原建築物的第 N 層樓(即頂樓)的 三個方向上的位移頻率反應函數的幅值。 並且,  $H_{x,N}^a$ 、 $H_{z,N}^a$  與  $H_{\theta,N}^a$  表示裝有 TSMD 的建築物在第 N 層樓的三個方向上的位移 頻率反應函數的幅值。

### 三、數值驗證

本研究以一棟 20 層樓建築物(稱為 ASY20)為例,進行驗證 TSMD 的有效性。 ASY20 是由 SAC 計畫(FEMA-355C 2000)中位於洛杉磯的 20 層樓對稱建築物變化而來。圖 2 為 ASY20 的樓層平面圖與立面圖。設 ASY20 的固有阻尼為以第一與第二振態的阻尼比為 5%的雷力阻尼。圖 3 為 ASY20 的前三個振態的無阻尼振形。圖 3 中旋轉方向的振形已經乘上 a 或 0.1a,其中 a 為建築物在 x 方向上的長度(=  $5 \times 6096$  mm)。圖 3 顯示第一、第二與第三振態構成 ASY20 的第一組振態。由圖 3 可知用於建立 EOSB 的  $s_1$  至  $s_6$ (式 4b)的值分別為-1, 1, -1, 1, -1 與-1。

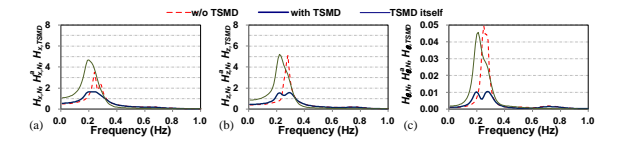


圖二 ASY20 的(a)樓層平面圖與(b)立面圖



圖三 ASY20 的前三個振態的無阻尼振形

ASY20 的 TSMD 的α值取為 0.05。採用 Min-Min-Max 方式進行搜尋  $f_{opt}$  與 $\beta_{opt}$  的值分別為 0.735 與 3.75,且對應的 CT值為 0.671。圖 4a、4b 與 4c 分別為加裝與未加裝 TSMD 的 ASY20 在第 20 層樓 x 方向平移、z 方向平移與 y 方向旋轉的頻率反應函數的幅值。TSMD 本身的位移頻率反應函數的幅值亦表示於圖 4。圖 4 顯示TSMD可以有效抑制 ASY20 在三個方向上的位移頻率反應函數的幅值。因為頻率反應函數為結構系統的固有動力特性,所以由圖 4 可以確認 TSMD 在抑制 ASY20 於三個方向上的位移受震反應的有效性。



圖四 加裝與未加裝 TSMD 的 ASY20 的位移頻率反應函數的幅值 (a)  $H_{x,N}$  、  $H_{x,N}^a$  與  $H_{x,TSMD}$  (b)  $H_{z,N}$  、  $H_{z,N}^a$  與  $H_{z,TSMD}$  (c)  $H_{\theta,N}$  、  $H_{\theta,N}^a$  與  $H_{\theta,TSMD}$ 

#### 四、結論

 率反應函數的幅值會因加裝 TSMD 而顯著 減小。因此,可知 TSMD 是一種適合於平 面不對稱建築的減震裝置。

# 參考文獻

- 1. FEMA-355C (2000), "State of the art report on systems performance of steel moment frames subject to earthquake ground shaking", prepared by the SAC Joint Venture for the Federal Emergency.
- 2. Lin, J.L. and Tsai, K.C. (2013), "Application of supplemental damping characteristics to response spectrum analyses of non-proportionally damped multi-story asymmetric-plan buildings", *Earthquake Spectra*, 29, 207-232.
- 3. Villaverde, R. (1998), "Roof isolation system to reduce the seismic response of buildings: a preliminary assessment", *Earthquake Spectra*, 14, 521-532.

# 以土木 404-100 設計例探討非線性靜力與動力分析

葉勇凱<sup>1</sup> 周德光<sup>2</sup>

#### 摘要

目前國內工程界常用的耐震詳細評估程序,係基於容量震譜法的非線性靜力分析即所謂的側推分析,以評估所得之性能目標地表加速度與場址 475 年設計地震最大地表加速度比較,作為結構耐震能力是否足夠之依據。FEMA 440 顯示容量震譜法於有著較短的週期的低矮建物,其評估結果較為保守,但對於中高樓層結構,單模態的側推分析可能不足以表現結構在地震中的反應,因此非線性靜力分析作為中高樓層建物的評估工具,其保守程度須加以探討。本文即以混凝土工程設計規範土木 404-100 的設計示範結構的非線性動力分析,探討容量震譜法運用於十層樓新建建築的保守程度;針對本文結構模型,結果顯示以容量震譜法評估十層樓新建建築的屋頂位移或最大層間變位比,仍有相當大的安全因子。

關鍵詞:耐震詳細評估、非線性側推分析、容量震譜法、非線性動力分析

## 一、前言

由於地震工程研究及耐震設計規範的 日新月益,既有老舊建築需要新檢視其 耐震能力,以確認是否需要拆除或補強的 震能力,以確認是否需要拆除或補強的 震能力,目前最廣為使用的謂於力 實用非線性靜力分析,即所謂的側指所 來求得建物結構的容量曲線,,再依據 數的性能需求,設定性能點於容量曲線上, 經由容量震譜法 (Capacity Spectrum Method)[1],再尋求具有性能點標設計地震 以475年設計地震反應譜及地震歷時最大 地表加速度來呈現。

國家地震工程研究中心(以下簡稱國震中心)開發的「鋼筋混凝土建築物耐震能力詳細評估方法(推垮分析)」[2]又稱TEASPA[3],係基於 ATC-40 的容量震譜法。基於容量震譜法之側推分析為一模擬非線性動力分析屋頂位移的近似方法,容量曲線近似於動力分析所得基底剪力與屋頂位移的遲滯曲線的包絡線;由於容量震譜法

已廣泛應用於我國的既有建物耐震評估補 強程序,因此有必要探討容量震譜法用於 中高樓層建物是否仍有保守的評估結果。 本報告以混凝土工程設計規範[4]的新建 設計十層樓鋼筋混凝土建築為標的,探討 容量震譜法的適用程度。

本文採用國震中心技術手冊第三版[3] 的建議,設定構件的彎矩非線性鉸,並以 套裝軟體 ETABS 建立分析模型,進行側推 分析,再將模型轉換至套裝軟體 PERFORM-3D 執行非線性側推分析及非線性動力分 析。

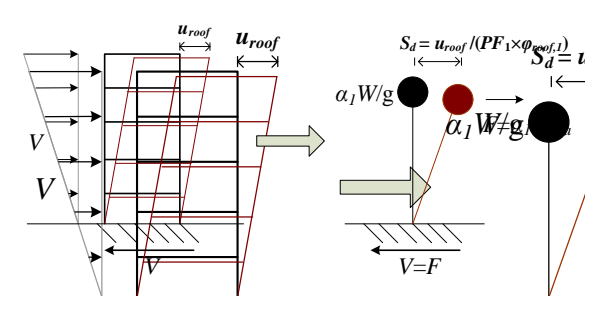
## 二、容量震譜法介紹

欲了解既有建物的耐震容量,必須考慮結構的非線性反應,才能估計建物在立即居住(IO)、生命安全(LS)及防止崩塌(CP)各性能層級的結構耐震需求;而要分析結構在地震中的非線性反應,最直接的作法,就是進行非線性動力分析;但是工程師習慣的耐震設計係採用彈性靜力分析,結構的非線性行為以假設的韌性容量代表,用來折減彈性設計地震力,也建立了一套對

<sup>1</sup> 國家地震工程研究中心研究員

<sup>2</sup> 國家地震工程研究中心助理技術師

應的設計地震,以彈性設計反應譜及最大地表加速度來表現耐震需求;相對於非線性動力分析,工程師較善於靜力分析,因此工程上較常用的耐震評估方法,是以非線性靜力側推程序模擬結構在地震中的位移反應。



圖一 多自由度與單自由度系統之轉換

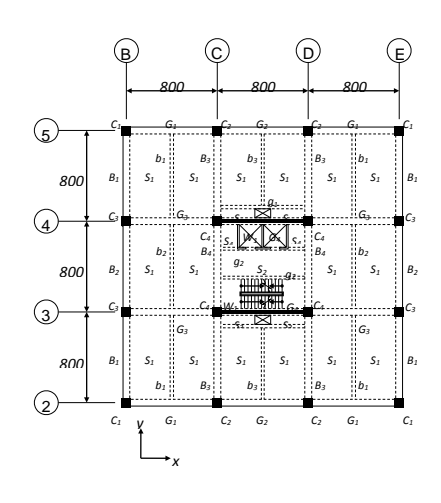
容量震譜法為 Mahaney 等人[5]首先 提出的,如圖一所示,將非線性側推分析 建立的多自由度系統容量曲線轉換為單自 由度的容量震譜,亦即譜加速度係數 與譜 位移 的關係曲線。容量震譜上任一點可視 為不同層級地震在等效單自由度系統的反 應;建物耐震需求之建立,即是評估在需 求地震層級下建物的反應,表現在容量曲 線及容量震譜上的性能點。

# 三、非線性側推分析

土木 404-100 混凝土工程設計規範的十層樓示範設計例為地下二層、地上十層及屋突二層之鋼筋混凝土建築大樓,屬於第四類建築物,用途係數 I=1.0;地面以上建築物總高度 33.3m,屋突高度 6m;基地位於台中市中區,地盤分類為第一類地盤,工址短週期設計水平譜加速度係數 Sos=0.8,工址一秒週期設計水平譜加速度係數 Soz=0.45;建築結構 X 方向為韌性抗彎構架與剪力牆的二元系統,Y 方向為韌性抗彎構架系統。

為簡化分析,僅考慮地上十層結構物, 柱於基面(1FL)設定為固接,兩層屋突以等 值載重及質量外加於十樓的屋頂層(Roof), 其結構平面圖如圖二所示為長 2400 cm、 寬 2400 cm 及高 3330 cm 之三跨十層樓構

架,梁参考線皆設在上緣即樓版面;一樓 挑高 450 cm(2FL 樓層高),其餘各樓層 (3~10FL, Roof)高為 320 cm; 版厚度為 15 cm, 2FL 至 6FL 的 X 向梁斷面為 60\*75 cm, Y 向梁斷面為 60\*80 cm, 7FL 至 Roof 的 X 向梁斷面為 50\*75 cm, Y 向梁斷面為 50\*80 cm;柱斷面為80\*80cm,X向的兩片剪力 牆於一樓(2FL)牆厚為 30 cm, 3FL 及 4FL 牆 厚為 25cm, 5FL 至 Roof 牆厚為 20cm; ETABS 模型中梁柱交會區之剛性因子(rigid zone factor)設為 0.9,即接近全剛性,不設 梁柱接頭區(connection panel zone),相對 於 PERFORM-3D 模型即接頭區勁度設為構 件勁度的 10 倍,小梁不建入側力分析模 型;各樓層梁柱配筋圖可參考國震中心報 告[6]。



圖二 十層樓結構平面圖

表一 樓層重量及慣性矩表

樓層	樓層重量 (tf)	單位面積重 (tf/m²)	樓層重量 慣性矩 (tf•m²)
RFL	785.99	1.36	64197
10FL	688.31	1.19	80477
9FL	689.33	1.20	80596
8FL	689.33	1.20	80596
7FL	689.33	1.20	80596
6FL	716.07	1.24	84280
5FL	719.36	1.25	84449
4FL	724.01	1.26	84777
3FL	727.30	1.26	84946
2FL	817.94	1.42	94575

X方向構架為韌性抗彎構架與剪力牆 的二元系統,剪力牆以等值寬柱模擬,由 模態分析得知第三模態為 X 向主控模態, 週期為0.733秒,質量參與係數為68.97%; 雖然主控模態的質量參與係數小於 FEMA273[7]的規定,仍以主控模態設定側 推力之豎向分配,於側推分析程序中,在 力量控制下先施載垂直載重,再於位移控 制下施載X方向側推力,側推力施在樓層 樓板質心位置,記錄其基底剪力與屋頂位 移之關係曲線即容量曲線,以側力強度下 降至最大強度之 0.8 倍的屋頂位移為性能 目標點,則性能目標屋頂位移為53.6 cm, 對應的基底剪力為 1409 tonf; 建物場址位 於台中市中區,所在地為第一類地盤,其 短週期及一秒週期設計水平譜加速度係數  $S_{DS}$  與  $S_{DI}$  分別為 0.8 及 0.45; 經由容量震 譜法並設定阻尼修正因數 K 為 0.67, 可計 算得對應的等效阻尼比 $\beta_{eq}$ 為0.553,等效 週期 $T_{eq}$ 為 2.301sec,性能目標譜位移 $S_{dp}$ 為 37.17cm,性能目標譜加速度 $S_m$ 為

0.282g,通過性能目標的高阻尼設計反應 譜之阻尼比修正係數  $B_S$  及  $B_1$  分別為 1.93及 1.75,其性能目標地表加速度  $A_p$  為 0.8086g。

## 四、X方向非線性動力分析

進行動力分析前,須先選擇輸入地震;經由中央氣象局地球物理資料管理系統網站 http://gdms.cwb.gov.tw,及國震中心之強震測站場址工程地質資料庫http://egdt.ncree.org.tw,選取位於第一類地盤的測站之地震紀錄,篩選震度等於5之較大地震20筆。

假設構件的非線性反應完全由非線性 鉸呈現,構件端點彎矩非線性鉸性質即是 定義端點彎矩與轉角的關係,本報告設定 非線性鉸之勁度隨著迴圈增加而衰減如鋼 筋混凝土斷面的力學行為,設定衰減後迴 圈面積為原來面積之 0.67 倍,彎矩與轉角 關係曲線不飽滿如同一般 RC 構材之表現。

以套裝軟體 PERFORM-3D 進行非線性動力分析,先將選定的 20 筆地震紀錄調整各自的最大地表加速度(PGA)至 X 方向非線性側推分析所得之性能目標地表加速度 0.8086 g,此值對應目標屋頂位移 53.6 cm,最大層間變位角為1.63%發生在6樓;接著進行 20 次非線性動力分析,在施加垂直載重後,進行地震歷時分析。

觀察地震歷時分析之基底剪力與屋頂位移的遲滯曲線,遲滯圈的包絡線與靜力側推分析的容量曲線有偏離的趨勢,表示對於十層樓結構,以主控模態分配靜力分析的樓層側力與動力分析的樓層剪力分析的樓層剪力分析的樓層剪力分析的樓層,這是單一模態靜力側推分析無法模擬的,其側推分析之容量曲線不能模擬動力分析之基底剪力與屋頂位移的遲滯曲線包絡線。

表二 X 向非線性歷時分析之屋頂位移 (PGA=0.8086g)

		I
地震編號	屋頂位移 (cm)	目標位移與屋頂 位移之比值
1	4.35	12.33
2	4.53	11.84
3	4.22	12.71
4	5.22	10.27
5	8.64	6.21
6	5.29	10.14
7	16.09	3.33
8	12.51	4.29
9	9.10	5.89
10	7.48	7.17
11	9.73	5.51
12	13.11	4.09
13	12.07	4.44
14	10.84	4.95
15	10.90	4.92
16	11.51	4.66
17	14.81	3.62
18	9.39	5.71
19	16.81	3.19
20	14.72	3.64
中位數	10.29	5.21
84%分 位數	14.66	3.66

記錄 20 筆地震的屋頂最大位移及目標位移與其之比值如表 4.2,20 筆地震的屋頂最大位移之中位數為 10.29 cm,側推分析估計的目標位移為其 5.21 倍,20 筆地震的屋頂最大位移之 84%分位數為14.66 cm,側推分析估計的目標位移為其3.66 倍,顯示側推分析估計的屋頂位移極為保守,在84%信心水準下,仍有3.66 倍

之多;對於屋頂位移的估計,84%分位數 與中位數的偏差為中位數的0.42倍。

# 參考文獻

- Applied Technology Council (ATC), ATC-40
   Seismic Evaluation and Retrofit of
   Concrete Buildings, prepared by the
   Applied Technology Council, Redwood
   City, Calif., 1996.
- 2. 葉勇凱、蕭輔沛、沈文成、楊耀昇、黃世建,「鋼筋混凝土建築物耐震能力詳細評估分析方法(推垮分析)」,國家地震工程研究中心報告, NCREE-09-015,台北,2009。
- 3. 「校舍結構耐震評估與補強技術手冊 第三版」,國家地震工程研究中心報告, NCREE-13-023,台北,2013。
- 4. 混凝土工程委員會,「混凝土工程設計 規範之應用」,中華土木水利工程學會, 土木 404-100,台北,2011。
- Mahaney, J. A., Paret, T. F., Kehoe, B. E., and Freeman, S. A., The capacity spectrum method of evaluating structural response during the Loma Prieta Earthquake, National Earthquake Conference, Memphis, pp.501~510, 1993.
- 6. 周德光、葉勇凱,「新建設計建物之耐震 評估參數探討」, 國家地震工程研究中 心報告, NCREE-13-041, 台北, 2013。
- 7. FEMA 273, Guidelines to the Seismic Rehabilitation of Existing Buildings, Federal Emergency Management Agency, Washington, D.C., 1997.

# 既有鋼筋混凝土結構應用直接接合型鋼框架 斜撐補強工法之研究

蕭輔沛 褚有倫 黄昭勳 3

#### 摘要

既有鋼筋混凝土(RC)結構應用鋼斜撐進行補強,具有可增加強度與韌性、施工快速與勁度適中等優點。對於學校、醫院、集合住宅與商業大樓等類型建築物之耐震補強,具有高度應用價值。惟現有鋼斜撐補強工法,往往因鋼材料強度高於 RC 材料,易因鋼構件接合既有 RC 邊柱,導致 RC 邊柱易受損壞,進而影響整體結構豎向承載力。本研究旨在探討鋼斜撐補強,並發展性能評估方法,滿足工程界進行鋼斜撐分析設計之需求。

關鍵詞:鋼筋混凝土結構、補強工法、鋼斜撐、化學錨栓

### 一、前言

近年來世界各地發生的地震災害此起彼落,帶給人們的衝擊和損失也愈來愈嚴重,同樣位處於環太平洋地震帶的臺灣,由於地震的頻繁而造成了許多建築物的損害,因此如何補強及修補既有 RC 建築物則成為了非常重要的課題。

國內近年來積極得對既有校舍建築物 進行耐震能力評估與補強的工作,但現階 段的補強工法,大多數屬於翼牆補強、RC 剪力牆補強或者是擴柱補強等一些傳統的 補強工法,固然這些補強工法所補強的效 果相當不錯,但是針對一些空間及環境受 限制的建築物,如醫院、商業大樓及辦公 大樓等,就較不適用,像是醫院因為空間 的使用上非常嚴謹,不能因為需要補強施 工就停止運作,且因為傳統補強工法都需 要大量的植筋, 會對環境產生嚴重的粉塵 及噪音污染,因此這些補強工法在使用上 是相當有限的;鋼框架斜撐補強工法具有 可工廠預鑄、組裝快速與施工環境清潔等 特性,改善了其他傳統工法在空間與環境 受限制時所產生的施工問題。

本研究將對鋼框架斜撐補強工法,進

行一系列的分析與討論,鋼框架斜撐與既有之RC建築物屬於兩種不同的材質,必須要有良好接合才能達到鋼骨斜撐傳遞力量之效果,透過不同的補強與接合型式,嘗試瞭解不同介面接合型式所產生之受力行為,探討何者較能有效提升強度。

#### 二、鋼框架斜撐補強試驗

本節主要在介紹鋼框架斜撐補強試驗 之試驗結果,本實驗主要在國家地震工程 研究中心實驗室進行試驗。

2.1 鋼框架斜撐補強試驗介紹

#### (1) 補強構架 CPFX

本補強試體設計為鋼框架含X形斜撐補強,補強構件包含鋼框架及鋼骨斜撐, 鋼框架與鋼骨斜撐材料皆選用 ASTM A36,標稱降伏強度為 252 MPa,斷面皆為 H 型鋼,尺寸為 H150×150×7×10,總斷面積 Ag 為 3960mm²,補強試體如圖 1。

#### (2) 補強構架 DPFX

本補強試體設計為 X 形鋼斜撐補強, 補強構件包含鋼骨斜撐、槽接式隅鈑及 L 型端鈑,鋼骨斜撐材料選用 ASTM A36, 標稱降伏強度為 252 MPa ,斷面選用 H

<sup>1</sup> 國家地震工程研究中心研究員

<sup>2</sup> 國立台北科技大學土木與防災所碩士

<sup>3</sup> 國立台北科技大學土木與防災所副教授

型鋼,尺寸為 $H150\times75\times5\times7$ ,其斷面積為 $1780mm^2$ ,槽接式隅鈑與L型基鈑材料選用 ASTM A572 GR50,標稱降伏強度為345MPa,補強試體如圖 2。



圖 1 補強試體 CPFX 試體圖



圖 2 補強試體 DPFX 試體圖

#### 2.2 鋼框架斜撐補強試驗結果

#### (1) 補強構架 CPFX

補強構架 CPFX 最大強度 (Pmax) 約 1435 kN,發生在正向 Drift ratio=3.0%的時候,與原構架比較強度提升大約 4.2 倍。此補強試體于鋼框架於介面松脫後之滾動行為,能使其強度及勁度繼續發揮,增強試體之韌性,但滾動行為會逐漸產生樑柱接頭剪力破壞的情形,導致最後試體強度之下降補強構架之載重-位移遲滯迴圈如圖 3。

#### (2) 補強構架 DPFX

補強構架 DPFX 最大強度 (Pmax) 約 931kN,發生在正向 Drift ratio=1.5%的時候,與原構架比較強度提升大約 2.8 倍。由觀察可發現,L型基版對邊界構材的東制使其產生明顯之剪力裂縫,最終導致混凝土破壞,試體強度迅速下降,補強構架之載重-位移遲滯迴圈如圖 4。

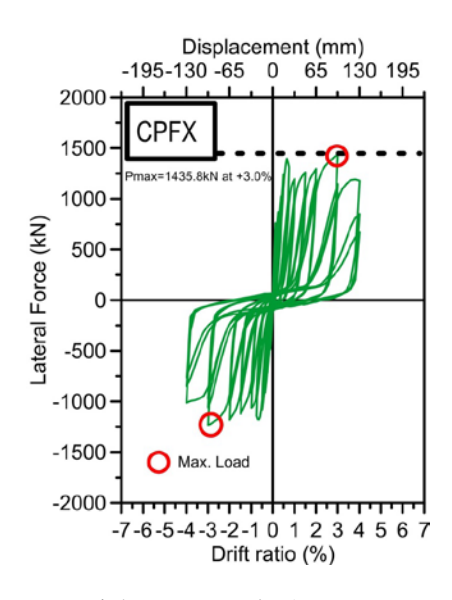


圖 3 補強構架 CPFX 載重-位移遲滯迴圈

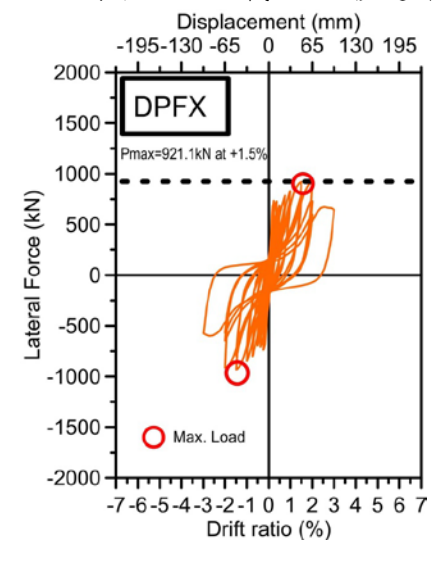


圖 4 補強構架 DPFX 載重-位移遲滯迴圈

## 三、試驗模擬與案例分析

本節主要利用結構分析軟體針對本試 驗之試體進行分析擬合,並將本試驗之補 強工法應用於既有校舍結構物探討其補強 之效益。

#### 3.1 試驗結果模擬

本實驗補強試體 DPFX 為鋼斜撐補強,其鋼骨斜撐尺寸為15×7.5×0.5×0.7 cm 的 H 型鋼,模擬時鋼斜撐塑角定義為 ETABS 內建之軸力塑角 P,其模型如圖 5。

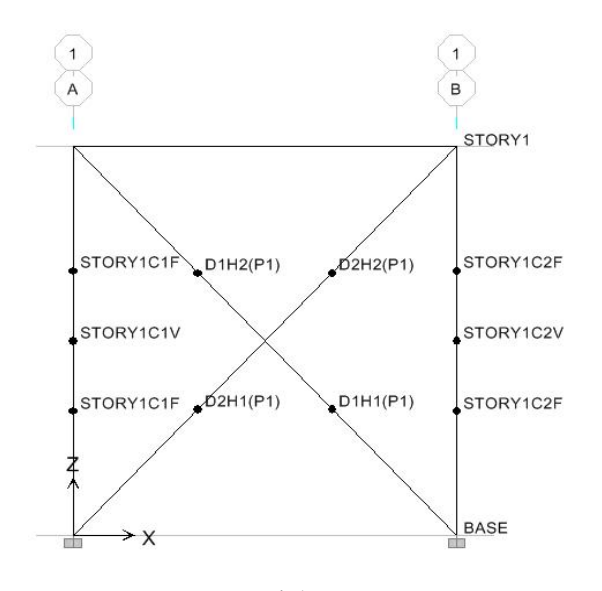


圖 5 補強構架 DPFX 模型圖

參考本文之實驗結果得到補強構架 DPFX 最大強度為 $94\times10^3$  kgf/cm²,而 ETABS 模擬之補強構架 DPFX 容量曲線 為為 $70\times10^3$  kgf/cm², 圖 6 為補強構架 DPFX 實驗與模擬之容量曲線比較圖。

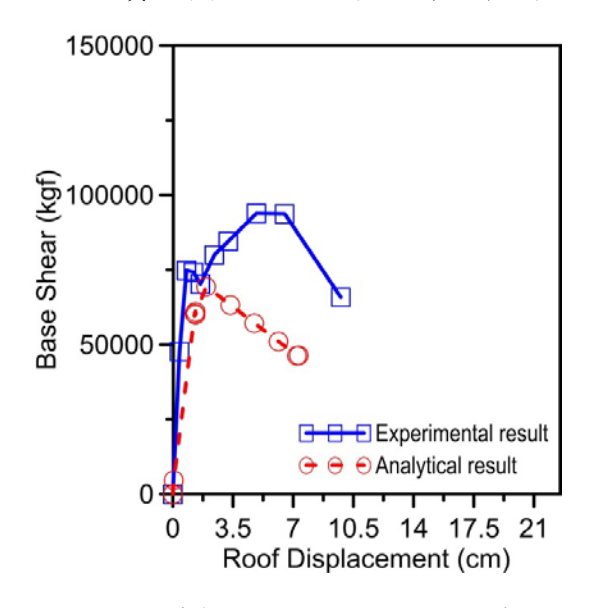


圖 6 補強構架 DPFX 試驗模擬曲線比較圖 3.2 補強案例分析

本節引用一校舍結構為案例,案例校 舍為地上三層之鋼筋混凝土建築物,圖 7 為此案例之 3D 模型圖。

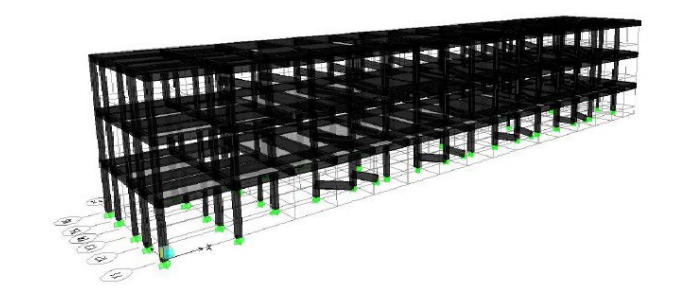


圖7案例校舍結構物3D模型圖

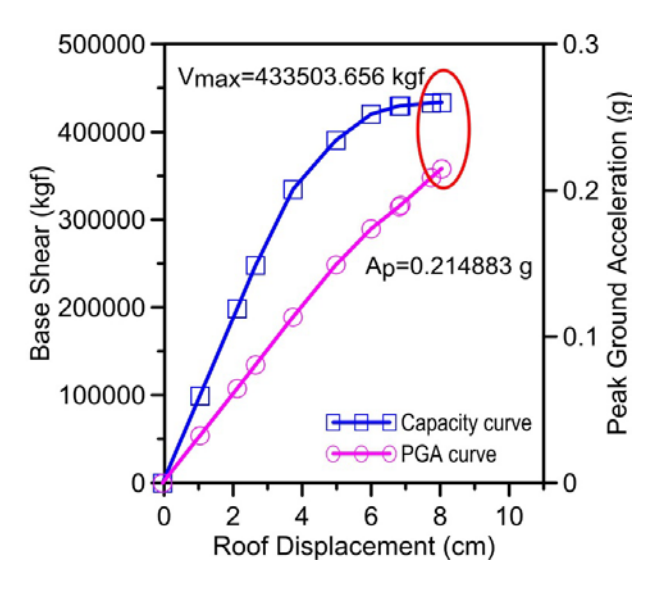


圖 8 案例校舍 X 向容量曲線圖及性能 目標地表加速度圖

經計算後採用 6 座鋼斜撐補強 DPFX,案例校舍結構物進行鋼斜撐補強後之最大側力強度分析值 $V_{max}=682.9 ff$ ,對應于最大側力強度之性能目標地表加速度為 $A_P=0.306g$ ,大於本案例校舍之耐震能力需求 $A_T=0.28g$ ,案例校舍從原本容量曲線433503 kgf提升至682956 kgf,耐震能力從原本0.214g提升至0.306g,有明顯效果,

補強後之模型圖及性能曲線圖如圖 9、圖 10 及圖 11。

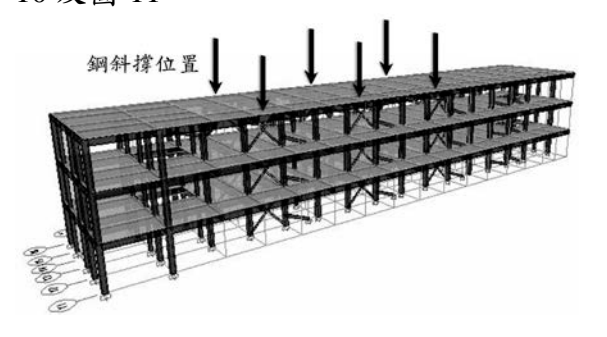


圖 9 案例校舍結構物補強後 3D 模型圖

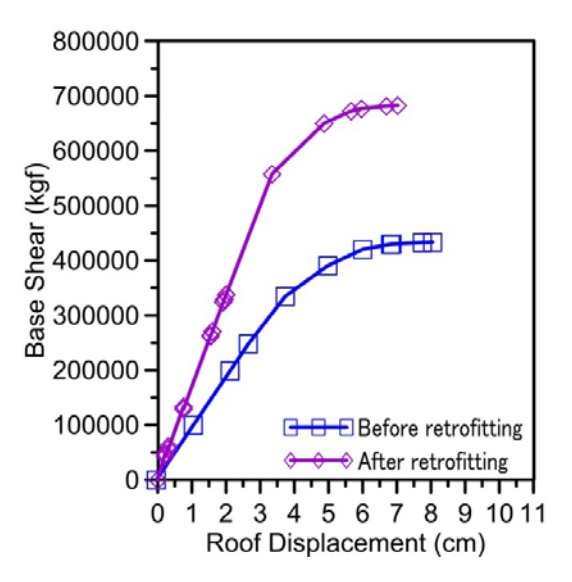


圖 10 案例校舍鋼斜撐補強(DPFX)前後 容量曲線比較圖

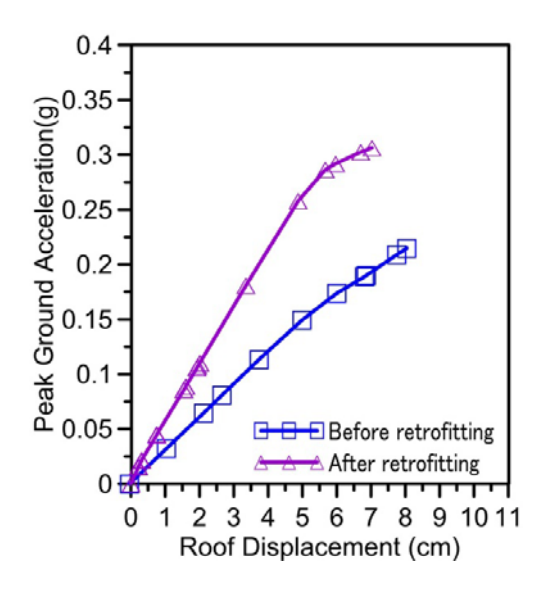


圖 11 案例校舍鋼斜撐補強(DPFX)前後 耐震能力比較圖

## 四、結論與展望

綜合本試驗結果,利用鋼斜撐補強的 非韌性 RC 構架,其最大側向力皆有明顯 的提升,表示以鋼斜撐進行補強,能達到 有效的補強效果。

鋼斜撐與 RC 構架間之接合方式影響整體構架強度、勁度以及韌性甚巨,化學 錨栓接合能有效以剪力摩擦形式傳遞力量,使得補強構件與 RC 構架間能有良好的黏合。

整體而言,鋼斜撐補強能有效提升既 有鋼筋混凝土建物最大基底剪力及性能目 標地表加速度,達到耐震能力補強的目標。

# 参考文獻

- 1. 鍾立來,葉勇凱,簡文郁,柴駿甫,蕭輔沛,沈文成,邱聰智,周德光,趙宜峰,楊耀升,黃世建,「校舍結構耐震評估與補強技術手冊」,國家地震工程研究中心報告,編號:NCREE-08-023,臺北,2008。
- 2. 鍾立來,葉勇凱,簡文郁,蕭輔沛,沈 文成,邱聰智,周德光,趙宜峰,楊耀 升,塗耀賢,柴駿甫,黃世建,孫啟祥, 「校舍結構耐震評估與補強技術手 冊」,國家地震工程研究中心,編號: NCREE-09-023,臺北,2009。
- 3. 鍾立來,葉勇凱,簡文郁,柴駿甫,蕭輔沛,沈文成,邱聰智,周德光,趙宜峰,楊耀升,黃世建,「校舍結構耐震評估與補強技術手冊」,國家地震工程研究中心報告,編號:NCREE-08-023,臺北,2008。
- 4. 內政部營建署編輯委員會,「鋼構造建築 物鋼結構設計技術規範-(二)鋼結構極限 設計規範及解說」,內政部營建署,民國 100 年 6 月。

# 層間梁配合擴柱之耐震補強工法驗證

黄昭勳<sup>1</sup> 林敏郎<sup>2</sup> 陳維宏<sup>3</sup> 鄭宇軒<sup>3</sup>

#### 摘要

為提升既有建築物在地震中之安全性,台灣地區近年來積極推動老舊建築物之耐震補強工作。目前業界所採用之補強方式中,以翼牆及擴柱工法最為常見。其中擴柱工法主要針對個別柱體進行強度提升,對於柱體兩側之梁元件並未一併補強。由於以此工法補強之結構物在擴柱底端發生撓曲降伏後強度即無法提昇,對於柱體其它部份之強度未能充分運用,因此補強效益偏低。為提高擴柱工法之補強效率,本研究中建議在相鄰擴柱元件間增設一層間梁,藉由構架變形時,層間梁兩端所產生的抵抗彎矩來增加構架之側向強度。實驗結果顯示在擴柱數量相同的情況下,增設層間梁確實可大幅提升構架之耐震能力,繼而提高擴柱工法之補強效益。

關鍵詞:耐震補強、擴柱工法、層間梁、側推分析

# 一、前言

近年來台灣地區針對老舊校舍採用之 補強方式中,以翼牆及擴柱工法最為常見。 其中擴柱工法主要針對個別柱體進行強度 提升,對於柱體兩側之梁元件並未予以補 強,因此一旦柱底發生撓曲降伏,建築故 之耐震能力便無法再提昇,導致補強效 。為提高擴柱工法之補強效率一層的抵 完中建議在相鄰擴柱而,並工法之 結體之擬靜態側推實驗驗證上述工 試體之擬靜態側推實驗驗證上述 行性, 掌能提昇擴柱工法之補強效益。

## 二、試體設計

為驗證層間梁配合擴柱工法應用於校舍耐震補強之可行性,本研究中規劃了「原型」(Prototype)、「擴柱補強」(Column Jacketing, CJ)、以及「擴柱並增設層間梁補強」(Column Jacking+Supplemental Beam, CJB)等三座實尺寸

混凝土構架試體(見表 2.1)。

表 2.1 試體規劃

Prototype	Column Jacketing∘	Column Jacketing + Supplemental Beam-	
Prototype.	CJ₽	СЈВ₽	
	0	P	

原型試體-Prototype 構架之淨跨度及 淨高均為3m,梁柱之斷面尺寸均為30cm ×50cm,樓版厚度則為12cm。相關構材 之配筋請參考表2.2

表 2.2 原型試體之梁、柱斷面尺寸及配筋

Section.	柱断面。	楽断面の	1
e)			
Size	30 cm × 50 cm₽	30 cm × 50 cm(with 12- cm slab)	
		Top: 4-No.6-	
Longitudinal		Bottom : 2-No.6"	
Reinforcement	8- No.6+	Slab: No.3@20 cm( 2-way, Double	
		Layer) +	
Transverse Reinforcement	No.3@25 cm	No.3@25 cme	

<sup>1</sup>國立台北科技大學土木工程學系教授

<sup>2</sup>國家地震工程研究中心副研究員

<sup>3</sup>國立台北科技大學土木工程學系研究生

擴柱補強試體-CJ,柱體補強後之斷面 尺寸擴大為 60 cm×80 cm,角隅處並配置 12 支 No.8 主筋;橫向鋼筋則是由 2 支 L 形 No.4 鋼筋所構成之閉合箍筋(兩端均設 置 135°彎勾,相鄰箍筋中彎勾位置交替排 置)與 4 支 No.4 繫筋(135°彎勾交替排置) 構成,其縱向間距為 10 cm;梁柱接頭處 則以植筋(epoxy doweling)方式提供主筋 側向支撐及剪力摩擦,如表 2.3 所示。

表 2.3 擴柱斷面之尺寸及配筋

Section	接柱断面。	梁柱接頭斷面⇨
,		
Size	$60~\mathrm{cm} \times 80~\mathrm{cm}$	60 cm × 80 cm₽
Longitudinal Reinforcement	12 - No.8¢	12 - No.8¢
Transverse Reinforcement:	No.4@10 cm≈	No.4@10 cm=

擴柱並增設層間梁補強試體-CJB,層間梁斷面請參考表 2.4

表 2.4 層間梁斷面配置及設計強度表

Section₽	層間梁斷面₽
ę	+ (*)
Size₽	60 cm × 50 cm€
Longitudinal	Top: 4 - No.74
Reinforcement.	Bottom : 4 - No.7₽
Transverse Reinforcement	No.4@10 cm€

表 2.5 層間梁斷面配置及設計強度表

Ą	fc, MPa (kgf/cm²) ₽		fy, MPa (kgf/cm²) ↔				
ė.	Prototype₽	Retrofit + Components	No.3₽	No.40	No.60	No.7₽	No.8₽
Specified.	15.7₽	27.5₽	27.5⊬	412√	412+	412₽	412₽
Strength₽	(160) ₽	(280) ₽	(2800) 0	(4200) ₽	(4200) ₽	(4200) ∉	(4200) ¢
Actual	19.3₽	36.7₽	341₽	472↓	460₽	454₽	454₽
Strength <i>₽</i>	(197) ₽	(374) ₽	(3475) ₽	(4817) ₽	(4690) ₽	(4628) ÷	(4628) ÷

## 三、擬靜態側推試驗

本實驗中試體頂部之側力採用 ACI 374[19] 所規定之位移控制方式加載,並以試體之層間變位比

Drift Ratio = 
$$(\Delta/H) \times 100\%$$

( $\Delta$ =制動器水平位移量,H=柱底至梁中心線高程)作為各加載階段(loading phase)之控制參數。本試驗中各加載階段所對應之層間變位比依序為 0.125%、0.25%、0.375%、0.5%、0.75%、1.0%、1.5%、2.0%、3.0%、4.0%、5.0%、4.0% (試體 CJB僅加載至  $\pm$  5%),每階段各執行三個正反向加載循環。實驗配置請參考圖 3.1

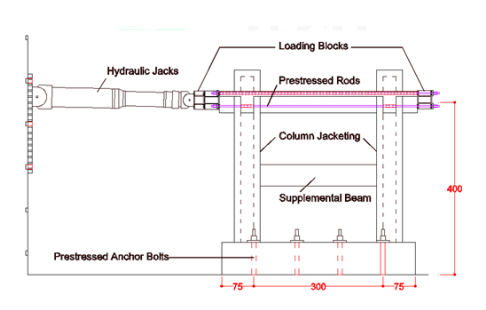


圖 3.1 加載系統配置



圖 3.2 試體 CJB 擬靜態側推試驗

試體強度比較試體 Prototype、CJ、及CJB 之最大側力強度(正反向平均值)分別為172 kN、860 kN、及1130 kN,在層間變位比(DR)為2%時之側力強度則分別為163 kN、800 kN、及1090 kN(見表3.1)。此外三座試體在DR=5%時之側力強度均仍維持在0.8Pmax(或以上),惟試體除自重外並未承受其它垂直載重,因此試體在本實驗中所呈現之韌性變形能力僅供參考,不宜作為實際設計之依據。

表 3.1 試體 Prototype、CJ、CJB 比較

ē	ė	Lateral Strength∘				
Specimen-	ø	$P_{max^{e^2}}$	DR= 2‰	DR= 5%₽		
Prototype		172 kN↔	163 kN₽	165 <b>kN</b> ₽		
CJ₽		860 kN₽	800 kN₽	710 <b>kN</b> ₽		
CJB₽		1130 kN∉	1090 kN∂	900 kN₽		

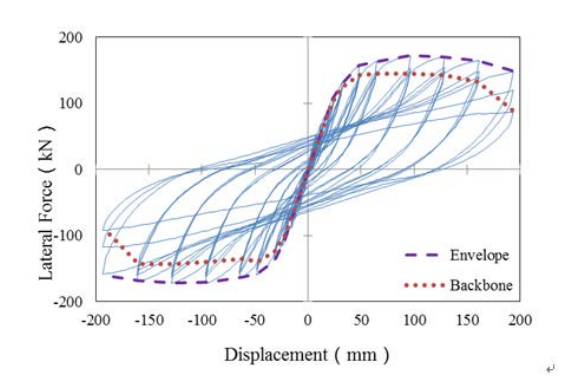


圖 3.2 試體 Prototype 之強度包絡線與 脊骨曲線

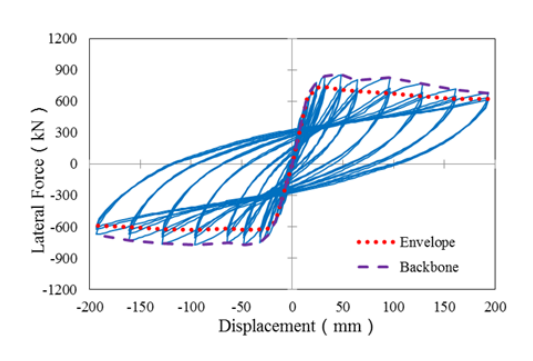


圖 3.3 試體 CJ 之強度包絡線與脊骨曲線

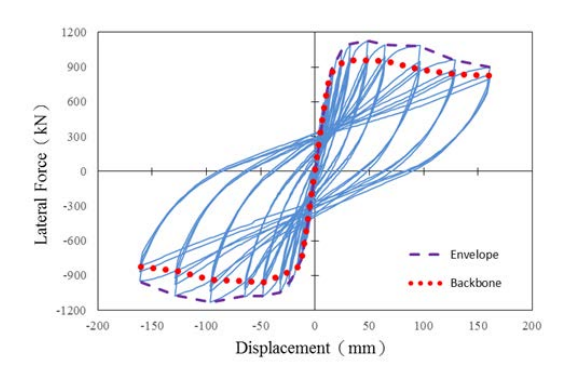


圖 3.4 試體 CJB 之強度包絡線與脊骨曲線

# 四、 非線性側推分析

為探討工程界目前常用之結構分析方

法是否能正確反映試體在實驗中之受力-變形關係及破壞模式,本研究中分別以 TEASPA及FEMA-356兩種分析法對三座 試體進行非線性側推分析以檢討二者之合 理性,並根據結構實際行為與分析結果之 差異性提出修正建議。

試體 Prototype 根據 TEASPA 之建議, T型梁在彈性階段之(開裂)有效勁度為 0.7  $E_cI_g$ ,而試體 Prototype 中之 T型梁在實驗中並無明顯開裂,因此其有效勁度應維持  $1.0 E_cI_g$ ,在柱體方面,TEASPA 亦建議以  $0.7 E_cI_g$  作為其有效勁度,但根據 Elwood及 Eberhard 的研究,混凝土柱在低軸壓狀況下之平均有效勁度約為  $0.2 E_cI_g$ 。我們將上述有效勁度( $EI_{T-beam}=1.0 E_cI_g$ , $EI_{COL}=0.2$   $E_cI_g$ )套用於之 TEASPA 模型,所得到之容量曲線將與實驗所得之脊骨曲線十分接近(見圖 4.1),構材之破壞模式亦與實際狀況一致(柱頂受損較柱底嚴重,)。

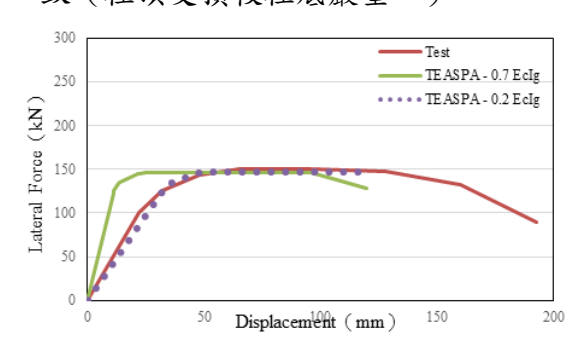


圖 4.1 構材有效勁度修正前後試體 Prototype 之容量曲線與脊骨曲線

圖 4.2 所示為試體 CJ 分別以 0.7  $E_cI_g$ 、0.5  $E_cI_g$ 、及 0.2  $E_cI_g$  作為柱體有效 勁度(梁之有效勁度仍採用 0.7  $E_cI_g$ )進行分析所得之容量曲線及脊骨曲線。

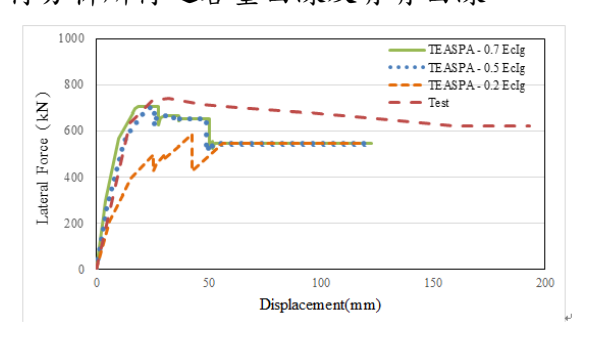


圖 4.2 試體 CJ 構材有效勁度修正前 後之容量曲線與脊骨曲線

圖 4.3 所示為試體 CJB 分別以  $0.7 E_c I_g$ 、  $0.5 E_c I_g$ 、及  $0.2 E_c I_g$  作為柱體有效勁度(梁 之有效勁度仍採用  $0.7 E_c I_g$ ) 進行分析所得 之容量曲線及脊骨曲線。

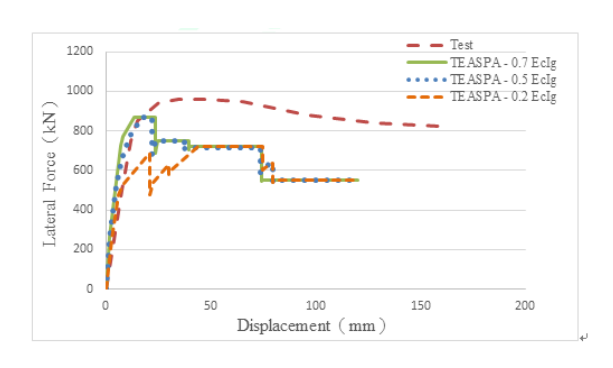


圖 4.3 試體 CJB 構材有效勁度修正前後 之容量曲線與脊骨曲線

# 五、結論與展望

本研究中分別以「擴柱」及「擴柱並 增設層間梁」兩種工法對一單層單跨之實 尺寸 RC 構架進行補強,並於國家地震工 程研究中心進行擬靜態側推試驗。為驗證 現有建築物耐震評估法之合理性,研究中 分別以TEASPA 及 FEMA-356 所建議之分析 方法對補強前後之試體進行側推分析,並 獲致以下結論:。

- 1. 實驗結果顯示原型構架在以「擴柱」與「擴柱並增設層間梁」兩種方式補強後,其所能承受之最大側向力可由172 kN分別提高至860 kN(+688 kN)及1130 kN(+958 kN),亦即擴柱試體在增設層間梁後,其補強效益較單純擴柱增加39%。
- 2. 分析結果顯示 TEASPA 對三座試體之 強度評估 (使用 ETABS 及 NCREE 所 提供之程式) 均較 FEMA-356 (使用 SAP2000 程式) 準確,主要原因乃是 因為 SAP2000 程式在計算構材抗剪強 度時並未考慮橫向鋼筋所提供之剪力 強度,導致分析結果過於保守。
- 3. 一般 RC 構架在地震中梁之剪力破壞 多發生於梁端附近,而現行 TEASPA 版本卻將梁之剪力塑鉸設置在梁中 央,應進行適當之修正。

- 4. 分析結果顯示地梁受損對於擴柱工法 之補強效果影響甚鉅,因此在進行擴 柱(或擴柱並增設層間梁)補強時, 應對與擴柱底端相連接之地梁一併補 強以確保補強效果。
- 5. 基於使用需求,層間梁之高程及設置 樓層均可進行適度調整,並依結構分 析結果規劃最佳之配置方式。

# 參考文獻

- 1. ATC, Seismic Evaluation and Retrofit of Concrete Buildings Vol.1, Applied Technology Council, 1996 •
- 2. 蕭輔沛、鍾立來、葉勇凱、簡文郁、沈 文成、邱聰智、周德光、趙宜峰、翁樸 文、楊耀昇、褚有倫、涂耀賢、柴駿甫、 黄世建,「校舍結構地震評估與補強技術 手冊」第三版,NCREE-13-023,國家地 震工程研究中心,2013。
- 3. 羅俊雄,「天然災害及防治」,科學月刊 雜誌,第0356期,1999。
- 4. Júlio, E. S., Branco, F., and Silva, V. D., "Reinforced Concrete Jacketing Interface Influence on Monotonic Loading Response", *ACI Structural Journal*, Vol. 102, No. 2, 2005, pp. 252-257 °
- 5. 黃金順,「雙層兩跨鋼筋混凝土抗彎構架耐震測試」,碩士論文,國立中央大學 土木工程研究所,2003。

# 老舊公寓之耐震補強技術-以電梯核心牆補強為例

邱聰智1 涂耀賢2

#### 摘要

台灣既有公寓建築多數興建於 1970 年代,過去地震勘災經驗顯示,許多老舊公寓由於軟弱底層的問題,造成底層塌陷或嚴重損壞。本文介紹老舊公寓在梯間以電梯核心牆耐震補強的案例,同時提升耐震能力而且可創造設置電梯的空間,改善使用機能。本研究以一棟位於台北市的四層樓 RC 造公寓建築為例,補強方法則是將既有的樓梯核心磚牆打除後,置換為 RC 牆,並增設電梯。補強後之耐震能力可符合現行耐震設計標準。本補強案例在建築物核心內配置 RC 牆、電梯及樓梯,除了達到耐震補強的目的外,同時也改善老舊公寓的使用機能,藉此可吸引更多民宅投入耐震補強。

關鍵詞:街屋、公寓、鋼筋混凝土牆、耐震評估、耐震補強

# 一、前言

老舊公寓除了有耐震能力不足的問題外,因缺乏升降機設備,對於高齡者或身心障礙者而言,是不友善的居住環境。有鑑於此,國家地震工程研究中心(簡稱:國震中心)提出電梯核心牆耐震補強工法。此大概念為在既有公寓建築內,增置 RC 核心牆做為耐震補強,同時可於此核心牆內裝 設小型昇降機,因此可同時提升結構耐震能力及提供垂直向無障礙動線。此工法也

被列入內政部營建署「私有建築物耐震性 能評估補強推動先行計畫」中的補強工法 之一,並符合相關法令之檢討,適用該計 畫的耐震評估、整建維護規劃設計及工程 等費用的補助。



圖一 公寓塌陷

# 二、典型老舊公寓案例簡介

本研究以一棟地上四層之鋼筋混凝土 造公寓為例,說明電梯核心牆耐震補強工 法之設計與評估。此案例為臺灣都會區常 見之雙併公寓建築,座落於非主要幹道之 巷弄內,一樓左右兩戶具有獨立之門戶, 而二樓以上住戶則以中間之公用樓梯作為

<sup>1</sup>國家地震工程研究中心副研究員

<sup>2</sup>德霖技術學院土木系副教授、國家地震工程研究中心兼任副研究員

#### 主要通道(圖二)。



圖二 公寓案例之 3D 建築模型

表一 案例含牆構架側推分析結果

	平行街道方 向		垂直街道方 向	
	正向	負向	正向	負向
基底剪力 0.85V <sub>max</sub> (tf)	239	239	282	271
最大層間變 位角 (%)	0.87	0.99	0.88	1.00
耐震能力 Ap (g)	0.294	0.289	0.349	0.345
合格標準 A <sub>T</sub> (g)	0.38			
強度需求比 (CDR)	1.225	1.204	1.454	1.438

註:基底剪力  $0.85V_{max}^+$  位於容量曲線下降 段,並為最大值的 $(V_{max})$  0.85 倍

## 三、電梯核心牆耐震補強工法

圖三顯示 RC 牆補強構件位置,既有樓 梯間的磚牆全部置換成 RC 牆。沿街道方向 (X向) 位在 D 構架的柱線 3 到柱線 5 之跨 間,自底層到頂層配置一面厚度 25 公分的 無開口 RC 牆,名為 SWX,此面 RC 牆補強 構件尺寸及配筋細節如圖六所示。在構架5 的柱線 D 到柱線 A 之跨間,自底層到頂層 配置一面厚度 25 公分的 RC 牆,其中一樓 為無開口牆,二樓到四樓則為開口 RC 牆, 做為右側住戶進出大門,此面 RC 牆補強斷 面名為 SWY1,尺寸及配筋細節如圖七所 示;另在構架3的柱線D到柱線B之跨間, 也配置一面厚度 25 公分的 RC 牆,一樓為 無開口牆,二樓到四樓則為開口 RC 牆,做 為左側住戶進出大門,此面 RC 牆補強斷面 名為 SWY2, 尺寸及配筋細節如圖八所示。 補強材料採用混凝土抗壓強度  $f_c' = 280 \,\mathrm{kgf} / \mathrm{cm}^2$ ,牆筋及錨定筋之抗拉強 度為  $f_{y} = 4200 \,\mathrm{kgf} / \mathrm{cm}^2$  。

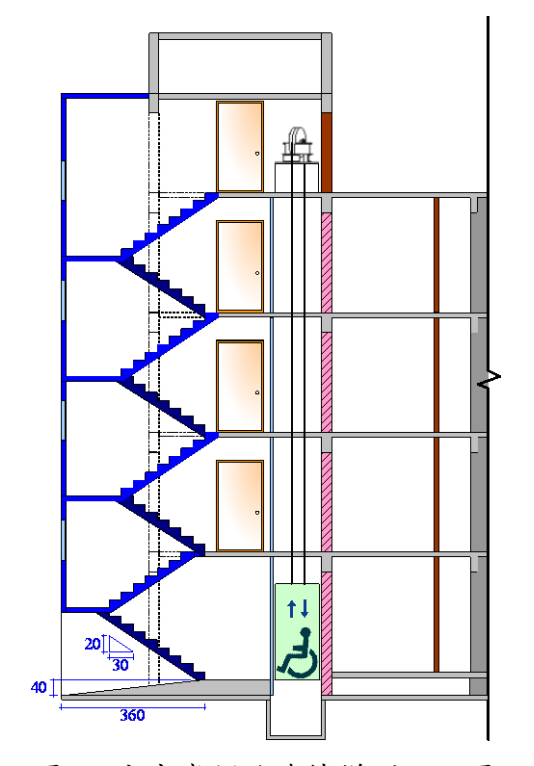
本文以 ETABS 建立結構模型,進行補強後結構的側推分析。柱、梁、磚牆斜撐、無開口 RC 牆塑性鉸參考校舍評估技術手冊[2]設定,至於開口 RC 牆仍以一等值寬柱模擬,其剪力塑性鉸參數則依據黃世建等人[3]建議的鋼筋混凝土開孔牆受剪力破壞之側力位移曲線模型計算。

由側推分析結果得知,正 X 方向所得最大基底剪力約為 345246 kgf,負 X 方向所得最大基底剪力約為 361225 kgf,正 Y 方向所得最大基底剪力約為 492067 kgf,負 Y 方向所得最大基底剪力約為 506975 kgf。

依據前述一般建築物之耐震性能目標標準,本補強案例分析結果為強度準則控制,以基底剪力 0.85V+x 發生時的性能點作為目標性能點,再對應出該目標性能點之地表加速度。補強後 X 方向之耐震容量為 0.417g,而補強後 Y 方向之耐震容量為 0.629g,皆大於耐震需求 0.38g,相關數據整理於表二。



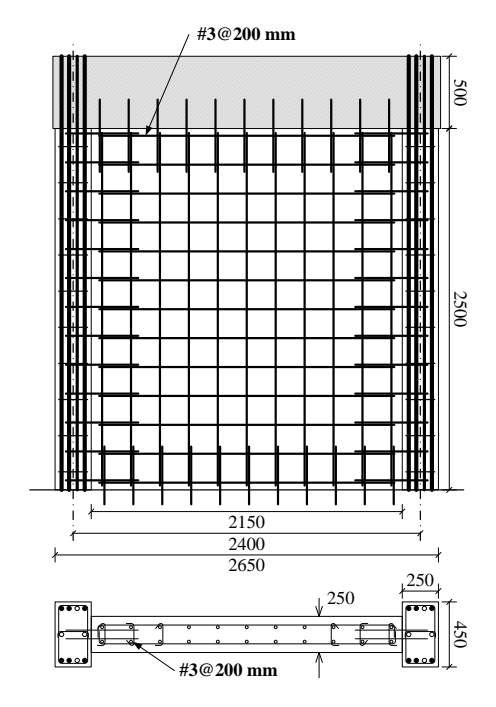
圖三 公寓案例增設電梯補強建築平面圖



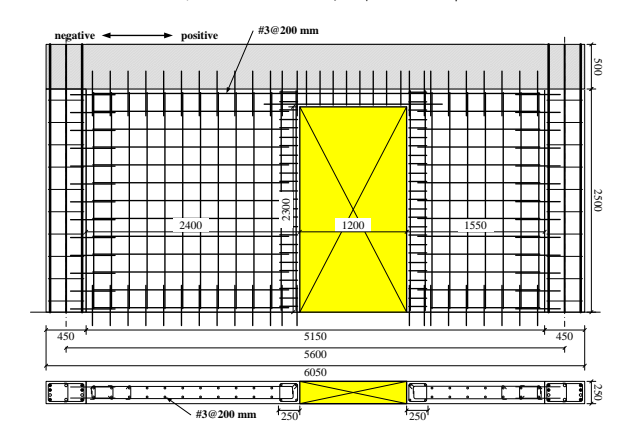
圖四 公寓案例改建樓梯剖立面圖



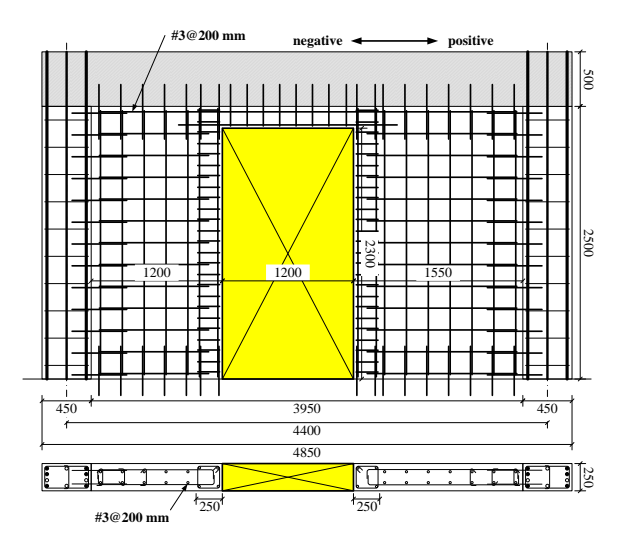
圖五 公寓案例增設電梯補強建築 3D 模型



圖六 SWX 牆斷面細節



圖七 構架 5 之 RC 牆補強斷面細節(SWY1)



圖八 構架 3 之 RC 牆補強斷面細節(SWY2) 表二 案例補強後側推分析結果匯整

	平行街道方 向		垂直街道方 向	
	正向	負向	正向	負向
基底剪力 0.85V <sub>max</sub> (tf)	93	3 07	4 18	4 31
最大層間變 位角(%)	1.8	1.9	1.3	1.3
耐震能 力 A <sub>p</sub> (g)	0.417	0.441	0.629	0.643
合格標 準 A <sub>T</sub> (g)	0.38			
強度需求比 (CDR)	1.097	1.161	1.655	1.692

#### 四、結論

本文以實際四層樓公寓為案例,介紹低矮型 RC 建築物耐震補強設計技術,可供推動私有建築物耐震性能提升計畫參考。 既有公寓採用核心牆補強工法,可提升結構耐震能力,又可作為增設電梯的升降通道,是同時兼顧安全又改善使用機能的作法。

# 参考文獻

- 1. 邱聰智,黃世建,宋嘉誠,鍾立來," 低矮型街屋耐震能力快速評估法之開發 與驗證",結構工程,第29卷,第4期, 2014,pp.65-87。
- 2. 蕭輔沛,鍾立來,葉勇凱,簡文郁,沈 文成,邱聰智,周德光,趙宜峰,翁樸 文,楊耀昇,涂耀賢,柴駿甫,黃世建, "校舍結構耐震評估與補強技術手冊第 三版",國家地震工程研究中心, NCREE-13-023,台北,2013。
- 3. 黃世建,蔡仁傑,林永健,曾建創,涂 耀賢,蕭輔沛,"鋼筋混凝土開孔牆受剪 破壞之側力位移曲線預測",低矮鋼筋混 凝土建築耐震設計、評估與補強技術及 政策推動研討會,臺北,2015。

# 鋼筋混凝土牆厚與邊界柱深比對構架 耐震行為影響研究

涂耀賢<sup>1</sup>、邱聰智<sup>2</sup>、劉德賢<sup>3</sup>、周逢霖<sup>4</sup>、鍾立來<sup>5</sup>、劉俊秀<sup>6</sup>、江文卿<sup>7</sup>

#### 摘要

我國耐震設計規範要求牆體需一併納入結構分析計算,而工程師除了符合規範剪力牆要求之牆體外,其餘 RC 牆體均忽略不算。街屋或校舍結構之含 RC 牆構架受面內側力試驗結果顯示此作法不正確,中小學校舍補強評估方法已予以修正。至於大尺寸柱配合薄的 RC 牆之大樓建築結構,邊界柱是否於牆板破壞時一併產生破壞,為本文研究之目的。本研究共設計製作四座縮尺 50%試體進行試驗,一座為空構架,另三座為構架填充 6cm厚 RC 牆,四座試體之構架均採用方形柱,尺寸分別為 20cm、35cm 及 50cm。本研究結果顯示隨柱深對牆厚比愈小,構架之韌性愈差,且牆體極限強度後保有純構架之行為愈不明顯。

關鍵詞:RC牆、邊界柱、耐震設計

## 一、前言

街屋或校舍結構之含 RC 牆構架受面 內側力試驗結果[1]顯示,RC 牆產生對角斜 裂縫之剪力破壞,且破壞時牆板裂縫延續 至邊界柱,使邊界柱一併產生剪力破壞, 由試驗之破壞包絡線顯示,構架含 RC 牆破 壞時,邊界柱已喪失其獨立抗彎構架的行 為,其因主要為邊界柱抗剪強度不足以抵 抗RC牆板破壞強度,因而隨著RC牆板剪 力破壞。然而,EERI & IAEE之低矮型圍 束砌體建築物耐震設計規範 (SEISMIC DESIGN **GUIDE** FOR LOW-RISE CONFINED MASONRY BUILDINGS) [2] 指出,當加強磚造構架之邊界柱深小於1.5 倍磚牆厚度,破壞時將發生由牆板延續並 貫穿邊界柱之對角斜裂縫;但加強磚造構 架之邊界柱深超過2倍磚牆厚度,則對角 斜裂縫將只出現在磚牆上,磚牆與邊界柱 交界面則出現垂直裂縫,使柱與磚牆分開 獨立變形,讓邊界柱保有獨立抗彎能力。

建築物中使用相當數量的鋼筋混凝土牆,包含有隔間(戶)牆及結構牆,多數牆體

屬於隔間(戶)牆,國家地震工程研究中心之實驗[1]顯示,填充隔間牆構架之強度較空構架強度約大了2.5倍。構架與牆的側侧方面,其充隔間牆構架之強的側向可見,因此這些含牆建築物的耐震行為常由牆體所控制。牆體建提供對性相對性,故建縣物中牆體數量愈多,建築物中牆體數量的於脆性的破壞,因此建築物中設置牆體不分了解牆體受力行為,始可較精準掌握建築物行為

我國耐震設計規範[3]要求牆體需一併納入結構分析計算,而工程師除了符合規範剪力牆要求之牆體外,其餘 RC 牆體均予以忽略不計。街屋或校舍結構之含 RC 牆構架受面內側力試驗結果顯示此作法不正確,中小學校舍補強評估方法[4]已予以修正。由於國內外 RC 牆試驗均可歸屬於街屋或校舍結構之含 RC 牆構架,破壞模式為牆板與邊界柱一併產生剪壞,RC 牆破壞機式為牆板與邊界柱喪失其獨立抗彎構架行為。我國目前 RC 建築物之新建案,多屬 12 層

<sup>1.</sup> 德霖技術學院營建系 副教授、國家地震工程研究中心 兼任副研究員

<sup>2</sup>國家地震工程研究中心 副研究員

<sup>3</sup>國立交通大學土木工程學系 碩士

<sup>4</sup>德霖技術學院營建系 講師

<sup>5</sup>國家地震工程研究中心建物組組長、國立台灣大學土木工程學系 教授

<sup>6</sup>國立交通大學土木工程學系 教授

<sup>7</sup>大漢技術學院土木工程與環境資源管理系 副教授

樓以上之大樓集合住宅,柱普遍為大尺寸,所設置之外牆或隔戶牆多為內置僅符合溫度鋼筋量之隔間牆。大尺寸柱配合薄的 RC 牆,邊界柱是否於牆板破壞時一人為,亦即高樓建築物中隔間牆是否可以在設計時忽略不計,是本研究探討的目的之作法是不合理,並對於結構設計之 RC 牆估算做一建議。

### 二、試體設計

規劃四座縮尺 50%試體進行試驗,其 中三座為構架填充 6cm 厚 RC 牆,邊界柱 採用方形斷面,三座試體之邊界柱尺寸分 別為 20cm、35cm 及 50cm(不縮尺時為 40cm、70cm 及 100cm),分別用以模擬低 矮型建築、7~9 層樓之中樓層建築物以及 12 層樓以上之高樓層建築物,三座試體均 填充 6cm 厚 RC 牆,內置單層雙向鋼筋, 鋼筋量僅符合規範之溫度鋼筋需求,用以 模擬建築物之外牆或隔間牆;另一座為空 構架,邊界柱亦為方形斷面,尺寸為 50cm,用以與50cm邊界柱之含6cmRC牆 試體比較,可釐清 RC 牆體于以忽略不計 的作法之可行性。四座試體之構架均採用 韌性配筋,兩邊界柱之中心距固定為 300cm,梁底至基礎底面之淨高固定為 150cm,用以模擬現行房屋結構常用跨度及 高度。試體設計原則希望損壞發生於牆體 及邊界柱上,梁及基礎破壞非本研究範 圍,故設計階段即予以排除。另外為模擬 建築物所受之垂直載重,每座試體之梁上 施加總和 0.1f'cAg 的軸力。四座試體分別 編號為空構架之 C50、含牆構架之 C50W6、C35W6 以及 C20W6。其中 C 表 示柱,C後面的數字表示柱深為50、35、 20 公分, W表示牆, 6表示牆的厚度為 6 公分。

# 三、試驗結果分析與比較

#### 3.1 破壞模式

(a)試體 C50: 試體之破壞包絡線圖 1,於 Drift Ratio = 1.5%時發生最大強度點,柱體生成撓曲裂縫以及撓曲轉變剪力裂縫。

之後呈現柱撓曲行為之平台段,至 Drift Ratio = 4%時主要破壞裂縫已形成幾乎無 生成新裂縫,此時試體強度快速下降。於 Drift Ratio = 5%時試體強度剩約最大強度 27%如圖 2,試體為撓剪破壞。

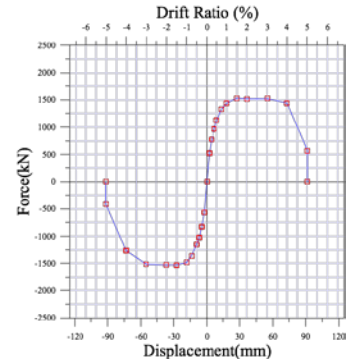


圖 1 C50 破壞包絡線



圖 2 C50 試驗結束點裂縫發展

(b)試體 C50W6:試體之破壞包絡線圖 3,於 Drift Ratio = 0.375%發生最大強度 點,此時牆體呈現 45 度角之剪力裂縫破壞 行為,牆柱交界面發生脫離狀況,且柱也 生成少許撓曲裂縫,少許牆裂縫延伸至 柱。之後強度急速下降至 Drift Ratio = 0.75%時,強度不再下降,呈現出純構架 (C50)平台段之行為。直到 Drift Ratio = 3%時,試體主要剪力與撓曲裂縫已出現,幾 乎無新生成裂縫試體強度快速下降如圖 4。降至 Drift Ratio = 5%時試體強度剩下約 最大強度 26%。牆體先剪力破壞後,些許 裂縫延伸至柱,柱生成撓曲與剪力裂縫, 最後為柱體撓剪破壞。

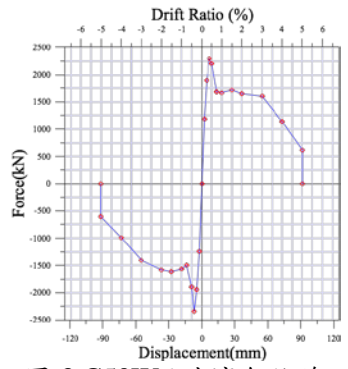


圖 3 C50W6 破壞包絡線



圖 4 C50W6 試驗結束點裂縫發展

(c)試體 C35W6:由試體之破壞包絡線圖 5,於 Drift Ratio = 0.5%時發生最大強度點牆體呈現 45 度角之剪力裂縫,牆裂縫延伸柱內。隨後強度下降至 Drift Ratio = 1%,開始呈現類似 C50W6 純構架平台段之行為,有明顯的牆柱界面脫離行為。直到 Drift Ratio = 3%強度瞬間下降於第二個迴圈時強度剩下最大強度 16%如圖 6。牆體先剪力破壞後,其裂縫延伸至柱,柱生成撓曲以及剪力裂縫,最後於柱頂有明顯的剪力破壞。

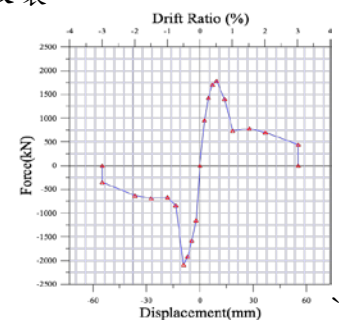


圖 5 C35W6 破壞包絡線



圖 6 C35W6 試驗結束點裂縫發展

(d)試體 C20W6:試體之破壞包絡線圖7,於 Drift Ratio = 0.5%發生最大強度點,牆體出現大量45度角之剪力裂縫,有明顯牆裂縫延伸進入柱體如圖8。隨後強度持續下降至 Drift Ratio = 0.75%時,呈現柱底出現混凝土擠碎與牆裂縫貫穿柱體,於第二個迴圈出反力牆方向時強度瞬間降到最大強度 20%。牆體先剪力破壞且其裂縫延伸貫穿邊界柱之剪力破壞。

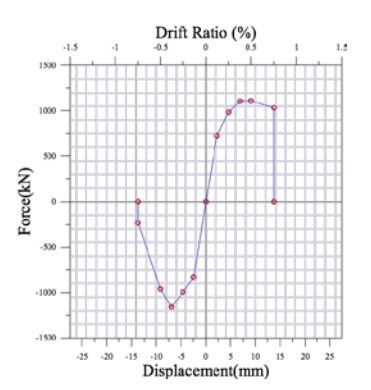


圖7C20W6破壞包絡線



圖 8 C20W6 試驗結束點裂縫發展

#### 3.2 邊界構材效益

從破壞包絡線圖(圖 9)可得知C50W6、C35W6於牆體極限強度後皆保有部分柱的行為,C50W6試體破壞包絡線之平台段大於C35W6,而C20W6幾乎無純構架的行為,故邊界構材深度與牆板厚度比值越大,越能保有完整的純構架行為。對於C50W6、C35W6而言牆體對試體最大強度提升如表1,由表可知邊界構材深度與牆板厚度比值越小,對整體強度提升影響越大。

表 1 牆板對構架強度提升比率

試體(代號)	C50W6	C35W6
邊界構材強度提升比 (最大強度-平台段強度 平台段強度	57%	144%

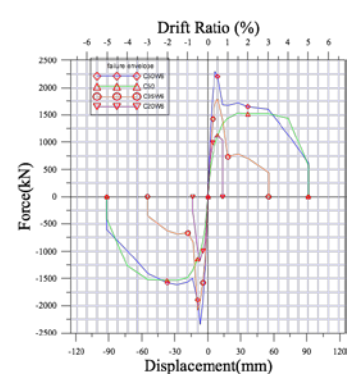


圖 9 四座試體破壞包絡線

#### 3.3 牆體忽略可能性

(a)試體 C50W6:由試驗破壞包絡線(圖3)中得知,試體於極限強度後(Drift Ratio = 0.75%),仍然保有純構架平台段行為,惟平台段結束於 Drift Ratio = 3%,而純構架試體(C50)之平台段結束於 Drift Ratio = 4%(圖1),兩者相差 25%。C50W6 與 C50相比初始勁度提升了 3.27 倍,此現象顯示對於週期之影響程度值得注意。基於上述原因,C50W6 雖然牆體於極限強度發生後,仍能發揮構架行為,但其發揮之構架行為有限,本研究建議牆體忽略不計的動作需謹慎為之,或需更進一步的研究。

(b)試體 C35W6: 牆體極限強度發展後之純構架平台段僅達到 Drift Ratio = 1.5%,明顯較 C50W6 小很多,整體試驗至 Drift Ratio = 3%時殘餘強度僅餘 25%,故試體雖有純構架平台段的行為,但牆體影響性較大,韌性發展有限,本文建議不可將牆體忽略。

(c)試體 C20W6:此試體之牆體斜裂縫延伸至邊界柱,由破壞包絡線圖 5 可看出,試體屬於剪力破壞,並無純構架之平台段行為,且其韌性明顯不如純構架,軸力喪失點僅只能達到 Drift Ratio = 0.75%,本文建議不可將牆體忽略。

#### 四、結論

1. 含牆試體與純構架試體差異

C50W6 與 C50 兩者比較,含牆試體可保有純構架部分平台段行為,含牆試體初始勁度提升 3.27 倍而最大強度提升 57%。牆剪力破壞後,殘餘牆體附著在邊界柱上使得平台段強度高於純構架,含牆試體平

台段結束後之下降點(極限位移)發生比純 構架試體早25%。

 邊界構材深度與牆板厚比值對構架行為 之影響

C50W6、C35W6、C20W6 三者比較,邊界柱深與牆厚比值越小,則邊界柱於極限強度後保有獨立抗彎能力的行為越不明顯、變形能力越差。C50W6、C35W6可保有純構架部分平台段行為, C20W6 則偏向於 RC 牆破壞形式且變形能力僅只有Drift Ratio = 0.75%。邊界柱深與牆厚比值越小,則柱體受到牆延伸之剪力裂縫損傷之比值越多。邊界柱與牆厚比值越小,則破壞模式從撓剪轉變成剪力破壞,且牆對於整體強度提升影響越大。

#### 3. 忽略牆體可行性

C50W6 雖然近乎保有純構架行為,但 其初始勁度與純構架相比甚大,發揮之構 架行為有限,建議牆體忽略不計的動作需 謹慎為之。C35W6 試體之初始勁度、最大 強度、韌性皆與純構架差異甚大,C20W6 受牆板影響更加明顯,建議牆體不可忽 略。隨邊界柱深與牆板厚度比值愈大,牆 體極限強度後構架保有獨立抗彎能力愈明 顯,但若工程師欲將牆體忽略時,建議須 考慮結構週期修正及變形能力減損。

# 参考文獻

- 1. 邱聰智,「碳纖 FRP 在鋼筋混凝土牆之耐 震補強研究」,碩士論文,國立台灣科技 大學營建工程系,台北,民國九十一年。
- 2. Confined Masonry Network, "Seismic Design Guide for Low-rise Confined Masonry Buildings", EERI & IAEE (2011)
- 3. 「建築物耐震設計規範及解說」,內政部,民國一OO年。
- 4. 蕭輔沛、鍾立來、葉勇凱、簡文郁、沈 文成、邱聰智、周德光、趙宜峰、翁樸 文、楊耀昇、褚有倫、涂耀賢、柴駿甫、 黃世建,「校舍結構耐震評估與補強技 術手冊 第三版 (NCREE 13-023)」,技 術報告 NCREE 13-023, 國家地震工程 研究中心,台北 (2013)。

# RC 牆偏心配置之牆厚與邊界柱深比對構架 耐震行為影響研究

涂耀賢<sup>1</sup>、邱聰智<sup>2</sup>、陳照枝<sup>3</sup>、周逢霖<sup>4</sup>、鍾立來<sup>5</sup>、劉俊秀<sup>6</sup>、江文卿<sup>7</sup>

#### 摘要

我國建築物配置大量牆體,多數牆體屬於隔間牆或隔戶牆之非結構牆。牆體的勁度較高,故成為建築物耐震之主控構件,國內外的含牆構架試驗均將牆體的厚度中心對齊邊界柱心。由於部分大樓基於使用性,採用牆板邊與柱邊對齊之偏心配置,為了更進一步探討柱牆偏心配置時之耐震行為,本文設計及測試三座縮尺 50%之含牆構架試體,三座為均配置 6cm 厚 RC 牆,牆體配置單層雙向鋼筋,鋼筋量僅符合規範之溫度鋼筋要求,三座試體不同處在於邊界柱斷面有大中小三種尺寸,分別用以模擬高樓建築、中高樓建築與低矮型建築。研究結果顯示,RC 牆偏心配置對於邊界柱產生不對稱破壞,邊界構材深度對牆寬度比值愈小,試體於極限強度後保有之純構架行為愈不明顯。

關鍵詞: RC 牆、邊界柱、耐震設計、偏心配置

## 一、前言

我國耐震設計規範[1]要求牆體需一併納入結構分析計算,大樓結構設計中若每道牆均加以模擬,工作量十分龐大,工程師抗拒不用,而是將牆體忽略,純粹以梁柱樓板所形成的韌性抗彎構架(SMRF)分析設計。由於現行工程師忽略牆體的結構設計作法,造成多數技師遇到拆除牆體的問題或牆體在地震後受損時,均以原建築物結構設計時未將牆體納入結構計算中

為由,認定拆除牆體或牆體損壞不影響結 構安全。

國家地震工程研究中心之實驗[2]顯 示,填充隔間牆構架之強度較空構架強度 約大了2.5倍。由於構架與牆的側向勁度相 差甚大,因此這些建築物的耐震行為常由 牆體所控制。國內外含RC牆構架試驗的柱 深與牆厚比值不大,均屬低矮型建築的特 性,中高樓層建築之含牆構架模擬試驗幾 乎沒有, 更沒有針對高中低型三種建築物 之含牆構架行為差異比較的試驗。本文作 者於103年進行RC牆板與邊界構材互制行 為試驗[3],共完成四座試體,大中小三種 尺寸柱含牆構架各一座及大尺寸柱空構架 一座,含牆構架之柱心與牆中心合一。研 究結果顯示:牆板損壞後,柱深對牆厚比 愈大,保有純構架行為愈明顯,但韌性隨 柱深對牆厚比值減小而迅速減弱。因此現 今工程師於結構設計時忽略牆體的作法, 在柱深對牆厚比很大時才愈有適合性,不

<sup>1.</sup> 德霖技術學院營建系 副教授、國家地震工程研究中心 兼任副研究員

<sup>2</sup>國家地震工程研究中心 副研究員

<sup>3</sup>國立交通大學土木工程學系 碩士

<sup>4</sup>德霖技術學院營建系 講師

<sup>5</sup>國家地震工程研究中心建物組組長、國立台灣大學土木工程學系 教授

<sup>6</sup>國立交通大學土木工程學系 教授

<sup>7</sup>大漢技術學院土木工程與環境資源管理系 副教授

過仍會有韌性大幅減少及初始勁度大幅提高等偏離實際狀況的問題。

因部分大樓為牆板邊與柱邊合一之偏心配置,部分則為牆板中心與柱中心合一,兩種牆體配置方式之行為差異如何, 乃本文研究之目的,以釐清現行工程師設計建築物時忽略剪力牆以外牆體之作法是否合理,值得進一步探討。

### 二、試體設計

為了瞭解邊界柱尺寸與 RC 牆板厚度 比值對偏心配置之含牆構架側力強度的關係,規劃三座縮尺 50%試體進行試驗,三 座均為構架填充 6cm 厚 RC 牆,邊界柱採 用方形斷面,邊界柱尺寸分別為 20cm、 35cm 及 50cm(不縮尺時為 40cm、70cm 及 100cm),分別用以模擬低矮型建築、7~9 層樓之中樓層建築物以及 12層樓以上之高 樓層建築物。三座試體均填充 6cm 厚 RC 牆,內置單層雙向鋼筋,鋼筋量僅符合規 範之溫度鋼筋需求,用以模擬建築物之外 牆或隔間牆。

三座試體之構架均採用韌性配筋,兩邊界柱之中心距固定為300cm(不縮尺時為600cm),梁底至基礎底面之淨高固定為150cm(不縮尺時為300cm),用以模擬現行房屋結構常用跨度及高度。試體設計原則希望損壞發生於牆體及邊界柱上,梁及基礎破壞非本研究範圍,故設計階段即予以排除。另外為模擬建築物所受之垂直載動,每座試體之梁上施加總和0.1f'cAg的軸力。試體編號分別為C50W6E、C35W6E以及C20W6E。其中C表示柱、C後面的數字表示柱深為50、35、20公分,W表示牆號偏心配置。

## 三、試驗結果

#### 3.1 C20W6E 試體

試驗之遲滯迴圈如圖 1,破壞包絡線則如圖 2,試驗最大強度為 914.3kN,發生於層間變位角 Drift = 0.375%時,此時的裂縫發展如圖 3 所示,強度點前之 0.25%時,上部結構與基礎介面產生剪力摩擦行為,且在柱與牆體相齊面(南面)此時兩邊界柱

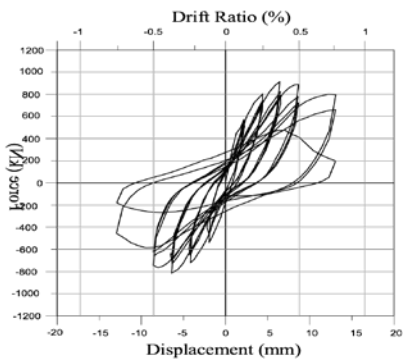


圖 1 C20W6E 遲滯迴圈圖

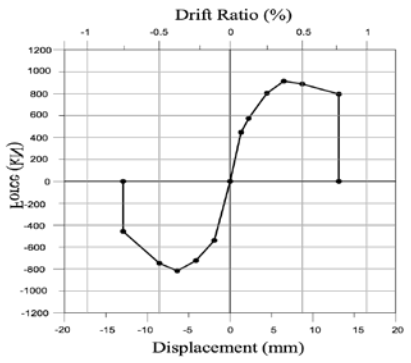


圖 2 C20W6E 破壞包絡線



圖 3 C20W6E 極限強度點裂縫發展



圖 4 C20W6E 試驗結束點裂縫發展

#### 3.2 C35W6E 試體

試驗之遲滯迴圈如圖 5,破壞包絡線 則如圖 6,試驗最大強度為 1419kN,發生 於層間變位角 Drift Ratio = 0.375% 時,此時 的裂縫發展如圖7,裂縫為對角傾斜發展, 裂縫由柱外側頂部向下傾斜,經過牆板至 另一側柱底的外側。在強度點前之 0.25% 時,已在上部結構與基礎介面產生剪力摩 擦,從東與西側面柱可看出,由於牆體為 偏心配置造成裂縫發展有很明顯的不對稱 性,且裂縫許多從柱與牆體相齊面(南面) 延伸至兩側面柱,但無延伸至柱與牆體偏 心面(北面)之柱面。在此試體測試過程中雖 有多處牆體與柱體介面分離,但還是有明 顯看出牆體斜剪裂縫有向上延伸往柱體使 得柱體產生主要剪力裂縫之行為。試驗結 束在 4%(圖 8),柱與牆體相齊面(南面)與柱 與牆體偏心面(北面)兩面比對,兩面混凝土 剝落情形為南面嚴重,在此面柱體保護層 幾乎全部剝落且可明顯看到核心混凝土區 塊。

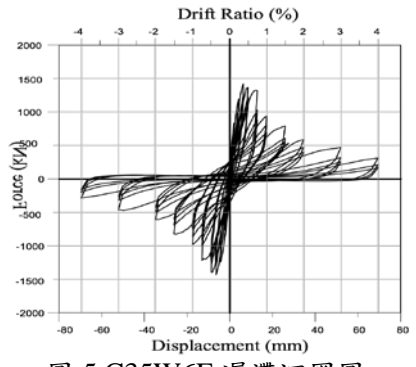


圖 5 C35W6E 遲滯迴圈圖

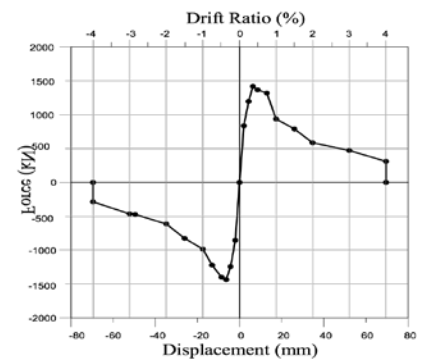


圖 6 C35W6E 破壞包絡線

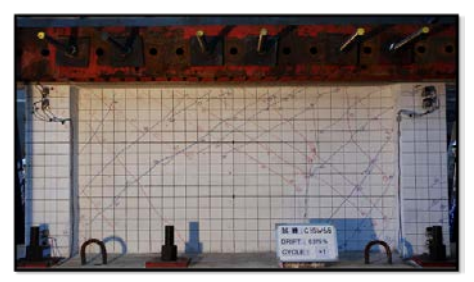


圖 7 C35W6E 極限強度點裂縫發展



圖 8 C35W6E 試驗結束點裂縫發展

#### 3.3 C50W6E 試體

側推試驗之遲滯迴圈如圖 9,破壞包 絡線則如圖 10 所示,試驗最大強度為 2281kN,發生於層間變位角 Drift Ratio = 0.5%時,此時的裂縫發展如圖 11 所示,實 驗強度點 0.5% 開始牆體快速與邊界構材成 口形脫離,在 0.75% 開始試體則形成類似 純構架之行為。邊界柱裂縫的發展有很明 顯的不對稱性,且裂縫許多都從柱與牆體 相齊面(南面)延伸至兩側面柱但無延伸至 柱與牆體偏心面(北面)之柱面。此試體牆體 對於整體行為貢獻為一開始之勁度,當牆 體開始達破壞強度後,邊界構材沒有與牆 板一同快速破壞,而是發生邊界構材快速 與牆體分離。試驗結束在5%(圖12),在此 面柱體保護層幾乎全部剝落且可明顯看到 核心混凝土區塊。由觀察破壞行為看出, 牆體對於邊界構材影響性較小。

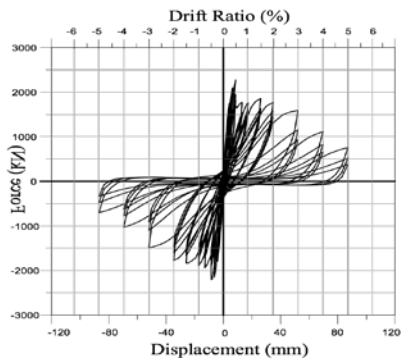


圖 9 C50W6E 遲滯迴圈圖

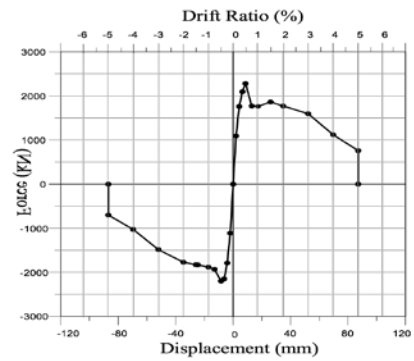


圖 10 C50W6E 破壞包絡線



圖 11 C50W6E 極限強度點裂縫發展

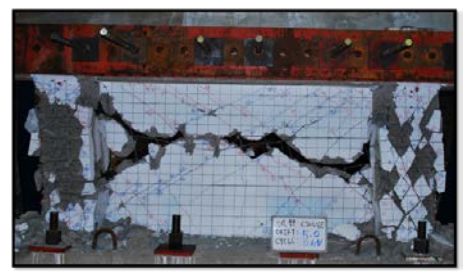


圖 12 C50W6E 試驗結束點裂縫發展

#### 四、結論

三座試體之破壞包絡線如圖 13 所示,圖中顯示 C50W6E 試體於極限強度發展後,破壞包絡線出現一近似平台段,由前節試驗破壞描述可知,此試體之極限強度為牆體之貢獻,隨後發展純構架行為。因牆體損壞時亦造成邊界柱某種程度的損壞。此試體牆體先剪力破壞後,些許裂縫延伸至柱,柱生成撓曲與剪力裂縫,最後

#### 為柱體撓剪破壞。

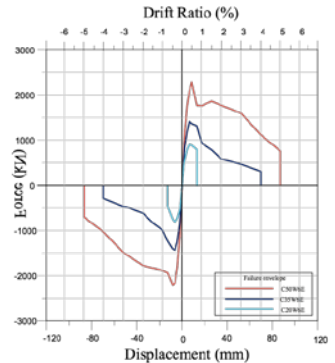


圖 13 四座試體破壞包絡線

C35W6E 試體於極限強度發展後,破壞包絡線未出現一近似平台段,但於極限強度發展後之強度急速衰減段後,出現了一較為平緩之下降段。此現象比對前節試驗破壞描述,可解釋為此試體之極限強度係為權因治療,隨後亦可發展純構架行為內性因體損壞時造成邊界柱損壞的程度的人,故而此試體體先剪力破壞後內裡與無體體大,故而此試體體先剪力破壞後內其。此試體體生成撓曲以及剪力製縫延伸至柱,柱生成撓曲以及剪力製縫延伸至柱,柱生成撓曲以及剪力製縫,且柱與牆體相齊面(南面)與柱與牆體偏心面(北面)兩面損害程度差異很大,此試體

C20W6E 試體於極限強度發展後,破壞包絡線並未出現近似平台段,且極限強度發展後強度急速衰減,並迅速發生喪失軸力承載能力。此現象比對前節試驗破壞描述,可解釋為此試體之極限強度為牆體之貢獻,因邊界柱體能力有限,牆體損壞時亦造成邊界柱損壞。此試體牆體為剪力破壞,無純構架單獨承載之行為。

最後為牆板脫離及柱明顯的剪力破壞。

# 參考文獻

- 1.「建築物耐震設計規範及解說」,內政部,民國一OO年。
- 2. 邱聰智,「碳纖 FRP 在鋼筋混凝土牆之耐 震補強研究」,碩士論文,國立台灣科技 大學營建工程系,台北,民國九十一年。
- 3. 涂耀賢、邱聰智、陳照枝、周逢霖、鍾立來、 劉俊秀、江文卿,「鋼筋混凝土牆厚與邊界 柱深比對構架耐震行為影響研究」,中華民 國第十三屆結構工程研討會暨第三屆地震 工程研討會,No.1504,桃園(2016)。

# 發展適用於台灣地區的地震動模型

趙書賢1 程毅豪2 林柏伸3 許喬筑4

### 摘要

本研究發展了全新的水平向地震動模型,其可用於評估台灣的地殼地震與隱沒帶地震所造成之不同場址的地震動強度,包含最佳預測之中值模型與可能範圍的不確定性模型。本研究發展了可同時考慮資料截切效應與混合效應的兩階段最大勢能迴歸分析法來求取模型的係數,相較於過去一般使用的迴歸分析方法,其優勢在於可以考慮相同地震事件或相同測站的量測紀錄其殘差的相關性,並同時解決資料截切效應所造成的取樣偏差問題。本研究選用介於 0.01 秒至 5 秒結構週期 5%阻尼比水平向加速度反應譜值作為地震動強度的量測值,並考慮了重要的地震動特徵如規模飽和效應、距離飽和效應、변擴散效應、非線性衰減效應、線性場址效應、非線性場址效應、自然不確定性與統計不確定性等對地震動強度預測的影響,最終以不同的震源參數 (如震距規模 Mw、斷層機制、破裂面頂部至地表的深度、主餘震)、路徑參數 (如測站至斷層破裂面的最短距離)與場址參數 (Vs30與 Z1.0)建置地震動模型。本研究所建置的地震動模型未來可供台灣特定工址進行定值式地震危害度分析、機率式地震危害度分析與地震風險評估之用。

關鍵詞:地殼地震、隱沒帶地震、自然不確定性、統計不確定性

### 一、前言

在過去已有一些研究利用台灣的地震 動資料建置適用於台灣的地震動模型,但 是大部分的模型當應用在地震危害度分析 時則有其限制,有鑑於此,本研究旨在發 展能夠符合工程實務應用的需求以及能夠 精準的反映各種不同的地震動特徵的地震 動模型,其開發之過程與結果摘述如下。

# 二、地震資料的篩選

本研究以中心執行「台灣地震危害高階模型建置計畫」所發展的地震動資料庫來發展新的台灣地震動模型,而資料挑選的條件為:1.各地震事件與強震測站,其至少需要有十個以上的地震紀錄;2.所挑選之各紀錄之PGA值需大於4gal;3.僅採用氣象局之強震站的紀錄,而即時站之訊號解析度較低因此不予採用。

# 三、迴歸分析方式

本研究結合了兩階段迴歸分析方法[1] 與隨機截切資料之機率分佈函數[2],發展 出可同時考量資料截切所導致之取樣偏差

<sup>1</sup> 國家地震工程研究中心副研究員

<sup>2</sup> 中央研究院統計科學研究所研究員

<sup>3</sup> 中興工程顧問社正研究員

<sup>4</sup> 國家地震工程研究中心專案佐理研究員

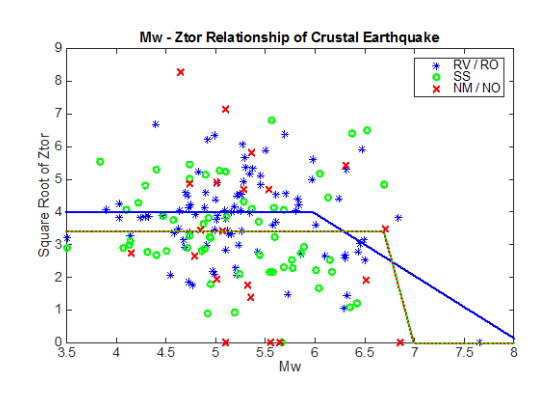
與誤差相關性混合模式之迴歸分析方法, 以用來求取精確的地震動模型係數,詳細 分析流程詳參完整報告。

### 四、中值模型

地震動模型為一描述不同的地震動境 況下所可能引致地震動大小的數值模型, 通常假定地震動大小的機率分佈滿足對數 常態分佈,因此其可由中值模型與標準差 模型來描述。本小結描述本研究所建置的 中值模型,其可用來評估不同地震動境況 下最可能引致的地震動強度。

### 4.1 基本地震動境況

本研究所建置的地震動模型可用來預 測 0.01 秒至 5 秒結構週期之 5%阻尼比的 水平譜加速度值,該模型由基本地震動境 況的預測與不同的尺度效應來組成,其中 基本地震動境況的設定如下:主震規模 5.5、 距離 0 公里、量測之 Vs30 值為 760m/s、 Z1.0 值則依據 Vs30 值為 760m/s 由經驗公 式來計算[3],此外為反映大規模地殼地震 大部分破裂至地表之特性,因此採用以地 震資料回歸所得之規模相依的深度境況值, 結果如圖一所示,而隱沒帶地震的深度與 規模並無太大之相關性,因此其深度境況 值假設為50公里。圖二為基本地震動境況 下的加速度反應譜,包括了不同斷層機制 的地殼地震、馬尼拉隱沒帶地震與琉球隱 沒帶地震。



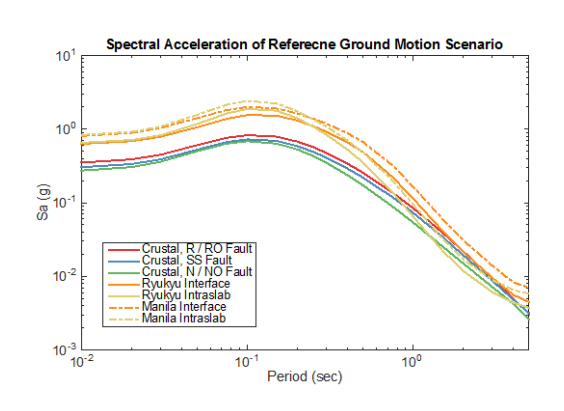
圖一 不同斷層機制之地殼地震其規模與 深度之關係

#### 4.2 規模與距離尺度關係

本研究所選用的地震動資料中地殼地震最小規模為 Mw 3.5,最大為 Mw 7.6,因此本研究的地震動模型其可用來預測 Mw 3.5-8.0 的地殼地震;而隱沒帶地震資料最小規模為 Mw 4.2,最大為 Mw 7.1 因此本研究的地震動模型採用適用於日本的隱沒帶地震之規模尺度關係來預測 Mw 7.1 以上的地震動值,因此其可用來預測 Mw 4.0-8.0 的隱沒帶內部型地震與 Mw 4.0-9.0 的隱沒帶內面型地震;而模型適用的距離範圍則依據地震動資料的距離範圍來設定。地震動模型適用的範圍詳參表一。

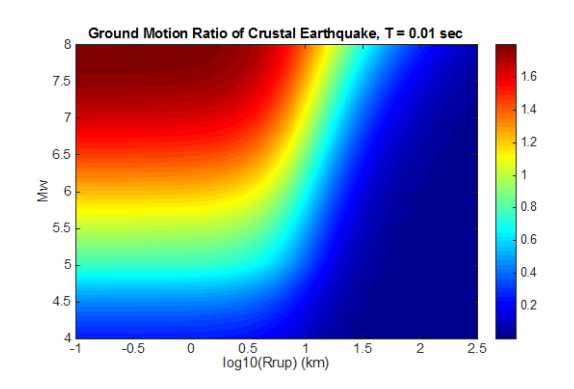
表一 本研究發展之地震動模型所適用的 地震動境況參數範圍

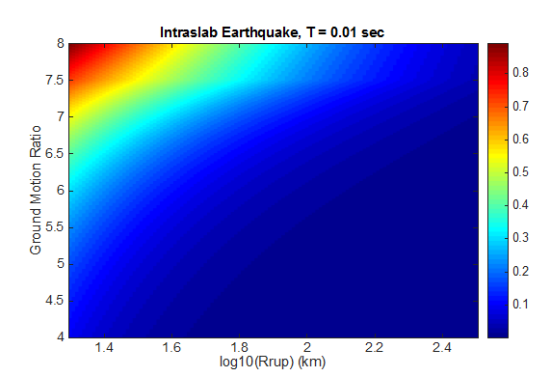
	2010年11月
參數	範圍
	地殼地震 Mw4-8
規模	隱沒帶介面型地震 Mw4-9
	隱沒帶內部型地震 Mw4-8
距離	地殼地震 0.1-300 km
此班	隱沒帶地震 10 km - 300 km
 深度	地殼地震 0-70 km
<b>沐</b> 及	隱沒帶地震 0-180 km
Vs30	180 – 1100 m/s
Z1.0	5 – 1000 m
週期	0.01 – 5 sec



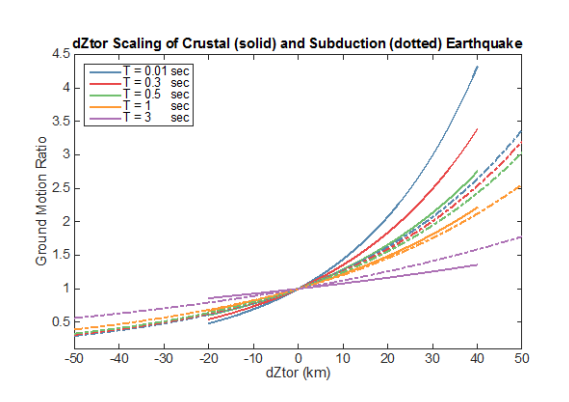
圖二 基本地震動境況下的加速度反應譜

以地殼地震與隱沒帶內部型地震為例, 圖三為本研究之地震動模型其峰值地表加 速度之規模與距離的尺度關係,其代表了 不同地震規模之下的地震動值相對於基本 地震動境況的比值。其中可以發現地殼地 震的短週期反應譜於地震規模較大與鄰近 斷層時有明顯的飽和現象,而隱沒帶地震 則並未發現有明顯的飽和現象。





圖三 地殼地震與隱沒帶內部型地震之規 模與距離尺度關係



圖四 不同週期譜加速度之深度尺度關係

#### 4.3 深度尺度關係

圖四為本研究地震動模型不同週期譜 加速度之深度尺度關係,模型適用的深度 範圍可參考表一。由圖四可以發現台灣不 論是地殼或是隱沒帶地震,在相同的距離 之下,深度越深則譜加速度值越高,尤以 短週期的譜加速度更為明顯。

### 4.4 餘震效應

過去的研究發現相較於主震,餘震由 於其應力降較低,因此在相同的地震動境 況下,其造成的地震動值較主震為低,由 分析結果可以發現餘震的地震動值約比主 震的地震動值減少 15%。

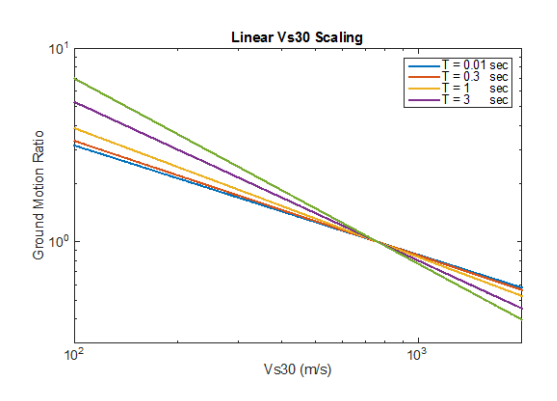
#### 4.5 線性場址效應

線性場址效應為描述當一地震發生時, 與斷層破裂的起與岩盤所不址,相較於, 淺層較弱的地盤與岩盤伸度較深的工址, 類別較大的地震動。通常地震動模(Vs30) 值來量化淺層土壤剪力波速值(Vs30) 值來量化淺層土壤勢地震動的影響值 (Z1.0)來量化岩盤深度對地震動的影響 (Z1.0)來量化岩盤深度對地震動的影響。 (Z1.0)來量化岩盤深度對地震動的影響。 (Z1.0)來量化岩盤深度對地震動的影響。 (Z1.0)來量化岩盤深度對地震動的影響。 對地震動於大寶為本研究之地震動模型不同與 時期, 對於大夏關係也越強,代表越較弱的 應的 於大夏與具有較深岩盤的 上壤與具有較深岩盤的 上壤與具有較深岩盤的 上壤與具有較深岩盤的 上壤 時的 於大更為明顯。

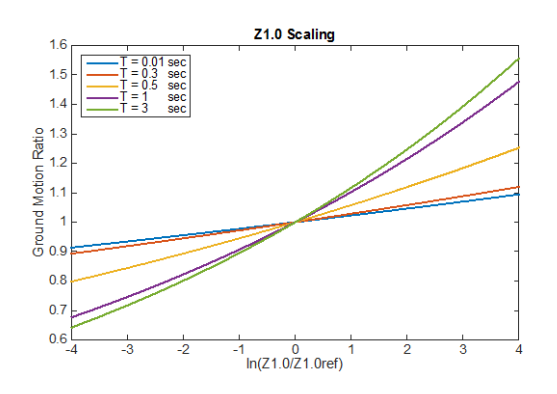
#### 4.5 非線性場址效應

非線性場址效應為描述當工址土層在 受震之時,由於土壤材料非線性力學行為 的關係,當土層所承受的剪應變越大時, 將反應較高的阻尼比,因此當兩工址在相 同的深層岩盤輸入地震動之下,當地震動 輸入的強度越高之時,淺層土壤較軟弱的 工址反而會觀測到較低的地震動值。

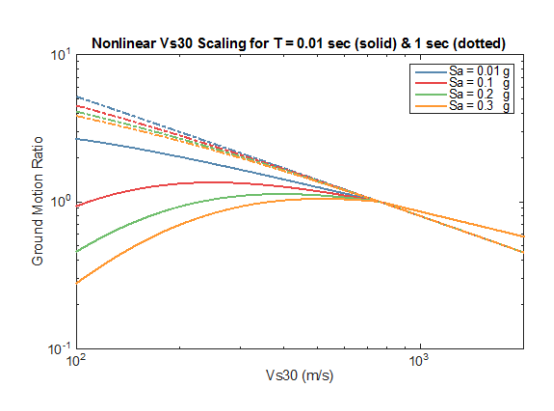
非線性場址效應主要會對短週期的反應譜值有影響,長週期的反應譜值則影響不大。以週期 0.01 秒的譜加速度為例,圖七為本研究之地震動模型在不同的岩盤 (Vs30 為 1100 m/s) 輸入地震動之下 (Sa1100) 的 Vs30 尺度關係。當輸入地震動為 0.01g 時,幾乎沒有非線性效應,而當輸入地震動大於 0.1g 時 Vs30 小於 760m/s的測站可以觀察到相當明顯的土壤非線性所造成的地震動折減現象。



圖五 不同結構週期之 Vs30 尺度關係



圖六 不同結構週期之 Z1.0 尺度關係



圖七 不同的岩盤輸入地震動(Sa1100)強度情況下的 Vs30 尺度關係

# 五、不確定模型

本小節描述用來評估不同地震動境況 下地震動強度變異性的不確定性模型,依 據其特性可分作自然不確定性與統計不確 定性,分述如下:

### 5.1 自然不確定性模型

自然不確定來自於地震動本身的特性 與模型開發過程時各種簡化假設的限制, 導致各地震境況下的地震動預估具有隨機性,該隨機性以對數常態分佈的標準差來量化。以單一測站為例,由地震所引致的地震動標準差值約為 0.5 至 0.65 之間,其主要為規模的函數。中值增加 1 倍標準差的地震動值約為中值的 1.6 至 1.9 倍,因此該不確定性的大小相當的可觀。

### 5.2 統計不確定性

統計不確定性來自於因資料的不足導致所建置的模型其預測值具有隨機性,由初步分析的結果可以發現中值的統計不確定性標準差值約為 0.1 至 0.2 之間,其主要為規模與週期的函數,自然不確定性模型的統計不確定性標準差值約為 0.05 至 0.1 之間,大略為中值的一半。統計不確定性的標準差值比自然不確定性的標準差值來得小,因此過去的研究大部分僅考量自然不確定性對地震動預估結果的影響。

### 六、小結

本研究建立了新的迴歸分析方式,可同時考慮資料截切效應與誤差的相關性,並以該方式進行回歸分析建置了考量不同震源、路徑與場址效應的台灣地震動模型,可供未來工程實務界之應用。模型完整開發的過程與成果如其公式與係數,可參考中心完整報告。

# 參考文獻

- 1. Joyner, W. B., and D. M. Boore (1993). Methods for regression analysis of strongmotion data, Bull. Seismol. Soc. Am. 83, no. 2, 469–487.
- 2. Bragato P.L. (2004). Regression analysis with truncated samples and its application to ground-motion attenuation studies, Bull. Seismol. Soc. Am., 94: 1369–1378.
- 3. Kuo, C. H., C. M. Lin, K. L. Wen, and H. H. Hsieh (2016). An Important Update for the Engineering Geological Database for TSMIP. Short Report of NCREE.

# 核能電廠圍阻體 1/13 縮尺試體 反覆載重試驗設計規劃

張哲瑜 1 楊炫智 2 吳俊霖 3 徐增全 4 呂胡忠 1 張長菁 1

### 摘要

歷經 1979 年美國三哩島、1986 年蘇聯車諾比以及 2011 年日本福島等核子安全事 故,核能安全必須重新評估與檢視,以避免此等重大災害可能造成的衝擊。核子反應爐 之圍阻體結構乃其安全機制的重要屏蔽,具備屏蔽輻射及阻絕熱能之功能,有異於一般 結構物,因其板殼結構與複合材料特性,而致難以準確掌握其強度及韌性極限,且較少 針對其耐震行為進行評估與探討。有鑑於此,本研究以先進式沸水式反應器(ABWR)廠房 之圍阻體(RCCV)為研究對象,建立其 1:13 之縮尺模型並進行反覆載重試驗,以瞭解圍阻 體全域之結構力學特性與破壞機制,確切掌握其力學行為,期能提升未來核能電廠進行 安全評估與設計之高端技術。本研究於國家地震工程研究中心完成兩座圍阻體縮尺模型 反覆載重試驗,本實驗使用 8 支水平向油壓致動器,以位移控制方式施加水平反覆載重 於試體上,並於試體四個角隅處以4支垂直向油壓致動器維持圍阻體試體於試驗過程中 之雙曲率變形並施加實際狀態下圍阻體所承受之等比例垂直荷重。本試驗量測系統配置 包括:(1)以傳統位移計及光學量測系統記錄圍阻體表面之三維位移場;(2)高階數位相機 陣列記錄不同加載階段之裂縫寬度、裂縫發展並作影像紀錄,並輔以傳統目視描繪裂縫 作為比對;(3)黏貼應變計以記錄圍阻體垂直向鋼筋及水平環向鋼筋之應變場。本文針對 實驗規劃及設計進行探討,由於圍阻體為巨大量體,具備高側向強度、高勁度、低變形 能力之特性,其縮尺反覆載重試驗是全球稀有、具高度挑戰性的試驗,可供未來國內外 擬進行類似實驗計畫參考。

關鍵詞: 圍阻體、縮尺、反覆載重、核能電廠

### 一、前言

核能發電相較於其他發電型式,如火力、水力、潮汐、風力等,具有高效率與產能的供電特性,並且碳排放量較低,核能發電於全球廣受運用。然而,歷經1979年美國三哩島、1986年蘇聯車諾比以及2011年日本福島等核子安全事故,核能安全必須重新評估與檢視,以避免此等重大炎害可能對社會、環境與經濟造成的衝擊。核子反應爐之圍阻體結構乃其安全機制的重要屏蔽,其結構設計有異於一般結構物,以考量核子反應爐受損洩漏所導致內費。以考過過過

<sup>1</sup> 國家地震工程研究中心助理研究員

<sup>2</sup> 國家地震工程研究中心副研究員

<sup>3</sup> 國家地震工程研究中心研究員

<sup>4</sup> 美國休士頓大學教授

本研究以先進式沸水式反應器(ABWR) 廠房之圍阻體 (Reinforced Concrete Containment Vessel, RCCV)為研究對象,建 立其 1:13 之縮尺模型並進行反覆載重試 驗,以進一步瞭解其結構特性與破壞行為。 本試驗有兩座試體,各使用8支油壓致動 器用於水平向反覆加載,4 支油壓致動器 用於維持圍阻體試體之雙曲率變形以及固 定垂直軸力,而油壓致動器之內置荷重計 用於記錄圍阻體之實際受力狀態。整體量 測配置包括:(1)以傳統位移計及光學量測 系統量測圍阻體表面之三維位移場;(2)高 階數位相機陣列記錄不同加載階段之裂縫 寬度、裂縫發展以及影像紀錄,並輔以傳 統目視描繪裂縫作為比對;(3)黏貼應變計 以量測圍阻體垂直向鋼筋及水平環向鋼筋 之應變場。本文針對實驗規劃及設計進行 深入探討,由於圍阻體為巨大量體,具備 高側向強度、高勁度、低變形能力之特性, 其縮尺反覆載重試驗乃全球稀有並具高度 挑戰性,可供未來國內外擬進行類似實驗 計畫參考。圖一為試驗實況照片。

### 二、試體設計及施工

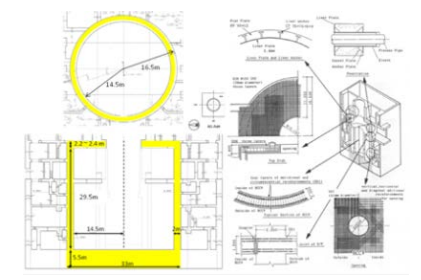
本研究以圍阻體為研究標的物,實際結構尺寸為外徑 33m、內徑 29m、壁體高度 29.5m,圖二為圍阻體尺寸與配筋示意圖,考量人力、物力、資源、空間等因素,本研究以等比例縮尺模型進行試驗,參考美國電力研究所(EPRI)針對核能電廠圍阻體結構安全評估經驗公式,並與有限元素數值模擬比對,以控制試驗所需側推力於600 噸重的條件,決定本試驗兩座試體採用1:13 縮尺比例進行,經由縮尺後之圍阻

為避免縮尺模型之頂板與底板混凝土 於施加大量螺桿預力後開裂,本研究採用 鋼板包覆方式強化頂板與底板;此外,縮 尺圍阻體之配筋比例與原始設計相同與 成鋼筋間距狹小,必須調整骨材粒徑與混 凝土配比,避免澆置失敗產生蜂窩或孔本 究預先以局部縮尺模型,進行數種配比, 究預先以局部縮尺模型,進行數種配比, 選與抗壓強度測試,歷經多次測試後 用骨材最大粒徑 8 mm,滿足抗壓強度 350 kgf/cm²,代表工作性的坍流度可達到 68 cm 的自充填混凝土做為正式施工時之配 比。本試體壁體施工過程如圖六所示。

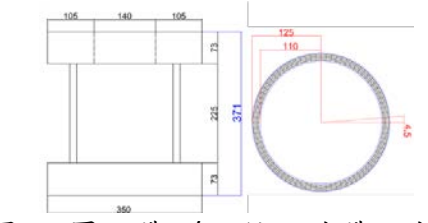
### 三、試驗設計與夾具規劃



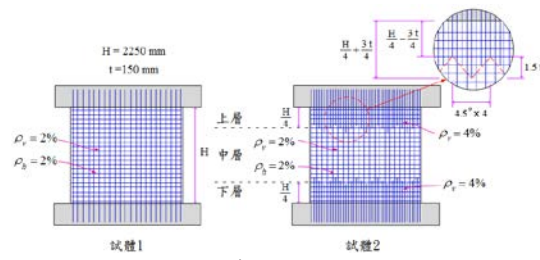
圖一 圍阻體縮尺試體反覆載重試驗實況



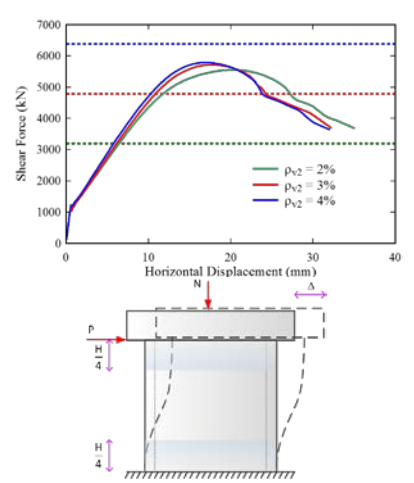
圖二 圍阻體尺寸與配筋示意圖



圖三 圍阻體 1/13 縮尺試體尺寸圖



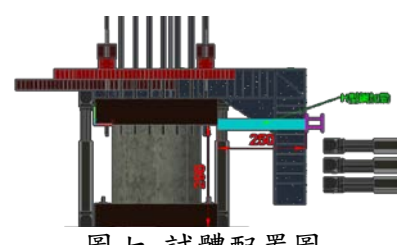
圖四 試體配筋設計圖



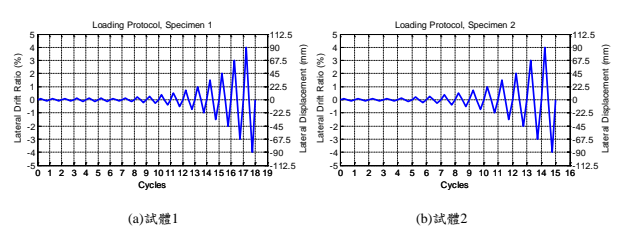
圖五 試體配筋分析圖



圖六 試體壁體施工圖



圖七 試體配置圖



圖八 試體反覆載重加載歷時規劃圖

### 四、量測系統配置

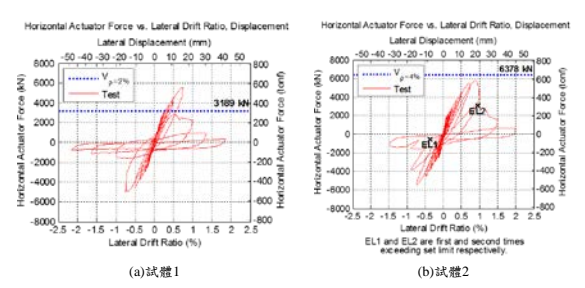
本試驗採用之量測系統有磁感式位移 計、指針式位移計(Dial Gauge)、拉線式位 移計(String Pot)、光學量測系統(Optical Measurement System)、高階數位相機以及 應變計(Strain Gauge)。多種位移計的使用, 分佈於試體頂板與底座,量測垂直向與兩 個水平向的位移,不僅量測試體結構行為 表現,也能相互對照、比較。磁感式位移 計設置於試體頂板高程,垂直向四支位移 計分別量測試體頂板四個角落的位移,水 平向兩支位移計則測量試體頂板高程於加 載方向的水平位移,量測值可用來判斷試 體是否有傾斜、扭轉的現象。指針式位移 計設置於試體底座, 垂直向位移計量測試 體底座垂直位移,水平向位移計則測量試 體底座水平位移,量測值可用於判斷試體 是否有傾斜、扭轉的現象。拉線式位移計 設置於試體頂板高程四個角落,每個角落 分別設置兩個位移計以相互對照,量測試 體頂板水平與垂直方向位移量,其中一個 角落設置三個位移計以量測另一個水平方

向位移量。試體 2 的規劃更於 L 型傳力鋼 梁設置拉線式位移計,量測鋼梁是否於受 側推時有變形的行為。光學量測系統追蹤 器用於量測試體表面之三維位移場,其水 平向配置以 22.5 度的間隔環繞均佈試體 表面,垂直向配置除均佈壁體以外,並延 伸至頂板與底座,可用以判斷試體與頂板 或底座的相對位移與結構行為。本試驗使 用高階數位相機陣列環繞試體,相機陣列 拍攝頻率一致,由控制系統於固定時間間 隔統一拍攝,記錄不同加載階段之裂縫寬 度、裂縫發展,並為試驗施作之影像紀錄, 輔以傳統目視描繪裂縫作為比對。應變計 黏貼處,均佈試體垂直向鋼筋以及水平向 環狀鋼筋,用以記錄試體之應變場,了解 試體隨著加載階段變化之結構行為表現。

### 五、試驗結果與建議

本試驗兩座試體之反覆載重遲滯迴圈 如圖九所示,藍色虛線為由 EPRI 經驗公式 計算求得的剪力,紅線則表示試體受反覆 載重時層間變位的狀況,試體1於層間變 位角1%時,壁體於接近頂板交界處產生界 位角1%時,壁體於接近頂板交界處產生界 生後,整體側向強度降低;試體2針對 生後,整體側向強度降低;試體2對此 現象於試體上部與下部 1/4 試體高度以 置增加垂直鋼筋,因此試體寫頂板的 置增加垂直鋼筋,因此試體與頂板的 置增加垂直鋼筋 來交界處沒有界面剪力滑移破壞的情 沒 就體整體強度也較能維持,試體2最終 現勢力破壞模式。

本研究以先進式沸水式反應器(ABWR) 廠房之圍阻體(Reinforced Concrete Containment Vessel, RCCV)為研究對象,建 立其 1:13 之縮尺模型並進行反覆載重試 驗,以進一步瞭解其結構特性與破壞行為。 本試驗試體 1 採用與實際圍阻體結構相同 的配筋方式,試體 2 則針對試體 1 與頂板 交界處產生的界面剪力破壞進行配筋的調 整,避免此現象的產生。由試驗結果發現, 與加載方向平行的試體表面產生剪力破壞的 製縫,與加載方向垂直的試體表巨大量 體,具備高側向強度、高勁度、低變形能 力之特性,其縮尺反覆載重試驗乃全球稀 有並具高度挑戰性,本文針對實驗規劃及 設計進行深入探討,包括試體配筋、加載 規劃、夾具設計、量測系統等,可供未來 國內外擬進行類似之實驗計畫參考。



圖九 反覆載重試驗遲滯迴圈圖

# 參考文獻

- NUREG/CR-6639, SAND99-1464, ANA-98-0252, "Seismic Analysis of a Prestressed Concrete Containment Vessel Model," March (1999).
- 2. NUREG/CR-6906, SAND2006-2274P, "Containment Integrity Research at Sandia National Laboratories," July (2006).
- 3. Saito, H., Muramatsu, Y., Furukawa, H., Hasegawa, T. and Mutoh, A., "Post-test Analysis of A 1:10-scale Top Slab Model of ABWR/RCCV Subjected to Internal Pressure," Nuclear Engineering and Design 145, pp.339-353 (1993).
- Hirama, T., Goto, M., Shiba, K., Kobayashi, T., Tanaka, R., Tsurumaki, S., Takiguchi, K. and Akiyama, H., "Seismic Proof Test of A Reinforced Concrete Containment Vessel (RCCV) Part 2: Results of Shaking Table Tests," Nuclear Engineering and Design 235, pp.1349–1371 (2007).
- 5. Hsu, T. C., Wu, C. L. and Lin, J. L., "Infrastructure Systems for Nuclear Energy," John Wiley & Sons, West Sussex, UK (2014).

# 核能電廠圍阻體 1/13 縮尺試體反覆載重試驗(2)-結果探討

呂胡忠<sup>1</sup> 楊炫智<sup>1</sup> 張哲瑜<sup>1</sup> 張長菁<sup>1</sup> 吳俊霖<sup>1</sup> 王孔君<sup>1</sup> 楊元森<sup>2</sup> 徐增全<sup>3</sup>

### 摘要

核能發電投入商業運轉至今已逾 60 年,在其發展過程中,經歷了美國三哩島、前蘇聯車諾比及日本福島等重大核能電廠事故。核能電廠反應爐的圍阻體必須具備阻絕高溫、承受高壓、防止放射性物質外洩及抵抗恐怖攻擊等功能,故設計與評估往往相當保守。但福島事件後,地震災害對核能電廠安全性的影響,又再度引起全球的高度關注。本研究之試驗選用先進沸水式反應器(ABWR)廠房之一次圍阻體做為研究對象,由於原尺寸之圍阻體結構規模龐大,在試驗的時程、技術、成本與安全性等方面極具挑戰,故採用等比例縮尺模型進行試驗。將兩座 1/13 圍阻體縮尺模型之反覆載重試驗結果做一初步比較,在水平向載重、水平向位移、裂縫觀察、試驗照片與應變計數據等方面進行說明與討論,以對未來相關試驗規劃及核能電廠安全評估提供更多的研究經驗與成果。

關鍵詞:先進沸水式反應器、鋼筋混凝土圍阻體、反覆載重、縮尺試驗

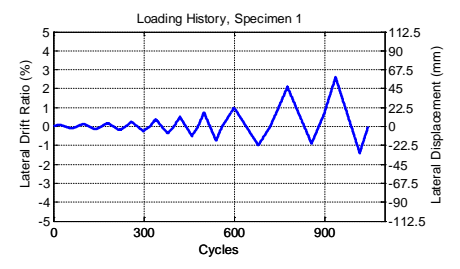
# 一、前言

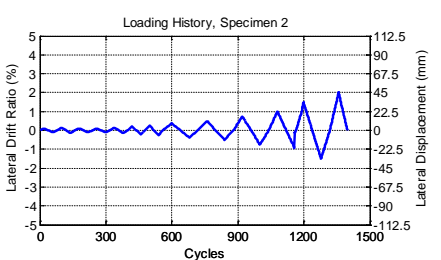
核能發電投入商業運轉至今已逾 60 年,期間歷經美國三哩島、蘇聯車諾比及 日本福島等核子事故,對於社會經濟與生 態環境都造成了重大衝擊。本研究選用先 進式沸水式反應器(ABWR)廠房的一次選 阻體作為研究對象,藉由反覆載重試驗來 瞭解其結構力學特性與破壞行為,之用 上 整解其結構力學特性與破壞行為,之用 於核能電廠圍阻體係一大型鋼筋混凝 於核能電廠圍阻體係一大型鋼筋混凝的物理 模型試體來進行試驗,以保持縮尺模型與 原型結構之關聯性。

### 二、試驗過程

本研究的 1/13 縮尺試體反覆載重試驗製作2座試體,試驗中監測所得的反覆載重歷程如圖一。試體1與2分別以1045與1398 個步數完成試驗。圖二中藍色曲線是美國休士頓大學徐增全教授等人的分析預測結果,紅色曲線為試驗數據。試體1與2分別在層間變位角0.743%與0.899%

時出現最大側推力 5580 kN 與 6113 kN。觀察圖一與二可知,在最後兩個載重週期中,兩個試體皆出現層間變位角正負值不一致的現象。原因是此時的試體破壞程度較嚴重,因安全考量故未將試體側推至原規劃之層間變位角。





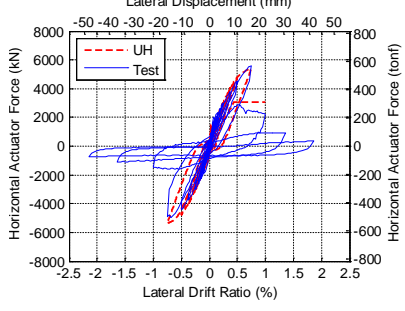
圖一 反覆載重加載歷程

<sup>1</sup> 國家地震工程研究中心

<sup>2</sup> 國立台北科技大學土木工程系

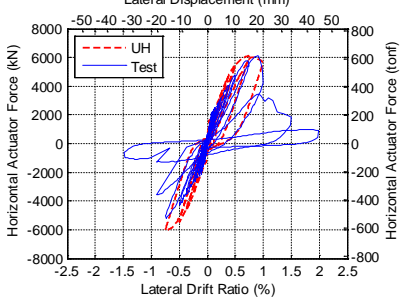
<sup>3</sup> 美國休士頓大學土木及環境工程系

Horizontal Actuator Force vs. Lateral Drift Ratio, Displacement Lateral Displacement (mm)



Horizontal Actuator Force vs. Lateral Drift Ratio, Displacement

Lateral Displacement (mm)



圖二 試驗結果之遲滯圈

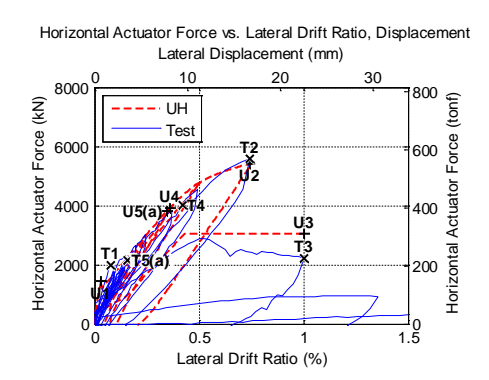
### 三、試驗結果與探討

為說明試驗結果,本研究從力學行為 的角度在試驗過程中選出5個狀態視為關 鍵點,此5個關鍵點分別為:(1)初始裂 縫,即壁體開始出現裂縫之時;(2) 最大側 推力,當水平向施加的載重達到最大值之 時;(3)層間變位角1%,當壁體的層間變 位角達到 1%之時;(4) 水平鋼筋降伏,在 壁體的水平向鋼筋開始出現降伏的時候; (5) 垂直鋼筋降伏,在壁體的垂直向鋼筋 開始出現降伏的時候。其中,試體2的壁 體在上下層 H/4 範圍內的垂直鋼筋量與中 層不同,因此試體2的第(5)個關鍵點代表 中層垂直鋼筋的狀態,第(6)個關鍵點則代 表上下層的狀態。各關鍵點所對應的側推 力與層間變位角列於表一,上述關鍵點的 編號與各狀態發生的先後次序無關。

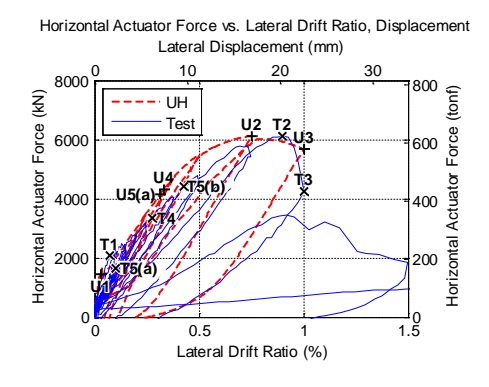
表一 關鍵點狀態

開鍵	名稱	側推?	h (kN)	層間變位角 (%)		
點		試體1	試體2	試體1	試體2	
1	初始裂缝	1993	2095	0.077	0.073	
2	最大側推力	5580	6113	0.743	0.899	
3	層間變位角1%	2227	4245	1.002	1.000	
4	水平鋼筋降伏	-3634	3338	-0.35	0.276	
5(a)	垂直鋼筋降伏(中層)	2144	1660	0.156	0.099	
5(b)	垂直鋼筋降伏(上下層)	-	4426	-	0.427	

試體 1



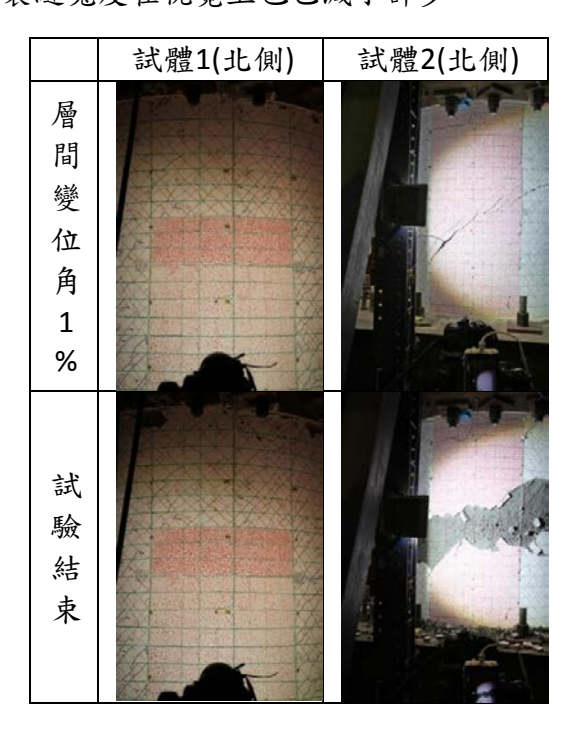
試體 2



圖三 試驗側推力為正之遲滯圈與關鍵點

試驗過程中,兩座試體達到層間變位 角 1%及試驗結束時,壁體表面的照片如圖 四所示。壁體表面的綠色網格,每格寬度 約 2500 mm×π/80 = 98.175 mm,高度約 2250 mm/20 = 112.5 mm。層間變位角 1% 時壁體表面出現許多與 45 度傾斜的紅色 及藍色線條,該線條是沿著裂縫位置與走向以人工目視與徒手描繪的方式繪製結會製設的層間變位角,並以表單記錄各區域的層間變位角,並以表單記錄各區域的時數產生的裂縫,正向代表側推力是由西向東上的裂縫。中間有許多線條即為網推力為負許多數。中間有許多數數,與所需之記號。

觀察層間變位角 1%的狀態可發現,試體 1 壁體上緣出現水平向裂縫;試體 2 壁體中間出現 45 度角斜裂縫。最後在試驗結束時,試體 1 壁體上緣的水平向裂縫更為明顯,試體 2 中間已有大量的混凝土剝落。根據最後的破壞行為可知,導致試體 1 的破壞行為可知壞,與推強度的破壞抗為剪力破壞,側推強度的破壞其為藥之 40%;試體 2 的破壞模式為剪力破壞,側推強度的抵力之 40%;試體 2 的破壞模式為剪力破壞,則推強度的抵力 數經數值與 1 上緣的水平向裂縫寬度在視覺上也已減小許多。



圖四 試體壁體表面於試驗過程之變化

### 四、結論與展望

試體 1 的最大側推強度為試體 2 的 96%,層間變位角 1%時的側推強度為試體 2 的 56%。試驗終止時,試體 1 的破壞模式為界面剪力滑移破壞,導致試體側推強度快速折減至最大側推力之 40%。試體 2 的破壞模式為剪力破壞,側推強度的折減過程較為緩慢。兩者相較之下,試體 1 側推強度的折減時機較早,衰減的程度也較明顯。

壁體的裂縫寬度是以人工方式來徒手 描繪與測量,難免會有人為判斷的誤差。 因此試驗前應充分溝通,試驗中與團隊間 互相溝通確認,以避免人為誤差過大。

本研究 2 次試驗耗時約 16 與 13 小時, 由於試驗場地並非完全密閉的室內空間, 故試體表面必須照射燈光以提高試體照片 的清晰度。若光線明亮度無法均勻一致時, 宜避免壁體局部區域的光線強度與周圍落 差太大,否則相機可能無法拍攝出部份區 域的細部資訊。

試體上裝設儀器或感應元件的位置, 在試驗中很可能出現三維方向的位移或轉 角。因此取得儀器資料後,應考慮三維方 向的分量做處理。如試體的高度發生變化 時,水平向的油壓致動器與位移計會出現 傾斜現象,所以試體的水平位移量應以數 據之水平向分量為準。

# 参考文獻

- 1. Hsu, T. T. C. and Mo, Y. L., Unified Theory of Concrete Structures, John Wiley & Sons, Inc., July 2010.
- 2. NUREG/CR-6639, SAND99-1464, ANA-98-0252, "Seismic Analysis of a Prestressed Concrete Containment Vessel Model", March 1999.
- 3. NUREG/CR-6906, SAND2006-2274P, "Containment Integrity Research at Sandia National Laboratories", July 2006.
- 4. H. Saito, Y. Muramatsu, H. Furukawa, S. Tsurumaki, N. Tanaka and T. Kei,

- "Experimental study on RCCV of ABWR plant", Nuclear Engineering and Design 130, 1991, pp179-202
- 5. H. Saito, Y. Muramatsu, H. Furukawa, T. Hasegawa and A. Mutoh, "Post-test analysis of a 1:10-scale top slab model of ABWR/RCCV subjected to internal pressure", Nuclear Engineering and Design 145, 1993, pp339-353
- 6. T. Hirama, M. Goto, K. Shiba, T. Kobayashi, R. Tanaka, S. Tsurumaki, K. Takiguchi, H. Akiyama, "Seismic proof test of a reinforced concrete containment vessel (RCCV) Part 2: Results of shaking table tests", Nuclear Engineering and Design 235, 2005, pp1349–1371

# 核能電廠用過燃料池完整性評估方法

徐瑋鴻1 柴駿甫2

### 摘要

日本福島核子事故發生後,美國 NRC 成立之近期專案小組積極蒐集資訊並提出 12 項強化核能電廠之建議,其中第 2.1 項(NTTF 2.1)建議內容是有關各電廠需依據 NRC 最新法規及準則來進行地震危害度再評估,而用過燃料池結構完整性亦為評估重點之一。 NRC 依據聯邦法 50.54(f)的規定,要求現有電廠持照者依新資訊及新技術執行地震危害度分析以滿足近期專案小組之建議,並決定是否進一步執行相關評估分析工作。工業界則由美國電力研究所發展出耐震評估準則 EPRI-1025287 供各電廠持照者進行分析之用。本研究參酌 EPRI-1025287 及 EPRI-3002009564 等文獻,初步探討美國核能電廠用過燃料池之完整性評估準則,以期能提供國內核能電廠評估用過燃料池之依據。

關鍵詞:用過燃料池、耐震評估、NTTF 2.1

### 一、前言

鑑於 2011 年 3 月 11 日發生之日本福 島核子事故,美國核能管制委員會(United States Nuclear Regulatory Commission, U.S.NRC)成立近期專案小組(Near-Term Task Force, NTTF)檢討此事故所帶來的經 驗回饋,並依據蒐集到的資訊提出12項強 化核能電廠之建議以強化未來核能電廠安 全,其中第2.1項(NTTF2.1)建議內容便是 有關各電廠需依據 NRC 最新法規及準則 來進行地震危害度再評估。為此美國電力 研究所(Electric Power Research Institute, EPRI) 發展出耐震評估準則 EPRI-1025287[1] 供各電廠持照者進行分析,此 評估準則已得到 NRC 之認可,其中第七 章為用過燃料池完整性評估。本文初步探 討美國核能電廠用過燃料池之完整性評估 準則,以期能提供國內核能電廠評估用過 燃料池之依據。

### 二、用過燃料池完整性評估

依據 EPRI-1025287 耐震評估準則[1] 中之篩濾程序(如圖 1 之 step3),比較各電 廠地震危害重新評估所得之地震動反應譜 (Ground Motion Response Spectrum, GMRS) 與原始安全停機設計地震(Safe Shutdown Earthquake, SSE)反應譜,若在1Hz至10 Hz 範圍內,SSE 反應譜無法完全包絡 GMRS 反應譜,則表示用過燃料池耐震容量可能不夠,該用過燃料池需要進行後續 評估。而 EPRI-3002009564[2]將用過燃料 池完整性評估依場址之 GMRS 分為 Low GMRS (GMRS<0.8g) 和 High GMRS (GMRS>0.8g),用過燃料池結構評估方法 則依據場址之 GMRS 分別採用 EPRI NP-6041[3]中的耐震評估準則(適用於 Low GMRS)及結構分析準則[2](適用於 High GMRS)進行評估。

用過燃料池結構完整性評估著重於地 震造成用過燃料池功能性失效導致池水快 速流失,而池水快速流失之定義為震後 72 小時內燃料池水位下降使得燃料棒裸露於 水面上,可能導致池水快速流失之失效模 式如表 1 所示。

<sup>1</sup> 國家地震工程研究中心專案助理研究員

<sup>2</sup> 國家地震工程研究中心研究員

表 1 導致池水快速流失之失效模式

	失效模式								
模式一	內襯鋼板或鋼筋混凝土結構嚴重受損								
模式二	用過燃料頂端下方之用過燃料池穿越孔損壞								
はよっ	用過燃料頂端上方之用過燃料池穿越孔損壞且								
模式三	在缺乏補水系統情況下發生池水沸騰蒸發								
模式四	池水震盪導致池水濺溢到池外								
模式五	冷卻管路或其他管路失效導致虹吸效應								
模式六	燃料儲存架產生位移撕裂內襯鋼板								
模式七	大修期間地震導致閘門或相關管路失效								

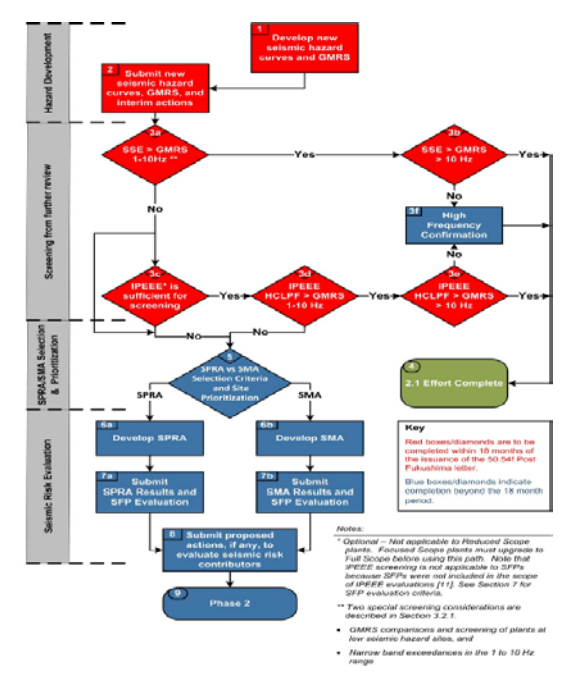


Figure 1-1 Recommended Approach to Respond to Information Request 2.1

#### 圖 1 NTTF 2.1 地震危害度再評估流程圖

以下分別介紹可能造成功能性失效原因的評估方式,這些評估項目包括:用過燃料池結構、用過燃料池穿越孔、池水震盪、池水沸騰蒸發以及管路系統可能發生之虹吸效應等,此外,亦需再進行現場巡查,以檢視任何可能造成池水快速流失的問題。

### 用過燃料池結構(Structures))

依據導則 EPRI-1025287 所進行的資料蒐集與彙整結果,文獻 NUREG-1353[4]、NUREG-1738[5]以及 NUREG/CR-5176[6]

曾對現有核能電廠的燃料池做過完整性分析,認為現行燃料池結構具有足夠強度之外;NUREG-1353 認為燃料儲存格架移動造成內觀鋼板撕裂的可能性極低;NUREG/CR-5176 也針對兩個電廠Vermont Yankee 以及 H.B. Robinson S.E.進行用過燃料池地震風險評估,結果顯示風險極小。除了直接針對燃料池結構進行耐震能力評估之外,亦可引用 EPRI NP-6041中對於結構體的篩濾條件進行定性分析,或是引用 NUREG-1738 所提出核對清單來確認燃料池的結構強度。

#### 用過燃料池穿越孔(Penetrations)

美國 NRC 之 SFP Scoping studay[7]評估結果認為與用過燃料池相接之穿越孔足以抵抗地震事件而不發生池水洩漏情形。 文獻 NUREG/CR-5176 認為一般管路系統之強度是足以抵抗地震負載,其評估結果顯示評估電廠在冷卻與補水系統失效時,在用過燃料露出水面前至少有三天甚至多達七天的反應時間。

基於文獻[6]認為用過燃料池管路系統具有高強度、文獻[7]經詳細的分析發現用過燃料池僅有非常小的相對位移發生以及用過燃料池管路系統必須依據耐震巡查準則[8]進行相關巡查,具有非常高的信心用過燃料池的管路及穿越孔會發揮正常機能。

### 池水震盪(Sloshing)

地震事件發生時,池水發生震盪而有 濺出池外的風險,評估池水快速流失時必 須將池水因震盪而濺出池外的水量納入考 慮。導則 EPRI-1025287 提供一個非常保守 的估算方式,其藉由計算矩形燃料池水面 在二水平方向震盪之自然頻率(式(1))及 0.5%阻尼水平反應譜之頻譜加速度,即可 算出二水平方向之噴濺高度(式(2)),再將 雨噴濺高度合併計算出總噴濺高度(式(3)), 進而得知噴濺出池外的水量總體積(式(4))。 計算池水濺出池外之水量可視為計算池水 因沸騰蒸發而流失之起始條件。

$$f_{c1} = 1/(2\pi) \left[ \left( \frac{3.16g}{L} \right) \tanh \left( \frac{3.16h}{L} \right) \right]^{0.5}$$
 (1)

其中,L為震盪方向之燃料池長度,h 為水深,g為重力。

$$h_{s1} = 0.5L(\frac{SA_{c1}}{g}) \tag{2}$$

其中, $SA_{c1}$ 為 0.5%阻尼水平反應譜之頻譜 加速度。

$$h_{st} = [h_{sx}^2 + h_{sy}^2]^{0.5} (3)$$

其中, $h_{sx}$ 為x方向震盪的噴濺高度, $h_{sy}$ 為y方向震盪的噴濺高度。

$$V = (h_{st} - h_f)ab (4)$$

其中, h<sub>f</sub> 為池水上方之舷邊高度, a 和 b 為燃料池兩邊之長度。

美國 NRC 之 SFP Scoping studay 依據 特定電廠發生非常罕見的地震事件的評估 結果顯示最大的噴濺振幅為 20 吋。經評估 美國所有電廠之用過燃料池,在 GMRS 小於 0.8g 之場址,考慮池水濺出池外水量後,池水面離用過燃料頂端之距離落於 16.8 呎至 29.2 呎之範圍;在 GMRS 大於 0.8g 之場址,則落於 6.4 呎至 21.5 呎之範圍[2]。此結果說明經池水震盪濺出池外後,池水仍可完全覆蓋用過燃料棒。

#### 池水沸騰(Boil-off)

用過燃料池在冷卻與補水系統失效時, 池水會因為衰變熱而沸騰蒸發導致池水快 速流失。評估池水因沸騰蒸發而流失時, 以池水濺出池外之水量為起始條件,用過 燃料池之熱負載(hear loads)則以電廠實際 值為計算依據,在這些條件下計算池水下 降至用過燃料頂端下方 1/3 用過燃料高度 的位置所需的時間。文獻 EPRI-1025295[9] 之附錄 EE 提供一個評估池水因沸騰蒸發 而流失的方法,可藉此瞭解補水系統需要 提供的補水率以避免池水快速流失。

經評估美國所有電廠之用過燃料池,在 GMRS 小於 0.8g 之場址,考慮池水濺出池外水量後,池水下降至用過燃料頂端下方 1/3 用過燃料高度的位置所需的時間落於 149小時至 711小時之範圍;在 GMRS大於 0.8g 之場址,則落於 94 小時至 392小時之範圍[2]。依評估結果得知池水下降至用過燃料頂端下方 1/3 用過燃料高度的位置所需的時間皆大於 72 小時,當地震事件發生後有超過 72 小時的反應時間能夠做適當處置。

### 管路系統之虹吸效應(Siphoning)

用過燃料池冷卻系統功能性失效可能造成管路之虹吸效應將池水洩漏至池外,文獻[1]提供一個評估管路虹吸效應的流程,其中除了安裝反虹吸裝置(Anti-siphon devices)外,亦可能需要評估反虹吸裝置之耐震能力、補水系統之耐震能力以及檢核冷卻系統是否有其他阻隔洩水之功能。

一般來說,冷卻系統之吸水管路 (suction line)連接於用過燃料池上方,不會 因虹吸效應流失大量的池水;而排水管路 (discharhe line)將冷水注入於池底,往往需 要安裝反虹吸裝置以避免池水快速流失。 反虹吸裝置為一被動裝置(passive devices), 依文獻[3]之 Table 2-4,這類被動裝置是非 常堅固的,因此,反虹吸裝置的存大大降 低因虹吸效應造成池水快速流失的風險, 執行耐震巡查時必須確認其存在與否。

### 耐震巡查(Seismic Walkdown)

除上述各評估項目外,尚需依據耐震 巡查準則[8]進行相關巡查,其目的為確認 核電廠用過燃料池現有組態是否與設計一 致,以及檢視現場劣化及異常狀況,同時 尚需確認持照者之監控程序與維護保養方 式是否恰當。

### 三、結論

本研究參酌 EPRI-1025287 及 EPRI-3002009564 等文獻,初步探討美國核能電廠用過燃料池之完整性評估準則,以期據提供國內核能電廠評估用過燃料池之依實則,故能重點為地區,其評估架構為從可能性失效等致池水快速造成用過燃料池功能性失效等致池水快速流失,其評估架構為從可能造成功能性失效,其評估架構為從可能造成功能性失地,自括:用過燃料池穿越孔,包括:用過燃料池水酸性失池水源大,再進行現場巡查,以檢視任何電腦、地水流失的問題。依據美國電腦之評估結果,用過燃料池池水可維持超過之評估結果,用過燃料池池水可維持超過之評估結果,用過燃料池池水可維持超過之評估結果,用過燃料池池水可維持超過之,以時,池水因衰變熱沸騰蒸發為主要造成池水流失的原因。

# 参考文獻

- 1. EPRI-1025287 "Seismic Evaluation Guidance: Screening, Prioritization and Implementation Details (SPID) for the Resolution of Fukushima Near-Term Task Force Recommendation 2.1: Seismic", 2013.
- 2. EPRI-3002009564 "Seismic Evaluation Guidance: Spent Fuel Pool Evaluation", 2017.
- 3. EPRI NP-6041 "A Methodology for Assessment of Nuclear Power Plant Seismic Margin (Revision 1)", 1991.
- 4. NUREG-1353 "Regulatory Analysis for the Resolution of Generic Issue 82, Beyond Design Basis Accidents in Spent Fuel Pools", 1989.
- 5. NUREG-1738 "Technical Study of

- Spent Fuel Pool Accident Risk at Decommissioning Nuclear Power Plants", 2001.
- NUREG/CR-5176 "Technical Study of Spent Fuel Pool Accident Risk at Decommissioning Nuclear Power Plants", 2001.
- 7. NUREG-2161 "Consequence Study of a Beyond-Design-Basis Earthquake Affecting the Spent Fuel Pool for a U.S. Mark I Boiling Water Reactor", 2013.
- 8. EPRI-1025286 "Seismic Walkdown Guidance for Resolutions of Fukushima Near Team Task Force (NTTF) Recommendation 2.3: Seismic", 2012.
- 9. EPRI-1025295 "Update of the Technical Bases for Severe Accident Management Guidance", 2012.

# 含邊界構材之鋼板混凝土複合牆反覆載重試驗研究

張長菁 1 黃尹男 2 鄭與錚 3 何其安 3

### 摘要

鋼板混凝土複合牆為核能電廠中常見之重要複合材料結構元件,係以兩片鋼板內填充混凝土材料組合而成,鋼板與填充混凝土之間以剪力釘及螺桿作為連接器以傳遞剪力,常配置於核能電廠中作為抗垂直力及側向力系統。實際應用此類結構元件時,應考量邊界構材之影響,然目前對於含邊界構材之鋼板混凝土複合牆之力學行為僅少數文獻及試驗研究有提及,為瞭解含邊界構材之鋼板混凝土複合牆之耐震行為,本研究於國家地震工程研究中心完成三面大尺寸含邊界構材之鋼板混凝土複合牆平面內反覆載重試驗,以厚鋼板作為牆體之邊界構材,探討不同混凝土強度、牆體鋼材比(或厚度)及高寬比對剪力強度及撓曲強度之影響,並與 AISC N690 S1 及現有文獻所提出之剪力強度及撓曲強度設計公式比較,探討其準確性及適用性。

關鍵詞:鋼板混凝土複合牆、高寬比、鋼材比、擬靜態反覆載重試驗

### 一、前言

鋼板混凝土複合牆為核能電廠中常見之複合材料結構元件,係以兩片鋼板(faceplate)內填充混凝土(infill concrete)材料組合而成,填充混凝土可防止鋼板局部挫曲而提高其穩定性,鋼板與填充混凝土之間以剪力釘(shear studs)及螺桿(tie rods)作為連接器以傳遞剪力,常配置於核能電廠中作為抗垂直力及側向力系統(Ozaki et al., 2004)。此類牆體首次被用於核能電廠之結構元件係在 2002 年日本的Kashiwazaki Kariwa 核能電廠,作為反應爐圍阻體之結構元件。因而發現此類牆體除具備高強度、高勁度之優點外,在高溫管別能保持良好耐震性能,且施工時安裝簡易且可縮短工期。

近年來,鋼板混凝土複合牆在受力行為、試驗驗證及數值分析之相關研究已引起美國、日本、韓國及中國等各國之關注,且美國已在AISC N690s1 (2015)制定鋼板混凝土複合牆之設計規範,供設計者在設計時估算此類牆體之設計強度,然而其設計

強度公式中針對平面內剪力強度之估算, 乃基於無邊界構材之鋼板混凝土複合牆受 純剪作用之分析及試驗驗證所得,然實際 應用此類鋼板混凝土複合牆結構並非以單 一構件使用,通常此類牆體與其他牆體或 柱連接,可視為此類牆體之邊界構材。邊 界構材可提供較大之撓曲強度,使此類牆 體本身所受到之撓曲需求下降,剪力強度 提升,因此實際設計時應考量邊界構材之 影響。目前對於含邊界構材之鋼板混凝土 複合牆之力學行為僅少數文獻及試驗研究 有提及。為瞭解含有邊界構材之鋼板混凝 土複合牆之耐震行為,本研究於國家地震 工程研究中心完成三面大尺寸含邊界構材 之鋼板混凝土複合牆平面內反覆載重試驗, 為考量不同破壞模式下之極限強度,試驗 試體採不同高寬比之設計,並以不同厚度 之邊界鋼板(endplate)作為牆體之邊界構 材,探討不同混凝土強度、牆體鋼材比(或 厚度)及高寬比對剪力強度及撓曲強度之 影響,並與與 AISC N690 S1 及現有文獻所 提出之剪力強度及撓曲強度設計公式比較, 探討其準確性及適用性。

<sup>1</sup> 國家地震工程研究中心副研究員

<sup>2</sup> 國立台灣大學土木工程學系副教授

<sup>3</sup> 國立台灣大學土木工程學系研究生

### 二、試驗設計與配置

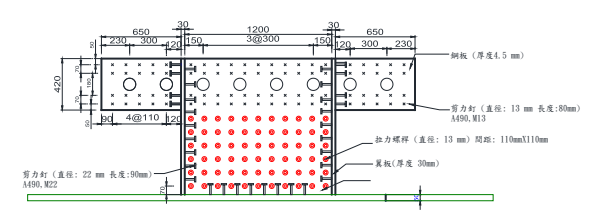
本試驗所設計三座試體依序為 SCB-1、 SCB-2、SCB-3,為考量不同破壞模式下之極 限強度,試體採用不同厚度邊界鋼板以及 不同高寬比,其中 SCB-1 及 SCB-2 設計為 剪力破壞模式控制,邊界鋼板厚度為3公 分,高寬比為 0.75; SCB-3 設計為撓曲破壞 模式控制,邊界鋼板厚度為2公分,高寬 比為 1.22。為探討混凝土強度對剪力強度 之影響, SCB-1 及 SCB-2 分別採用標稱 28 天齡期強度為 210 kgf/cm<sup>2</sup> 及 350 kgf/cm<sup>2</sup> 之混凝土作為填充混凝土。參考 Kurt 等人 (2015)所提出撓曲強度估算公式中以牆厚 度 30 公分作為牆體極限強度發生變化之 臨界點,採用牆厚度 25.9 公分,即鋼材比 為 3.5%。試體設計參數如表一, SCB-1 試 體平面配置如圖一,其中H為牆體高度; L為牆體長度;T為牆體厚度;S為剪力連 接器間距;鋼面板厚度定義為t。;斷面鋼 材比定義為2t。/T,即牆體任一水平斷面 鋼面板總厚度與牆體總厚度之比值,鋼面 板的細長比定義為S/t。,即剪力連接器間 距與鋼板厚度之比值,每座試體之鋼面板 厚度皆為 0.45 公分,鋼材使用 JIS G3131 SPHC 熱軋軟鋼鋼板,其標稱降伏強度為 3059 kgf/cm2。邊界構材之鋼板採用 SN490B 熱軋鋼板。四座試體之螺桿皆使用 A490 規格、直徑為 1.3 公分,長度分別為 8 公分之剪力釘。依據 AISC 規範中剪力連 接器之最小設計間距公式規定,若依本試 驗試體鋼材料性質和鋼板厚度設計可得設 計細長比不得超過25.8,即剪力連接器間 距不得大於19.3公分,為符合規範標準, 本試驗採用細長比為24.4,即剪力連接器 間距為11公分。

表一 含邊界構材之複合牆試體尺寸表

試體	牆體維度 (H×L×T) (cm×cm×cm)	邊界鋼 板厚度 (cm)	高寬比	混凝土 強度 (kgf/cm²)	剪力連接器 間距(S) (cm)	鋼材比 (2t <sub>s</sub> /T) (%)	細長比 (S/t <sub>s</sub> )
SCB-1	90×120×25.9	3	0.75	210	11	3.5	24.4
SCB-2	90×120×25.9	3	0.75	350	11	3.5	24.4
SCB-3	146×120×25.9	2	1.22	210	11	3.5	24.4

本實驗試體安裝於國家地震中心 2m 高反力牆處,如圖二,本試驗基座採用可 重複使用型,牆體底部鋼板與基座以38支 預力螺桿及螺栓連接並施加預力,使得上 部牆體與下部基座能夠緊密結合且能提供 足夠摩擦力以抵抗側推力且不產生滑移。 基座及強力地板以 16 支預力螺桿連接並 施加預力,使基礎與強力地板緊密合且能 提供足夠摩擦力以抵抗側推力且不產生滑 移。本實驗使用6支油壓致動器,以位移 控制方式施加反覆載重於施力樑上,再藉 由傳力樑與試體間之摩擦力傳遞油壓致動 器所施加之力量,反覆載重施加歷時如圖 三,每個側向變位角進行2次迴圈,皆由 正向(油壓致動器推向)開始,實驗停止在 試體強度下降至最高強度之60%。

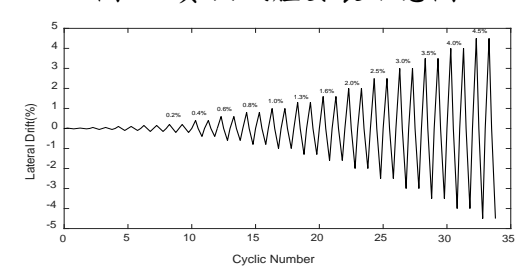
本實驗量測儀器主要用位移計、光學 位移測量系統及三軸向應變計。位移計用 於測量試體位移,包含牆體各高程水平向 位移、牆體與傳力梁夾具間之位移以及基 座與強地地板間之位移。光學位移測量系 統則以空間點座標方式計算相對位移量, 用於求取位移歷時及應變歷時。



圖一 SCB-1 試體設計示意圖



圖二 實驗試體安裝示意圖



圖三 反覆載重施加歷時

### 三、試驗結果

本試驗結果如表二、表三及圖五,表 二中所列出鋼板混凝土複合牆之初始勁度 係以側向變位角小於 0.1%時計算所得,表 中分別列出邊界鋼板及鋼面板在降伏時的 側向變位角及其對應載重、鋼面板在挫曲 時的側向變位角及其對應載重、整體鋼板 混凝土複合牆在受推(+)及受拉(-)時的最 大載重及所對應側向變位角,邊界鋼板及 鋼面板之降伏點係由應變計讀數及採 Von Mises 準則判斷,表三顯示實驗終止前最 大受拉(+)及受拉(-)之側向變位角及所對 應側推載重。由表二及表三可知 SCB-2 之 初始勁度及最大剪力強度均高於試體 SCB-1,主要由於 SCB-2 之混凝土強度高於 SCB-1。而 SCB-1 及 SCB-2 之邊界鋼板與鋼面板 幾乎同時發生降伏,且其降伏載重及側向 變位無明顯差異,在達降伏後,SCB-1 與 SCB-2 之鋼面板發生挫曲時之側向變位差 異不大,顯示混凝土強度大小並不影響鋼 板降伏及挫曲之變形。而 SCB-3 之邊界鋼 板發生降伏點較鋼面板早,顯示邊界鋼板 底部在受力過程中較鋼面板持續受到較大 撓曲應力,導致在牆體兩端邊界鋼板斷裂, 造成脆性破壞。

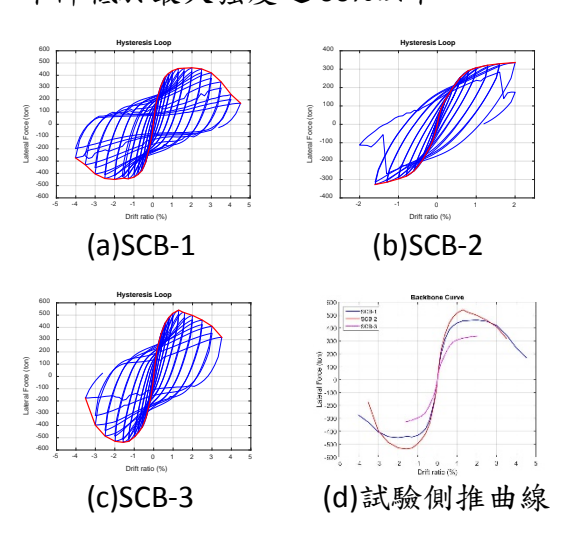
表二 試驗結果

				, -		• • • • • •	- •		
		邊界銅相	邊界銅板降伏		銅面板降伏 銅面板挂曲		最大截重		
試體	初始 勁度 (ton/cm)	裁重 (ton)	側向 變位 (%)	裁重 (ton)	側向 變位 (%)	裁重 (ton)	側向 變位 (%)	裁重(ton) (+/-)	側向變位 (%)(+/-)
SCB-1	1333.4	-311.3	0.4	-311.3	0.4	-428.4	1.6	461.5/-449.8	2.0/-2.0
SCB-2	1543.7	-338.2	0.4	-338.2	0.4	497.7	2.0	541.2/-537.2	1.3/-1.6
SCB-3	537.8	200.1	0.4	-254.0	1.0	-289.0	1.0	336.3/-327.3	2.0/-1.6

表三 試驗終止前狀態

	載重(ton)	側向變位 (%)	載重(ton)	側向變位 (%)
SCB-1	172.1	4.5	-197.6	-4.0
SCB-2	318.9	3.5	-176.7	-3.5
SCB-3	174.7	2	-112.9	-2

由本試驗結果可知含邊界構件之鋼板 混凝土複合牆受到高寬比及邊界構件厚度 之影響而由不同破壞模式控制其極限強度, 主要分為剪力破壞模式及撓曲破壞模式, 試體 SCB-1 及 SCB-2 為剪力破壞模式,試 體 SCB-3 為撓曲破壞模式。實驗過程中可 觀察剪力破壞模式之破壞演進依序如圖亡。 而撓曲破壞模式之破壞演進依序如圖七。



圖五 試體遲滯迴圈及側推曲線

而撓曲控制試體在到達最大側推強度時, 其邊界鋼板發生斷裂造成試驗終止,屬於 較脆性之行為。









(a)鋼面板降伏 (b)銲道破裂

(c)鋼面板挫屈

圖六 剪力破壞之破壞演進示意圖 (SCB-1)









(b)銲道破裂

(c)鋼面板挫屈

圖七 撓曲破壞之破壞演進示意圖 (SCB-3)







(a)SCB-1

(b)SCB-2

(c)SCB-3

圖八 試驗終止時之核心混凝土破壞狀態







(a)SCB-1

(b)SCB-2

(c)SCB-3

圖九 試驗終止時之牆體破壞狀態

# 四、試驗結果與文獻估算公式比較

有邊界構材之鋼板混凝土複合牆之邊 界構材能夠提供較大抗撓曲強度,亦能使 圍束在牆中的混凝土產生拱效應,而提升 混凝土強度,使得牆體能夠發展出剪力強 度,並提升平面內側向強度。因此有邊界 構材之鋼板混凝土複合牆在抵抗平面內剪 力可分為兩個階段:第一階段為持續施加 剪力直到鋼板降伏,第二階段為混凝土產 生拱效應使得對角線壓縮而增加剪力強度 直到牆的極限破壞。基於此,最大平面內 剪力強度為 Vub 可表示為

$$V_{ub} = V_{v} + \Delta V \tag{1}$$

其中 V, 為第一階段鋼板降伏之剪力強度, 係依據 AISC 規範中不含邊界構材之鋼板 混凝土複合牆之平面內剪力強度公式; $\Delta V$ 為第二階段考慮混凝土拱效應額外提供之 剪力強度。由表四可知,本研究修正式將 與試驗值非常相近,誤差範圍在5%之內。

而目前無針對含有邊界構材之平面內撓曲 強度設計公式,由表五可知,由 XTRACT 斷 面分析軟體所得之撓曲強度預測值與試驗 結果相近。

表 4 剪力預測與試驗結果比較

試體	V <sub>exp</sub> (ton)	$V_{ub}$ (ton)	$\frac{V_{\mathrm{exp}}}{V_{ub}}$	$V_{ub}^{'}$ (ton)	$\frac{V_{\mathrm{exp}}}{{V_{ub}}'}$	V <sub>ub</sub> " (ton)	$\frac{V_{\mathrm{exp}}}{V_{ub}}$
SCB-1	461	397	1.16	422	1.09	440	1.05
SCB-2	541	490	1.11	521	1.04	542	1.00

#### 表 5 XTRACT 撓曲預測與試驗結果比較

		XTR	ACT
試體	$V_{\rm exp}$ (ton)	V <sub>XTRACT</sub> (ton)	$rac{V_{ m exp}}{V_{{\scriptscriptstyle XTRACT}}}$
SCB-3	336	330	1.02

### 五、結論與展望

本研究透過含邊界構材之反覆載重試 驗探討鋼板混凝土複合牆之力學行為,由 試驗結果可知含邊界構件之鋼板混凝土複 合牆受到高寬比及邊界構件厚度之影響而 由不同破壞模式控制其極限強度,主要分 為剪力破壞模式及撓曲破壞模式。此外, 本試驗結果與 Booth 等人(2015)所提之剪 力強度估算公式比較可知,剪力強度估算 公式將低估其剪力強度,若進一步將高寬 比納入剪力強度估算公式,將可較準確估 算剪力強度,誤差範圍在 1%以內。以 XTRACT 斷面分析軟體所分析之撓曲強度 與本試驗結果相近。

# 參考文獻

- 1. Ozaki, M., Akita, S., Osuga, H., Nakayama, T., and Adachi, N.. "Study on steel plate reinforced concrete panels subjected to cyclic in-plane shear." Nuclear Engineering and Design, 228(1-3), pp.225-244, 2004.
- 2. AISC, "Specification for safety-related steel structures for nuclear facilities, Supplement No. 1." N690s1, American Institute of Steel Construction, Chicago, IL, 2015.
- 3. Booth P., Varma, A.H., and Seo, J., "Lateral load capacity of steel plate composite wall structures." SMiRT23, Manchester, United Kingdom. 2015.

# 台灣地區核能電廠加速耐震評估程序報告

柴駿甫<sup>1</sup> 林凡茹<sup>2</sup> 簡子婕<sup>3</sup>

### 摘要

日本福島核災後,美國核能管制委員會(NRC)組成近期專案小組(NTTF),針對福島事故調查報告提出 12 大項建議事項,其中 NTTF 2.1 建議事項要求重新評估地震、水災及其他天然廠外危害,必要時更新電廠設計基準及安全相關重要結構、系統及組件(SSCs)之設計基準,以防範新事證之風險。為確保核電廠在發生超過設計基準事故時,仍然能夠保有安全性,美國電力研究所(EPRI)在 2013 年針對核電廠執行耐震風險之暫行措施提出執行指引,以執行加速耐震評估程序 (ESEP)。本報告之目的即在說明執行此程序之準則,作為未來台灣地區執行 ESEP 之依據,此外,探討美國部份電廠執行 ESEP 之情況,包括美中、美東與美西核電廠執行 ESEP 之程序及近期進展。

關鍵詞:NTTF 2.1、加速耐震評估程序、美國電廠 ESEP 案例

### 一、前言

目前我國原能會已要求國內核電廠參照美國電廠依據 NTTF 2.1 建議事項執行相關安全措施處理,以確保國內核電廠之安全性,且均以管制案件追蹤執行情形,本計畫之目的為協助台電公司達成第 2.1 點「地震災害評估(Seismic Hazard Evaluation)」第(3)項-第(7)項之文件要求。因此,「核能設施地震危害重新評估」子計畫三之工作內容為蒐集國內各核能電廠場上也質資料與彙整歷年電廠耐震安全相關評估工作成果,並依據最新地震危害分析及 GMRS 結果進行暫行性耐震評估措施,即加速耐震評估程序(ESEP)。

此程序主要依據 EPRI 在 2013 年提出 執行耐震風險之暫行措施之執行指引,故 後續台灣地區核能電廠執行 ESEP 時將依 據此執行導引所提出之步驟,並且各電廠 廠核電廠 ESEP 報告亦將依據執行指引所 提出章節內容。本文內容包含指引說明, 及部份美國已執行完成 ESEP 之案例敘述。 第一章為前言;第二章為執行加速耐震評 估程序準則,以 EPRI 所提出執行指引作 為台灣地區核能電廠執行加速耐震評估程序之依據;第三章為美國執行 ESEP 案例探討,包括美中、美東與美西核電廠執行 ESEP 之程序及近期進展。

### 二、加速耐震評估程序準則

EPRI 針對執行耐震風險之暫行措施 提出之核能電廠加速耐震評估之程序如圖 一,詳細步驟如圖二。

#### ESEP 篩選 (Sec.2)

依據 SPID 準則[1][2],比較各電廠地震危害重新評估分析所得之 GMRS 與原始安全停機設計地震(SSE)反應譜,比較篩選程序如圖一,若在 1 Hz 至 10 Hz 範圍內, SSE 反應譜可完全包絡 GMRS,則表示設備耐震容量係可足夠的,該電廠不需要進行後續 ESEP。若初步比較 GMRS 與SSE 反應譜而無法驗證在 1 Hz 至 10 Hz 範圍內 SSE 反應譜可完全包絡 GMRS 者,則考量低地震危害廠址及 1 Hz 至 10 Hz 範圍內 军頻脈衝超越兩種情況,仍無法被上述兩種考量排除者,則需執行後續加速耐

<sup>1</sup> 國家地震工程研究中心研究員

<sup>2</sup> 國家地震工程研究中心助理研究員

<sup>3</sup> 國家地震工程研究中心專案佐理研究員

震評估程序(ESEP)及風險評估(Risk Evaluation) •

### 設備選擇 (Sec.3)

FLEX 執行策略為執行 NTTF 建議事 項中作為超越設計基準事件之緩和策略, 本步驟之加速耐震評估設備清單(ESEL) 係基於 FLEX 執行策略建立,本計畫將依 據台電公司所提供之 ESEL 執行後續 ESEP 程序。在 EPRI 3002000704[2]中提及 分別針對 BWR 與 PWR 而言,加速耐震評 估設備清單(ESEL)之範圍分別為下列兩 表。

#### Mechanical Equipment

- RCIC pump and valves RCIC lube oil and gland condenser
- Safety relief valves (SRVs)
- SRV accumulators
- RPV injection valves
- Reliable hardened vent valves

#### **Electrical Equipment**

- Batteries
- DC distribution panels
- DC MCCs DC switchgear
- Vital AC distribution panels
- Battery charger(s)
- Inverter(s)
- Instrument racks Transmitters

#### Mechanical Equipment

- Turbine driven AFW pump and valves
- SG Power Operated Relief
- Valves (PORVs) Condensate Storage Tank
- SG injection valves
- RCS injection valves

#### Electrical Equipment

- **Batteries**
- DC distribution panels DC MCCs
- DC switchgear
- Vital AC distribution panels
- Battery charger(s)
- Inverter(s)
- Instrument racks
- **Transmitters**

### RLGM 反應譜建立準則 (Sec. 4)

依據 EPRI 所提出指引,決定 RLGM 可由以下準則擇一採用:

a. 基於 SSE: 若 GMRS/SSE 之最大比 值不超過2,則RLGM可由SSE反應譜線 性比例縮放而來。

b. 基於 GMRS: 若 RLGM 定義為 GMRS,則應適當考量 SSI 分析模型,且 基於 GMRS 建立 ISRS。

#### ESEP 之 SSC 耐震容量計算準則 (Sec. 5)

ESEP 評估程序中要求執行超越設計 基準評估的電廠,需進一步說明 ESEL 各 項目有足夠的耐震性能可達到或超過 RLGM 下之耐震需求。ESEL 項目之耐震 容量評估程序,為計算 HCLPF 耐震容量, 並與 RLGM 耐震需求比較。

依據 EPRI 評估準則[2],若 ESEL 中 設備之 HCLPF 耐震容量超越 RLGM,即 表示其耐震強度充足而可被篩除,不需進 行後續評估;然若 ESEL 項目耐震餘度 (margin)不足,應依下節提出改善方案。

ESEL項目之HCLPF值分析基本上分 為確定性(Deterministic Approach)及機率 性(Probabilistic Approach)兩類評估方法。 其中,確定性方法需依據 EPRI NP-6041-SL[3]中之使用「確定性保守破壞餘裕」方 法 (Conservative Deterministic Failure Margin,後文簡稱 CDFM)詳細程序評估; 而機率性評估依據耐震易損性方法計算。

### ESEL 改善準則 (Sec. 6)

當 ESEL 項目之 HCLPF 容量低於 RLGM 時, ESEP 報告應提出其改善方案, 以提升其HCLPF容量達到或超過RLGM。 改善方案之目的,為確保電廠於完成電廠 長期性風險評估之前的短期安全性能。

EPRI 3002000704[2]規定,美國核電 廠需於呈交 ESEP 摘要報告後的兩年之內 完成上述改善方案;改善工程若需於停機 時執行,核電廠需於呈交 ESEP 摘要報告 後的兩次停機期間完成上述改善方案。

### 三、美國 ESEP 案例探討

本章簡介美國四座核電廠執行 ESEP 案例,並比較 ESEP 各階段之執行方法, 包含加速耐震評估設備清單(ESEL)擬 定、GMRS 與 SSE 比對、RLGM 與 ISRS 建立程序、SSC耐震容量計算與耐震性 能篩選準則等,最後比對四座核電廠 ESEP 分析結果與後續 NRC 審查意見。

#### 美國 ESEP 執行現況

NRC 要求美中與美東(Central and Eastern United States, CEUS)各廠於 2013 年8月完成地震動模型更新,並於2014年 3 月完成重新評估危害度,美西(Western United States, WUS) 電廠方面, NRC 要求 WUS 電廠於 2015 年 3 月完成重新評估危

害度,以利判斷各廠是否需進行後續 ESEP 與風險評估。NRC 依據危害度重新評估結 果,分別於 2014 年 5 月與 2015 年 5 月完 成 CEUS 與 WUS 電廠機組耐震篩選與排 序。考量各廠重新評估危害度與既有容量 的差異性、能夠執行風險評估人力有限, 依據重新評估危害度結果與 GI-199、 IPEEE 提供之資訊,區分未通過篩選之電 廠機組為 Group 1、2、3,決定電廠執行風 險評估之優先次序。

美國 100 座核電廠機組需進行 ESEP 者均已呈交報告。WUS 僅三個核電廠,包括 Columbia(一座機組)、Diablo Canyon(兩座機組)、Palo Verde(三座機組)等,其他均為 CEUS 核電廠機組。WUS 核電廠中,Columbia、Diablo Canyon 兩廠屬於 Group 1,Palo Verde 屬於 Group 3,三廠中僅 Columbia 執行 ESEP,並於 2016 年 1 月繳交報告,通過 NRC 審查;Diablo Canyon與 Palo Verde 兩廠則以中期評估取代 ESEP。

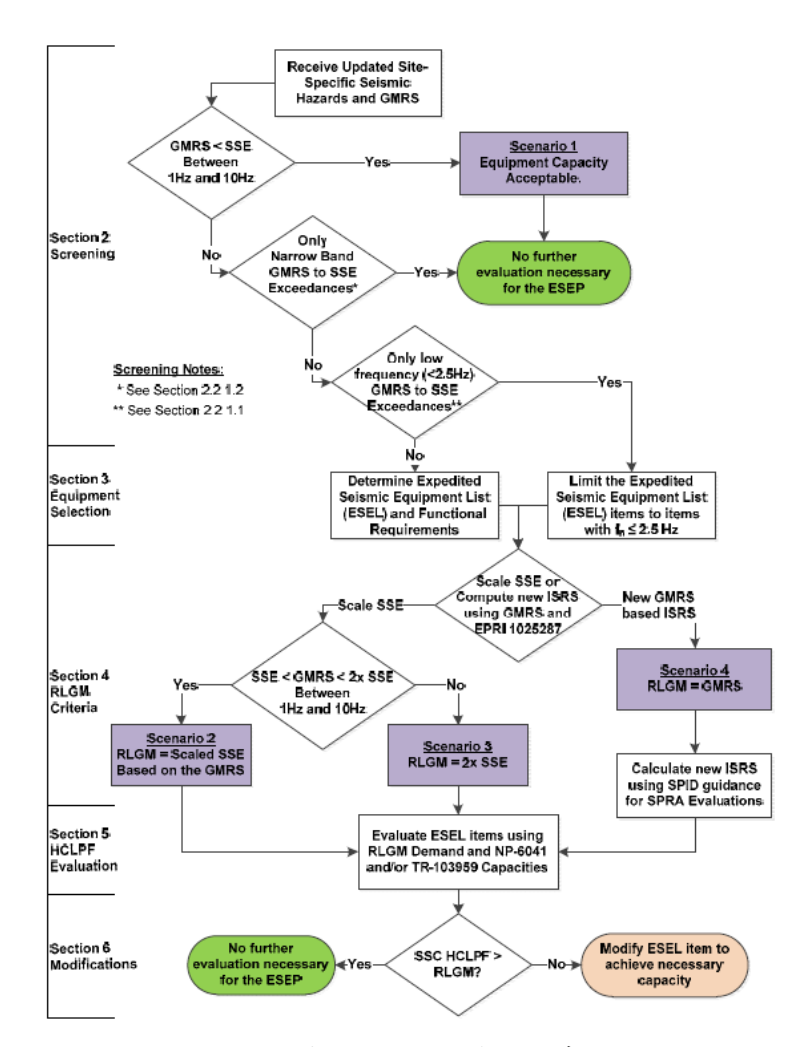
本篇以四座核電廠 ESEP 案例為例, 探討四廠 ESEP 各階段執行方法與比較結 果。四座核電廠案例包括位於 CEUS 之 Brunswick Steam Electric Plant (BSEP)、 Perry Nuclear Power Plant (PNPP)、Beaver Valley Power Station (BVPS),以及位於 WUS 之 Columbia Generating Station (CGS)。 四個分析案例基本資料與 ESEP 相關文件 如表一。

### 參考文獻

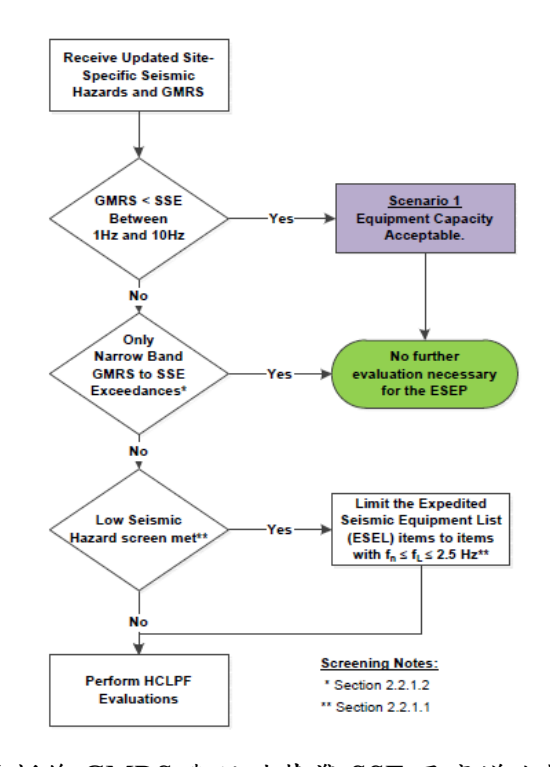
- 1. EPRI 1025287 "Seismic Evaluation Guidance: Screening, Prioritization and Implementation Details (SPID) for the Resolution of Fukushima Near-Term Task Force Recommendation 2.1: Seismic", EPRI, 2013.
- 2. EPRI 3002000704 "Seismic Evaluation Guidance: Augmented Approach for the Resolution of Fukushima Near-Term Task Force Recommendation 2.1 Seismic", EPRI, 2013.
- 3. NP-6041-SLR1, "A Methodology for Assessment of Nuclear Power Plant Seismic Margin (Revision 1)," EPRI, August, 1991.

表一 案例電廠執行 NTTF 2.1 相關文件與基本資料 (資料來源: NRC 網站,本篇整理)

	Brunswick Steam Electric Plant	Perry Nuclear Power Plant	Beaver Valley Power Station	Columbia Generating Station		
簡稱	BSEP	PNPP	BVPS	CGS		
危害度重新評 估報告	ML14106A461	ML 14090A143	ML 14090A143	ML 15078A243		
ESEP	ML 15005A074	ML14353A059	ML14353A059	ML 16028A319		
ESEP 檢核表	ML15301A909	ML15240A212	ML15245A817	ML16152A534		
位置	North Carolina (NC)	OHIO (OH)	Pennsylvania (PA)	Washington (WA)		
運作單位	Carolina Power & Light Co. (Duke Energy Progress)		FirstEnergy Nuclear Operating Co.	Energy Northwest		
機組	1 2	1	1 2	1		
運轉執照 核發-延長-截 止日期	09/08/1976- 12/27/1974- 06/26/2006- 06/26/2006- 09/08/2036 12/27/2034	11/13/1986 - 03/18/2026	07/02/1976- 08/14/1987- 11/05/2009- 11/05/2009- 01/29/2036 05/27/2047	04/13/1984- 05/22/2012- 12/20/2043		
系統	BWR	BWR	PWR	BWR		
反應爐廠牌	General Electric Type 4	General Electric Type 6	Westinghouse Three-Loop	General Electric Type 5		
圍阻體類型	Wet, Mark I	Wet, Mark III	Dry, Subatmospheric	Wet, Mark II		
NRC 初步篩 選結果*	Screen in (ESEP; Group 3)	Screen in (ESEP; Group 3)	Screen in (ESEP; Group 2)	Screen in (ESEP; Group 1)		
風險評估與否 (NRC 最終判 定)**	Limited-Scope Evaluations (High Frequency, Spent Fuel Pool, Relay Chatter (IPEEE))	Screen Out	SPRA Submittal Date: 9/30/17	SPRA Submittal Date:3/31/19 Limited-Scope Evaluations ( Spent Fuel Pool)		



圖一 執行 ESEP 詳細程序



圖二 執行更新後 GMRS 與設計基準 SSE 反應譜比較及篩選程序

# 台灣離岸風場地震力評估研究

曾柏翰1許尚逸2張毓文3柴駿甫4許雅涵1賴姿好5

### 摘要

臺灣地理環境條件特殊,位處環太平洋地震帶,臺灣西部地質又多為河川沖積形成的現代沖積層,以砂層為主,並夾雜黏土層,土壤相當軟弱,此特殊的地質條件使臺灣離岸風場無可避面地受到地震及活動斷層的影響,現有國際離岸風電相關規範建議必須將地震力納入考量,然而由於歐洲離岸風場均非設置於強震區,國際規範對於離岸風場地震力考量方法並無詳細說明。本研究為解決上述問題,針對我國離岸風場之特殊環境,將透過建議地震危害度分析、工址地盤反應分析等步驟,建立離岸風場地震力評估流程並說明離岸風場地震力評估與受震分析所需之土壤參數,彌補現有國際離岸風電相關規範於強震區離岸風場應用之不足,並協助推動我國離岸風電發展。

關鍵詞:離岸風場、地震危害度分析、工址地盤反應分析、土壤參數

### 一、前言

# 二、國際規範需求整理

由於現有歐洲離岸風場均非設置於強震區,風力發電機相關國際規範及準則僅有(1) DNV 風機設計準則[1]、(2)GL 風機驗證準則[2]與(3)IEC 61400-1 風機設計要求

規範針對風力發電機之地震力考量提出簡單之建議。若考量離岸結構物相關耐震設計流程與準則,可以參考下列規範及其相關章節:ISO 19902 Clause 11、ISO19901-2[3]、API RP 2A (WSD) Section 5.3.6、API RP 2EQ[4]、NORSOK N-003 Clause 6.5 以及 NORSOK N-004 Annex K.4.4.5。由於地震在歐洲通常不會是設計考量條件,本研究針對 ISO 與 API 相關規範之耐震分析考量做比較詳細的整理。

API/ISO 規範針對離岸結構物提供兩種耐震設計程序,一為簡易耐震設計程序,另一為詳細耐震設計程序。對於非地震力控制之離岸結構物可採用簡易耐震設計程序,而受地震力影響較大之離岸結構物需採用詳細耐震設計程序,設計程序,設計程序也震大之離岸結構物之地震風險類別(Seismic Risk Category, SRC)加以決定;地震風險類別由離岸結構物之曝險等級(exposure level)與所屬震區(site seismic zone)區分。簡易耐震設計程序可以採用規範內提供之地震風險地圖,詳細耐震設計程序則需針對工址進行地震危

<sup>1</sup>國家地震工程研究中心專案佐理研究員

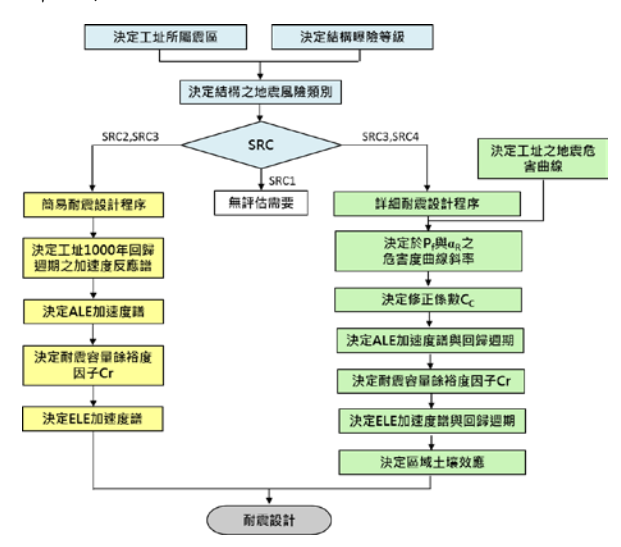
<sup>2</sup>國家地震工程研究中心副研究員

<sup>3</sup>國家地震工程研究中心助理研究員

<sup>4</sup>國家地震工程研究中心研究員

<sup>5</sup>國家地震工程研究中心專案助理研究員

害度分析。圖一為 API/ISO 規範之耐震設計流程。

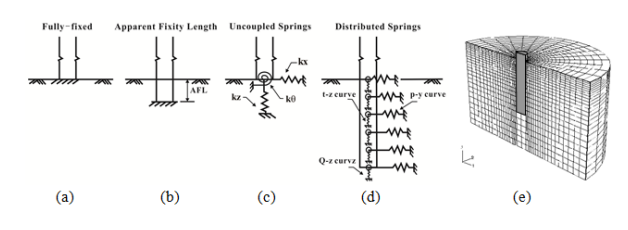


圖一 API/ISO 規範之耐震設計流程

### 三、離岸風場地質調查需求

### 3.1 離岸風機基礎勁度所需地工設計基本 參數

基礎勁度為計算風機支撐結構整體反應之重要參數,求得基礎勁度所需要之地工參數包括土壤剪力波速Vs,土壤密度 p,土壤初始剪力模數Gmax、不同剪應變下之土壤剪力模數G、土壤彈性模數E、土壤柏松比V等。上述所有地工參數均可由土壤室內實驗求得,而僅有土壤剪力波速Vs可由現地試驗求得。現有離岸風機整體結構分析之樁-土系統簡化方式如圖二所示。

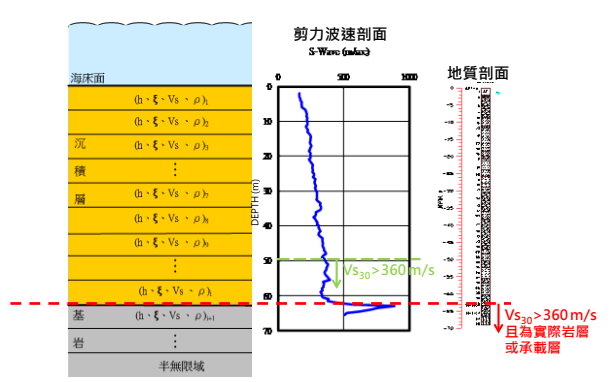


圖二 風機基礎結構系統示意圖

計算基礎勁度時,若主要考慮風、浪 對離岸風機造成之載重條件,可以由土壤 剪力模數與應變關係以剪應變γ=10<sup>-3</sup>對應 之剪力模數,透過規範提供之理論公式計 算基礎勁度。若考慮地震力作用下之動態 基礎勁度,則考慮土壤剪應變γ=10<sup>-2</sup>對應之 剪力模數計算靜態基礎勁度,再將高頻作 用力對基礎勁度衰減之影響納入考量求得 動態基礎勁度。

#### 3.2 工址地盤反應分析所需參數

在特定工址(site-specific)進行地盤反應分析(ground response analysis)之主要分析流程包含(a)建立工址地層分析剖面、(b)考量土壤動態性質、(c)決定輸入運動位置與其邊界條件、(d)依照選用之分析模式於頻率域或時間域進行計算,最後分析得出工址地表運動與層間地盤運動,和各土層與剪應變相符(strain compatible)之土壤動態參數值,可供後續離岸風機基礎受震反應分析之用。圖三說明工址地盤反應分析輸入運動之位置(d)无抽機發流析剖面發數00gal的取得,主要來源包含兩類試驗,分別是鑽探作業所得之各項地層分類與參數,以及地層波速量測。

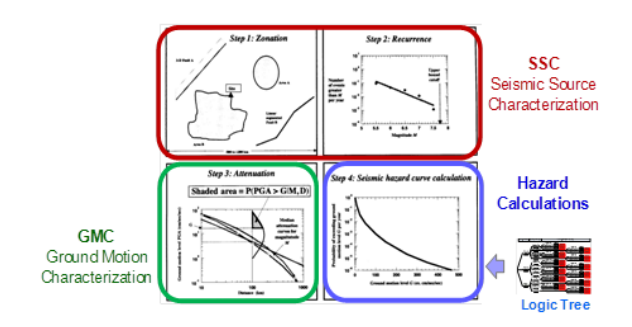


圖三 工址地盤反應分析之輸入運動位置 定義

# 四、離岸風場地震力評估建議流程

### 4.1 地震危害度分析建議流程

地震危害度分析是評估特定區域在未來某一定期間內,因地震而引致的地表震動程度,通常視評估對象以最大地表加速度 PGA 或其他足以反映地表震動(ground motion)的地震參數來表示。地震危害度分析之結果以危害度曲線表現,建立耐震設計參數與年超越頻率之關係,再由結構或設備之重要性與風險管理之考量而決定其設計回歸期,是許多地震工程應用的基礎分析工作,其分析流程如圖 四所示。



圖四 地震危害度分析流程(RG1.208,2008)

依據圖四之流程,地震危害度分析概 略內容與方法如下:

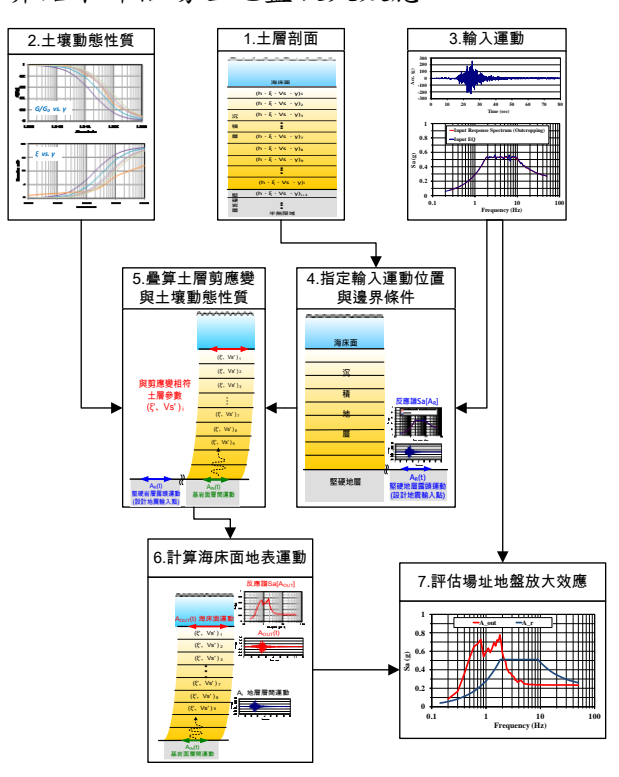
- (a) 區域地震活動資料庫: 蒐集工址周圍 320 公里內完整的可能地震源,包含區 域地震之地震目錄與斷層位置及其活 動性。
- (b) 強地動資料庫: 蒐集工址附近之測站於歷年來所記錄之地震資料, 其強地動參數將做為篩選地震動預估模式以及反應譜分析之用。
- (c) 地震危害度分析:主要分析參數包括
  - (i) 震源分區:配合地質構造、地體構造模式及所蒐集之地震目錄的地震資料綜合研判,劃分震源特性的分區。
  - (ii) 地震規模與再現頻率之關係:依照由 Gutenberg 和 Richter 在 1954年提出之地震規模與再現頻率關係式 Log N(m)=a-bm,配合地震目錄回歸求出各區之a、b值,以建立子震源分區之地震規模機率密度函數。
  - (iii) 地震規模之下限與上限:依據歷 史地震或相關方法推估求得各子震 源分區可能之規模上限  $m_u$ ,並決定 一下限規模  $m_0$ ,該值可依工程考量 採用。
  - (iv) 地震規模機率密度函數:由前述 所求得的參數 a、b、mo及 mu經由 簡單推導可決定地震規模機率密度 函數,如截斷指數分布函數;針對 斷層可應用特徵地震模式考慮其發 生機率。
  - (v) 地震動預估模式:依據地震動資 料庫篩選工址適用之地震動預估模

式,可包括多個模式。

- (vi) 危害度曲線:綜合上述之各項參數,以邏輯樹考量各參數模型之可信度,各參數之權重制訂由各相關專家建議,考慮至危害度分析中以求取工址之平均之危害度曲線。
- (vii)參數拆解: 求取在不同回歸期下,對特定結構週期影響最劇之控制地震源。

### 4.2 地盤反應分析建議流程

為了說明風機工址之海床面地表地震 反應分析模式與分析流程,本研究所採用 地盤受震反應模型為Schnabel 等人所提出 之水平地層中單向度應力波傳理論架構。 圖五即為一般進行地盤反應分析所需之分 析流程,依序包含建立工址土層剖面動 壤動態性質、輸入運動、指定輸入運動 置與條件、計算土層應變諧和之土壤動態 性質、計算海床面與地層運動、最後依計 算結果評估場址地盤放大效應。

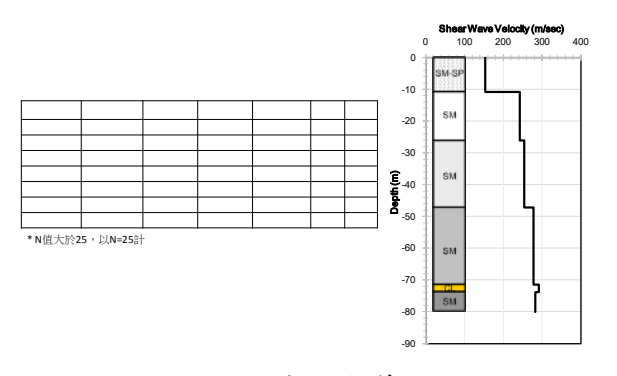


圖五 工址地盤反應分析流程

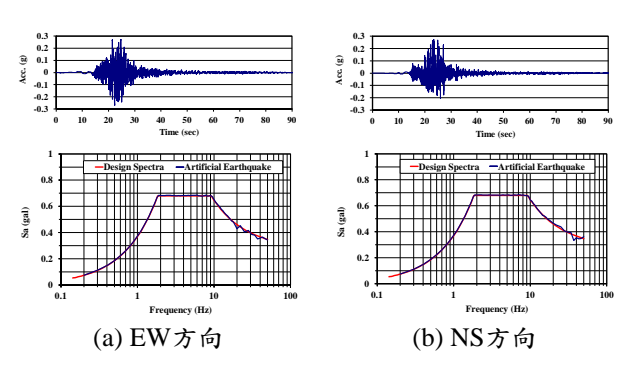
# 四、地盤反應分析示範例與結論

本研究以台灣電力公司觀測塔 BH01

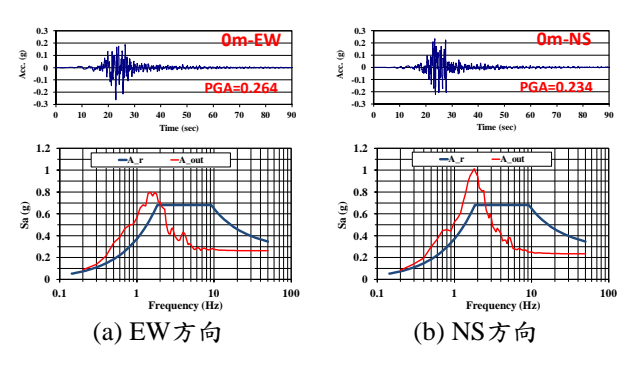
孔實際案例來進行地盤反應分析示範。根據前述所說明之風機工址地盤反應分析流程,依照場址地層基本資料,利用地震危害度分析得出之岩層(Vs30≥360)露頭設計反應譜,提供與設計譜相符之人工地震歷時作為地盤反應分析所需之輸入運動,其相關分析結果如下所示。



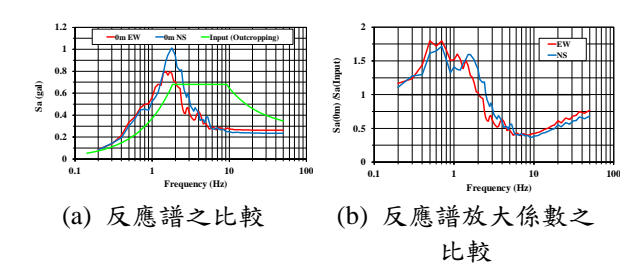
圖六 BH01地層資料與剪力波速剖面



圖七 BH01場址堅硬岩盤設計反應譜與反 應譜相符之人工地震



圖八 BH01工址海床面地表運動Aout(t)與 其反應譜



圖九 BH01工址場址效應評估

根據上述分析結果,將輸入運動反應 譜與海床面運動反應譜繪於圖九,可清楚 發現工址岩層露頭處之設計地震震波經由 海床沉積土層傳遞至海床面後,整體反應 譜形狀已被改變,由圖九(a)可看出海床面 運動譜加速度 Sa 峰值約在 1.5Hz~1.8Hz 處,而在大於 2Hz~2.5Hz 後則有明顯衰減 趨勢,此即為 BH01 工址場址效應所致。 進一步將兩方向之海床面反應譜與輸入運 動反應譜兩者比值繪出(如圖九b)所示),可 發現在 0.5Hz~0.7Hz 頻段反應譜放大係數 約可達 1.75 倍,顯示在本工址條件下,軟 弱海床沉積層的場址效應雖會使得海床面 運動之最大加速度值衰減,但會造成地盤 低頻運動的放大,對於後續風機基礎、支 承結構設計以及考慮土壤結構互制作用下 的風機受震反應分析工作都必須針對此一 場址效應現象加以考量。

# 参考文獻

- 1. DNV-OS-J101. (2014). Design of Offshore Wind Turbine Structures: Det Norske Vertias AS.
- 2. GL, Guideline for the Certification of Offshore Wind Turbines. 2012, GL Renewables Certification: Hamburg, Germany.
- 3. ISO 19901-2, Petroluem and natural gas industries, specific requirements for offshore structures: Part 2: seismic procedures and criteria. 2004, Geneve, Switzerland: International Standard Organization.
- 4. API RP 2EQ, Seismic Design Procedures and Criteria for Offshore Structures. 2014: American Petroleum Institute.

# 嵌埋式軌道系統振動噪音之試驗與分析研究

葉芳耀 張曉婷 宋裕祺 3

### 摘要

高雄輕軌及淡海輕軌捷運為台灣第一次引進嵌埋式軌道系統,國內對此種軌道系統相關的分析、設計與施工經驗尚十分缺乏。輕軌捷運路線主要通過都會地區,振動與噪音問題為大家所關注的焦點,因此軌道系統之噪音與振動特性,將嚴重影響都會區居民對輕軌捷運的評價。為瞭解捷運車輛通過軌道系統引致結構振動及產生噪音對周圍環境之影響,本文建立一研究流程,採用數值方法進行模擬探討。整體數值分析模擬流程分為兩大部份:(1)列車移動載重振動反應分析;(2)振動輻射噪音分析。

本研究參考高雄輕軌捷運設計藍圖建立嵌埋式軌道系統數值模型,首先以 ANSYS 有限元素分析軟體建構軌道系統模型,並進行動態移動載重分析,得到軌道結構整體動態歷時反應。第二階段將 ANSYS 建立之元素網格與分析結果資料匯入 LMS Virtual.Lab,使用邊界元素法求解外部輻射聲場之聲壓分佈。為瞭解軌道系統數值模擬之準確性,本研究亦進行高雄輕軌捷運現場振動噪音試驗,量測列車通過時之振動速度與聲壓,並與數值分析模擬結果進行比對,確定軌道系統振動噪音分析技術之可行性。本文所得結果可提供未來軌道系統減少振動與降低噪音之設計參考。

關鍵詞:嵌埋式軌道系統、振動、噪音、數值模擬、試驗分析

### 一、前言

目前世界各鐵路系統因道碴道床軌道 養護維修工作量逐年增加,所需之人工及 機具設備成本亦日益提高,且道碴軌道所 須之道碴(級配料)及枕木等物料日益匱 乏,故世界鐵路系統之發展趨勢多朝向無 道碴道床軌道形式之方向進行研發[1.2]。 本研究探討輕軌捷運之嵌埋式軌道系統即 為一種無道碴道床軌道,嵌埋式軌道系統 相較於一般鐵路系統最大差異在於其開放 性與否。一般鐵路系統民眾不可隨意進 入,而嵌埋式軌道與一般車道共用路權, 民眾可於無列車行駛時穿越,故輕軌行駛 沿途路線無圍籬或屏障,列車行駛時產生 之振動與噪音對於民眾或附近建築物具有 直接之影響。國內目前對於嵌埋式軌道系 統之振動噪音研究較少,因此本論文透過 三維有限元素分析研究嵌埋式軌道系統之 振動噪音特性,以高雄輕軌捷運系統為案 例,進行結構振動噪音分析,目的在於建 立一套有效之模擬分析流程及方法,並且 有效應用於實際的工程問題。

# 二、軌道系統振動與噪音數值模擬

軌道系統振動與噪音分析流程分為兩階段,第一階段使用 ANSYS 以有限元素法進行移動載重分析,求得軌道受激振力作用下之變位歷時,並且匯出元素網格資料與分析結果。第二階段將 ANSYS 所得之元素網格與分析結果匯入 LMS Virtual.Lab,使用邊界元素法求解外部輻射聲場之聲壓分佈。最後,為驗證本研究方法之正確性,以高雄輕軌捷運之嵌埋式軌道系統為例,評估整體聲振分析技術之可行性,並進行數值模擬與量測結果分析與探討。

#### 2.1 ANSYS 振動分析模式

嵌埋式軌道系統主要由三種元素組

<sup>1</sup> 國家地震工程研究中心研究員

<sup>2</sup> 國立台北科技大學土木工程系土木與防災所碩士

<sup>3</sup> 國立台北科技大學土木工程系教授、國家地震工程研究中心組長

成:鋼軌、彈性包覆材及混凝土道床。高雄輕軌計劃主線採用鋼軌斷面為 54R2 (41GPU)槽溝軌,高分子包覆材使用回收之廢輪胎再製而成,混凝土道床則為無傳統扣件之連續支撑型式。整體斷面尺寸如圖 1所示,並分為一般嵌埋式軌道與綠化嵌埋式軌道。

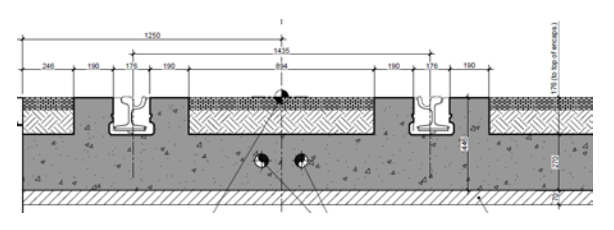


圖 1 一般嵌埋式軌道斷面尺寸(單位:mm)

以 ANSYS 建立嵌埋式軌道系統有限元素分析模型,土壤深度為 4 公尺,寬度為 10 公尺,軌道整體長度為 40 公尺,如圖 2 所示。鋼軌、橡膠緩衝材及混凝土之材料性質詳列於表 1,並將各材料參數輸入至 ANSYS,進行動態移動載重分析。

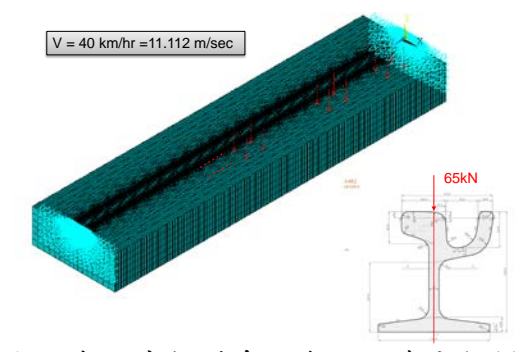


圖 2 嵌埋式軌道系統有限元素分析模型

, ,,,,,,,,,,,,,,,,,,,,,,,,,,,,,,,,,,,,,								
材料	彈性模數 [MPa]	密度 [kg/m³]	阻尼比 [%]					
鋼	200,000	7,850	2					
混凝土基板	30,000	2,400	3					
橡膠包覆材	2.6	1,200	5					
瀝青混凝土	3	2,360	3					
鋪面混凝土	17,405	2,400	3					
一般沃土	15	1,600	5					
土壤	40	1,800	5					

表1 材料參數表

車輛模型簡化為等速運動的雙排集中載重列,根據原設計載重,所有集中載重採用 65 kN 進行列車移動載重分析。整體模型邊界條件均假設於土壤邊界,模型左右兩側(X 向)與模型底部(Y 向)均為固定支

承,另假設行車向(Z向)為平面應變,故行車向(Z向)之變形量假設為零。為節省分析時間採用模態疊加法(Modal Superpostition)求解運動方程式,故須先進行模態分析,分析採用實體元素進行動態分析與求解。

#### 2.2 LMS Virtual.Lab 聲場分析模式

聲場分析採用 LMS Virtual.Lab 內建瞬態邊界元素,空氣密度為 1.255 kg/m³,聲速設為 340 m/s。將 ANSYS 分析中所得之結點瞬時位移振動反應作為聲場邊界條件,將所有結點位移施加於聲場所映射之結點,並進行聲輻射計算。為瞭解列車移動載重振動所輻射出之聲場反應,於軌道外建立一聲場面,所建立之聲場面距離軌道頂面 1.2 m,如圖 3 所示。

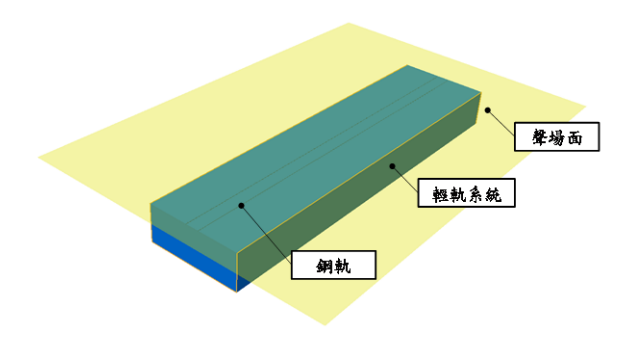


圖 3 LMS Virtual.Lab 聲場分析模型

# 三、高雄輕軌振動與噪音量測試驗

本研究選擇兩種不同形式之嵌埋式軌道系統進行比較,包含一般嵌埋式軌道及線化嵌埋式軌道。一般嵌埋式軌道量測點位於凱旋四路與中山三路十字路口,量測位置上部為高架橋。綠化嵌埋式軌道量測點位於凱旋四路瑞南街附近,兩個量測點位均靠近高雄捷運凱旋站,即捷運紅線 R6站位置處。

輕軌捷運振動量測採用之微振量測系統為東京測振股份有限公司所生產之攜帶型微振儀 SPC-51 及單軸向微振伺服速度計 VSE-15D,以量測振動之速度值。每筆量測數據時間皆為 180 秒,取樣頻率為 200 Hz。一般嵌埋式軌道量測規劃為從鋼軌向外距離 1.28 m、4.28 m、6.98 m、10.33 m、13.33 m 分別設置三個單軸向速度計分別量測 (VSE-15D),三個單軸向速度計分別量測

X、Y、Z 三方向之振動速度。X 向、Y 向、Z 向分別表示為垂直行車向、平行行車向與垂直地面之方向。所有量測點皆設置於一般路面,整體量測點位置佈設如圖 4 所示。綠化嵌埋式軌道量測規劃為從鋼軌向外距離1 m、3 m、6 m、9 m、12 m 分別設置三個單軸向速度計(VSE-15D),整體量測點位置佈設如圖 5 所示。

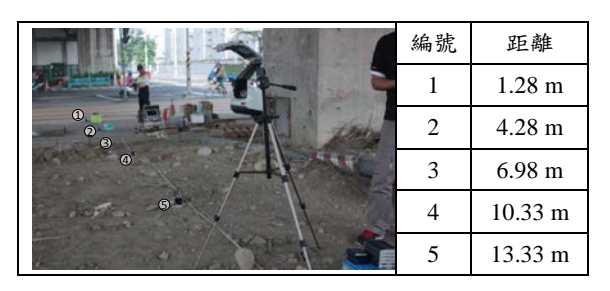


圖 4 一般嵌埋式軌道振動及噪音量測點位置

	編號	距離
<b>↑ 1 2 0</b>	1	1.0 m
3	2	3.0 m
	3	6.0 m
	4	9.0 m
	5	12.0 m

圖 5 綠化嵌埋式軌道振動及噪音量測點位置

輕軌噪音量測採用之聲音感測系統為 美國 PCB PIEZOTRONICS 公司所生產之 聲壓麥克風感應器(130A40)並配合使用德 國 imc 公司所生產之動態擷取系統 (CRONOS PL-2)進行聲壓量測。

量測點位之選訂參考環保署所訂定之 陸上運輸系統噪音管制標準[3], 嵌埋式軌 道量測規劃為從鋼軌向外距離 15 公尺且 距離地面高度 1.2 公尺處架設聲壓麥克風 感應器(130A40), 麥克風感應器面向輕 軌,量測背景噪音與列車通過噪音,如圖 4 及圖 5 所示。

# 四、數值模擬與量測結果分析與探討4.1 振動數值模擬與量測結果

圖 6 為一般嵌埋式軌道振動數值模擬結果與量測結果比對,由圖中可觀察到有限元素模擬之模型可有效得到結構受強迫振動後之自然頻率(3 Hz),除了可確定後續動態移動載重動態分析之正確性,亦可作

為整體結構振動減震設計之參考,避免發 生共振導致結構體損壞。

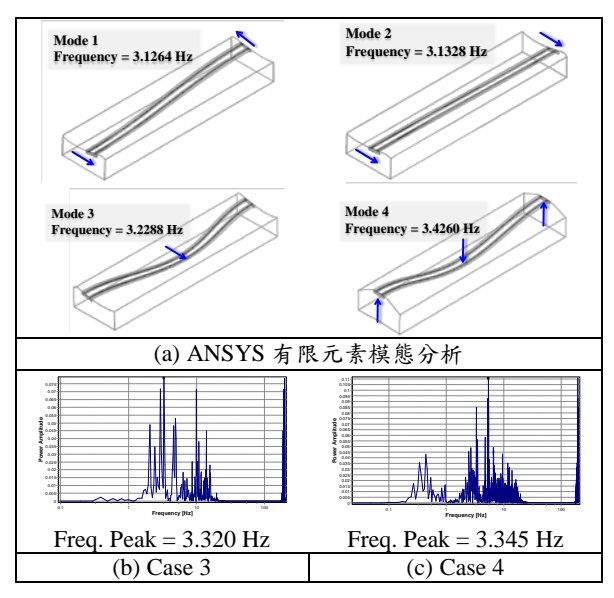


圖 6 一般嵌埋式軌道振動頻率結果比對

圖 7 為一般嵌埋式軌道振動位移歷時結果比對,由圖可觀察到當列車通過一般嵌埋軌道時,分析與試驗皆會造成三個位移峰值,列車時速約為 10~11 km/hr,位移量約為 0.3 mm。

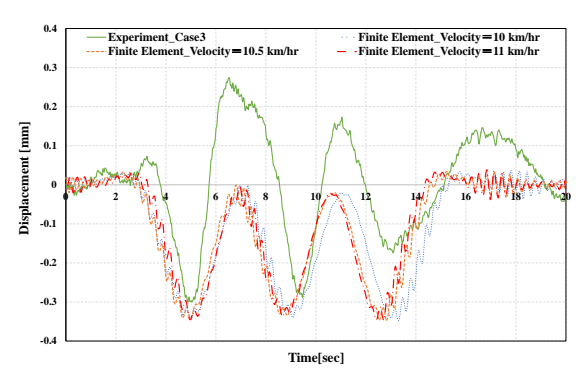


圖 7 一般嵌埋式軌道振動位移歷時結果比對

#### 4.2 噪音數值模擬與量測結果

一般嵌埋式軌道低頻噪音量測數據與LMS Virtual.Lab 數值噪音輻射模擬結果如圖 8 所示,由圖中可觀察到數值噪音輻射模擬所得之頻譜出現前三項峰值分別為22.461 Hz、33.569 Hz 與44.044 Hz,其中頻率33.569 Hz 貢獻量最大,而現地噪音量測頻譜之峰值約為33.2~33.5 Hz,故可判斷LMS Virtual.Lab 數值噪音輻射模擬可有效模擬列車通過之低頻噪音輻射,可供未來軌道降低噪音之設計參考。

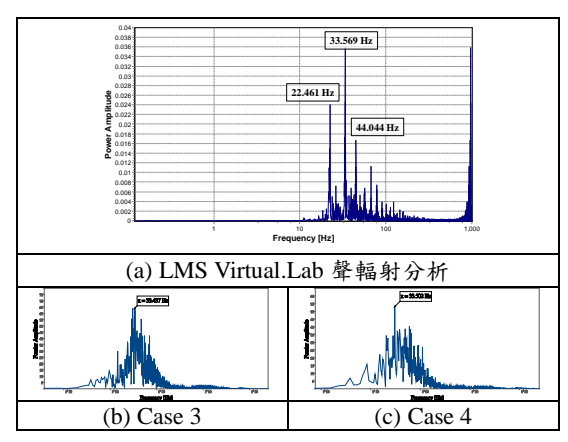


圖 8 一般嵌埋式軌道噪音頻率結果比對

### 4.3 参數分析

本節進行參數分析作為後續研究之基礎,以列車行駛速度、土壤材料與橡膠材料為三項基本參數,應用所建立之有限元素模型配合聲振分析流程進行參數分析,瞭解各項參數對於振動噪音之敏感度。

圖 9 為嵌埋式軌道於不同列車時速 10 km/hr、25 km/hr 與 40 km/hr 作用下之最大 位移量與最大聲壓級,由圖知當列車速度 愈快所產生的最大位移量愈小,但最大聲 壓級卻愈大。故降低列車時速所造成的最 大位移量雖大,但可減弱振動反應及降低 聲壓級分貝值。圖 10 為嵌埋式軌道於不同 土壤彈性模數 10 MPa、25 MPa 與 40 MPa 作用下之最大位移量與最大聲壓級,由圖 知當土壤彈性模數愈大所產生的最大位移 量愈小,但最大聲壓級卻愈大。故土壤彈 性模數愈小所造成的最大位移量雖大,但 可減弱振動反應,降低聲壓級分貝值。圖 11 為嵌埋式軌道於不同橡膠彈性模數 0.6 MPa、2.6 MPa 與 5 MPa 作用下之最大位移 量與最大聲壓級,由圖知嵌埋式軌道對於 橡膠彈性模數之變化敏感度非常低,最大 位移量與最大聲壓級於不同橡膠彈性模數 作用下幾乎沒有變化。

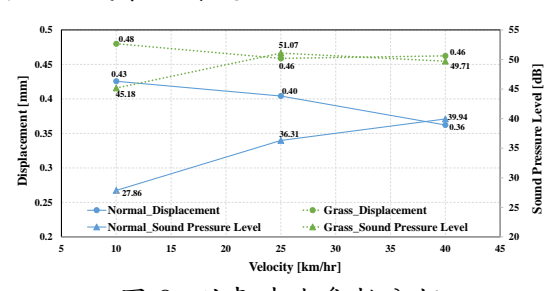


圖 9 列車時速參數分析

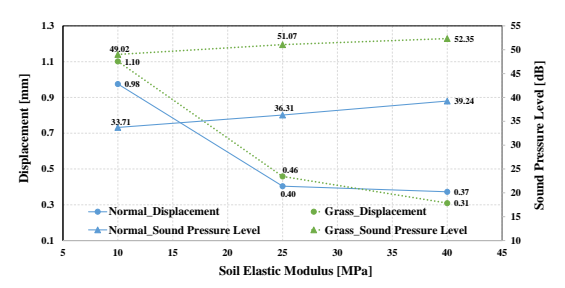


圖 10 土壤材料參數分析

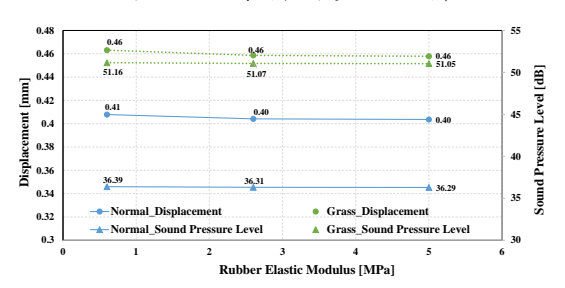


圖 11 橡膠材料參數分析

### 五、結論與建議

(1)比較嵌埋式軌道振動量測結果與ANSYS模態分析結果,結果顯示:(a)振動部份可有效模擬嵌埋式軌道系統自然頻率並且確定模型建立之準確度;(b)噪音輻射部份僅考慮低頻噪音,比對結果呈現數值模擬計算可有效反應低頻噪音之主頻率的位移量愈小,但聲壓級則愈大;(b)土壤則愈大振動位移量愈小,但聲壓級則愈大;(c)橡膠材料參數對於嵌埋式軌道聲振反應敏感度較低。(3)振動與噪音分析得之主振動頻率可應用於未來軌道設計,及營運後減少振動與降低噪音之參考。

# 参考文獻

- Bernhard Lichtberger, "Track Compendium - Formation, Permanent Way, Maintenance, Economics," Eurailpress Tetzlaff-Hestra GmbH & Co. KG, ISBN 3-7771-0320-9, 2005.
- 2. Sun Shuli, Zhang Wenjian, Wang Zhaohu, Su Wei, Wu Cailan, Bu Qinghao, (2011) "Design of unballasted track bridges on Beijing-Tianjin intercity railway," Engineering Sciences, Vol. 9, No. 4, 2011, pp. 59-70.
- 3. 行政院環境保護署,噪音污染管制,陸上運輸系統噪音管制標準,2013。

# 新北市地震防災管理系統之建立與應用

許家銓1 宋裕祺2

### 摘要

綜觀近數十年來的國內外地震災害,構造物受害之實例甚多,在這些地震災害經驗中,均顯示地震災害對社會所造成的衝擊與經濟損失,是相當嚴重而深遠。因此,若能有效建構一套地震災損評估系統,於地震發生前提供地震災害災損之境況模擬,據此擬定相關地震災害防救事項,有效執行災害預防、災害搶救、事故處理、災情勘察以及善後處置、復建等相關事宜,並於地震發生時,推估建築物倒塌及人員死傷等災害資訊,可於初期迅速採取緊急應變作為,減少地震災害損失。

本研究由網格化之資訊推估震後災損情形,並藉由簡易明瞭之操作介面與容易擴充的架構,使後續擴充較具彈性及便利性。未來若將各地方政府提供更詳盡之資料整合入本系統,則可做為各地方政府擬定相關地震災害防救事項之用。

關鍵詞:地震災損評估、物件導向

# 一、前言

台灣位於歐亞大陸板塊與菲律賓海板塊交界處,屬環太平洋地震帶,每年都電因板塊間的相互擠壓而造成地震,屬積大的為台灣北市之7.5倍,其轄水和區之通號約 為台灣最高。為數眾多的既有交到強烈的人人。 為台灣最初將不可避免的歐力。 為台灣最初將不可避免的會遭受到強烈的震侵襲的威脅。 綜觀近數十年來的國內這些地震災害經驗中,均顯示震害對社會所造地震災害經驗中,均顯示震害對社會所造成的衝擊與經濟損失,是相當嚴重而深遠。

依現今科技,地震預警時間非常短暫, 因此防震減災顯得十分重要。依賴耐震、隔 震與減災等工程科技雖能有效降低地震災 害,但若能輔以非工程的防災規劃與演練 以及風險分散與移轉等手段來強化社會的 抗災能力,將更能彰顯地震防救災之功能 與效益。因此,若能有效建構一套地震防災 管理系統,於地震發生前提供地震災害災損之境況模擬,據此擬定相關地震災害防救事項,有效執行災害預防、災害搶救、事故處理、災情勘察以及善後處置、復建等相關事宜,並於地震發生時,迅速連結中央氣象局地震速報資料,短時間內推估地震災損,將有利於震後緊急應變作為,有效達到救災之目的。

# 二、新北市現有地震防災體系

新北市人口 397 萬 1,660 人,密度達 1934.47 人/Km²為全國之最。新北市轄區環境特殊,山腳斷層屬於第二類活動斷層,自樹林附近向東北方向延伸至北投,穿越大屯山區後由金山向海域延伸,總計約 74 公里。另依據經濟部中央地質調查所公布轄內蘆洲、三重、新莊及板橋區列為土壤液化高潛勢區,且具大台北盆地場址效應,震動時間長、強度大、長週期波形明顯,再加上

<sup>1</sup> 國家地震工程研究中心助理研究員

<sup>2</sup> 國立台北科技大學土木工程系教授

城市高度發展人口稠密,故倘地震發生於 靠近都會區之斷層,容易造成嚴重傷亡與 經濟損失。

鑑於 2016 年 0206 高雄美濃大地震,臺南市永康區維冠金龍大樓倒塌,造成 117 人死亡、501 人受傷的嚴重災情。為精進地震防救災工作,新北市政府城鄉發展局、工務局、教育局、農業局、水利局、交通局、社會局、捷運工程局、衛生局、文化局、經濟發展局及消防局等 12 個局,共同擬訂「新北市地震防災策略實施方案」,並於 2016 年 6 月 20 日函頒,以健全地震防災體系及強化防災效能。

### 三、新北市地震防災管理系統之建立

建置系統所需分析資料包括:重點建築物基本資料、各級橋梁基本資料、新北市網格人口資料、填土區及液化潛能 GIS 圖層、中央氣象局地震速報系統連線管道、新北市鄉鎮村里行政界 GIS 圖層與新北市房屋稅籍資料等。

EDAS 之軟體架構朝可外掛程式模組之方向來設計。此設計方式一方面可以依據資料完整性,採用不同的計算模組進行推估,或是針對參數修正,採用不同的模組於系統,可增加不同的應用或客制化設計,將系統已推估成果進行後續的計算或應用,以增加系統使用的彈性。在視覺化與點選與檢索。圖資化是基礎之標質化介面,並提供基本圖層之操作功能,方便資料點選與檢索。圖資的部分則以ESRI Shapefile 為系統支援之標準格式,與整合。

本研究使用支援物件導向技術之C#程式語言,開發 EDAS,建構 EDAS 於Windows上。EDAS使用 MapWinGIS 元件,並搭配 Proj.4 程式庫,做為繪製地圖以及地圖操作管理的核心。再者,EDAS 整合IronPython,方便使用者撰寫 Python 程式,擴充系統功能。最後,為使操作簡潔明瞭,

本系統採用微軟 Windows Presentation Foundation (WPF)開發圖形化使用者介面,方便使用者操作與視覺化呈現圖資和相關資料。

### 四、案例分析

本研究由 EDAS 系統以新北市為例進行震前及震後之案例分析。由於本系統可藉由架接中央氣象局地震速報系統之地震資料後並進行後續災損推估作業,故在震後模擬案例中,本研究將擷取一筆由中央氣象局地震速報系統所發布之地震資料進行災損推估。

#### 4.1 震前模擬案例分析

假定於 2018/01/01 中午十二點於宜蘭 外海(座標位置:121.8° E、25° N)發生一 規模 6.5,深度 5km 之地震,以下即以 EDAS 推估新北市各個村里不同類型建築物之損 壞狀況、人員傷亡狀況,以及各個重要機關、 學校及重要建築、橋梁是否能正常運作之 推估,其推估結果如圖 1、圖 2 及表 1 所 示。

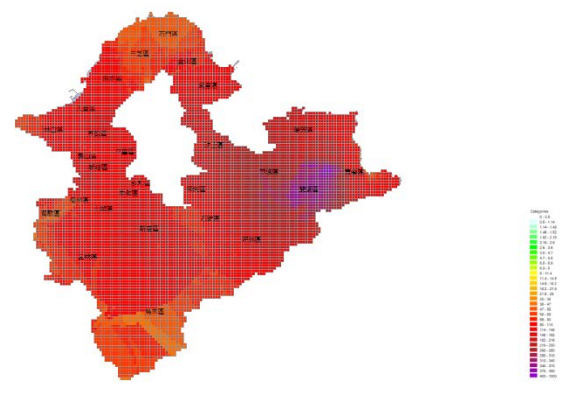


圖 1 模擬地震推估所得之 PGA 分布圖

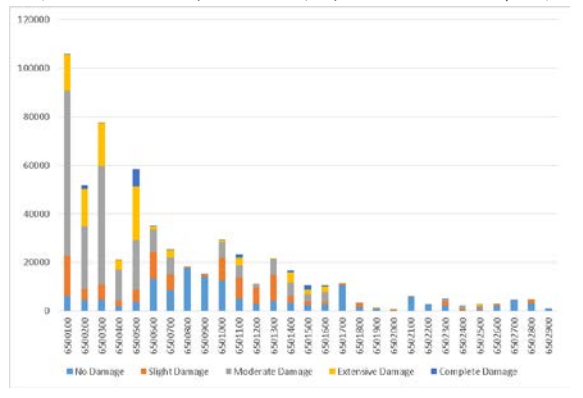


圖 2 模擬地震推估所得之建物損壞分布圖

表 1 模擬地震推估所得之橋梁損壞情形

Bridge	N.D.	S.D.	M.D.	E.D.	C.D.		D	ay	
No.	(%)	(%)	(%)	(%)	(%)	1 <sup>st</sup>	2 <sup>nd</sup>	3 <sup>rd</sup>	4 <sup>th</sup>
300169	75.2	18	5.15	1.17	0.3				
300381	61.8	13.9	8.97	5.62	9.66	X			
300357	86.2	10.8	2.34	0.42	0.08				
300017	69.1	12.3	7.41	4.37	6.66				
300016	93.1	5.79	0.93	0.13	0.02				

#### 4.2 震後模擬案例分析

本研究除了可由各測站之地震衰減率 迴歸成果進行地震模擬之外,亦可藉由中 央氣象局地震速報系統發布之各測站實測 之PGA取代迴歸成果進行模擬。本節將擷 取一筆最近由中央氣象局地震速報系統得 到之資料進行模擬,由中央氣象局地震速 報系統接收到之地震資料如下:時間: 2016/5/11 11:17:15;震央位置:121.98°E, 24.69°N;芮氏規模:6.1;震源深度:8.9Km。

本系統接收到地震資料後之會自動開始分析新北市之災損情形,其中PGA之推估係由中央氣象局測得之測站實際PGA代替原有之衰減迴歸式進行推估,分析結果如圖3及圖4所示。

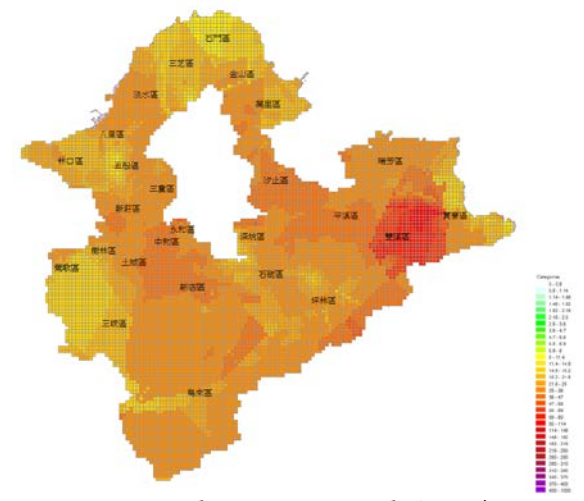


圖 3 地震推估所得之震度分布圖

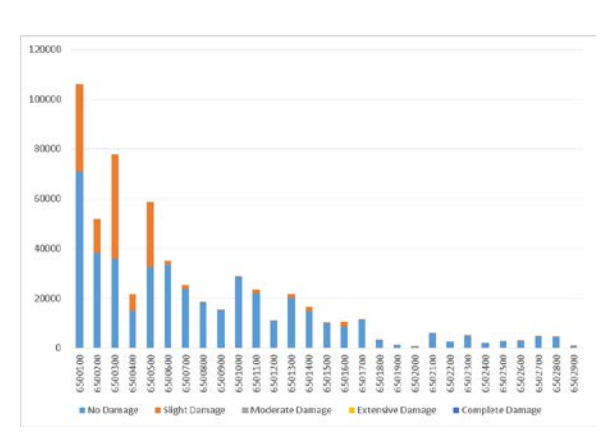


圖 4 地震推估所得之各區建物損壞分布圖

由上述分析可得知,本研究所開發之 系統可於地震發生後經由中央氣象局地震 速報系統即時取得地震資料,以中央氣象 局公布之測站 PGA 值自動進行分析。此功 能除可供地方防救災單位主管掌握即時 情,並進行建築物耐震能力評估及補強、時 時 路橋梁安全評估、救災動線及物資運送路 線規劃等應變相關作為外,新北市政府 將本系統推估結果,作為地震災害應變 中 心啟動時機、開設層級、緊急動員機制之作 業標準程序。

#### 五、結論

1. 本研究將全台灣進行國土網格化,藉由推估所得各網格內之 PGA,配合中央氣象局對各震度所採用的對應色層,賦予各網格適當的色層屬性,將模擬所得等震度圖之色層分布精緻化與細密化,並與中

央氣象局所公布者進行比對,以方便驗證 地震衰減律迴歸公式推估所得震度之準確 性,比對結果顯示本文所迴歸之各個測站 地表加速度衰減律之參數應可符合實務應 用之需。

- 2. 本文蒐集中央氣象局 1992~2006 年近 10 萬 5 千筆之地震資料,針對全台 600 餘個強地動觀測站進行加速度衰減律之參數迴歸。此外,各測站之地震反應實際上已反映各測站之地質構造、土壤特性與地震波傳遞效應等,故所謂場址效應已包含於各測站之迴歸分析成果中。
- 3. 本研究藉由網格加速度推估模式之建立,搭配易損性曲線進行橋梁及建築結構物之災損評估。由各網格之鄰近測站推估網格之PGA值及各網格內之建築物及人口資料為基礎,推估特定地震作用下各網格之建物倒塌及人口傷亡等資訊。
- 4. 本研究結合目前國內外之災損評估 模式,由網格化之資訊推估震後災損情形, 並藉由簡易明瞭之操作介面與容易擴充的 架構,使後續擴充較具彈性及便利性。
- 5. 本研究建立之地震防災管理系統使 用物件導向技術進行開發,並由豐富的資 料庫將分析成果以視覺化輔以文字呈現, 不僅降低災損推估之繁雜步驟,此成果亦 可供政府做為災前演練及災後初期迅速採 取緊急應變作為之用。
- 6. 本研究建立之地震防災管理系統採用 MapWinGIS 作為載入圖層、圖層套疊管理以及圖層運算等之工具,透過此元件,EDAS 可以不用建構在商用的 GIS 軟體上,使用單位無須支付諸如 ArcGIS 等地理資訊系統之軟體租賃費用,並且可獨立運作,增加系統使用彈性。
- 7. 本研究以新北市為例,透過不同地 震事件之模擬,進行新北市內震災損失評 估。由各公有建物及橋梁損害狀況之評估 結果,可供相關單位進行藉由震前之兵棋 推演訂定地區防災計畫,並可提供作為消 防計畫之檢討資料,加上透過瞭解各地區 地震危險度後,做為一般居民防災教育之

活用;並可在震後透過中央氣象局地震速報系統即時取得地震資訊並迅速推估地震災害,以作為地震災害緊急應變中心判斷之參考值。

8. 本研究開發之系統於分析完成後可藉由網頁公布及手機簡訊等方式通知防救災相關單位人員,使其能於震後進行救災相關作業。並可依各地方政府地震防災體系之需求,針對防救災作業程序之需求進行系統擴充,符合客製化之要求。

### 参考文獻

- 1. Kanai, K., 1961. "An empirical formula for the spectrum of strong earthquake motions", Bulletin of the Earthquake Research Institute 39: 85-95.
- 2. Campbell, K. W., 1981. "Near-source attenuation of peak horizontal acceleration", Bulletin of the Seismological Society of America 71(6): 2039-2070.
- 3. Joyner, W. B. and Boore, D. M., 1981. "Peak horizontal acceleration and velocity from strong-motion records including records from the 1979 imperial valley, California, earthquake", Bulletin of the Seismological Society of America 71(6): 2011-2038.
- 4. Liu, K. S. and Tsai, Y. B., 2005. "Attenuation relationships of peak ground acceleration and velocity for crustal earthquakes in Taiwan", Bulletin of the Seismological Society of America 95(3): 1045-1058.
- 5. 葉錦勳,台灣地震損失評估系統— TELES,國家地震工程研究中心,2003。
- Y. C. Sung, C. C. Hsu, H. H. Hung and Y. J. Chang, "Seismic Risk Assessment System of Existing Bridges in Taiwan", Structure and Infrastructure Engineering, Vol. 9, No. 9, 2013, p.p. 903-917.

# 建築消防撒水管線系統耐震性能評估方法研究(I)

林凡茹1 柴駿甫2 葉昶辰3 張國鎮4

#### 摘要

本研究探討重要建築內部非結構耐震性能評估方法,並以醫院消防撒水系統為例,檢核管線系統損及天花板、漏水、崩塌等破壞模式等耐震性能表現,透過數值模型分析結果建立詳細評估之易損性曲線,據以提出適合工程師應用之消防撒水管線系統簡化評估方法與流程。研究內容分為兩大部分,第一部分為參照 FEMA P58[1]探討非結構耐震性能評估程序、受震需求與易損性分析方法,並以案例醫院消防撒水系統為例,建立其易損性評估所需之樓板反應歷時;第二部分為進行案例醫院消防撒水管線系統之增量動力詳細分析,據以提出管線系統易損性局部詳細分析與簡化評估方法,並以詳細評估而得之易損性,驗證局部詳細分析與簡化方法之準確性。本篇報告概要介紹第一部分之研究內容。

關鍵詞:FEMA P58、非結構系統耐震性能評估、消防撒水管線系統、易損性評估

#### 一、 前言

本研究內容如圖 1 所示,第一部分為參考 FEMA P58 [1]性能設計概念,以建築結構未倒塌且可修復的前提下,探討建築內部非結構耐震性能評估方法與程序,並進而規劃建築結構物附屬之非結構系統(消防管線等設備物)易損性分析;第二部分研究內容為以案例醫院為例,檢核管線損及天花板、漏水、崩塌等破壞模式之性能表現,透過數值模型分析結果建立詳細

評估之易損性曲線,以提出適合工程師應用之簡化評估方法。

本篇報告說明第一部分研究內容,第二部分則另於「建築消防撒水管線系統耐震性能評估方法研究(II)」介紹。

# 二、 非結構耐震性能評估程序

本研究探討 FEMA P58 耐震性能表現計算程序,考量高震度下建築結構與內部非結構行為不確定性,以提高非結構系統易損性分析準確性,提出非結構易損性分析方法與樓板歷時分析程序建議:

- 1. 為考量高震度下強地動參數與建築結構非線性行為之不確定性對於非結構耐震性能表現影響,可設定非結構易損性分析之上限。本研究建議取最大考量地震強度與建築結構84%不可修復機率之地震強度兩者之小值,設定為非結構易損性分析上限。
- 本研究參照 FEMA 356[2],定義建築 結構不可修復性為建築結構於歷時分

<sup>1</sup> 國家地震工程研究中心助理研究員

<sup>2</sup> 國家地震工程研究中心研究員

<sup>3</sup> 國立台灣大學土木系碩士

<sup>4</sup> 國立台灣大學土木系教授

析瞬時層間變位峰值等於或超過 1%,建築結構崩塌之定義則為瞬時層 間變位峰值等於或超過2%。

3. 本文建立非結構系統易損性分析之程序,包括挑選原始地震歷時(依據FEMA P695[3]挑選11筆以上地震)設定樓板加速度歷時分析方法(可治為原始地震或符合建築設計反應對人應、與 AC156[4]通用性樓板反應。與 AC156[4]通用性樓板反應。與 AC156[4]通用性樓板反應歷時強度。與 在實質與組數設計(輸入歷時路及程序、依非結構系統各破壞模式之人造樓板歷時等方法)、顧時確放程序、依非結構系統各破壞模式之險貢獻分佈規劃地震歷時強度分類組)、設定非結構易損性分析等步驟(圖二、圖三)。

# 三、 樓板反應歷時分析

本研究利用數值軟體 MIDAS 建立案例 醫院結構數值模型(圖四)而得非線性建築 結構反應,並建立符合 AC156 通用性樓板 反應譜之加速度歷時,據以探討管線易損 性分析使用之輸入波特性影響以及地震強 度增量規劃。樓板歷時分析結果簡述如下:

- 1. 經過 FEMA P695 建議之 PGV 正規化 後,可消除了工址、土壤等不確定性, 同時保留各自地震變異性。然而,各 地震之結構週期譜加速度差異甚鉅, 建議可加設挑選地震歷時之條件,例 如對於 PGV/PGA 之範圍做限制,縮 小各歷時之間的變異性。
- BRS 擬合後可有效降低各地震歷時之 結構週期譜加速度變異性,輸入至結 構模型之樓板反應亦可保留結構特 徵,且結構高模態效應對於樓板反應 譜之影響更為顯著。
- 3. AC156 之人造地震歷時,將各歷時與 需求反應譜擬合,其樓板反應變異性 低,亦即不同震波之強度相近,但仍 保有各自地震特性。
- 4. 三種分析方法(原始地震或 BRS 擬合 地震輸入分析、與 AC156 相容)之中

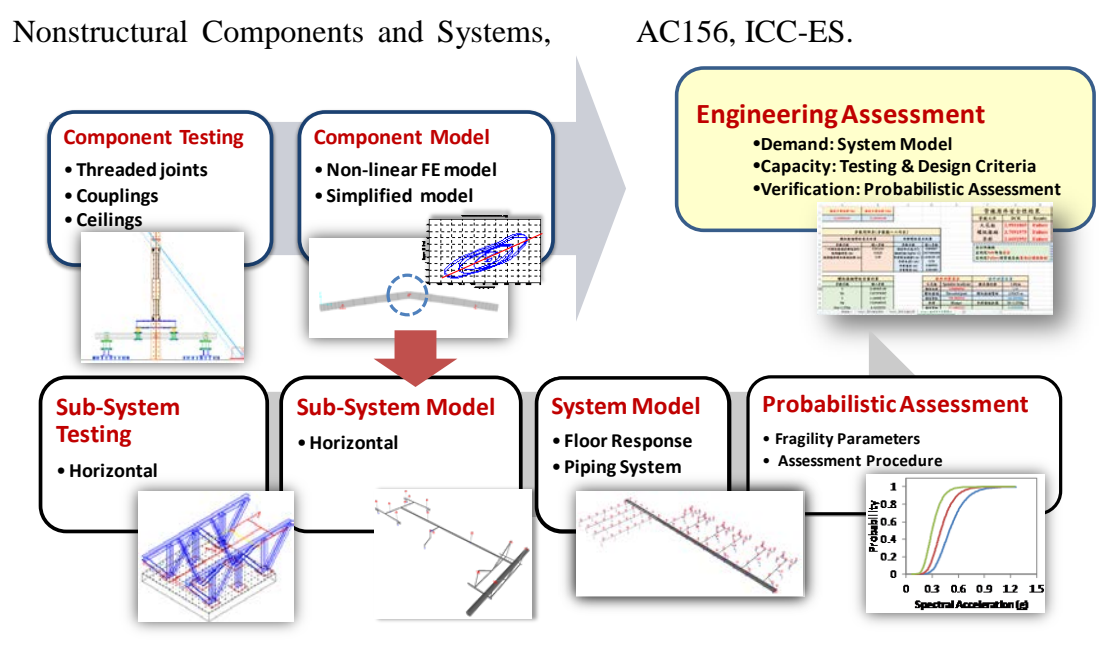
值樓板反應譜結果如圖五所示,可知 管線系統週期(桃紅色線段標示處)對 應之 AC156 歷時譜加速度遠低於其 他兩者,其因 AC156 之 RRS 平台段 於 hx/hn(設備所在樓層高度與建築高 度比值)大於 0.3 時即由 1.6SDS(工址短 週期設計水平譜加速度係數)控制,而 本案消防撒水系統管線顯著週期恰位 於 RRS 平台段,故其譜加速度值遠小 於其他透過結構反應而得之歷時組 別。然而,由於案例醫院基礎週期約 為 0.4 秒,故若欲評估之非結構系統 的基礎週期若位於長週期處(大於 3.33 秒),則 AC156 之譜加速度值較 其他歷時類別保守。故可推測利用 AC156 進行消防管線系統動力分析可 能會得到較不保守之結果。

#### 四、結論

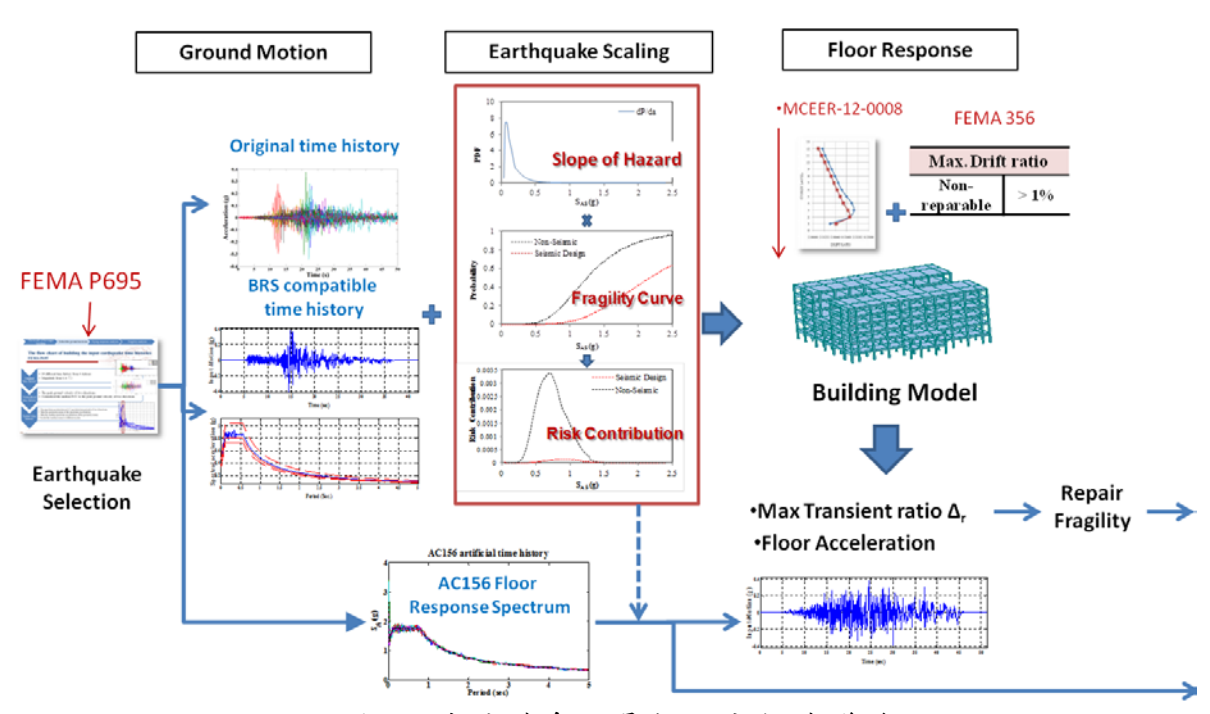
本研究參照 FEMA P-58 之建築性能設計流程中之耐震性能表現計算程序,提出建築內部消防管線系統易損性分析方法之建議,並考量高震度下建築內部非結構行為不確定性,提出非結構易損性分析方法與樓板歷時分析程序建議,並探討依動力分析或通用反應譜而得之樓板反應歷時差異,以供後續非結構增量動力分析之參考。

# 參考文獻

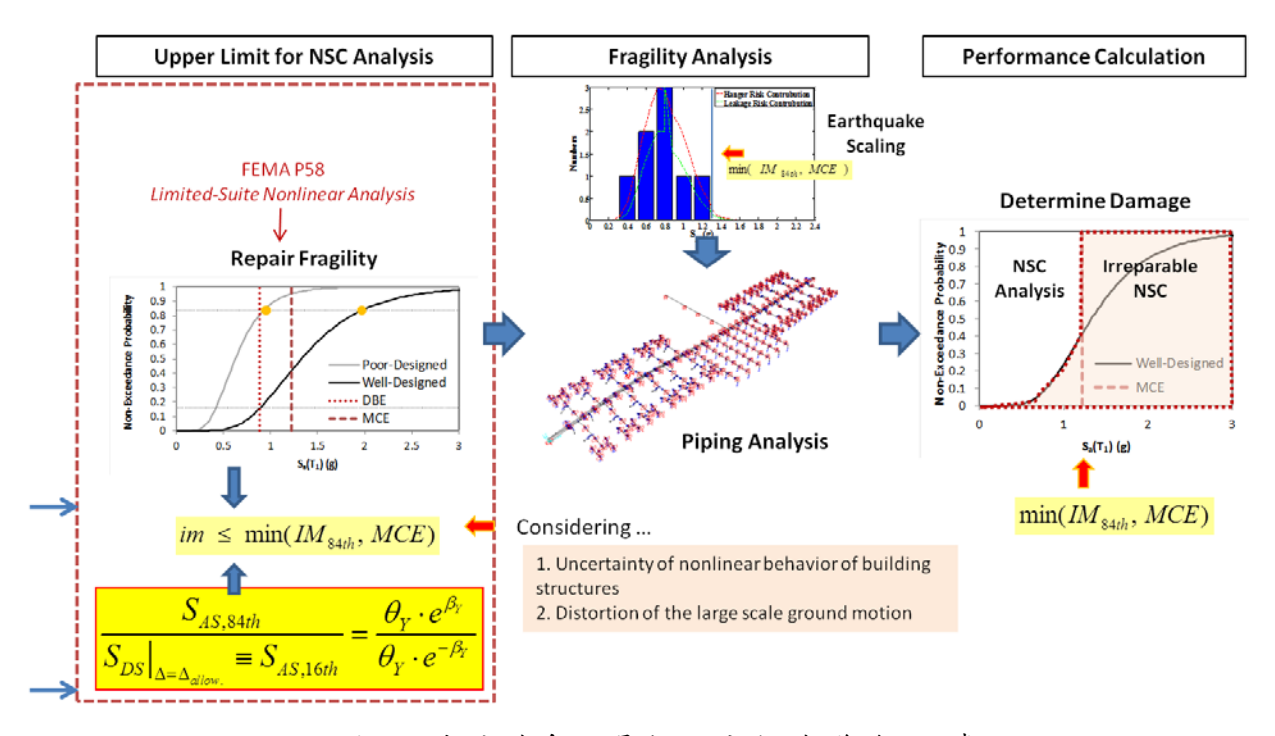
- 1. Applied Technology Council (2012), Seismic Performance Assessment of Buildings, FEMA P-58, Federal Emergency Management Agency.
- 2. American Society of Civil Engineers (2000). Prestandard and commentary for the seismic rehabilitation of buildings, FEMA 356, Federal Emergency Management Agency (FEMA), Washington, D.C.
- 3. FEMA(2009). Quantification of Building Seismic Performance Factor, FEMA P-695 report.
- 4. ICC Evaluation Service inc.(2010), Acceptance Criteria for Seismic Qualification by Shake-table Testing of



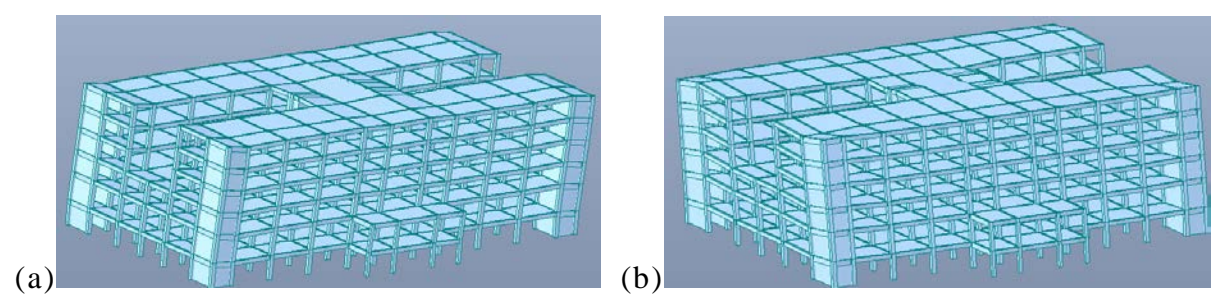
圖一 研究範圍與流程



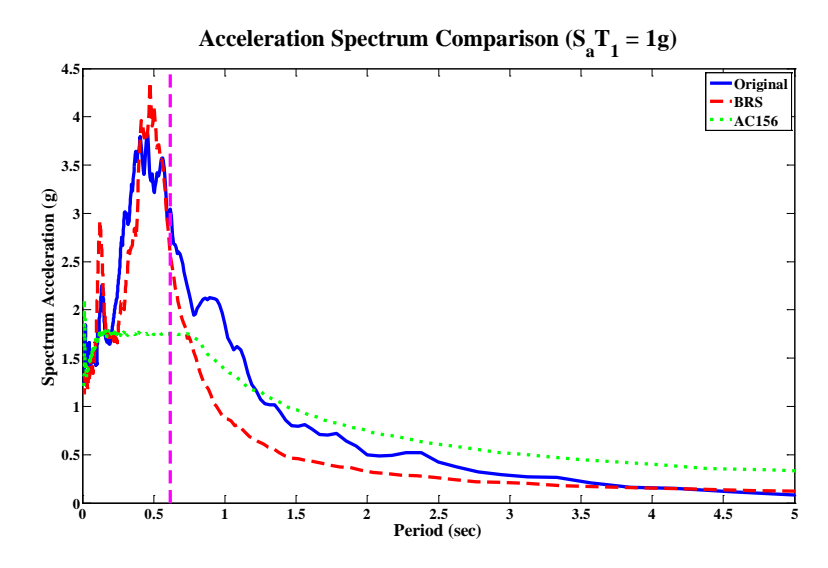
圖二 非結構系統易損性分析建議流程



圖三 非結構系統易損性分析建議流程(續)



圖四 數值模型模態振形:(a)第一模態(2.4Hz,水平長向模態參與比例 0.76);(b)第二模態(2.73Hz,水平短向模態參與比例 0.74)



圖五 三系列地震歷時於  $S_a(T_1)=1g$  之中值頂樓樓板加速度反應譜

# 建築消防撒水管線系統耐震性能評估方法研究(II)

葉昶辰 1 林凡茹 2 柴駿甫 3 張國鎮 4

#### 摘要

本研究探討重要建築內部非結構耐震性能評估方法,並以醫院消防撒水系統為例,檢核管線系統損及天花板、漏水、崩塌等破壞模式等耐震性能表現,透過數值模型分析結果建立詳細評估之易損性曲線,據以提出適合工程師應用之消防撒水管線系統簡化評估方法與流程。研究內容分為兩大部分,第一部分為參照 FEMA P58 探討非結構耐震性能評估程序、受震需求與易損性分析方法,並以案例醫院消防撒水系統為例進行易損性分析規劃;第二部分為進行案例醫院消防撒水管線系統之增量動力詳細分析,據以提出管線系統易損性局部詳細分析與簡化評估方法,並以詳細評估而得之易損性,驗證局部詳細分析與簡化方法之準確性。本篇報告概要介紹第二部分之研究內容。

關鍵詞:消防撒水管線系統、易損性評估、增量動力分析、簡化評估方法

#### 一、 研究目的

消防撒水系統詳細耐震性能設計或評 估程序,為建置建築結構非線性模型而得 管線系統受震需求,據以輸入管線系統非 線性數值模型進行增量動力分析,而得管 線系統受震性能表現之易損性曲線。然除 非業主自主性要求,目前我國建築法與相 關規則、規範並未強制要求於設計階段或 使用階段進行建築內部消防撒水系統耐震 設計與補強,因此,若醫院欲進行消防撒 水系統耐震性能設計或評估,通常工程師 沒有足夠的時間或資料建立可靠之建築結 構與管線系統之詳細數值模型。考量一般 工程師處理消防管線耐震評估案之立場, 為使工程界便於快速進行醫院消防管線系 統耐震性能設計或評估,本研究以嘉南地 區某醫院消防管線系統為例,參考 FEMA P58[1]性能設計概念進行詳細模型進行傳 統增量動力分析(方法 A)而得易損性參 數,據以驗證易損性局部詳細分析(方法 B)與適合工程師應用之簡化評估方法(方 法 C)。三種評估方法流程如圖一所示。

# 二、 元件耐震容量與模擬

- 第一個性能點為影響病房內部使用之 天花板粉塵掉落,損壞狀態定義為天花 板材單向抗壓試驗之破壞位移加上撒 水頭與天花板之間隙值 1.66 公分;
- 第二性能點為撒水接頭彎矩容量不足造成使用空間淹水,由振動台實驗觀測之一吋螺紋接頭處漏水現象與反覆載重實驗驗證之可靠數值模型,而得螺紋接頭數值分析之彎矩歷時結果,發現超過彎矩最大值之時間後,實驗量測之應變計才達到破壞峰值,故以最大彎矩值
   2.01kN-m 作為一吋螺紋接頭處漏水前

<sup>1</sup> 國立台灣大學土木系碩士

<sup>2</sup> 國家地震工程研究中心助理研究員

<sup>3</sup> 國家地震工程研究中心研究員

<sup>4</sup> 國立台灣大學土木系教授

之耐震容量;

3. 第三個性能點為支撐消防管線系統之 吊桿於強震下進入塑性階段,且塑性轉 角到達上限值,導致失去承重能力。為 了判斷病房中之吊桿乘受靜載能力,參 考 ASME B31.9 對於懸掛式管線支撐間 距之規定,其要求管線容許變位不可超 過 6.4cm 與 0.15 倍外管直徑,若於自重 靜載下超過該標準即判定管線崩塌。

為提升非線性動力歷時分析效率,僅設定主管反應最大處(甲仙地震經驗證實其鄰近發生漏水之病房位置)之病房管線子系統為非線性行為,包括考量天花板、隔間牆之碰撞行為之連接元件以及於吊桿設置非線性塑鉸,其餘元件則假設為線彈性。

### 三、 傳統增量動力分析(方法 A)

本研究依照案例醫院消防管線系統工程圖說,並採用 SAP2000 v15.0.0 軟體建立案例醫院局部消防管線數值模型(圖二)。將三系列樓板加速度歷時(原始地震或符合建築設計反應譜之擬合地震輸入經濟合建築設計反應譜之擬合地震輸入經濟人產時)輸入至消防撒水系統數值模型進行非線性歷時分析,並觀察最易受模型進行非線性歷時分析,並觀察最易受損病房處之管線元件受震反應是否超過度損病房處之管線而供受震反應是否超過度後,即可建立代表管線耐震性能之易損性曲線。

### 四、 消防管線系統簡化評估

由傳統增量分析法可求得管線元件耐震性能,然而所需分析時間過長,故本研究提出局部詳細分析方法(方法 B)與簡化評估方法(方法 C),提升評估效率:

- 1. 局部詳細分析方法(方法 B): 將管線系 統拆成主要幹管與最易受損病房,於病 房與主管連接端輸入簡化主管之絕對位 移並於樓板束制端輸入樓板加速度歷時 進行後續增量動力分析,減少大量桿 件、節點,達到更快速之分析效益。首 先,需先建立與管線系統頻率近似之簡 化主管。將各病房子單元視為懸臂梁, 便能以等值線性彈簧模擬其勁度貢獻。 而管線系統頻率主要由吊桿貢獻,其勁 度推估可將病房子單元視為單自由度系 統,於主管與該病房連接端處施加一單 位位移,該點之反力即為該方向所提供 之勁度。而質量來源則可從病房管線管 徑大小、長度等判斷,便能得到與系統 動力反應近似之簡化主管模型。
- 2. 簡化評估方法(方法 C):若工程師希望 經由現地觀察,即可大略了解管線元件 是否足夠耐震,則可採方法 C。利用方 法 A 之傳統增量動力分析結果,透明 量分析資料,找出樓板反應譜力公式 量分析資料,找出樓板反應靜力公式 線主管位移之關係,再透過靜人公壞情 形,並將上述流程建立於 Microsoft Excel 2013 程式之評估表格,此評估表 可提供工程師於現地探勘下輸入相關管 線系統參數,而得該管線系統配置之天 花板、螺紋接頭與吊桿之安全性。

三種耐震評估方法之結果比較如圖四所示。評估結果由不透過分析之簡化評估法(方法 C)最為保守,局部詳細分析(方法 B)相較於傳統增量分析(方法 A)則可更快速求得管線之受震情形。

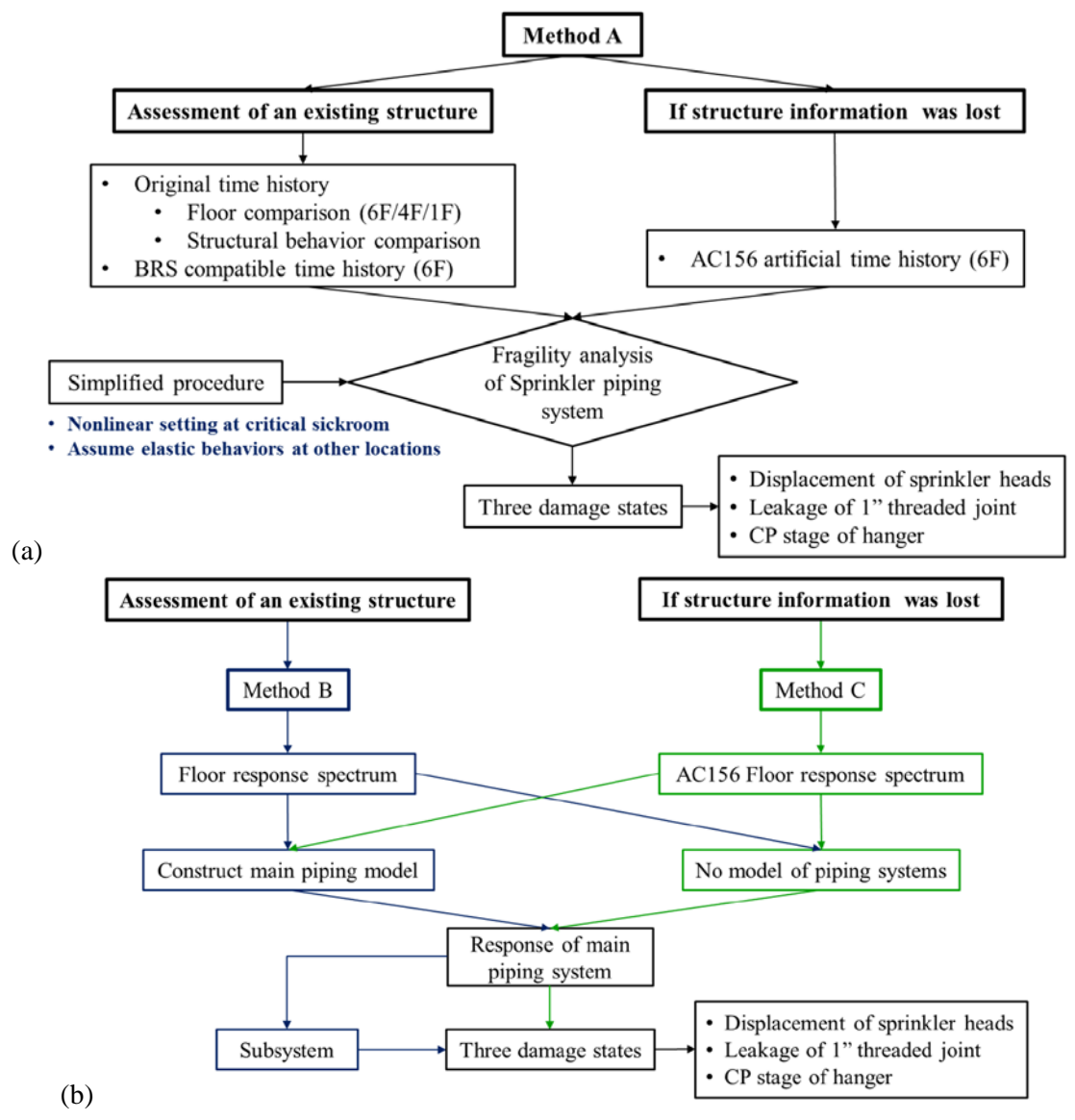
#### 五、 結論

本文提出消防管線耐震評估之傳統 增量動力分析、局部詳細分析以及簡化評

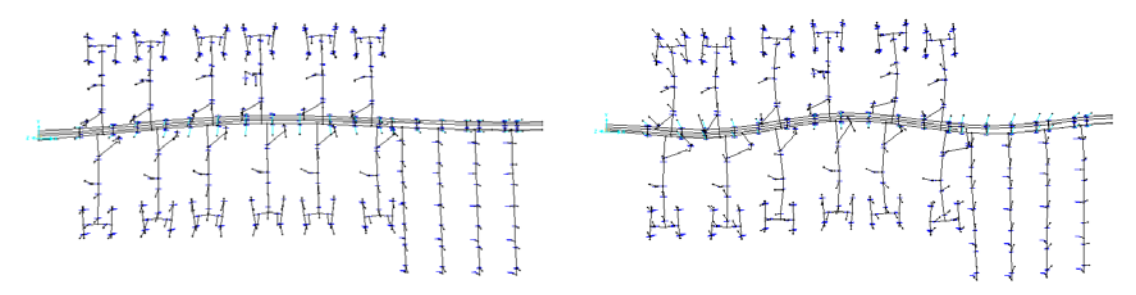
線元件損壞情形。

# 參考文獻

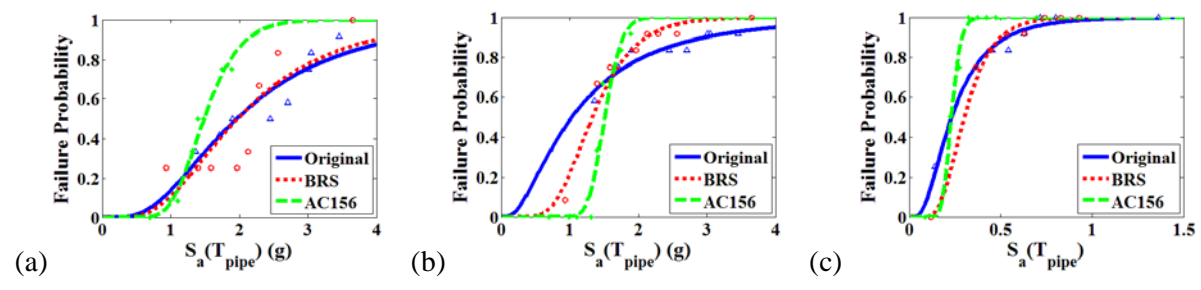
- 1. FEMA P58 Seismic Performance Assessment of Buildings- Methodology 2012.
- 2. ICC Evaluation Service inc.(2010), Acceptance Criteria for Seismic Qualification by Shake-table Testing of Nonstructural Components and Systems, AC156, ICC-ES.



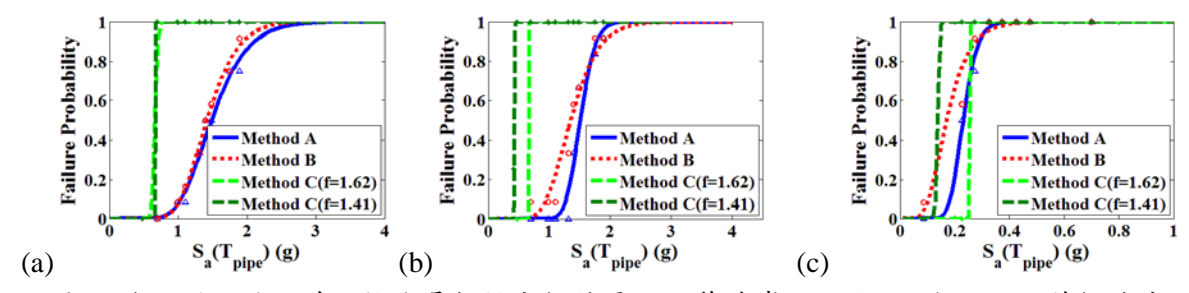
圖一 消防管線系統評估方法流程:(a)傳統增量動力分析(方法 A); (b)局部詳細分析(方法 B)與簡化評估(方法 C)



圖二 局部消防管線系統模態與頻率: (a)第一模態(頻率 1.62Hz,模態參與比例 0.75); (b)第七模態(頻率 2.62Hz,模態參與比例 0.13)



圖三 三種樓板歷時分析而得之消防撒水易損性結果:(a)管線崩塌;(b)漏水;(c)天花板破壞



圖四 各評估方法之消防撒水易損性分析結果:(a)管線崩塌;(b)漏水;(c)天花板破壞

# 消防撒水系統耐震斜撐連接裝置受力行為研究

徐瑋鴻 1 柴駿甫 2 林凡茹 3 林震宇 4 王鑑翔 5 廖文義 6 高樹禹 7

#### 摘要

台灣位於環太平洋地震帶上,建築物之耐震能力攸關著生命財產安全,而建築結構外之非結構物耐震能力則常常影響震後特定功能的運作,如醫院中的消防撒水系統即是非常重要的非結構設備,保持其完整性能夠避免震後火災發生,且使醫院保有震後救災之功能。美國消防協會針對消防撒水系統制訂了一套規範 NFPA13,規範中對於耐震斜撐之設計有詳細的介紹,但卻缺乏對於連接裝置之規定。因此,國家地震工程研究中心依據 NFPA13 進行消防撒水系統之研究,研究結果指出破壞發生於連接裝置,此一結果導致整體耐震能力降低。本文針對市售連接裝置進行相關試驗,並使用有限元素分析軟體進行數值分析,透過比對試驗與分析結果探討連接裝置之受力行為及破壞模式。

關鍵詞:斜撐、連接裝置、耐震設計、ABAQUS分析

# 一、前言

一般來說,消防設備並不屬於建築建 構的範疇,其歸屬於非結構物。在進行結 構設計時,通常不會將非結構物的耐震設 計考量進來,也因此忽略了非結構物設備 之耐震能力對於建築結構整體功能的影響。

美國消防協會 NFPA 所制訂的 NFPA13 規 範[1],為設備物最早的耐震設計規範,對 於消防撒水系統(Fire Protection Sprinkler Piping System)之管線耐震支架有所規定, 說明可透過採取適當的構件來降低管線與 樓板之間的相對位移,以避免建築物與管 線因相對位移而造成傷害,這些構件包括: (1) 撓性接頭(Flexible Couplings); (2) 地震 隔離元件(Seismic Separation Assembly);(3) 預 留 之 間 隙 (Clearance); (4) 管 路 支 撑 (Piping Support); (5) 斜撑(Sway Bracing)[1]。 NFPA13 規範中針對耐震斜撐(Seismic Bracing)有詳細說明,但並未說明其與管線 或建築結構之連接方式。因此,國家地震 工程研究中心依據 NFPA13 進行消防撒水 系統之研究[2-4],結果指出耐震斜撐之連 接裝置(Attachment)發生破壞,導致整體耐 震能力降低。本文針對市售之連接裝置進 行試驗,並使用 ABAQUS 有限元素分析 軟體進行數值分析,透過比對試驗與分析 結果探討連接裝置之受力行為及破壞模式。

<sup>1</sup> 國家地震工程研究中心專案助理研究員

<sup>2</sup> 國家地震工程研究中心研究員

<sup>3</sup> 國家地震工程研究中心助理研究員

<sup>4</sup> 國家地震工程研究中心佐理研究員

<sup>5</sup> 國家地震工程研究中心專案佐理研究員

<sup>6</sup> 國立台北科技大學土木工程系教授

<sup>7</sup> 國立台北科技大學土木與防災研究所碩士

### 二、單軸試驗



圖1連接裝置

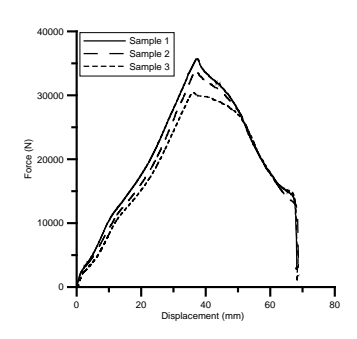


圖 2 受拉分析與試驗之力與位移關係圖



圖 3 受拉試驗之破壞模式

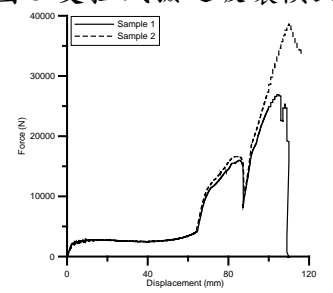


圖 4 受剪試驗之力與位移關係圖



圖 5 受剪試驗之破壞模式

# 三、有限元素分析

本文使用 ABAQUS 有限元素分析軟體進行數值模擬,將比對受拉分析與受拉試驗結果,並經模擬預測斜 45 度角分析結果,圖 6 為 45 度角拉力示意圖。

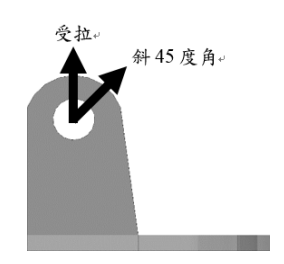


圖 6 連接裝置受兩方向負載示意圖

#### 3.1 連接裝置受拉分析

受拉分析之數值模型如圖7示,模型中只包含本體、螺栓和螺栓墊片,其餘構件之剛性相對較大,皆以串聯之線性彈簧考慮於模型中,另外定義一未知構件剛性調整系統中之初始剛性。各構件以一般鋼材進行線彈性分析求得彈簧常數列於表 1。

連接裝置材料為 ASTM A36,螺栓材料為高強度鋼 ASTM A325,假設螺栓墊片材料為降伏強度 350MPa 之一般鋼材。先透過比對受拉分析結果與受拉試驗結果,取得一組滿足實際受拉行為的材料參數,再進行後續各個分析,本研究僅考慮連接裝置受力後之彈塑性行為。

圖 8 為受拉分析之拉力與位移關係,同時與受拉試驗之結果比對,可知使用此分析之數值參數可獲得與試驗近似之結果。 圖 9 為其應力與應變分佈,可觀察到本體 底部與兩側交界處有較大之應力與應變, 與試驗結果撕裂破壞發生位置相同。 ASTM A36 之延伸率約為 20%,假設當局 部區域之主應變達此延伸率時即發生局部 破壞,此時對應之外力定義為連接裝置抵 抗外力的能力,後續將以此作為判斷連接 裝置性能的依據。圖 10 為受拉分析 A 點 主應變與拉力之關係圖,由圖中可知當主 應變為 20%,其對應之外力值約為 19000N。

表 1 受拉分析模型各構件之彈簧常數

力維ルン理祭告和				
各構件之彈簧常數				
構件	彈簧常數(N/mm)			
T型 夾具 (K <sub>F</sub> )	127951			
連接本體與套筒之螺栓 (K <sub>LB</sub> )	246697			
套筒 (K <sub>S</sub> )	657560			
未知構件 (K <sub>Art</sub> )	2475			



圖7受拉分析數值模型

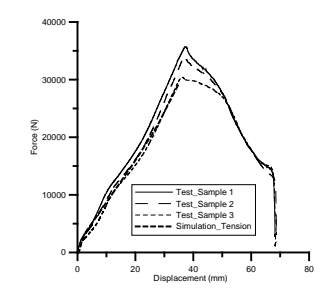
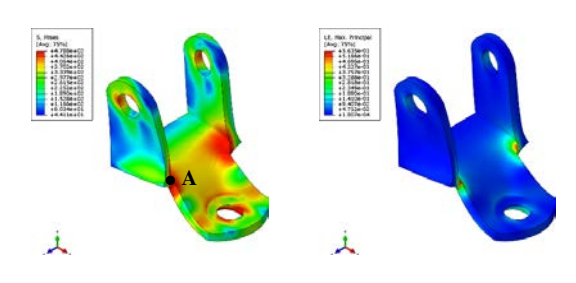


圖 8 受拉分析拉力與位移關係



(a) 等效應力分佈

(b) 主應變分佈

圖 9 受拉分析應力與應變分佈圖

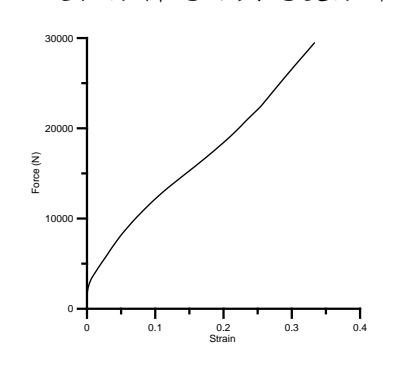


圖 10 受拉分析斷裂點主應變與拉力關係

#### 3.2 連接裝置斜 45 度角受拉分析

耐震斜撐之安裝常與建築結構之樑柱 夾一角度,由於施工上之考量,安裝時可 能為正 45 度角或負 45 度角,如圖 11 所 示。

圖 12 為 45 度角受拉分析之拉力與位移關係,由結果得知連接裝置安裝為負 45 度角時具有較大之拉力,且其剛性亦較高。圖 13 和圖 14 分別為正向與負向之應力與應變分佈,可觀察到除了本體底部與兩側交界處之外,螺栓鎖固處問圍亦有較大之應力與應變,預估破壞發生位置與受拉相似。圖 15 為正負 45 度角受拉斷裂點主應變與拉力之關係圖,由圖中可知當主應變為 20%,其對應之外力值分別約為 14500N和 20000N,由此亦可知負 45 度角可承受較大之外力作用。

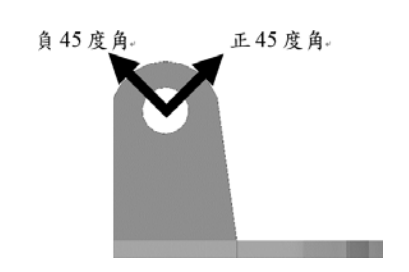


圖 11 連接裝置受 45 度角拉力示意圖

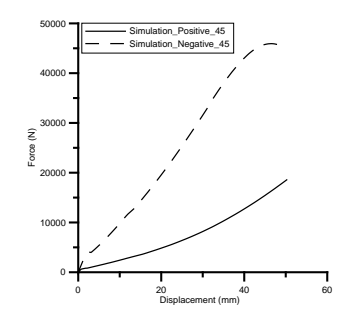
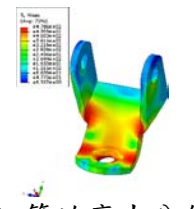


圖 12 45 度角分析拉力與位移關係

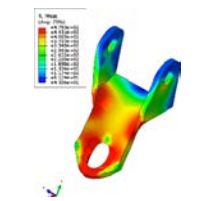


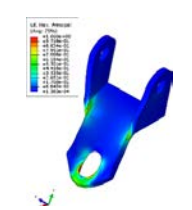


(a) 等效應力分佈

(b) 主應變分佈

圖 13 正 45 度角分析應力與應變分佈圖





(a) 等效應力分佈

(b) 主應變分佈

圖 14 負 45 度角分析應力與應變分佈圖

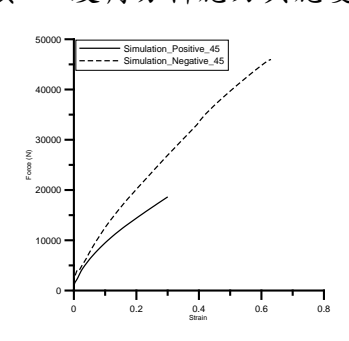


圖 15 正負 45 度角分析斷裂點主應變與 拉力關係

#### 3.3 結果與討論

依據原始設計之連接裝置進行三個方向拉力分析,從結果中可知連接裝置破壞將發生於本體底部與兩側交界處或螺栓鎖固周圍。表 2 為 A 點之主應變為 20%對應之外力結果,由此可瞭解連接裝置安裝之方向與其承受外力之能力有關,經比較得知連接裝置安裝方向為負 45 度角時具有較佳之能力,而其方向為正 45 度角時之能

力最差。因此,採用此市售連接裝置連接耐震斜撐時,建議以負45度角方向為佳。

表2A點之主應變為20%對應之外力

連接裝置受力方向	可能斷裂點主應變為20%對應之外力(N)
受拉	19000
正45度角	14500
負45度角	20000

### 四、結論與展望

# 參考文獻

- NFPA 13, "Standard for the Installation of Sprinkler Systems 2013 Editon", National Fire Protection Association, Quincy, Massachusetts.
- 2. 黃振綱,「醫院消防撒水系統接頭耐震 行為之研究」,碩士論文,台灣大學土 木工程學系研究所,台北(2013)。
- 3. 林震宇、柴駿甫、張國鎮、林凡茹、王 鑑翔、黃振綱,「醫院常用消防管線系 統之耐震行為實驗研究」,中華民國第 十二屆結構工程研討會暨第二屆地震 工程研討會,高雄(2014)。
- 4. Lin, F.R., Chai, J.F., Lin, Z.Y., Wang, J.X., Chang, K.C. and Liao, W.I., "Shaking Table Tests for Seismic Improvement of A Typical Sprinkler Piping System in Hospitals", 5th Asia Conference on Earthquake Engineering, Taipei, Taiwan (2014)

# 高雄美濃地震-高科技廠房非結構勘查報告

柴駿甫<sup>1</sup> 林凡茹<sup>2</sup> 林震宇<sup>3</sup> 賴姿好<sup>4</sup> 王鑑翔<sup>5</sup>

#### 摘要

近年來發現因地震所造成的生命財產損失,已從建築物本身轉為建築物內非結構系統的損壞,且非結構並不屬於抗震結構系統,因此破壞情形更為顯著。本團隊藉由 2016年 02月 06日發生於高雄美濃之地震,勘查高科技廠房內各項非結構構件,歸納出於高科技廠房內較常見之非結構破壞模式與需補強之非結構元件,勘查結果提供各單位於補強時之建議與方向,期降低日後地震來襲時非結構構件之損傷。

關鍵詞:非結構、震後勘查

### 一、背景說明

近年來發現因地震所造成的生命財產 損失,已從建築物本身轉為建築物內的非 結構系統的損壞,且非結構並不屬於抗震 結構系統,因此破壞情形更為顯著。故 除了增強建築物本身的防災能力,非結構 物件的耐震也日益重要。比起一般結構 物,許多重要結構物設施的耐震性能又格 外重要,如科技廠房、電廠、學校、醫院、 防空避難所等,若其中非結構構件受損導 致結構物功能性喪失,則此類重要結構物 將難以發揮本身應有之功能。

### 二、勘查項目

本次勘查項目主要針對震後損傷以及 常見未補強之非結構物進行介紹,主要可 分為非結構未固定於一般樓地板或未固定 於高架地板、桌上型設備未固定、高危險 氣體鋼瓶未固定、管線系統未固定、天花 板系統額外載重考慮、輕隔間牆未補強等。

# 三、非結構未固定於一般樓地板

此為最常見非結構未補強之型式,其 中又可分為一般設備物、一般設備物貨架 型式、一般設備物底部有防漏盤、橡膠隔 震墊與彈簧避震器、光學桌等。

#### 1. 一般設備物

本節所指之「一般設備物」代表設備底部藉由其原支承直接平放於一般樓地板上之形式,已於側邊增設耐震擋板之一般設備亦屬於此類。圖 1為常見未補強之一般設備物。圖 2為設備物於地震後位移且擋

<sup>1</sup> 國家地震工程研究中心研究員

<sup>2</sup> 國家地震工程研究中心助理研究員

<sup>3</sup> 國家地震工程研究中心佐理研究員

<sup>4</sup> 國家地震工程研究中心專案助理研究員

<sup>5</sup> 國家地震工程研究中心專案佐理研究員

#### 板破壞之案例。





圖1 一般設備物未固定





圖2 無塵室之設備位移與擋板破壞

#### 2. 一般設備物貨架形式





圖3 一般設備物貨架型式未固定

#### 3. 一般設備物底部有防漏盤

底部有防漏盤之一般設備物,補強方式原則上與一般設備物相同,但由於底部防漏盤無法鑽孔,因此補強擋板或 Z 型擋板需從防漏盤外側樓板延伸至設備物內,才能有效發揮其功能。圖 4為補強 Z 型擋板之型式,另需檢核擋板強度與數量是否足夠。





圖4 一般設備物底部有防漏盤之補強

#### 4. 橡膠隔振墊與彈簧隔振器







圖5 空調設備尚未加裝減震器





圖6 冰水主機彈簧隔振器破壞

#### 5. 光學桌

光學桌為高科技廠房內常見之設備物,但多數之光學桌設備並無設置抵抗地震力之措施。圖 7為光學桌未固定於地板之類型。







圖7 光學桌未固定

# 四、高架地板

科技廠房內裝設高架地板為相當常見 之型式,然而放置於高架地板上之設備 物,其耐震措施應考量兩層次,其一為高 架地板系統之耐震性能,其二為其承載設 備之固定方式。









圖8 設備錨定於高架地板

#### 五、桌上型設備未固定

桌上或櫃內之內容物的耐震固定措施,應避免使其於強震中因桌子滑動、櫃子晃動而劇烈搖晃、位移、傾倒或掉落至樓地板面。圖 9為桌上設備未固定之案例,需與桌面固定防止掉落。

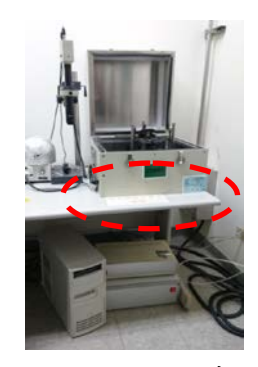




圖9 桌上設備未固定

### 六、高危險之氣體儲存鋼瓶

較高危險性之氣體鋼瓶,可使用鎖鏈或是固定座來固定鋼筒上下部兩端於牆面立柱上,使地震來時,鋼瓶不會傾倒翻覆。圖 10為自動滅火系統鋼瓶於地震過後發生位移情形,若位移過大可能發生鋼瓶外洩之情況。圖 11為存放於戶外之鋼瓶框架,需與地面進行固定。







圖10 自動滅火系統鋼瓶位移





圖11 戶外-鋼瓶框架需固定

### 七、管線

管線主要受損處為立管與水平管線改變流向處,其評估重點包括支承構件與耐震斜撐構件,以及是否維持適當的柔性預防挫屈。圖 12圖 13為管線未固定之案例。







圖12 消防管線需固定



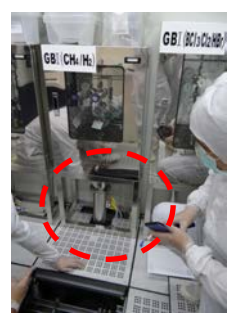


圖13 靠牆設立之管線座需固定

# 八、天花板與隔間牆

科技廠房內之天花板為無塵室天花板,且由於需配合下方儀器之設置,經常有各種管路與儀器懸掛於天花板上,因此天花板檢核需考慮額外附載之重量。圖14為天花板懸吊管路與儀器之案例。









圖14 天花板懸吊管路與儀器

科技廠房內之輕隔間牆經常需用來固 定儀器設備,此時建議需錨定於隔間牆立 柱上,且隔間牆立柱必須補強使其與頂層樓板相連,防止地震力造成隔間牆破壞。 圖 15為儀器、設備安裝於輕隔間牆上之案 例。





圖15 設備物錨定於輕隔間牆上

# 九、結論與展望

近年來地震過後結構損傷已越來越少,因此非結構的破壞相對受到重視,尤以許多重要建築如醫院、核電廠、高科技廠房等,許多非結構構件震後發生破壞,雖不傷及人命,但往往使該建築喪失原有功能,或是須花費相當龐大經費復原,因此,若能於地震前將維持建物機能之重帶來之損傷。

本次勘查除受損處外,亦勘查許多未補 強之非結構設備,勘查結果提供各單位於 補強時之建議與方向。然非結構物種類繁 多,許多支承較多、形狀較為特殊之儀器、 設備,需額外進行評估,方可確保安全。

# 參考文獻

 柴駿甫、黃震興、劉光晏、翁元滔、 蕭輔沛、邱聰智、林凡茹、林震宇、 王鑑翔、張洵, "醫院耐震評估補強 準則之研擬 (III)",國科會專題研究 計 畫 成 果 報 告 , NSC 102-2119-M-492-003,2014。

# 電廠管線法蘭接頭之力學分析與試驗驗證

柴駿甫<sup>1</sup> 吳文方<sup>2</sup> 林凡茹<sup>3</sup> 賴姿好<sup>4</sup> 徐瑋鴻<sup>4</sup> 呂宥勳<sup>5</sup>

#### 摘要

本研究旨在探討電廠管線系統之洩漏問題,並重點於檢視系統法蘭接頭墊片變形對螺栓預力行為之影響;此外,亦特別以螺栓失去夾持力作為失效指標,探討美國機械工程師學會(ASME)鍋爐與壓力容器委員會所頒佈管線接頭強震洩漏規範力矩的適用與合理性。本研究主要分為兩部分,第一部分執行簡化電廠餘熱移除系統之耐震與洩漏試驗,探討法蘭接頭的洩漏問題;爾後,繼續針對法蘭接頭關鍵元件進行試驗,瞭解墊片的受力行為,同時探討動態試驗下螺栓預力衰退現象。第二部分則將墊片的受力變形行為引入數值分析模型中,並將分析結果與試驗結果比對,再將其結果導入前述管線系統耐震試驗結果所建構之數值模型中,探討管線元件試驗及振動台試驗之可信度,並依數值分析結果,探討美國機械工程師學會法蘭密封設計規範於案例管線段於擬靜態試驗中的適用性。

關鍵詞:管線系統、耐震、法蘭接頭、洩漏、螺栓夾持力、墊片

### 一、前言

管線系統通常用於運輸氣體與液體等媒介,而管線間通常透過銲接、法蘭接頭對鎖安裝連結形成一管線系統。為確保管線系統之功能與結構完整性,工程師須確保其密封性,避免管線破損或洩漏等導致意外發生,而根據國內外電廠相關檢測紀錄與案例歸納,管端接頭為最常發生前遊劣化之處。

本報告以電廠餘熱移除(RHR)系統中一管線段作為探討對象,該段管線因含有重量較重之馬達驅動閥(MOV),發生地震時,可能承受較大慣性力而引致破壞寒人探討該管線段,特別為接頭在地震深入探討該管線段,特別為接頭在地震等線投票的密封性與動態反應;本研究特別探討先前針對 RHR 管線接頭測試發現未達 ASME 允許力矩即發生洩漏之原因,研究方法包括文獻蒐集、比對及建構與驗證符合試驗結果之力學分析模型,且包含管線整體接頭及其關鍵元件之試驗與分析。

# 二、基礎理論

#### 2.1 管線系統設計要求

1 國家地震工程研究中心研究員

為確保管線之結構完整性,ASME 將電廠管線設計要求區分為 A、B、C、D四個等級,其中 D 為最嚴重之設計負荷等級。各等級使用情境與目的經整理如表一所示,通常可由電廠設計規格書獲得各等級所對應之設計載重組合。

表一 ASME 對各級電廠管線之使用限制

使用 限制	使用情境	使用目的
A 級	正常運轉情況	正常使用功能
B級	運轉基準地震(OBE)	防止元件及支承需修補 的損壞
C級	結構不連續區、且發 生較大變形	防止造成顯著結構物整 體性喪失,且此變形需 進行修補
D級	安全停機地震(SSE)	防止過度損毀,且管線 系統可修補

#### 2.2 法蘭密封設計

法蘭接頭由法蘭對、螺栓及墊片三部分組成,其中,螺栓鎖於法蘭上,使法蘭壓緊墊片而達到密封效果。ASME 規範[1] 視洩漏為法蘭主要失效模式,當外力矩施加於法蘭時,Kellogg[2]以壓力平衡為前提,建立之力學分析模型如圖一所示。當

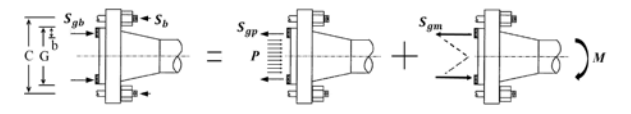
<sup>2</sup> 國立台灣大學機械工程系教授

<sup>3</sup> 國家地震工程研究中心助理研究員

<sup>4</sup> 國家地震工程研究中心專案助理研究員

<sup>5</sup> 國立台灣大學機械工程系研究生

力矩增加致使法蘭達洩漏臨界點時,螺栓預力 $(S_b)$ 傳遞給墊片的應力 $(S_{gb})$ 、管內壓(P)傳遞給墊片的應力 $(S_{gp})$ 與外力矩(M)傳遞給墊片的應力 $(S_{gm})$ 應達平衡,其關係式如下:



圖一 法蘭接頭墊片之力平衡[2]

$$S_{gb} = S_{gp} + S_{gm} \tag{1}$$

$$\frac{S_b A_b}{\pi G b} = \frac{P A_p}{\pi G b} + \frac{M}{\frac{\pi}{4} G^2 b}$$
 (2)

$$M = \frac{G}{4} (S_b A_b - PA_p) \tag{3}$$

其中,式(1)為應力平衡關係式,式(2)為墊片應力與螺栓應力、內壓和外力矩之關係式,最後,式(3)為法蘭可承受之最大力矩,亦即當外力矩超過此估算值時,會造成管線洩漏。

ASME 規範針對法蘭設計以式(3)為基礎,考量法蘭材料及螺栓強度,但另以式(4)作為前述等級 A/B 之使用限制,式(5)作為等級 C/D 之使用限制。

$$M \le 21.7CA_b(\frac{S_y}{250}) \tag{4}$$

$$M \le \left[78.1A_b - \frac{\pi}{16}G^2P\right]C\left(\frac{S_y}{250}\right) \tag{5}$$

其中,Ab為螺栓面積總和,C為法蘭中心 至螺栓孔中心距離,G為法蘭墊片外徑, Sy為法蘭材料之降伏應力。

#### 2.3 結構動力與 Rayleigh 阻尼

結構阻尼主要反應結構振動所耗散之 能量,通常用振動一次能量耗散率來表示 結構阻尼強弱;在多自由度系統中,較常 使用黏滯模態阻尼,包括 Rayleigh 阻尼(亦 稱比例阻尼)為廣泛被採用的一種正交阻 尼,其數學表達如下:

$$[C] = \alpha[M] + \beta[K] \tag{6}$$

其中,[C]為系統阻尼矩陣,[M]為系統質量慣性矩陣,[K]為系統勁度矩陣,而 $\alpha$ 與 $\beta$ 則為比例常數。

在多自由度系統中,系統動態方程式

如式(7),其中{P<sub>t</sub>}為外力向量。藉正交轉換,可轉換成多個獨立方程式如式(8)。

$$[M] \{ \ddot{X} \} + [C] \{ \dot{X} \} + [K] \{ X \} = \{ P_t \}$$
 (7)

$$\left\{ \ddot{\xi} \right\} + 2\zeta_{i}\omega_{i}\left\{ \xi \right\} + \omega_{i}^{2}\left\{ \xi \right\} = \left\{ P \right\} \tag{8}$$

其中,{ξ}為結構轉換座標中的位移,ξ;為 非耦合模態中阻尼比例,ω為系統自然頻 率,P為轉換座標中作用力。正交轉換中, 若阻尼矩陣、質量慣性矩陣及勁度矩陣呈 比例分佈時,可將阻尼項次縮寫並透過對 角線上之對稱性,將第 i 項自由阻尼改寫 成式(9),簡化成特定頻率下之阻尼比例。

$$\zeta_i = \frac{\alpha}{2\omega_i} + \frac{\beta\omega_i}{2} \tag{9}$$

根據 Chowdhury[3],可選取第 1 與第 i 項重要模態,依據式(9)設定阻尼比例,爾 後得到比例常數  $\alpha$  與  $\beta$ 。

# 三、RHR 管線相關試驗與力學分析 3.1 RHR 管線系統關鍵配置試驗

管線系統之關鍵配置試驗以擬靜態進行管線四點彎矩加載,主要以油壓致動器透過夾具施力於管線試體,如圖二(a)所示。試驗過程中,試體產生變形,經由線性推估,所受之力矩未達到式(5)中 ASME規範上限,而管線法蘭接頭已發生洩漏,其數據比較如表二所示。

表二 試驗洩漏力矩與規範允許力矩比較

Leakage moment from Test	150 kN⋅m
Allowable moment by ASME code	352 kN⋅m

#### 3.2 法蘭接頭元件試驗

法蘭接頭之元件試驗係參考前述管線 系統之關鍵元件測試,依據法蘭接頭線性 變形之假設,將加載過程之彎矩轉換為法 蘭局部所受之軸向力,再利用萬能試驗機 透過夾具將外力加載於法蘭接頭上,試驗 配置如圖二(b)所示。加載過程中,可觀察 螺栓夾持力衰退之現象,而夾持之關鍵元 件包含上下兩層法蘭墊片、流量計及螺栓。

#### 3.3 管線系統試驗

本試驗採用電廠內足尺管線系統進行振動台動態試驗。主要係將管線系統原本

連接圍阻體處及樓板處透過構架及轉接板連接至振動台面,爾後於振動台輸入一定之為實歷程,並於管內維持 7 kgf/cm² 水壓之為水狀態。整體試驗系統如圖二(c)所示,包含管線、法蘭/頸縮接頭與模擬 MOV 之三為管與質量塊。試驗時,將地震測試底部及通振動台及其側向構架傳遞至管線底建模過振動台及其側向構架傳遞至管線底模並分析管線系統與關鍵元件相關力學行為。



(a) 管線系統關鍵配置



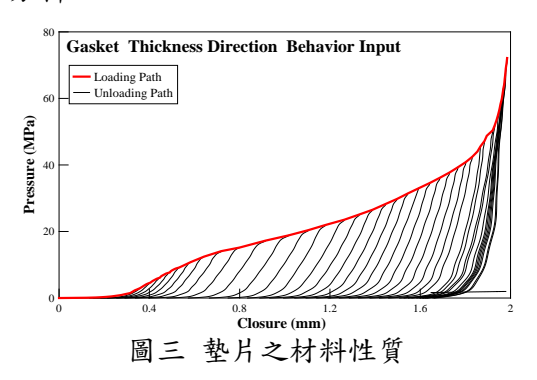
(c) 管線系統試驗

統試驗 (b) 法蘭接頭元件 圖二 試驗配置圖

#### 3.4 力學模型建構與分析

#### 3.4.1 墊片力學模型

針對法蘭接頭關鍵元件之墊片,依據 材料試驗結果將墊片受力與變形關係找 出,如圖三所示;而在有限元素模型(FEM) 之建構,本研究將墊片之幾何形狀簡化, 並選用單層網格之元素 GK3D18 進行後續 之分析。



#### 3.4.2 法蘭接頭元件模型

法蘭接頭元件之力學分析模型如圖四 (a)所示,墊片採用 3.4.1 節所介紹之模型與 材料性質。其中,綠色部分為墊片,紅色

#### 3.4.3 關鍵配置試驗模型

管線系統關鍵配置試驗建構之實體元素模型如圖四(b)所示,其中螺栓比照試驗量測值,設定其預力為76,741N;實體夾具處模擬致動器施加之位移;兩致動器與管線間及螺帽與法蘭接頭面皆為可分離之接觸,兩側邊界條件比照試驗中之設定束制之;墊片採用前述GK3D18元素,其餘皆使用C3D8R縮減積分元素;在螺栓及墊片部分採用較細緻之網格。

#### 3.4.4 管線系統模型

管線系統整體模型如圖四(c)所示,模型中各元件銲接部分以「Tie」指令設定之,法蘭與螺栓螺帽間及墊片與法蘭明接設定為可分離之接觸。而管線段使用二次縮減積分殼元素 S8R,厚度方向有5個積分點;螺栓、螺帽及法蘭接頭皆使用二次縮減積分實體元素 C3D18R;墊片使用二次墊片元素 GK3D18,建置單層網格設定上,墊片具有較細緻之網格設定上,墊片有1,128個元素,而整體管線共包含29,748個元素。

模型邊界由側邊入圍阻體處的轉接板及系統與底部耦合之處,透過設定多方向彈性彈簧(模擬邊界荷重計),並於連結點輸入地震波,利用位移邊界條件控制,阻尼部分採用 Rayleigh 阻尼。

依據圖五之模態分析結果,並參考式 (9),取模型中第 1 及第 11 模態自然頻率,分別為 7.73 及 88.4Hz 所標定之阻尼比 2%作為依據,可得  $\alpha$  與  $\beta$  分別為 1.79 與 6.6×  $10^{-5}$ ,各頻率下阻尼比分佈如圖六所示。



(a)法蘭接頭元件

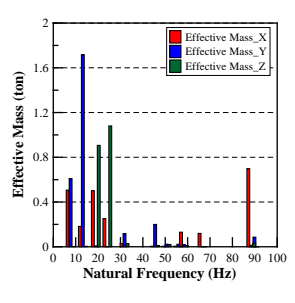


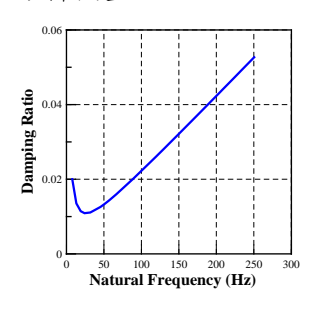
(b)管線系統關鍵配置



(c)管線系統

圖四 數值分析模型





圖五 模型自然頻率 及有效質量分佈

圖六 阻尼比分佈圖

#### 3.5 模型分析與試驗結果比對

### 3.5.1 法蘭接頭元件模型分析與試驗結果 比較

當法蘭接頭受壓承載時,墊片受到擠壓,並因其形變恢復力降低,而造成螺栓夾持力降低,可推論螺栓預力喪失與墊片 形變極為相關。

### 3.5.2 管線系統關鍵配置模型分析與試驗 結果比較

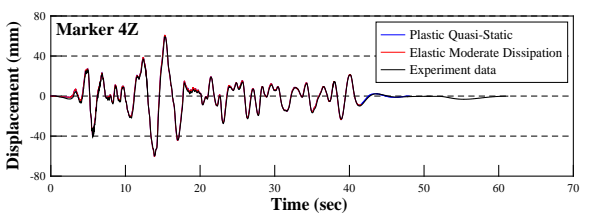
模擬分析中,施加法蘭接頭兩側於試驗量測到之力矩,同時施加所量測之最外側兩顆具有最大螺栓夾持力(頂部與底部)之歷時變化,並以螺栓夾持力降至 0 作為鬆脫指標。模擬結果亦發現,管線在法蘭接頭承受 152 kN-m 力矩下開始產生鬆脫,與試驗所得之 150 kN-m 相當吻合;但若與前述數值依據 ASME 規範所估算之洩漏力矩比較,則存有差異,如表三所示。

表三 洩漏力矩對照

12000	••
Leakage moment from FEM model	152 <i>kN</i> ⋅ <i>m</i>
Allowable moment by ASME code	352 <i>kN</i> ⋅ <i>m</i>

#### 3.5.3 管線系統模型分析與試驗結果比較

本研究將分析所得相關位移與試驗中相同處 NDI 量測點所得位移相互比較(如圖七),顯示模擬分析結果大致準確,符合管線動態反應。



圖七 量測點之位移比較

# 四、結論與展望

元件與振動台試驗結果皆顯示, 法蘭 接頭受到外力時,螺栓預力會逐漸衰減; 本研究特別找出法蘭鬆脫主要原因於止漏 墊片之變形。而 ASME 規範旨在防止管線 系統法蘭接頭在特定運轉條件下產生洩 漏,但透過試驗與分析皆發現,造成洩漏 原因並非該規範建議公式所能預期,極可 能為強震使螺栓夾持力逐漸衰退,導致接 頭鬆脫。由模擬與試驗所獲結果可知,墊 片變形為一狀態函數,其變化主要來自墊 片中石墨夾層厚度方向之變形。ASME 規 範所載公式以法蘭接頭幾何與材料參數為 依據,藉以換算出一力矩;但隨墊片永久 變形,抵抗外力負載能力逐漸變差,ASME 可能未預期法蘭接頭失效,亦可能未顧及 到墊片變形。無論如何,本研究所建構的 墊片數值模型可準確預測法蘭接頭於未達 破壞前的鬆脫,同時可發現此類墊片之管 線接頭構件中,螺栓夾持力衰退機制主要 來自剛性較低墊片的變形,亦可反映螺栓 夾持力衰退的現象。

# 參考文獻

- [1] ASME, Rules for Construction of Nuclear Power Plant Components, ASME B&PV Code, Section III Div. 1, Subsection NB, Class 1 Component, 2007 Edition.
- [2] M.W. Kellogg, *Design of Piping Systems*, Wiley, New York, 1956.
- [3] I. Chowdhury and S.P. Dasgupta, Computation of Rayleigh Damping Coefficients for Large Systems, Department of Civil Engineering, Indian Institute of Technology, 2013.

# 電廠餘熱移除管線系統之振動台耐震性能試驗

柴駿甫<sup>1</sup> 黃尹男<sup>2</sup> 林凡茹<sup>3</sup> 張長菁<sup>3</sup> 賴姿好<sup>4</sup> 張文婕<sup>5</sup>

#### 摘要

Huang, Whittaker 與 Luco 等人綜合電廠既存的機率式地震風險評估(Seismic Probabilistic Risk Assessment, SPRA)方法與地震工程學界耐震評估上的新作法,發展出一套新的 SPRA 方法(簡稱 HWL-typed SPRA),其中包含五個步驟,分別為(一)、系統分析及元件易損性分析,(二)、危害度分析,(三)、結構動力歷時反應分析,(四)、元件損傷評估,(五)、地震風險量化計算。本研究針對元件易損性分析進行探討,在建立元件易損性曲線之程序上,以實驗方式評估數值模型與數值分析之合理性,再以數值分析方式建立以元件反應為參數之易損性曲線。本報告以案例電廠之餘熱移除(Residual Heat Removal, RHR)管線系統為例,對 RHR 管線系統進行振動台耐震性能試驗,後續以試驗資料建立可靠之數值模型,藉由多筆管線數值模型之非線性動力歷時分析資料,建立 RHR 管線系統以元件反應參數為函數之地震易損性曲線。

關鍵詞:餘熱移除管線系統、振動台試驗、元件易損性分析

### 一、前言

核電廠耐震安全評估為整體核能安全 所不能忽視之課題,而機率式地震風險評 估(SPRA)已被認可為估算電廠因地震風險可 為估算電廠因地震而等 致爐心受損之年平均超越頻率的可法, 對案例電廠中之關鍵系統進行評估, 對案項目為進行餘熱移除(RHR)管線 無動台耐震性能試驗,爾後根據試驗 建立與值模型,建立以一人 建立 數之地震易損性曲線 之差異。 數之地震易損性曲線 數之地震易損性 曲線之差異。

# 二、文獻回顧

2001年,美國核能管制委員會(USNRC) 與日本核能安全組之(JENS)合作委託哥倫 布工程力學總公司(EMCC)及布魯克海文 國家實驗室(BNL)發表報告書 NUREG/CR-7015[1],對已有裂縫之管線段進行四點彎矩反覆載重試驗與有限元素軟體模擬,了解核電廠中經歷地震造成損害之管線於強震下漏水情形與裂縫發展行為。

2007 本 於 年發生之 Niigatakenchuetsu-Oki 地震的最大加速度 為 Kashiwazaki-Kariwa 電廠設計最大加速 度之 1.1~3.6 倍, 遠高過設計容許值, 因此 Carsten Block[2]等人為了解電廠中餘熱移 除系統在震後是否受到損傷,以 ROHR2/R2STOSS 有限元素分析軟體分析 此管線系統於該地震下受震情形,由分析 結果得之三通管處受到最大之應力,將分 析結果以德國規範 KTA3211.2 code class A2/A3(service level D)評估此管線系統之 損傷情形,可知此餘熱移除系統於 Niigatakenchuetsu-Oki 地震之反應皆在容 許範圍內。

為了解電廠中管線系統之受震行為, Izumi Nakamura[3]等人進行受損管線元件

<sup>1</sup> 國家地震工程研究中心研究員

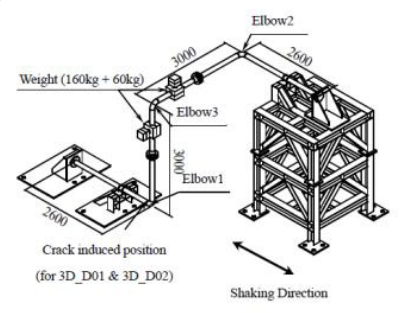
<sup>2</sup> 國立台灣大學土木工程系教授

<sup>3</sup> 國家地震工程研究中心助理研究員

<sup>4</sup> 國家地震工程研究中心專案助理研究員

<sup>5</sup> 國立台灣大學土木工程系研究生

之反覆載重試驗及老舊管線系統之振動台 試驗,其試驗配置如圖一所示。管線受損 方式分別為管壁變薄及管線內壁局部裂 縫,由試驗結果得知管線之破壞模式多數 為於彎管處弧向之降伏與破裂,並得知相 較於管內壁裂縫,管壁變薄對管線勁度影 響較大。



圖一 管線系統震動台試驗配置

# 三、RHR 管線系統震動台試驗設計 3.1 試驗管線系統選定依據

依據案例核電廠之終期安全分析報告 (FSAR)可知,影響爐心熔毀風險貢獻最大 之事故序列中,獨立電源消防補水系統 (ACIWA)失效為導致爐心熔毀最終主因。 在 ACIWA系統中,又以 RHR 管線破裂為 各元件中之風險增加當量值(RAW)最高。 本研究以 RHR 管線系統為研究對象,並擷 取系統中鄰近一次圍阻體外的管線段作為 試驗範圍,進行振動台耐震性能試驗。

#### 3.2 餘熱移除管線系統功能說明

餘熱移除(RHR)系統為反應爐緊急爐心冷卻系統(ECCS)之一支線系統,主要在反應爐發生喪失冷卻水事故(LOCA)時,供給反應爐緊急冷卻水,此外,尚具有圍阻體噴灑、反應爐衰變熱移除、抑壓池冷卻與燃料池冷卻等功能,目的為吸收爐心釋放出的衰變熱,降低抑壓池水溫,提供核能機組停機後爐心及某些特定設備物/系統冷卻功能。

餘熱移除(RHR)系統於平常情況下為關閉狀態,需於緊急事故發生時(例如:全黑事件,SBO)才會啟動。管線內平時含有除礦水,水溫約為攝氏35度左右。

#### 3.3 試驗管線段介紹

試驗範圍包含穿越樓板之導板支撐架(GUD)束制端(高程為 EL+9.1M)至進入一次圍阻體(RCCV)穿越段(Penetration)(高程為 EL+14.61M)前之管線與設備,分別為Class 1 及 Class 2 安全等級。

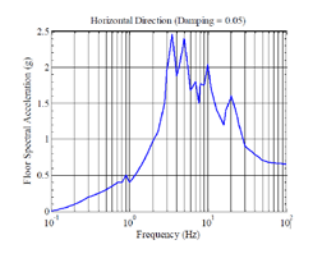
本試驗範圍之餘熱移除管線系統所包含設備物有法蘭接頭、頸縮接頭、三通管、各式支撐架與閥門。管線材料均為 ASME SA333 Gr6(低溫碳鋼),管徑與管厚主要由D300 SCH40、D250 SCH40 與 D250 SCH80 三種不同斷面尺寸組成。管線與管線間及管線與設備物間主要連接方式為銲接,並利用倒角 37.5 度且全滲透方式,符合ASME/ANSI B16.25-1979 規範及通過RT(放射線燃料)非破壞檢核。

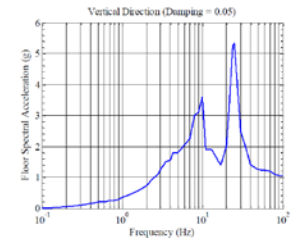
#### 3.4 試驗測試波建立

本研究中,管線系統所在樓板處之加速度歷時係利用 SAP2000 建立本試驗管線段所在之反應爐廠房(RB)集中質量數值模型,並將所選取適當之地震記錄作為輸入歷時,進行動態歷時分析後取得所在樓高位置之樓板反應,並考量 EPRI-NP-6041中規定管線阻尼比採用 5%。

其中兩筆地震力來自美國 PEER 資料 庫,將其輸入至反應廠房(RB)集中質量數 值模型後,可得到該樓板之加速度歷時, 並配合 SSE 地震力下之樓板反應譜(如圖 二),將樓板加速度歷時轉換為符合樓板反 應譜之加速度歷時,作為振動台輸入波。 另外挑選兩筆台灣 331 地震,分別為礁溪 清玉宮測站(ILA057)與礁溪鼻頭國小測站 (TAP070)之地震歷時,以三種方式將地震 加以修正後作為輸入波,如表一所示。方 法一為地震歷時之最大加速度縮放至案例 電廠SSE地震下之最大加速度0.4g後輸入 至反應廠房集中質量數值模型中得到樓板 加速度歷時;方法二為將地震歷時轉換為 案例電廠地表設計反應譜相符之地震歷 時,再輸入至反應廠房集中質量數值模型 中得到之樓板加速度歷時;方法三為地震 歷時輸入至反應廠房集中質量數值模型

中,得到樓板加速度歷時,並將其轉換為 電廠設計反應譜相符之地震歷時。





(a) 水平反應譜

(b) 垂直反應譜

圖二 管線位置之樓板反應譜

表一 振動台試驗輸入地震波處理

地震歷時	美國 PEER 地		台灣地震 070、IL	-	
地辰歷时	震(EQ346、 EQ1059)	方法	方法二	方法三	
符合電廠設計 反應譜	X	$X^1$	0	X	
符合電廠設計 樓板反應譜	О	X	X	О	

註1:地震力加速度歷時之最大加速度縮放至0.4g

#### 3.5 試驗配置設計

試驗所採用之試體,其管線、法蘭與 頸縮接頭均採用電廠內部設備尺寸與材質 購入組裝,而馬達電動閥門(MOV)部分, 本試驗採用三通管與質量塊模擬之。試體 邊界銲接於轉接板上,轉接板再與荷重計 相接,並將荷重計分別固定於反力構架與 震動台面上,以便於試驗中得到整體試體 之反力行為,其試體配置情況如圖三所示。



圖三 振動台管線試體配置圖

試驗進行中,對管線試體注水,維持 滿水狀態並穩定其水壓,若試體持壓能力 喪失或異常變形,則判定失效。除了反力 構架與水壓控制系統,試驗裝置還包含各 種感測計(如角度計、荷重計、應變計、影 像量測系統、加速規與磁環式位移計)及資

料擷取系統。

振動台試驗中採用一反力構架模擬電 廠管線系統進入一次圍組體處之支承端, 為接近真實束制情況,反力構架之自然頻 率需遠大於管線系統自然頻率,以近似於 剛性。

#### 3.6 試驗步驟

本試驗目的為了解餘熱移除系統於 地震作用下之受力反應,且根據試驗結 果,驗證模型之準確性。於振動台試驗前, 先進行管體拉力試片測驗,確保試體之強 度符合現況需求,而振動台試驗包含白噪 音掃頻(White-noise)及強震下之反應。

餘熱移除管線系統振動台性能試驗分為三個階段,分別為(1)反力構架;(2)反力構架與不含水之餘熱移除管線系統;(3)反力構架與含水之餘熱移除管線系統。

第一階段針對反力構架,為掌握反力構架之基本震動週期,於試驗管線試體裝設前,進行反力構架之白噪音試驗,了解其自然頻率,若勁度不足,可於試驗前進行更正修補。管線試體裝設後,亦進行白噪音試驗,了解管體自然震動週期,作為後續數值分析模型比對之依據。

表二 振動台試驗流程

<b>衣一 掀</b> 期 白 武 微 爪 住				
試驗組別	測試波			
反力構架	White noise_0.5g_XYZ			
	White noise_0.5g_XYZ			
	EQ342×SSE			
	EQ1059×SSE			
ロカ堆加」	ILA057×SSE_Method1			
反力構架+	ILA057×SSE_Method2			
管線試體	ILA057×SSE_Method3			
(含水)	ILA070×SSE_Method1			
	ILA070×SSE_Method2			
	ILA070×SSE_Method3			
	ILA057×SSE_Method3×2 倍			
反力構架+	ILA057×SSE_Method3			
管線試體 (不含水) ILA057×SSE_Method3×2/				

種感測計(如角度計、荷重計、應變計、影 本試驗地震輸入波共有八組,皆依據 像量測系統、加速規與磁環式位移計)及資 SSE 狀態下之強度所設計,並將方法三 (ILA057)之地震波放大兩倍,觀察不同地 震強度下管線系統受震行為,並記錄各項 量測儀器之訊號,其試驗流程規劃如表二 所示。

#### 四、試驗結果分析

本試管線系統振動台試驗並無發生法 蘭接頭螺栓鬆脫而導致洩漏現象,而頸縮 接頭、彎管、三通管及進圍阻體之銲接處 皆無破壞。

#### 4.1 反力構架

經由振動台白噪音掃頻結果,反力構架第一模態為 25.6Hz (X 向),第二模態為 41.2Hz (Y 向)。但因管線試體主要參與模態為 Y 方向,故此反力構架之頻率達到目標所需。

#### 4.2 管線系統頻率比較

由白噪音掃頻結果,含水管線系統與 不含水管線系統整體之模態頻率、阻尼比 和模態方向結果如表三與表四所示。可發 現含水管線整體頻率較不含水管線低,主 要原因為管內重量增加,而導致含水管線 頻率降低。

表三 含水管線系統模態

模態	頻率(Hz)	方向	阻尼比(%)
1	7.4	Y	2
2	10.6	Z	1
3	11.9	X	2

表四 不含水管線系統模態

模態	頻率(Hz)	方向	阻尼比(%)
1	8.0	Y	3
2	11.2	Z	2
3	13.7	X	3.5

### 4.3 管線系統動態反應比較

利用地震力 ILA057×2SSE\_Method3 進行以下含水與不含水管線動態反應比較。加速度部分,將位於管線底部與振動台連接處(Acc-1)、質量塊(Acc-4)與水平彎管(Acc-6)進行比較,其加速度最大值如表五所示。可觀察出在水平彎管處(Acc-6)最大加速度值不含水管線大於含水管線,其原因可能為質量塊重量與管體差異較大,導致水平彎管處產生較大之晃動造成,並 可由水平反應譜中觀察出頻率 8Hz 處(不 含水管線)之反應較 7.4Hz(含水管線)反應 小。

表五 加速度最大值比較(ILA057×2SSE)

(單位:g)	含	水管	線	不信	昏線	
(平位・8)	X	Y	Z	X	Y	Z
管線底部 (Acc-1)	2.2	2.3	3.0	2.5	2.1	2.7
質量塊 (Acc-4)	4.3	3.7	4.4	5.8	3.3	4.0
水平彎管 (Acc-6)	2.6	4.5	5.7	2.8	4.6	5.9

位移部分將法蘭處上緣(NDI#1-3)與 下緣(NDI#1-6)進行比較,其位移最大值如 表六所示。可發現不含水管線之位移較大。

表六 位移最大值比較(ILA057×2SSE)

(單位:mm)	含水	管線	不含水管線		
(十位、11111)	X	Y	X	Y	
法蘭上緣 (NDI#1-3)	19.0	18.2	25.5	23.1	
法蘭下緣 (NDI#1-6)	23.2	20.5	26.1	25.7	

# 五、結論與展望

本研究以案例電廠之餘熱移除管線系統為例,依據易損性分析方法,進行振動台耐震性能試驗,藉由此試驗資料驗證爾後數值模型之準確性,並藉由迴歸多筆數值分析資料建立管線系統之以元件反應參數為函數之易損性曲線。

# 參考文獻

- [1] T.Zhang, F.W.Brust, D.J. Shim, and G.Wilkowski "Analysis of JNES Seismic Tests on Degraded Piping." NUREG/CR-7015, July, 2010, US.
- [2] Block C., Henkel F.-O., and Messerer, W. (2013). "Seismic assessment of a RHR piping system" Smirt-22, 18-23 August, 2013, San Francisco, California, US.
- [3] Nakamura, I., Otani, A., and Shiratori, M. "Failure behavior of piping systems with local degragation under excessive seismic load."

# 傾斜滑動隔震支承之數值模擬與實驗驗證

林致寬 <sup>1</sup> 楊卓諺 <sup>2</sup> 汪向榮 <sup>3</sup> 林旺春 <sup>2</sup> 游忠翰 <sup>4</sup> 張國鎮 <sup>5</sup> 黃震興 <sup>6</sup> 鍾立來 <sup>5</sup>

#### 摘要

在近年來,隔震技術已普遍應用於建築物或橋梁工程,而為了改進隔震效果,且順應隔震系統之需求變化,各種新式隔震器也被提出。本文針對一種新式滑動式支承墊名為傾斜滑動支承(Sloped Sliding Bearing),透過建立其物理模型及數值模擬方法,再經由實驗來驗證模擬方法之正確性。經由數值模擬及實驗均可發現,傾斜滑動支承在一真實地震力下,確實達到相當不錯的隔震效果。其隔震後的加速度反應,可有效地被斜面斜率與滑動面間的摩擦係數所控制。

關鍵詞:隔震、斜面、滑動、振動台

#### 一、前言

隔震技術乃藉由延長建築物的週期, 進而降低建築物的加速度反應,近年來的 研究已證明隔震技術乃一有效降低上傳剪 力之方法,目前國際上發展成熟的隔震支 承墊大致上可分為三大類:(1)類彈簧支承 墊(Elastomeric Bearing),如常用的鉛心橡 膠支承墊(Lead-Rubber Bearing,LRB);(2) 滑動式支承墊(Sliding Isolation Bearing), 如 純 滑 動 式 隔 震 系 統 (Pure Friction System,PFS)、摩 擦 單 擺 系 統 (Friction Pendulum System,FPS);(3)滾動式支承墊 (Rolling-type Bearing),如斜面滾動支承 (Sloped Rolling-type Isolation System)。

在純滑動式隔震系統中,由於滑動面為一平面,故隔震器上傳之剪力為一定值, 且不受到地震組成之頻率與振幅大小影響, 此為純滑動式隔震系統之優點,然而也因 為沒有回復力之貢獻,使的隔震系統不具 有自復位之能力。

摩擦單擺系統即是為了改善上述缺點而演進之隔震系統,其具有摩擦消能機制

為了達到隔震系統之廣泛適用性及解決傳統摩擦單擺隔震系統之缺點,近年來也陸續發展出許多新式的滑動支承墊,Pranesh 等人[1]提出變頻率摩擦單擺隔震系統(Variable Frequency Pendulum Isolator, VFPI),VFPI 相較傳統摩擦單擺系統,在近斷層地震作用下有效降低隔震位移及加速度反應。盧等人[2]將 VFPI 及錐狀摩擦單擺隔震器 (Conical Friction Pendulum Isolator, CFPI)與 FPS 在近斷層地震作用下做一比較,發現 VFPI 與 CFPI 較 FPS 有更佳之隔震效果。熊等人[3]提出了凸面摩擦

<sup>1</sup> 國立台灣大學土木工程學系研究生

<sup>2</sup> 國家地震工程研究中心助理研究員

<sup>3</sup> 國家地震工程研究中心研究員

<sup>4</sup> 國立台灣大學土木工程學系博士生

<sup>5</sup> 國立台灣大學土木工程學系教授

<sup>6</sup> 國立台灣科技大學營建工程系教授

系統(Convex Friction System, CFS),提升 了較傳統隔震系統更好的抗拉能力及自復 位能力,在近斷層地震下有效發揮其隔震 效果。傾斜滑動支承亦在此目的下呼應而 出,保有純滑動式隔震系統不受地震組成 頻率與振幅大小影響之優點,又同時具有 隔震系統之自復位能力。

本研究主要藉由推導傾斜滑動支承其 物理模型,並建立一套數值模擬方法,以 期能更加了解傾斜滑動支承在外力擾動下 其行為與機制,並透過振動台實驗以檢核 數值模擬方法之準確度及傾斜滑動支承在 真實外力擾動下之行為及隔震效果。

### 二、傾斜滑動支承理論

為了瞭解傾斜滑動支承其物理行為, 需要一套合理之方法來模擬該隔震系統在 地震力下之反應,故藉由推導其物理模型 以建構其模擬方法。

本文中隔震系統僅受水平單向震波作用,為了簡化推導做了以下的合理假設: (1)上部結構為剛體;(2)假設地表加速度對正向力的影響微小;(3)忽略受水平單向震波下,其垂直向之反應。(4)考慮庫倫摩擦模型。

現將隔震結構視為一質點(上部結構 簡化為剛體結構,其總質量為M),其變位 情形如圖二所示,其中f為摩擦力,定其 朝正x方向為正, $\ddot{x}_g$ 為地表加速度。

以水平軸為x軸之卡氏座標(Cartesian coordinate system)決定結構之位移向量、速度向量及加速度向量,並分別以 $\bar{X}$ 、 $\bar{V}$ 、 $\bar{A}$ 表示之:

$$\vec{X} = (x_o + x)\hat{i} + \tan\theta \cdot |x|\hat{j}$$
 (2.1a)

$$\vec{V} = (\dot{x}_{g} + \dot{x})\hat{i} + (\tan\theta \cdot \operatorname{sgn}(x) \cdot \dot{x})\hat{j}$$
 (2.1b)

$$\vec{A} = (\ddot{x}_o + \ddot{x})\hat{i} + (\tan\theta \cdot \operatorname{sgn}(x) \cdot \ddot{x})\hat{j}$$
 (2.1c)

其中, $x_g$ 為地表位移,x為結構相對地表位移。由拉格朗日運動方程式(Lagrange's equation)到系統之運動方程式為:

$$M \left( 1 + \tan^2 \theta \cdot \operatorname{sgn}(x)^2 \right) \ddot{x} + Mg \tan \theta \cdot \operatorname{sgn}(x)$$
$$= f \sec \theta - M\ddot{x}_{\varrho}$$

(2.2)

將式(2.2)積分便可得速度與位移方程式之通解,在已知 $t=t_0$ 之起始條件 $x(t_0)$ , $\dot{x}(t_0)$ 下,便可進而得到其特解。在此,視 $t=t_0$ 為第k步之狀態、 $t=t_0+\Delta t$ 為第(k+1)步之狀態,便可進而得到下列之離散差分方程式:

$$\mathbf{z}[k+1] = \mathbf{A}_{\mathbf{d}}\mathbf{z}[k] +$$

$$\mathbf{C}_{\mathbf{d}} \left( R_d \operatorname{sgn}(x[k]) + F_d f[k] + E_d \ddot{x}_g[k] \right)$$
(2.3)

其中,  $\mathbf{z}(t) = \begin{bmatrix} x[k+1] \\ \dot{x}[k+1] \end{bmatrix}$ ;  $\Delta t$  為取樣時間;

$$\mathbf{A_d} = \begin{bmatrix} 1 & \Delta t \\ 0 & 1 \end{bmatrix} \; ; \; \mathbf{C_d} = \begin{bmatrix} \frac{\Delta t^2}{2} \\ \frac{\Delta t}{2} \end{bmatrix} \; ; \; \; \mathbf{X} \stackrel{\text{R}}{\Rightarrow}$$

 $M_d = M \left( 1 + \tan^2 \theta \cdot \operatorname{sgn}(x[k])^2 \right)$ ;  $R_d = \frac{-Mg \tan \theta}{M_d}$ ;

$$F_d = \frac{\sec \theta}{M_d}$$
 ;  $E_d = \frac{M}{M_d}$  °

若已知系統第k步之狀態  $\mathbf{z}[k]$ , f[k] 及地表加速度  $\ddot{x}_g[k]$ , 由式(2.3)即可得第(k+1)步之系統狀態  $\mathbf{z}[k+1]$ ,惟尚不知第k步之摩擦力 f[k],故假設第(k+1)步時系統處於非滑

動狀態,即可得一預測摩擦力  $\hat{f}[\mathbf{k}]$ :  $\hat{f}[\mathbf{k}] = \frac{1}{F_d} \left[ - \left( \mathbf{d}^{\mathsf{T}} \mathbf{C}_{\mathbf{d}} \right)^{-1} \mathbf{d}^{\mathsf{T}} \mathbf{A}_{\mathbf{d}} \mathbf{z}[k] - R_d \operatorname{sgn}(x[k]) + E_d \ddot{x}_g[k] \right]$ 

(2.4)

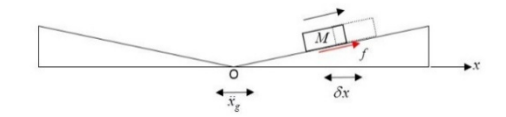
最後,以下式判斷真實摩擦力 f[k] 及預測摩擦力  $\hat{f}[k]$  之關係:

$$\begin{cases} f[k] = \hat{f}[k], & \left| \hat{f}[k] \right| < \mu N \\ f[k] = \mu N \operatorname{sgn}(\hat{f}[k]), & \left| \hat{f}[k] \right| \ge \mu N \end{cases}$$
 (2.5)

其中, $\mu$ 為摩擦係數,N為正向力。

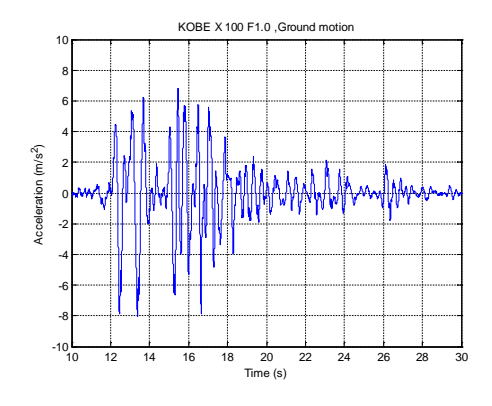


圖一 傾斜滑動支承



圖二 傾斜滑動支承物理模型示意

# 三、數值模擬與振動台實驗驗證

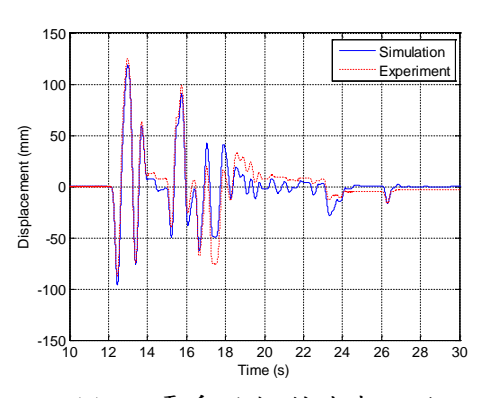


圖三 地表加速度(Kobe)

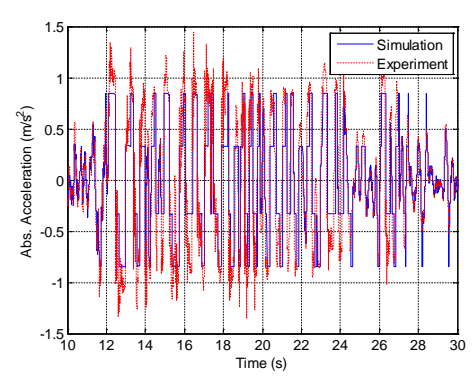
採庫倫摩擦模型之模擬結果與實驗數據之比對繪於圖四,模擬與實驗結果之極值、均方根值及相對誤差如表一所示,其中相對誤差之計算為模擬和實驗值之差值與實驗值之比值。

表一 隔震性能

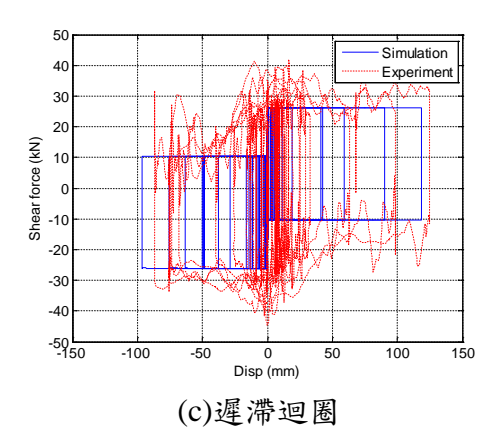
	絕對加速度		隔震位移		
	(m/s²) 極值 R.M.S.		(mm)		
			極值	R.M.S.	
數值模擬	0.85	0.39	118.88	19.32	
實驗	1.44	0.47	125.105	21.06	
誤差(%)	41.12	17.17	4.97	8.26	



(a) 隔震系統相對地表位移



### (b) 隔震系統絕對加速度



圖四 隔震結果比較圖

由表一可知,不論是由實驗或模擬均顯示隔震系統有達到隔震效果,模擬之加速度反應極值為 PGA 的 10.58%,實驗之加速度反應極值則為 PGA 值的 17.96%。同時,藉由觀察加速度與位移反應之極值與均方根值,可發現模擬之結果在位移反應上有不錯之精準度,不論是在極值與均方根誤差上均小於 10%,然而在加速度反應上有較大之誤差,尤其在極值誤差上已大於 20%。

#### 四、結論

本文首先透過推導傾斜滑動支承之運動方程式,再建立一套數值模擬方法來預測其物理行為,最後,再以實驗方式驗證模擬之精確性。不論由實驗或模擬均顯示傾斜滑動支承為一有效之隔震系統,且在隔震位移之模擬上,在極值或均方根值均有不錯之成果;然而現階段在加速度反應之模擬上有較不精準之情況,後續研究建

議可針對軸力與速度對摩擦所造成之影響 及斜面切換點所產生之碰撞效應對數值模 型進行修正。

# 参考文獻

- 1. Pranesh MURNAL and Ravi SINHA, "Behavior of structures isolated using VFPI during near source ground Motions", 13th World Conference on Earthquake Engineering, Vancouver, B.C., Canada, August 1-6, 2004, Paper No. 3105.
- 2. Lu L. Y., Shih M. H. and Wu C. Y., "Near Fault Seismic Isolation using Sliding Bearing with Variable Curvatures", Proceeding of 13th World Conference on Earthquake Engineering, 2004, Paper No. 3264.
- 3. Wei Xiong, Shan-Jun Zhang, Li-Zhong Jiang and Yao-Zhuang Li, "Introduction of the convex friction system (CFS) for seismic isolation", STRUCTURAL CONTROL AND HEALTH MONITORING (2016).

# 斜面式滾動隔震支承於不同設計地震下之位移探討

汪向榮 1 林旺春 2 楊卓諺 3 游忠翰 4

#### 摘要

斜面式滾動隔震支承因具備有固定的斜面角度、低摩擦力的滾動機制、以及穩定的內建阻尼系統,使得傳遞至隔震支承上方之最大加速度為一固定值,不會因為輸發動之特性而有所差異。然而,由於受震過程中之最大隔震位移,無法如同最大傳遞加速度般直接於數值模型中進行計算,僅能透過時間積分的方式,自位移歷時反應中求取最大值。因此,為提供實務上保守且可信之設計經驗公式,選取一百筆一般工址區域以及二十筆台北地區之 921 地震測站紀錄,分別依據不同地盤類型,將歷時進行設計地震反應譜擬合後,輸入數值模型進行分析。蒐集分析結果進行統計歸納後,建議以平均值加上兩倍標準差做為最大隔震位移之設計值,並依此回歸出設計經驗公式。整體而言,斜面角度對於最大隔震位移之設計值之影響,遠小於內置摩擦阻尼力或是地盤類型所造成之影響;而增加內置摩擦阻尼力,或是較堅硬的地盤類型,皆會明顯降低最大隔震位移之設計值。

關鍵詞:斜面式滾動隔震支承、設備隔震、最大隔震設計位移、經驗公式

#### 一、前言

斜面式滾動隔震支承的目的即在於透 過隔震的方式保護建築物內部的重要設備、 機櫃、典藏品等,使其免於地震的威脅。其 設計概念源自於滾動隔震支承,汪[1、3]、 林[2]等人更進一步將斜面式滾動隔震支承 應用於設備隔震,並且推導出該隔震支承 的廣義運動方程式。然而,相較於可預知之 最大傳遞加速度,由於斜面式滾動隔震支 承不具有特定的隔震週期,最大隔震位移 卻無法直接透過反應譜進行估算,僅能由 動力歷時分析結果中獲取。另一方面,由於 機櫃、設備物、以及展覽品等,皆存放於室 內,故除了透過最大傳遞加速的控制以保 護目標物之外,更應該避免因為低估隔震 位移所導致碰撞發生。因此本研究目的便 是探討斜面式滾動隔震支承於不同特性地 震下的最大位移反應,藉此歸納出合理的 設計隔震位移經驗公式。

# 二、運動方程式與數值分析模型

隔震支承之運動狀態表示於圖二,其中 $\ddot{x}_1(\ddot{z}_1)$ 及 $\ddot{x}_2(\ddot{z}_2)$ 分別為上版水平向(垂直向)與滾軸水平向(垂直向)之相對加速度;

<sup>1</sup> 國家地震工程研究中心研究員

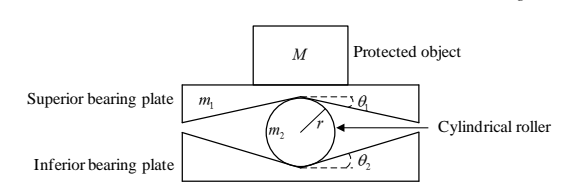
<sup>2</sup> 國家地震工程研究中心助理研究員

<sup>3</sup> 國家地震工程研究中心助理研究員

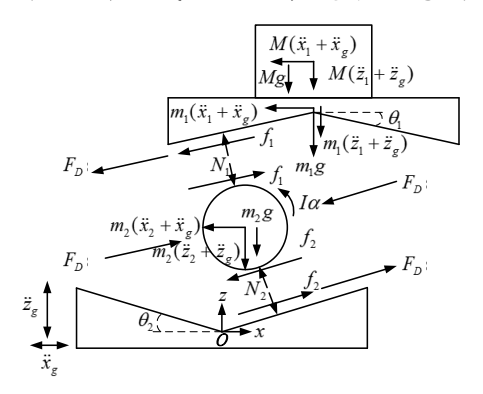
<sup>4</sup> 國立台灣大學博士候選人

 $\ddot{x}_{g}$  ( $\ddot{z}_{g}$ )為水平向(垂直向)擾動輸入加速度; g 為重力加速度;I 為滾軸的斷面慣性矩;  $\alpha$  為滾軸的轉動角加速度; $f_{1}(f_{2})$  及  $N_{1}(N_{2})$  分別為滾軸與上支承版(滾軸與下 支承版)的滾動摩擦力與接觸正向力; $F_{D}$ 則為內置摩擦組尼器。藉由考慮圖二中水 過程中之變位諧和,可以解得上支承版的 相對加速度。根據汪等人[3]的推導,,並且 在僅探討水平向擾動的前提下,傳遞至上 支承版(或隔震標的物)的絕對傳遞加速度 可表示為:

$$\ddot{x}_1 = \frac{-\left(\cos\theta_1 + \cos\theta_2\right)}{4\left(M + m_1\right)} \left[2F_D \operatorname{sgn}(\dot{x}_1) + \left(M + m_1\right)g\left(\sin\theta_1 + \sin\theta_2\right)\operatorname{sgn}(x_1)\right] - \ddot{x}_e \quad (1)$$



圖一 斜面式滾動隔震支承示意圖



圖二 動態力學平衡圖

利用(1)式可建立斜面式滾動隔震支承之數值分析模型,並且透過 Newmark- $\beta$ 的平均加速度法(constant average acceleration)進行時間域積分運算。然而,由於內置摩擦組尼的關係,隔震支承有可能會於運動過程中不會產生相對運動(不會發生滾動運動),此種現象無法反應於(1)式中。為進行修正,於數值分析模型中假定了一特徵摩擦力 $F_{D,C}$ ,其計算方式乃將(1)式中上支承版之相對加速度 $\ddot{x}_1$ 假設為零後,經整可得公式如下:

$$F_{D,C} = \left| \frac{1}{2} \left( M + m_1 \right) \left[ 2\ddot{x}_g \frac{1 + \cos\theta_1 \cos\theta_2}{\cos\theta_1 + \cos\theta_2} + \frac{1}{\cos\theta_1 + \sin\theta_2} \right] \right|$$
(2)

該特徵摩擦力所代表之意義為,當隔 震支承於該運動狀態下時,使其不會產生 相對運動所需的摩擦力。故當特徵摩擦力 小於內置摩擦組尼力時,代表該當下不會 有相對運動發生,反之則會繼續運動。

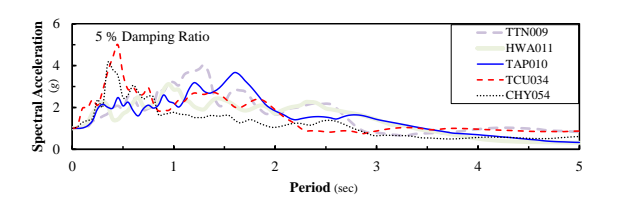
#### 三、數值分析結果驗證

為驗證數值模型的精確性,製作三組 斜面式滾動隔震支承進行振動台試驗。試 驗所採用之隔震支承由於簡化為單向設計, 故僅含上、下兩層支承版之構造。三組試體 之下支承版,其斜面角度皆設計為4度, 上支承版之斜面角度則分別為2度、4度、 以及 6 度,因此三組試體的角度總和分別 為6度、8度、以及10度;不同角度支承 版之中央圓弧防撞區域皆為 60 mm,因此 對應於2度、4度、以及6度等不同的斜面 角度,中央圓弧區的曲率半徑分別為 287 mm、430 mm、以及860 mm;內置摩擦組 尼由側面的摩擦版與彈簧所構成,其摩擦 力可維持於 210N; 上支承版重量為 30 kg, 隔震標的物以質量塊模擬,其重量為 500 kg。 試驗架設照片如圖三所示,由左而右分別 為斜面角度總和為6度、8度、以及10度 之滾動隔震支承,位移計與加速度規皆佈 置於隔震支承上方,分別量測隔震支承上 版之絕對位移與絕對加速度。



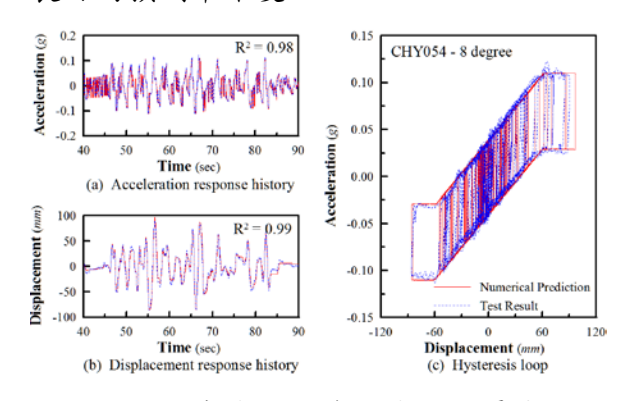
圖三 振動台試驗照片

振動台之輸入地震擾動選用 921 集集 地震中五組測站所量測之自由場加速度南 北向歷時紀錄,其測站分別選用新北市三 重區二重國小測站(TAP010)(PGA=103qal)、 苗栗縣造橋鄉造橋國小測站(TCU034) (PGA=124gal)、台南市新營區新營國小 (CHY054)(PGA=164gal)、台東縣台東市復興 國小(TTN009)(PGA=89gal)、以及花蓮縣花 蓮市明廉國小測站(HWA117)(PGA=103gal)。 將五筆地震歷時正規化至最大地表加速度 為1g,且轉換為組尼比為5%之加速度反 應譜如圖四,由圖中可看出各筆地震歷時 的反應譜皆不盡相同。



圖四 振動台輸入歷時反應譜正規化比較

將振動台試驗數據資料與數值預測結果進行比對,發現在傳遞加速度以及隔震支承之相對位移上,數值分析模型皆有良好的預測結果,如圖五為斜板角度總 8 度之隔震支承,於 CHY054 歷時下之試驗與預測結果。為更進一步進行驗證,計算數值分析與實測結果之決定係數(R²)以判斷預測的準確性。整體而言加速度之決定係數平均值為 0.90,而位移之決定係數平均值則 0.99。由此可驗證,加速度與位移皆有良好的預測準確度。



圖五 斜板角度總和為 8 度之隔震支承,於 CHY054 歷時下之試驗與預測結果

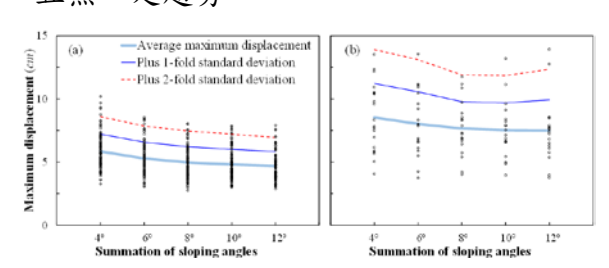
# 四、隔震設計位移經驗公式

為因應各種可能之設計需求,設計了數種不同斜面角度以及內置摩擦阻尼組合的數值模型;其中斜版角度總和共分有4、6、8、10、12度等五組。另一方面,將內

置摩擦阻尼力 $F_D$ 無因次化表示為隔震標的物重量W之倍數f(阻尼因子),其關係為 $f=F_D/W$ ,數值模型中共選擇了八組不同的級距,自f=0.025開始以 0.025 為間隔遞增,至阻尼因子最大值為f=0.2。

為兼顧保守性以及通用性,將屬於非 近斷層之地震歷時紀錄,依照各地盤類型, 進行法規設計地震反應譜擬合。其中於一 般工址區域選取一百筆 921 集集地震中, 各測站所紀錄之南北向自由場地震歷時 之反應譜進行擬合,最大地區域 地盤類型之反應譜進行擬合,最大地 速度為 0.32g; 另外於台北地區,則選取二 十筆 921 集集地震中,台北區域別站 規台北地區中三個不同區域之反應譜 規台北地區中三個不同區域之反應譜 提合,其最大地表加速度皆為 0.32g。

以五組不同斜面角度、阻尼因子皆為 0.1 的數值模型分析結果為例,於一般工址、 第一類地盤反應譜擬合之地震歷時分析下, 將所有分析結果之最大位移點繪於圖六(a); 另外亦將台北三區所有歷時分析結果之最 大位移點繪於圖六(b)。由圖中可以看出即 使是同一組隔震支承,於同樣反應譜條件 下,不同地震歷時所產生的最大位移差異 甚大。因此為保守推估適當的隔震設計位 移,將每一組分析結果中所有最大位移的 平均值(如圖六中的淡藍色粗線),加上兩倍 標準差後(如圖六中的紅色虛線),定義為該 地盤類型下,具備有特定斜面角度與阻尼 力設計之滾動隔震支承的考量隔震位移(以 下簡稱考量位移)。另一方面,由圖六中亦 可以觀察出,無論就平均位移或是考量位 移而言,斜面角度所造成的差異皆不甚明 顯,且無一定趨勢



圖六 最大隔震位移統計圖

$$D_D = \alpha T_0 + \beta \tag{3}$$

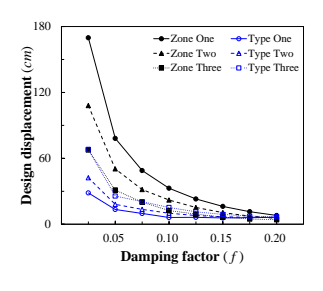
$$\text{To a propose one of the propose of the$$

圖七 不同地盤類型下之考量隔震位移

若對於不同摩擦阻尼設計的隔震支承,(3)式中的常數 $\alpha$ 與 $\beta$ 值皆需要進行修正為摩擦阻尼f的函數。將阻尼因子為0.025至0.2之隔震支承數值模型,分別於不同設計反應譜分析下所得到的設計位移,點繪於圖八。由圖八中可以得知,摩擦阻尼越高設計位移則越低,尤其是當阻尼因子較小時,此種現象則更為明顯。由圖八之結果將 $\alpha$ 與 $\beta$ 值迴歸成摩擦因子的二次函數式,如下:

$$\alpha = a_0 + a_1 f + a_2 f^2 \tag{4}$$

$$\beta = b_0 + b_1 f + b_2 f^2 \tag{5}$$



圖八 不同摩擦阻尼下的設計隔震位移

根據所有統計資料的迴歸結果,台北 盆地與一般工址區域的設計參數如下表所 列:

表一設計位移經驗公式之設計參數

	設計反應譜		T <sub>0</sub>	$\alpha = a_0 + a_i f + a_2 f^2$			$\beta = b_0 + b_1 f + b_2 f^2$		
L				ao	a <sub>I</sub>	a 2	b 0	$b_{I}$	b 2
Γ	台北盆地	一區	1.6	-100	1000	-2500	150	-1500	4000
		二區	1.3						
L		三區	1.05						
Г	一般工址	一類	0.56	-10	10	250	60	-350	350
		二類	0.68						
L		三類	0.84						

### 五、結論與展望

本研究透過可靠的數值分析與統計方式,回歸出對於斜面式滾動隔震支承於規範反應譜 EPA為0.32g下之設計隔震位移,工程師可以快速且簡便的以轉角週期的數值直接進行概算。未來將持續依照不同 EPA之規範反應譜進行分析及回歸,並且考慮不同週期建築物對於隔震位移的影響,以其建構出一套完整的設計經驗公式。

# 參考文獻

- 1. Wang SJ, Hwang JS, Chang KC, Shiau CY, Lin WC, Tsai MS, Hong JX and Yang YH. "Sloped multi-roller isolation devices for seismic protection of equipment and facilities." Earthquake Engineering and Structural Dynamics, 43(10), 2014, pp. 1443-1461.
- 2. Lin WC, Yu CH, Wang SJ, Hwang JS, Chang KC., "Generalized exact and simplified analytical models for sloped rolling-type isolation bearings." 14th World conference on seismic isolation energy dissipation and active vibration control of structures, San Diego, Ca USA, 2015.
- 3. Wang SJ, Yu CH, Lin WC, Hwang JS, Chang KC., "A generalized analytical model for sloped rolling-type isolation bearings." Engineering Structures, 138, 2017, pp. 434-446.

# 國內減震黏性阻尼器安裝之缺點改進與相對設計理論推導

林旺春1 汪向榮2 黄震興3 楊卓諺4 戴偉鈞5

#### 摘要

過去國內外對於黏性阻尼器配置於結構物之常見安裝方式有以下四種:(1)對角斜撐 裝置;(2)K 型斜撐裝置;(3)上肘型斜撐裝置;(4)下肘型斜撐裝置。然而,國內近幾年建 築師與相關實務工程師基於採光要求,以及為獲得更彈性建築使用空間,逐漸採用四種阻 尼器與斜撐接合系統,即阻尼器分別與(1)直立鋼構架支撐;(2)減震壁體式構架;(3)鋼筋 混凝土支撑墩座;(4)直立式 A 字型斜撑構架相互銜接。本研究為了解國內現行阻尼器與 斜撑接合系統對於整體結構減震效益之影響,以 SAP2000 建立一二維五層樓構架數值模 型,並以直立式 A 字型斜撐構架接合阻尼器之安裝型式進行數值模擬,經由分析結果可 知此安裝型式無法滿足預期之設計阻尼比。最後,本研究提出增設垂直連桿之阻尼器安裝 型式,降低上下接合梁之垂直向變形量,並考慮梁之柔性變形與構架之幾何關係,推導阻 尼器之阻尼常數設計公式。透過數值分析結果顯示,依本研究之建議將垂直連桿設置於結 構單跨梁 1/2 處,可降低上下接合梁柔性變形造成之影響,以有效達到預期之設計阻尼比, 並可獲得應有之減震效益。

關鍵詞:黏性阻尼器安裝型式、減震設計、黏性阻尼常數、耐震設計、消 能系統、垂直連桿

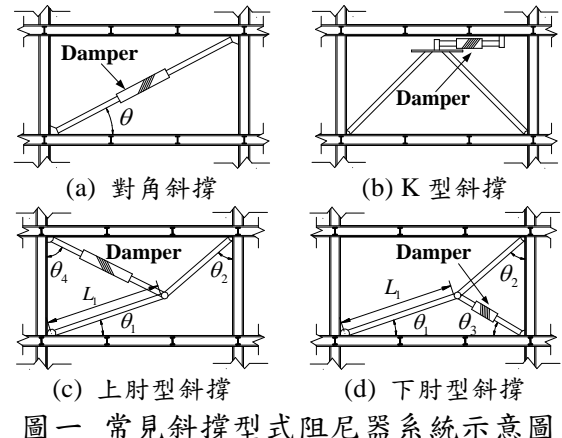
# 一、前言

目前國內外規範有關黏性阻尼器於房 屋結構的應用,例如 FEMA 274 (1997),若 考慮結構第一振動模態,可分別推導線性 與非線性阻尼器對阻尼比之貢獻(Hwang et al., 2008), 相關設計公式如下:

$$\xi_d = \frac{T \sum_j C_j f_j^2 \phi_{ij}^2}{4\pi \sum_i m_i \phi_i^2} \qquad (線性黏性阻足器)$$
 (1)

$$\xi_d = \frac{T^{2-\alpha} \sum_j \lambda_j C_j f_j^{1+\alpha} \phi_{rj}^{1+\alpha}}{(2\pi)^{3-\alpha} A^{1-\alpha} \sum_i m_i \phi_i^2} (非線性黏性阻尼器) (2)$$

其中, $C_i$ 為阻尼器j之阻尼係數; $f_i$ 為阻尼 器 j 位移量與層間模態變位量之關係; ø, 為 模態位移; ♠, 為相對模態位移; A 為模態之 振幅; m, 為質量; T 為結構振動週期; 而 λ 值則為與阻尼器非線性係數(α)有關之設計 參數,在FEMA 274 已列表供工程師使用。 過去國內外對於阻尼器配置於結構物之常 見安裝方式有以下四種:(1)對角斜撐裝置; (2)K 型斜撐裝置;(3)上肘型斜撐裝置;(4) 下肘型斜撐裝置, 見圖一所示。



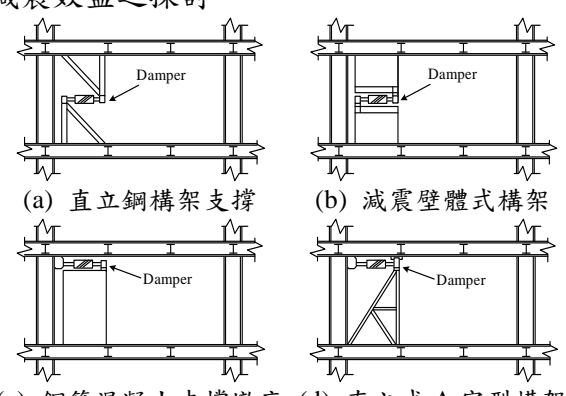
<sup>1</sup> 國家地震工程研究中心助理研究員

<sup>2</sup> 國家地震工程研究中心研究員

<sup>3</sup> 國家地震工程研究中心組長

<sup>4</sup> 國家地震工程研究中心助理研究員

<sup>5</sup> 國立台灣科技大學營建工程系研究生



(c) 鋼筋混凝土支撐墩座 (d) 直立式 A 字型構架 圖二 現行常見斜撐型式阻尼器



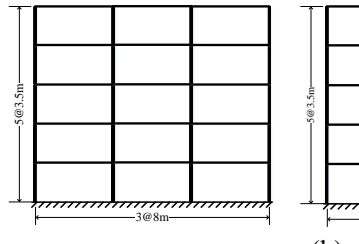


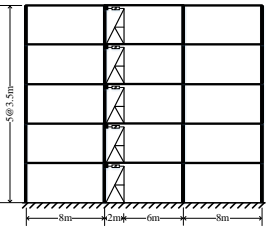


(a) 直立鋼構架支撐 (b) 減震壁體式構架 圖三 國內現行常見之斜撐型式阻尼器 系統實際案例

# 二、現行阻尼器安裝方式之探討

以一棟依我國「建築物耐震設計規範 及解說」設計的五層樓二維構架為例(見圖 四(a)),該構架以阻尼器銜接直立式 A 字型 構架支撐系統作為減震裝置(見圖四(b)), 其設計之總有效阻尼比為 12%,假設空構 架之固有阻尼比為 2%,阻尼器提供之設計 阻尼比為 10%。透過 SAP2000 之動態分析可得其 X 向第一振動模態週期(T)為 0.616 sec,其他結構性質則分別列於表一與表二。若以採用線性阻尼器為例,並採用均佈法 (Uniform Distribution)作為阻尼器阻尼常數的分配方式,將阻尼器阻尼常數均佈於各樓層的方式,再利用式(1)求得所需之總阻尼係數( $C_a$ )。之後,再將總 $C_a$ 值依平均分配的方法分配於各樓層,故可計算得各樓層黏性阻尼器阻尼常數為 310.45 ton-sec/m。





(a) 五層樓二維空構架

(b) 直立式 A 字型構 架支撐系統

圖四 五層樓之二維構架

表一 五層樓結構二維構架之桿件尺寸

	1F~5F
梁 (mm)	H600×450×16×32
柱 (mm)	□600×600×28×28
斜撐 (mm)	H300×300×9×19
垂直連桿 (mm)	H200×200×8×12

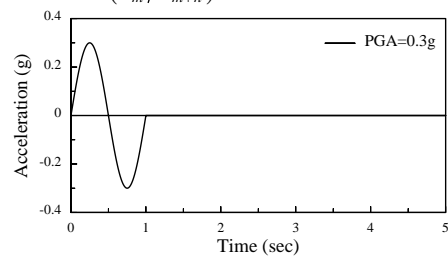
表二 五層樓結構二維構架各樓層之質量與正規化模態

樓層	質量 (ton-sec <sup>2</sup> /m)	$\phi_{i}$
5	13.21	1
4	13.21	0.8813
3	13.21	0.6872
2	13.21	0.4337
1	13.21	0.1657

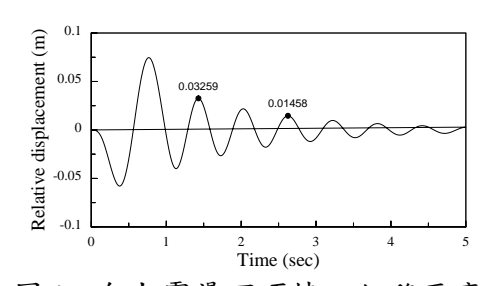
經輸入一正弦波地表加速度(見圖五), 取自由振動反應的部分,依下式識別構架 之總有效阻尼比

$$\xi = \frac{Q}{2n\pi\sqrt{1 + \left(\frac{Q}{2n\pi}\right)^2}} \tag{3}$$

其中, $Q = \ln(u_m/u_{m+n})$ 。



圖五 初始加速度脈衝



圖六 自由震盪下頂樓之位移反應 根據自由振動位移反應(見圖六)所識 別構架之總有效阻尼比如下:

$$Q = \ln \frac{0.0326}{0.0146} = 0.804$$

$$\xi_{eff} = \frac{0.804}{2 \times 2 \times \pi \sqrt{1 + (\frac{0.804}{2 \times 2 \times \pi})^2}} \times 100\% = 6.39\%$$
 (4)

由識別阻尼比可知,採用阻尼器銜接直立式 A 字型構架支撐系統作為減震裝置,其識別阻尼比僅達 6.39%,扣除結構本身的 2%阻尼比後,阻尼器提供的阻尼比為 4.39%,遠小於原阻尼器提供之設計阻尼比為 4.39%,遠小於原阻尼器提供之設計阻尼比為 9分析結果可知由於上下接合梁的柔度參與分析結果可知由於上下接合梁的柔度參與分析結果可知由於上下接合梁的柔度參與分析結果可知由於上下接合梁的柔度參與分析結果可知由於上下接合梁的柔度參與分析結果可知由於上下接合梁的柔度參與分析結果可知由於上下接合梁的柔度參與分析結果可知由於上下接合梁的素度。 即式(1)與式(2),計算阻尼器阻尼計值,數,將造成其實際阻尼比低於設計值,致使阻尼器無法完全發揮其應有減震能力。

# 三、增設垂直連桿之液態黏性阻尼器 設計公式推導

綜合前述,本研究以增設垂直連桿之阻尼器安裝型式進行設計(見圖七),其中阻尼器採對角型式裝設。根據先前研究(江佳鋌,2015)可知其實際模態之變形圖(見圖八),於考慮梁之柔性變形影響,在微小變形假設下,阻尼器實際軸向變形量( $u_d$ )應如下式(見圖九):

$$u_d = \overline{pq} = \overline{oq} - \overline{op} = u\cos\theta - v\sin\theta \tag{5}$$

考慮結構受一正弦函數水平位移(u)作用,同時亦產生一正弦函數垂直位移量(v):

$$u = u_0 \sin \omega t \tag{6}$$

$$v = v_0 \sin \omega t \tag{7}$$

其中,u 為水平位移歷時;v 為垂直位移歷時; $u_0$  為水平位移振幅; $v_0$  為垂直位移振幅; $\omega$  為外力頻率。

故修正後阻尼器所作之功如下式:

$$W_{D} = \iint F_{D} du = \int_{0}^{2\pi/\omega} F_{D} \dot{u} dt = \int_{0}^{2\pi/\omega} C \left| \dot{u} \right|^{1+\alpha} dt$$

$$= C(\omega \mathbf{u}_{0})^{1+\alpha} \int_{0}^{2\pi/\omega} \left| \sin \omega t \right|^{1+\alpha} dt$$

$$= \lambda C \omega^{\alpha} (\mathbf{u}_{0} \cos \theta - \mathbf{v}_{0} \sin \theta)^{1+\alpha}$$
(8)

阻尼器所作之總功,亦改寫如下所示:  $\sum W_j =$ 

$$\sum_{i}^{j} \lambda_{j} C_{j} \omega^{\alpha} A^{1+\alpha} \left[ (\phi_{h}^{i})_{rj} \cos \theta_{j} - (\phi_{v}^{i})_{rj} \sin \theta_{j} \right]^{1+\alpha}$$
 (9)

故將式(1)與式(2)可重新推導為增設 垂直連桿之阻尼器安裝於構架系統之有效 阻尼比設計公式分別如下所示:

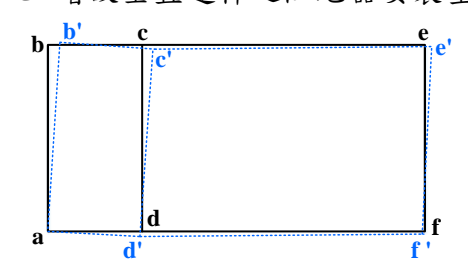
$$\xi_d = \frac{T \sum_j C_j \left[ (\phi_h)_{rj} \cos \theta_j - (\phi_v)_{rj} \sin \theta_j \right]^2}{4\pi \sum_i m_i \phi_i^2} \tag{10}$$

(線性黏性阻尼器)

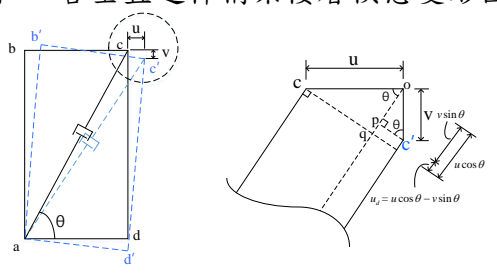
$$\xi_{d} = \frac{\sum_{j} \lambda_{j} C_{j} \left[ (\phi_{h}^{'})_{rj} \cos \theta_{j} - (\phi_{v}^{'})_{rj} \sin \theta_{j} \right]^{1+\alpha}}{2\pi A^{1-\alpha} \omega^{2-\alpha} \sum_{i} m_{i} \phi_{i}^{2}}$$
(11)

(非線性黏性阻尼器)
Damper
Damper
Am
Sep

圖七 增設垂直連桿之阻尼器安裝型式



圖八 含垂直連桿構架樓層模態變形圖



圖九 含垂直連桿之阻尼器實際 軸向變形量示意圖

### 四、數值分析與結果

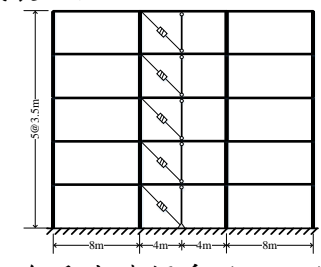
綜合前述,以五層樓二維構架為例(見圖五(a)),該構架於單跨梁 1/2 處增設垂直連桿,阻尼器以對角型式接合(見圖十),考慮其設計之總有效阻尼比為 12%,假設空構架之固有阻尼比為 2%,阻尼器提供之設計阻尼比為 10%,結構性質則分別列於表一與表二。若以採用線性阻尼器為例,並採用均佈法可計算得各樓層黏性阻尼器阻尼常數為 542.53 ton-sec/m。

根據自由振動位移反應(見圖十一)所 識別構架之總有效阻尼比如下:

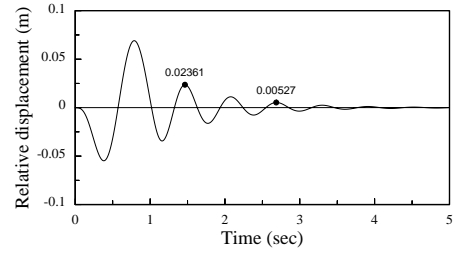
$$Q = \ln \frac{0.0236}{0.0053} = 1.5$$

$$\xi_{eff} = \frac{1.5}{2 \times 2 \times \pi \sqrt{1 + (\frac{1.5}{2 \times 2 \times \pi})^2}} \times 100\% = 11.85\% \quad (12)$$

由上述結果可得,本研究採用垂直連桿系統之識別結果可視為達到整體設計阻尼比,符合設計之結果。最後,以1940年美國加州之El Centro N-S 地震紀錄作為輸入擾動,由各樓層動力反應(見圖十二)與阻尼器出力(見表三)之分析果可知,採用增設垂直連桿之阻尼器安裝型式可發揮其應有之減震效益。



圖十 含垂直連桿系統之二維構架

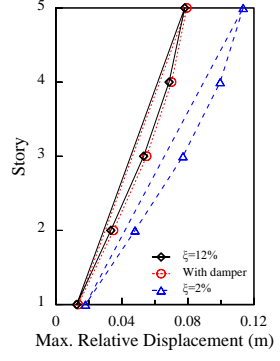


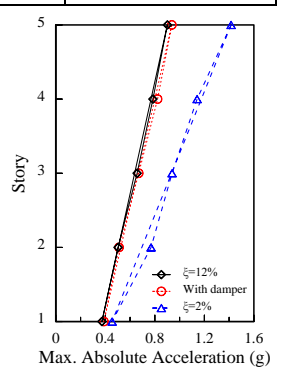
圖十一 自由震盪下含垂直連桿系統構架 頂樓之位移反應

表三 各樓層阻尼器與連桿之最大出力

	100% El-Centro		
Story	阻尼器 (tf)	連桿 (tf)	
5F	38.1	16.3	
4F	61.2	14.3	

3F	76.4	8.6
2F	78.0	22.6
1F	48.5	54.5





圖十二 100% El Centro 地震擾動下, 五層樓結構各樓層最大動力反應

### 五、結論

# 参考文獻

- 1. FEMA, NEHRP Guidelines and Commentary for the Seismic Rehabilitation of Building, Reports No.273 and 274, October, Washington, D.C., 1997.
- 2. Hwang, J.S., Huang, Y.N., Yi, S.L. and Ho, S.Y., "Design Formulations for Supplemental Viscous Dampers to Building Structures," Journal of Structural Engineering, ASCE, (special issue on design and analysis of structures with damping systems), Vol. 134, No.1, pp. 22-31, 2008.
- 江佳鋌,"國內現行黏性阻尼器安裝型 式探",台灣科技大學碩士論文,2015。

# 使用電熱熔渣銲改良背墊板細節之 梁接頭耐震性能研究

莊勝智 1 林克強 2 吳忠哲 3 李昭賢 1 林志翰 1 蔡克銓 4

#### 摘要

電熱熔渣銲(Electro-slag Welding, ESW)為鋼骨箱型柱製作柱內橫隔板最有效率的銲 接方法之一,因此台灣鋼骨建築結構之箱型柱構件,廣泛使用 ESW 做為柱內橫隔板與柱 板接合之銲接方法進行銲接。由過去實尺寸梁柱接合試驗研究成果發現,箱型柱內橫隔 板採 ESW 與柱板接合之梁柱接合耐震性能可靠度不佳,在未發展充分非彈性變形前發生 破壞的機率較高。進一步針對 ESW 銲道製作與品質檢測的相關研究也顯示,傳統 ESW 銲 道的製作與檢測品質仍有改善空間,並提出喇叭形擴大孔之 ESW 熔池改良細節。本研究 共進行四組實尺寸梁柱接合試驗,其中三組試體之箱型柱板與內橫隔板接合 ESW 銲道, 其上、下背墊板採用傳統的矩形背墊板,此三組之其中一組梁翼板與橫隔板高程相同, 做為試驗對照組,其餘兩組之梁翼板與柱內隔板高程皆偏心一倍梁翼板厚度,並分別採 用符合 AISC 2010 規範之標準載重歷時與增加試驗圈數之修正載重歷時;另一組試體之 箱型柱內橫隔板與柱板接合之 ESW 銲道,其上、下背墊板使用倒角改良型背墊板,且梁 翼板與橫隔板高程為偏心一倍梁翼板厚度,以探討在梁翼板與柱內橫隔板高程偏心時, 採用傳統 ESW 銲道熔池細節與改良 ESW 銲道熔池細節之梁柱接合試體的耐震性能;此 四組試體皆採用梁翼蓋板式增強型接合。試驗結果顯示,若梁翼板未偏心且 ESW 銲道製 作良好之試體,可提供5%弧度層間位移角之變形容量。而當梁翼板與柱內橫隔板高程偏 心一倍梁翼板厚度時,採用傳統方形 ESW 熔池細節之梁柱接合試體,其層間位移角約降 至 3%弧度; 箱型柱板與內橫隔板接合之 ESW 採用改良型倒角背墊板之梁柱接合試體, 具有 5%弧度以上層間位移角之耐震性能,甚至可高達 8%弧度且未發生斷裂。

關鍵詞:電熱熔渣銲、耐震性能、梁翼蓋板增強型接合、施工誤差

#### 一、前言

於國內鋼結構建築中,由四片鋼板以四道 SAW (Submerged Arc Welding) 銲道接合所組成之箱型斷面柱構件的應用極為普遍,為使箱型柱構件(box column)之梁柱接合能提供充分的強度與勁度,以順利傳遞梁端彎矩,往往在柱構件內與梁上下翼板相同高程處配置柱內橫隔板(internal diaphragms),直接傳遞梁翼板力量。國內在鋼骨箱型柱構件之製作實務中,為考量內橫隔板製作的方便性與銲接熱應力的對稱性,因此內橫隔板與四面柱板間之銲接,至少一對採用以機器自動銲接之電熱熔渣

銲(Electro-slag welds, ESW),另一對採用以人工半自動 CO2 掩弧銲接之全渗透開槽銲(complete joint penetration, CJP, groove welds),如圖 1 所示,此箱型柱內橫隔板之製造方式,已成為台灣鋼結構產業製作 超序。為確保鋼骨箱型柱內橫隔板與柱板之電熱熔渣銲道熔接品質,相關研究(林克強等,2015)提出電熱熔渣銲製作細節與柱板 澳方法之建議,以提升含此電熱熔渣銲無 (林克強等,2015;林克強與莊勝智,2011)建議電熱熔渣銲之熔池由傳統之方形或矩形,改採用改良的喇叭形熔池,如圖 2 所

<sup>1</sup> 國家地震工程研究中心助理研究員

<sup>2</sup> 國家地震工程研究中心研究員

<sup>3</sup> 國立台灣大學土木工程學系研究生

<sup>4</sup> 國立台灣大學土木工程學系教授

示,目的是避免電熱熔渣銲銲道非預期偏斜而導致鄰近柱面側之部分熔透不足,進而使柱板在梁翼板之拉力作用下在該處導致應力集中,及使用較大的銲道區域降低銲道應力,以確保電熱熔渣銲銲道之品質提升箱型柱梁柱接合之耐震能力。

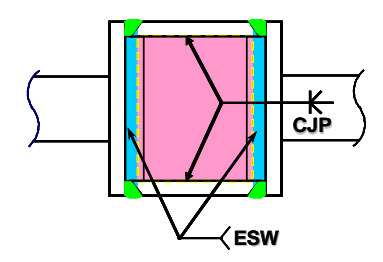


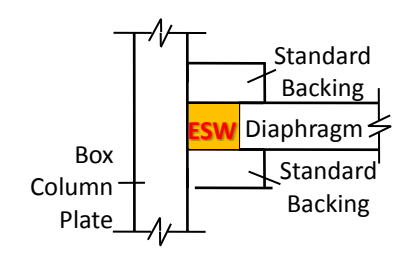
圖 1 柱內橫隔板銲接示意圖

另外,由於實際工程中均容許施工誤 差之存在,因此梁構件構入箱型柱構件時, 梁翼板與箱型柱內橫隔板之高程,可能因 施工之容許誤差而不同高,此高程誤差不 易排除,且必然發生,特別對於現場銲接 型式之梁柱接合,此高程誤差不易控制。 因此本研究之主要目的是在探討H形鋼梁 與箱型柱採銲接相接之耐震梁柱接合,且 對應之柱板與柱內橫隔板採用電熱熔渣銲 接合者,其梁翼板與柱內橫隔板所發生之 高程誤差對梁柱接合耐震性能之影響;同 時也研究當箱型柱之柱板與內橫隔板之電 熱熔渣銲採用喇叭形狀之改良熔池(或稱 改良型之背墊板)之銲接細節時,其梁柱接 合之耐震能力受梁翼板與橫隔板高程誤差 之影響為何?因此本研究的主要研究參數, 除改變梁翼板與箱型柱內橫隔板之高程差, 模擬因施工可能造成之誤差外,也包括電 熱熔渣銲之製作細節,提出電熱熔渣銲喇 叭形改良熔池細節。

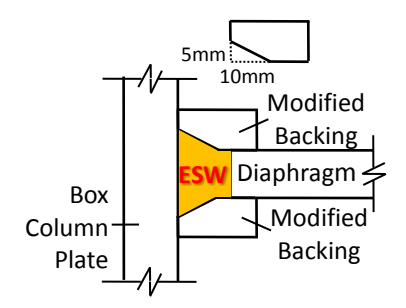
## 二、試驗計畫

本研究主要針對柱板與內橫隔板採用電熱熔渣銲接合之箱型柱與鋼梁相接之梁柱接合為標的,探討鋼梁翼板與箱型柱內橫隔板高程因施工誤差、及電熱熔渣銲熔池細節等兩主要研究參數,對梁翼加蓋板增強型梁柱接合之耐震容量的影響。本研究共進行四組外柱之實尺寸梁柱接合試驗,整體試驗配置如圖3所示,其中L為試體

梁施力中點至柱構件中心距離,模擬實際建築結構中柱跨徑之半;H為試體柱支承中心間距離,模擬實際建築結構中典型樓層間上下柱構件反曲點間之距離,一般取上下樓層高度之半的和。試體柱構件與梁構件皆採用 SN490B 鋼材,箱型柱尺寸為 BOX 750x750x28 mm,鋼梁尺寸為 BH 800x300x14x25 mm,並於鋼梁上、下翼板外側之蓋板使用厚度為 8mm、長度為 365mm 之梯形蓋板。柱內配置之橫隔度 (diaphragms)厚度為 25mm,與梁翼板厚度相同,試體之所有構件尺寸詳如表 1 所示 (鄭元良等,2011; 吳忠哲,2016)。



(a) 標準矩形熔池之 ESW 銲接細節



(b) 改良喇叭形熔池之 ESW 銲接細節

圖 2 ESW 銲接改良細節圖

倍梁翼厚度(25mm);中間兩個文字代表箱型柱內橫隔板之電熱熔渣銲銲接細節,BS代表使用標準矩形 (Standard)銲道熔池,BF代表使用改良喇叭形(Flared)銲道熔池;最後兩個文字代表試驗的載重歷時(Protocol),PN代表使用符合 AISC (AISC, 2016)規範要求之一般的(Normal)試驗位移載重歷時,PM代表使用修正的(Modified)試驗位移載重歷時。

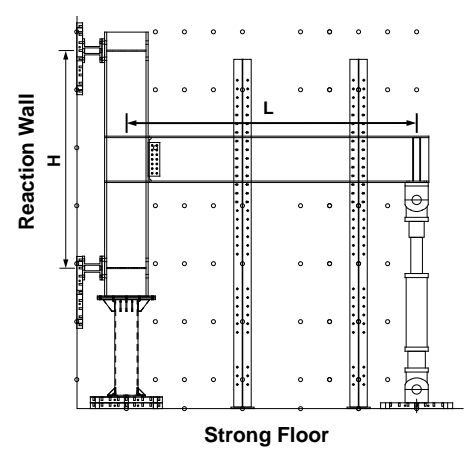


圖 3 試驗配置圖

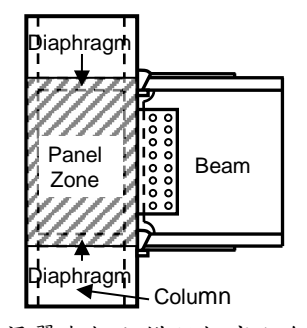
表 1 試體梁柱構件尺寸表

	EOBSPN \ E1BSPN \	
Spec.	E1BSPM · E1BFPN	
Beam Section	H 800x300x14x25	
L(mm)	4500	
Column Section	BOX 750x750x28	
H(mm)	3750	
Diaphragm Thickness(mm)	25	
t of shear tab(mm)	22	
Bolts(M24-S10T)	2x8	
Backing Bar	Steel	
a (mm)	365	
b (mm)	80	
c (mm)	250	
d (mm)	340	
Thickness of cover	8	
plate(mm)	0	
α	1.02	

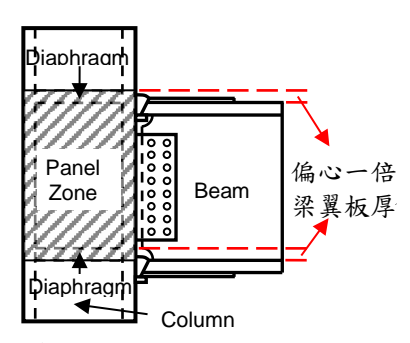
#### 三、試驗結果與討論

 圖5至圖8為本研究四組梁柱接頭試體 之變形與受力行為關係圖,試驗結果顯 示,對於梁翼板高程對與橫隔板高程一 致,且電熱熔渣銲具有良好品質之試體 EOBSPN,其層間位移角約可達 5%弧度,塑性變形轉角約達 4%弧度,符合美國與台灣鋼構設計規範之變形要求。此也證實採用梁翼蓋板增強型梁柱接合,可有效將梁塑鉸由柱面移至梁蓋板補強段外之預期位置,達到消能目的,並可提供符合規範之變形轉角能力。

2. 對於梁翼板與橫隔板高程偏心一倍梁 翼板厚度(25mm)之試體 E1BSPN 與試 體 E1BSPM,其層間位移角達 3%弧度前, 即因電熱熔渣銲或鄰近區域發生破壞 而引致柱板受拉拱起,如圖 9 所示,該 破壞屬強度突然下降之脆性破壞,此將 不符美國規範之變形要求。若欲降低此 破壞模式的發生,以獲得符合耐震需求 之梁柱接合,應控制梁、柱構件接合之 施工誤差。



(a) 梁翼與柱內橫隔板高程無偏心



(b) 梁翼與柱內橫隔板高程偏心一倍 梁翼板厚度

圖 4 試體之梁翼板與箱型柱內橫隔板 高程偏心位置關係圖

3. 比較梁翼板與橫隔板高程偏心一倍梁 翼板厚度(25mm)之三組試體 E1BSPN、 E1BSPM 與 E1BFPN 的破壞模式顯示,電 熱熔渣銲採用標準矩形熔池細節之試 體 E1BSPN 與 E1BSPM,均於電熱熔渣銲 銲道或鄰近區域發生破壞;而電熱熔渣 銲採用改良喇叭形熔池細節之試體 E1BFPN,可避免於電熱熔渣銲銲道或鄰 近區域之非預期破壞的發生,儘管梁翼 板與橫隔板高程存在一倍梁翼板厚度 之施工誤差時,與採用標準矩形熔池細 節之試體比較,可提升梁柱接合的耐震 變形能力。

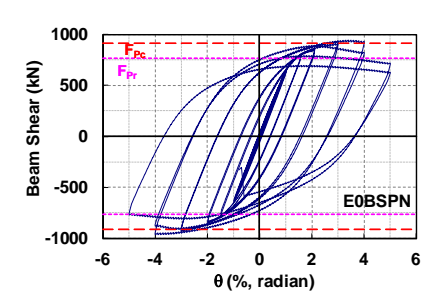


圖 5 試體 EOBSPN 梁端受力與層間 位移角關係圖

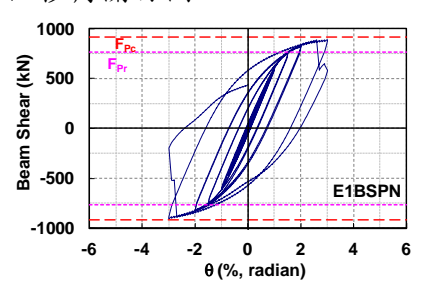


圖 6 試體 E1BSPN 梁端受力與層間 位移角關係圖

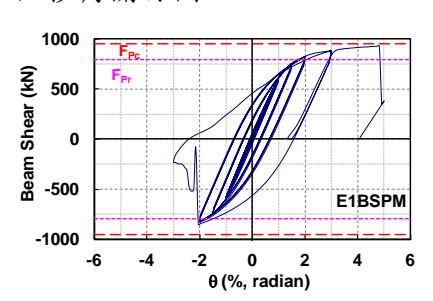


圖 7 試體 E1BSPM 梁端受力與層間 位移角關係圖

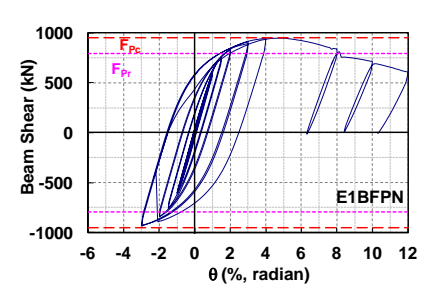


圖 8 試體 E1BFPN 梁端受力與層間 位移角關係圖



(a)試體 E1BSPN 之破壞情況



(b)試體 E1BSPM 之破壞情況

圖 9 試體 E1BSPN 與 E1BSPM 之柱板受拉 拱起破壞情況

## 参考文獻

- 1. LIN Ker-Chun, JHANG Sheng-Jhih, CHANG Fu-Chuan, and CHANG Po-Yen (2010), "Cyclic Behaviors and Failure Modes of Steel Beam-to-Box Column Connections with RBS and Cover Plates in Taiwan," Progress in Steel Building Structures. Vol.12 No.2, pp1-12, Apr. 2010. (in Chinese)
- 2. 吳忠哲 (2016),「鋼梁接箱型柱之內橫 隔斷裂試驗與有限元素模型分析研 究」,國立台灣大學土木工程學系碩士 論文,蔡克銓教授指導。
- 3. 林克強 莊勝智 李昭賢 林志翰 (2015), 「鋼骨箱型柱與內橫隔板 T 形電熱熔 渣銲道接合品質研究」,結構工程期刊, 第三十卷,第二期。
- 4. 林克強、莊勝智 (2011),電熔渣銲裝置, 中華民國新型專利,證書號:M410631。
- 5. 鄭元良、李台光、蔡克銓、汪家銘、林克強、莊勝智 (2011),「鋼骨梁柱接頭橫隔板耐震性能研究」,內政部建築研究所,研究報告 ISBN:978-986-03-1127-3。

# 多振動台測試系統控制技術之開發與驗證

陳沛清<sup>1</sup> 賴晉達<sup>2</sup> 江宏偉<sup>3</sup> 林沛暘<sup>4</sup>

#### 摘要

地震模擬振動台被廣泛使用於重現地震歷時,並應用於評估結構物受加速度歷時激發之受震反應。然而在特殊實驗條件下,例如:長跨橋梁之受震反應等,由於橋柱間距較長,在同一地震事件中,橋柱間可能因為與震央距離不同使得所受之地震歷時存在差異性,為了較真實地模擬橋面之受震反應,應於不同橋柱間重現不同之地震歷時,此為單一振動台無法完成的實驗條件。多振動台系統的實驗測試,擬透過不同參數及控制迴圈,使各振動台能重現不同地震加速度歷時。傳統的比例-積分-微分控制難以完美重現目標加速度歷時,甚至因不同振動台之特性,重現同一筆加速度歷時將產生不同長度之延時,因此設計外迴路控制器提升振動台之重現性能及多振動台間之同步性。本研究利用建置於國家地震工程研究中心之多振動台系統進行研究與分析。首先識別各振動台之動力模型,並利用權重分配法設計之前饋控制器以及強韌回饋控制器提升各自追蹤加速度歷時之能力。接著以包含跨接試體之多振動台測試系統動力反應之模型設計前饋控制器並進行改良,分別由時間域及頻率域分析控制器對多振動台性能同步性提升之結果。

關鍵詞:多振動台、加速度重現、控制迴圈、前饋控制、回饋控制

### 一、前言

然而伺服油壓致動器之動態性能相當複雜,Dyke等人分析振動台受加載試體特性的影響,此現象稱之為 control-structure interaction (CSI)。Stoten 等人之研究以提升既有地震模擬振動台之性能為目的,以一種稱為 minimal control synthesis (MCS)之

適應性控制方法,解決振動台控制之非線 性問題,其主要優點為不需要準確地了解 地震模擬振動台的動力反應模型並能即時 對控制器進行調適。Nakata 推導地震模擬 振動台之動力反應模型,驗證位移控制對 重現加速度歷時能力的提升有限,應直接 由加速度訊號進行回饋控制,因此提出 acceleration trajectory tracking control (ATTC) 方法,試圖提升地震模擬振動台之 性能。Phillips 等人提出 model-based multi-metric control 方法,該方法結合前饋 和回饋控制,提升加速度歷時重現性能以 及對非線性因子的強韌性。上述這些方法 均能提升振動台之加速度追蹤能力,然而 針對特殊實驗需求,例如需同時產生多筆 地震歷時資料,則需要數台振動台進行配 合,振動台間之互制也較為重要,這部分 的研究則較為稀少。

<sup>1</sup>國家地震工程研究中心副研究員

<sup>2</sup>國家地震工程研究中心專案佐理研究員

<sup>3</sup>國家地震工程研究中心助理研究員

<sup>4</sup>國家地震工程研究中心研究員

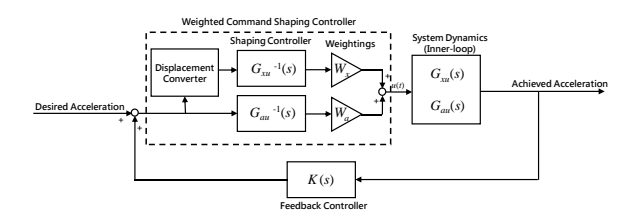
### 二、多振動台系統配置

國家地震工程研究中心兩組單自由度 振動台系統(以下簡稱振動台)於2012建 置完成,各由一支油壓致動器、一座剛體 平台、一顆伺服閥及一台數位控制器組 成,並於2014年在國立交通大學土木工程 系結構實驗室重新安裝。為提升振動台既 有性能,以dSPACE 控制系統做為外迴路 控制器安裝之介面。兩座振動台衝程分別 為±75 mm 及 ±250 mm, 檯面大小分別為 2.5 m ×1.2 m 及 1 m×1 m, 伺服閥流量分別 為 120 gpm 及 15 gpm, 載重上限則為 1 公 噸及 500 公斤,使用 MOOG portable test controller 作為內迴路 PID 控制器,經線上 (online)調適可得最適當之增益值。dSPACE DS1103 包含訊號 I/O 卡、控制核心,以及 實時介面(Real-Time Interface)。使用者可於 Matlab/Simulink 進行外迴路控制器之設 計,以方塊圖模式呈現,程式編譯完成轉 為 C 語言後下載至 DS1103 執行。人機介 面 ControlDesk 提供多樣化之圖形介面,供 使用者監控實驗狀態並存取實驗資料。

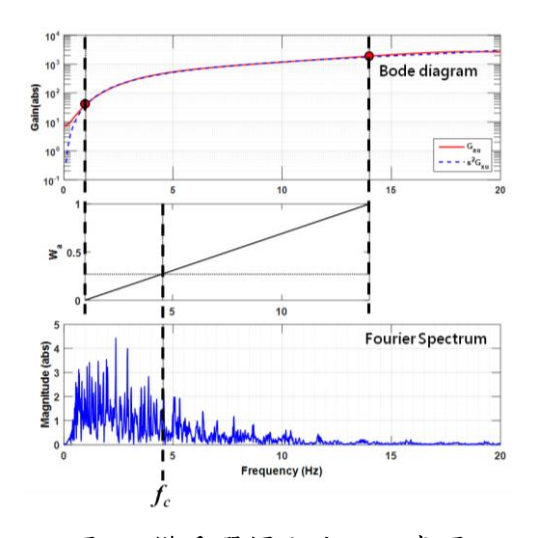
實驗量測儀器包含東京測振生產之加速規(AS-2000),其測量範圍為±2000 gal, 0.5V 之電壓訊號對應加速度為 100 gal,以及安裝在油壓致動器之位移感測器(LVDT),分別量取檯面位移及加速度。

#### 三、控制器介紹

分別記為  $W_x$  及  $W_a$ , 且兩者相加必須為 1, 依據目標歷時內涵選擇權重,方法如圖二 所示。為了提升系統穩定性並有效降低擾 動及量測噪音對系統之影響,使用迴路整 形法來設計回饋控制器,記為 K,根據迴 路整形法設計的強韌控制器,能有效地讓 性能及強韌性獲得平衡。其流程主要有 三,首先必須獲得系統開迴路轉移函數, 即圖一中前饋控制器搭配權重分配提升振 動台頻寬,接著利用 H∞方法來求取控制 器的強韌穩定性,獲得最大穩定區間 (maximum stability margin)。最後根據系統 之變異性,使用 gap metric 指標來進行評 估,其值應落在最大穩定區間內才能確保 系統的穩定性,設計結果即為回饋控制 器,能同時兼顧性能及強韌穩定性。



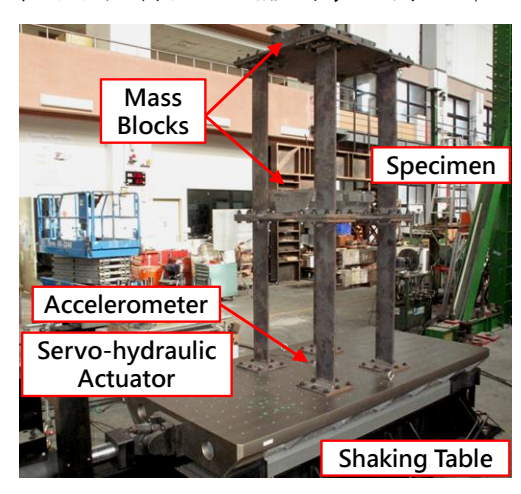
圖一 振動台加速度控制塊狀圖



圖二 權重選擇方法之示意圖

# 四、單自由度振動台

為觀察結構-控制互制現象,設計兩層 樓鋼結構試體錨定於剛體平台上,對含試 體之地震模擬振動台進行系統識別,探討 結構-控制互制現象在該地震模擬振動台 之影響程度。本研究設計之雙自由度結構如圖三所示,由 2 個樓板及 8 組柱元件組成,每個柱元件與上下共 2 個轉接板焊在一起,轉接板以螺栓與樓板及剛體平台接合。總重約 4.22kN,弱軸第一模態及第二模態分別為 3.42 及 8.95Hz。為提升振動台加速 度 追 蹤 性 能 , 使 用 dSPACE MicroLabBox 搭配 MATLAB/Simulink 來安裝外迴路控制器。試體安裝如圖三所示。



圖三 兩層鋼結構安裝於單自由度振動台

### 五、多振動台系統驗證

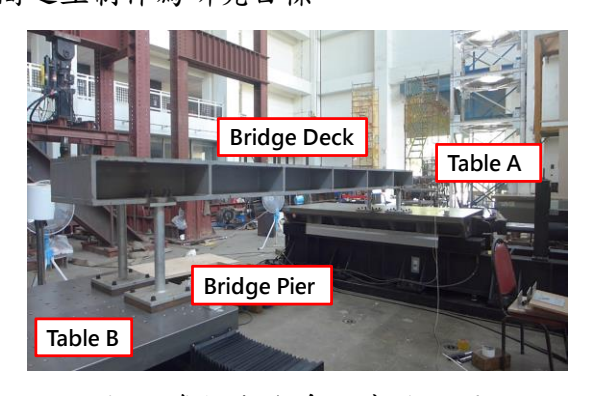
多振動台系統須至少考慮以下三個要素:(1)精確度,(2)同步性及(3)結構互制。首先多振動台各自重現加速度歷時的能力為基本條件,在頻寬內頻率響應盡量接近1但不要求相位落後。在多振動台系

統中,同步性是需要考量的因素,因為各 振動台特性有所不同,所產生的時間差也 有所不同。最後,多振動台間會透過試體 產生互制。本研究將來自其他振動台的互 制視為擾動來處理,考慮以上要素及安全 性,設計前饋控制器來提升多振動台系統 的性能。

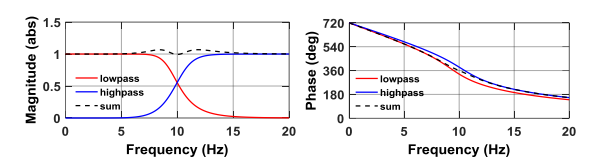
表一 單自由度振動台實驗結果

Earthquake	Controller	Specimen on		Specimen off	
$(m/s^2)$		$RMS_T$	$RMS_F$	$RMS_T$	RMS
		(%)	(%)	(%)	(%)
	PI	35.47	28.25	33.45	26.11
El Centro	DispSC + PI	28.33	16.02	30.96	17.74
(1.0)	AccelSC + PI	30.92	16.88	31.15	18.03
	WeightedSC + PI	27.96	16.01	29.52	17.66
	WeightedSC + FB + PI	28.12	16.47	28.15	16.55
	PI	37.95	30.54	35.57	28.12
Kobe	DispSC + PI	23.99	15.96	26.30	18.14
(1.0)	AccelSC + PI	24.90	16.69	27.73	18.96
	WeightedSC + PI	24.28	15.95	26.89	18.85
	WeightedSC + FB + PI	24.82	16.31	25.15	16.77

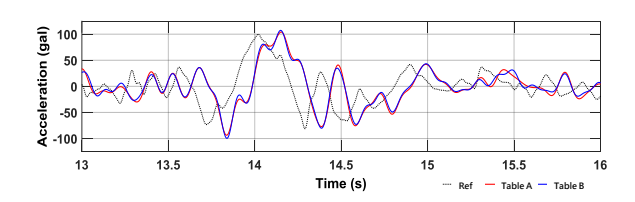
為了探討多振動台在試體跨接狀態下 之互制,考慮振動台孔位並設計適當試 體,設計及實際安裝結果如圖四所示。多 振動台系統實際上為一雙輸入-雙輸出系 統,輸入為兩支油壓致動器之命令,輸出 為檯面位移或加速度,因此  $G_{xu}$  和  $G_{au}$  為一 個大小為 2 之轉移函數矩陣,根據此矩陣 設計前饋控制器。為了提升同步性,分別 使用低通和高通濾波器對位移及加速度命 令進行處理,其頻率域響應如圖五所示。 兩者相加後在頻寬內的增益相當接近1。本 研究使用 El Centro 地震以評估多振動台系 統的性能,結果如圖六所示,可以發現雖 然兩者與目標歷時均有時間差,但兩振動 台間之時間差則不明顯,同時也發現由於 荷載及容量的差別,較小者容易受到大者 影響,未來可針對回饋控制器及多振動台 間之互制作為研究目標。



圖四 多振動台系統實驗配置



圖五 低通及高通濾波器之頻率域響應



圖六 多振動台實驗結果

### 六、結論與展望

本研究目標為跨接多振動台並提升各振動台重現地震歷時能力,建置可實驗時能力,建置可實驗時能力,建置可實驗時之實時實驗環境的進行。 現不同地震歷時之實時實驗環境台進行。 以既有之兩座地震模擬振動台進升。 大以將油壓伺服致動器視為整個系入 數位控制器視為整個系及加,並根據量別。根據實驗結果的 實於,並根據量別。根據實驗結果, 實於,並根據動台性能及兩振動白體 體控制器在提升振動台性能及兩振動回饋 控制器部分做進一步探討。

# 參考文獻

- Dyke, S. J., Spencer, B. F., Quast, P. and Sain, M.K. (1995) "Role of Control-structure Interaction in Protective System Design," Journal of Engineering Mechanics, ASCE, 121(2), 322-338.
- 2. McFarlane, D. and Keith, G. (1992) "A Loop Shaping Design Procedure using H∞ Synthesis," IEEE Transactions on Automatic Control, 37(6), 759-769.
- 3. Nakata, N. (2010) "Acceleration Trajectory Tracking Control for Earthquake Simulators," Engineering Structures, 32(8), 2229-2236.
- 4. Phillips, B. M., Wierschem, N. E. and Spencer, B. F. (2014) "Model-based Multi-metric Control of Uniaxial Shake Tables," Earthquake Engineering and Structural Dynamics, 43(5), 681-699.

5. Stoten, D. P. and Gomez E. G. (2001) "Adaptive Control of Shaking Tables using the Minimal Control Synthesis Algorithm," Philosophical Transactions of The Royal Society of London. Series A,1697-1723.

# 受震池槽結構液體動態載重研究之回顧

#### 劉季宇1

#### 摘要

自來水系統包含許多池槽結構,例如淨水場內的各種水池,以及散布各處的配水池。石化工業以及液體油料、各種液態物質的輸貯設施,更是大量使用圓柱形鋼槽之儲槽結構。這些在國、內外重大地震事件中,經常發生損害。本研究首先回顧池槽結構受震下的液體動態載重的理論研究,包含 Housner 以及 Veletsos 等人的理論解;其次,剖析各國池槽結構耐震設計規範,對於液體動態載重規定的理論基礎,所考慮之規範包括美國混凝土協會 ACI 350.3-06、美國石油協會 API 650、日本水道協會「水道施設耐震工法指針・解說」、歐洲 Eurocode 8、紐西蘭規範等。

關鍵詞:池槽結構、液體動態載重

### 一、引言

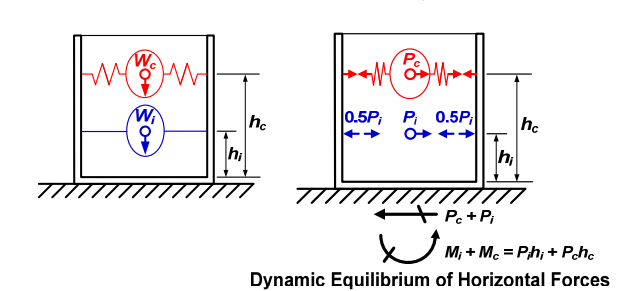
自來水系統包含許多池槽結構,例如淨水場內的各種水池,以及散布各處的配水池,這些在國、內外重大地震事件中經常發生損害,如日本阪神地震(1995/1/17,上ヶ原淨水場、会下山配水池)、集集地震(1999/9/21,豐原淨水場各種水池、腦館配水池)、紐西蘭序列地震(2010/9/4,Mw6.2,Huntsbury 一號配水池、McCormacks 二號配水池)等。石化工業以及液體油料、各種液態物質的輸貯設施,更是大量使用圓柱形鋼槽之儲槽結構,亦同樣常在地震(Cooper et al., 1997),日本十勝沖地震(2003/9/26,苫小牧煉油廠),以及土耳其伊茲密特地震(1999/8/17,Tupras 煉油廠)。

在地震力作用下,池槽結構受到液體動態載重,常為結構損壞之肇因。因此,實有必要細究液體動態載重分析之理論基礎,各種耐震設計規範對於液體動態載重的考量方式,進而在耐震分析實務中,可以掌握關鍵因素,是為本研究之主旨。

#### 二、Housner 模型與理論解

具有剛性外壁與底板的池槽結構,液

體動態效應的代表性研究,始於 Housner (1963)的簡化彈簧-質量動力系統模型。在該模型中,假設液體的動力作用,可拆解為衝擊模態(impulsive mode)與對流模態 (convective mode)兩部分,前者源於剛性固接於池壁的水體,後者源於受震盪而作晃動的水體,透過等效彈簧連接於兩側的池壁。如圖一所示,液體總重分配至代表衝擊、對流模態之液體等效重量 $W_i$ 及 $W_c$ ,,作用於前、後兩個池壁,力量各半。



**圖** Housner 池槽結構液體載重模型(ACI, 2006)

### 三、Veletsos 模型與理論解

Veletsos 針對圓柱形槽狀結構,提出基 於勢流理論(potential flow theory)的級數型 式的理論解,並進行液槽系統動力行為的

<sup>1</sup> 國家地震工程研究中心研究員

參數分析。其研究成果,發表於 ASCE (1984) 以及 Veletsos and Shivakumar (1997)。

考慮基底固定剛性圓柱形槽狀結構,內直徑為D,內半徑為R,液體高度為H,液體總質量為m,槽內任意位置 $(r,z,\theta)$ 以無因次的高度 $\eta=z/H$ 、徑距 $\xi=r/R$ 、圓周角 $\theta$ 表示。此時,考慮地震動加速度 $\ddot{x}_g(t)$ 下,將流場拆解為包含衝擊模態(下標i)與級數型式的對流模態(下標c,由級數n所構成)的勢流組合,配合圓形槽底、圓柱槽壁、自由液面的適當邊界條件,可以求得理論解。

茲以槽壁壓力為例,其時間域解表為:  $p(\eta,\theta,t)=p_i(\eta,\theta,t)+p_c(\eta,\theta,t)$ 

$$= c_i(\eta) \rho R \ddot{x}_g(t) \cos \theta + \sum_{n=1}^{\infty} [c_{cn}(\eta) A_{cn}(t)] \rho R \cos \theta$$

在 Veletsos 的理論解中,不同模態所 佔之液體質量,以及對流模態之頻率,可 分別表為:

$$\begin{cases} m_i = m - \sum_{n=1}^{\infty} m_{cn} \\ m_{cn} = \frac{2}{\lambda_n (\lambda_n^2 - 1) \frac{H}{R}} \tanh \left( \frac{\lambda_n H}{R} \right) \cdot m \end{cases}$$

$$f_{cn} = \frac{1}{2\pi} \sqrt{\lambda_n \frac{g}{R} \tanh \left( \frac{\lambda_n H}{R} \right)}$$

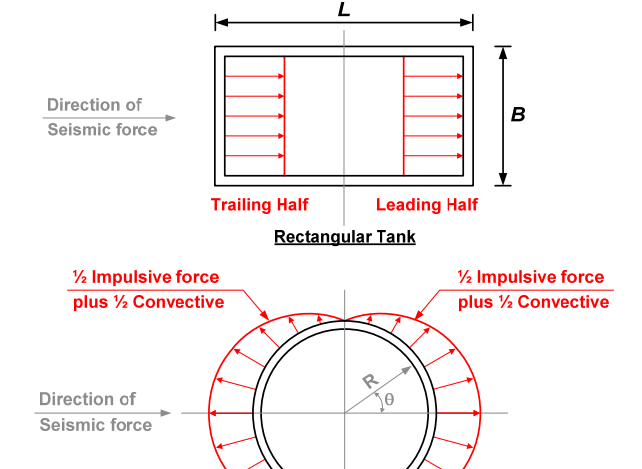
其中, $\lambda_n$ 為第一類、第一階 Bessel 函數( $J_1$ )的一次導數( $J_1$ ')的第n 個根, $\lambda_1$  = 1.841、 $\lambda_2$  = 5.311、 $\lambda_3$  = 8.536...。

Veletsos 針對可撓圓柱形槽狀結構,以及考慮結構與土壤之間的互制效應,進行許多參數分析的研究,成果主要應用於貯存液體的直立式薄壁鋼製儲槽,故歐洲Eurocode 8 規範(CEN, 2006)、紐西蘭規範(NZSEE, 2009)均予引用。

### 四、液體動態載重之分布

池槽結構的一般耐震分析,係採用靜力分析的方法,考慮液體的載重時,液體總重W<sub>L</sub>可分配至代表衝擊、對流模態之液體等效重量W<sub>i</sub>及W<sub>c</sub>,並分別引致衝擊、對

流模態力 $P_i$ 及 $P_c$ ,作用於前、後兩個池壁,力量各半,平面分布如圖二所示。池壁因此而區分為前行部(leading half)及尾隨部(trailing half),前行部池壁受到朝向地震力方向之推擠力,而尾隨部池壁則受到朝向地震力方向之拉曳力。



圖二 池槽結構液體動態載重之平面分布 (ACI, 2006)

Circular Tank

Leading Half

**Trailing Half** 

模態力P、P。實際為水壓分布,作用 於池壁與池底,隨高度或位置而變化,池 槽結構底部亦因此產生與之抗衡的基底剪 力與彎矩。若將彎矩表為模態力的集中力 與作用高度之乘積,並事先訂出集中力大 小及作用高度之表示式,即可大幅簡化彎 矩之計算,或是決定模態力實際對應的水 壓豎向分布。進行池壁分析或設計時,模 態力引致之壁底撓曲彎矩,不須考慮池底 水壓分布(excluding base pressure, 簡稱 EBP);反之,進行池槽結構之傾倒彎矩分 析或基礎設計時,則須納入池底水壓分布 (including base pressure, 簡稱 IBP)之貢獻。 因此,對於彎矩的考量,模態力P,及P。視 同於集中力,其作用高度h,及h,,會因 EBP 或IBP而有所不同。

## 五、不同耐震設計規範之比較

針對池槽結構的耐震設計,各國規範中以美國混凝土協會 ACI 350.3-06 規範

(ACI, 2006)、美國石油協會 API 650 規範 (API, 2007)、日本水道協會「水道施設耐震工法指針・解說」(日本水道協會, 2009)、歐洲 Eurocode 8: Design of Structures for Earthquake Resistance - Part 4: Silos, Tanks and Pipelines (CEN, 2006)、紐西蘭 NZSEE Seismic Design of Storage Tanks: 2009 (NZSEE, 2009)等,發展相對較為完備所採用的動態水壓的模式,整理如表一所列。

表一 不同規範之液體動態載重假設

	矩形池槽結構	圓形池槽結構
美國 ACI 350.3 -06 (ACI, 2006)	Housner 模型	Housner 模型 (Veletsos 模型)
API 650 (API, 2007)	Housner 模型	Housner 模型
日本水道協會 (2009)	Mod-Westergaard 式 Housner 近似式	Bessel 函數式 Housner 近似式
紐西蘭 (NZSEE, 2009)	Priestley 等人建議 (1986)	Veletsos 模型
歐洲 Eurocode 8 (CEN, 2006)	同紐西蘭 (NZSEE, 2009)	同紐西蘭 (NZSEE, 2009)

相較於 Housner 的簡化彈簧-質量動力 系統模型(Housner, 1963), Veletsos 的模型 與理論解(ASCE, 1984; Veletsos et al., 1997) 在發展上更為細緻,在具可撓性圓柱形槽 狀結構的分析或設計上,亦有其必要性, 然而必須涉及不同類型、不同階數的 Bessel 函數的計算,殊為不便。反之,諸如鋼筋 混凝土池槽結構,池壁具有相當的厚度(剛 度),則 Housner 的模型與理論解不失精 確,計算也極簡易,為方便而可靠的選擇。 因此,美國 ACI 350.3-06 採用 Housner 的 模型與理論解。惟考慮圓形池槽結構時, 改採 Veletsos 模型以計算對流模態的重(質) 量比與週期(取第一模態),以求精確。

API 650 (API, 2007)適用於地面、直立、圓柱形之鋼製液體儲槽,液體動態載重採 Housner 模型。規範不要求進行結構有限元素分析,而是按規範條文及檢核公式,逐一檢核貯槽的基底抗滑、槽壁最大箍向張力與縱向壓力、錨定、傾倒穩定性、頂板高於液面距離(freeboard)等。

日本水道協會(2009)對於矩形池槽結構,採 Modified Westergaard 式,或是Housner 近似式。前者表為:

$$p(z) = \beta \left(\frac{B}{H}\right) \cdot \frac{7}{8} \rho \sqrt{z \cdot H} \cdot \ddot{u}_{g}$$

係就 Westergaard 所提水壩受震之水壓模式,乘上無因次的修正係數 $\beta$ (長度B、高度H的比值的函數),以反映二維有限水體的尺寸效應。Westergaard模式,則係假設水庫之壩體為剛性垂直壁,一側為水平無限延伸之水體,質量密度為 $\rho$ ,在受震(簡諧地震動,加速度振幅 $\ddot{u}_g$ )時,壩體在水表以下深度z處所受的動態水壓作用之解析結果(Westergaard, 1931)。

至於 Housner 近似式,這裡是指衝擊 模態引致的池壁在水表以下深度 Z 處的動 態水壓,表為:

$$p(z) = \sqrt{3}\rho H \cdot \left[ \frac{z}{H} - \frac{1}{2} \left( \frac{z}{H} \right)^2 \right] \tanh \left( \sqrt{3} \frac{B}{2H} \right) \cdot \ddot{u}_g$$

日本水道協會(2009)對於圓形池槽結構,採 Bessel 函數式,或是 Housner 近似式。前者將池壁在池底以上 Z 處的動態水壓表示為:

$$p(z) = \rho R \cdot \sum_{i=0}^{\infty} \left[ \frac{(-1)^{i}}{\lambda_{i}} \cdot I^{(i)} \left( \frac{R}{H} \right) \cdot \cos \left( \lambda_{i} \frac{z}{H} \right) \right] \cdot \cos \phi \cdot \ddot{u}_{g}$$

其中R為圓形池槽結構之內半徑、 $\phi$ 為圓 周角,此外

$$\begin{split} \lambda_{i} &= \frac{2i+1}{2}\pi \\ I^{(i)}\!\!\left(\frac{R}{H}\right) &= \frac{2}{\left(\frac{R}{H}\right)} \cdot \frac{I_{1}\!\!\left(\lambda_{i} \frac{R}{H}\right)}{\lambda_{i} \cdot I_{0}\!\!\left(\lambda_{i} \frac{R}{H}\right) - \frac{H}{R} \cdot I_{1}\!\!\left(\lambda_{i} \frac{R}{H}\right)} \end{split}$$

其中 $I_0$ 、 $I_1$ 分別為第零階、第一階的第一類修正 Bessel 函數。

至於 Housner 近似式,這裡亦指衝擊 模態引致的池壁在水表以下深度 Z 處的動 態水壓,表為:

$$p(z) = \sqrt{3}\rho H \cdot \left[ \frac{z}{H} - \frac{1}{2} \left( \frac{z}{H} \right)^2 \right] \tanh \left( \sqrt{3} \frac{R}{H} \right) \cos \phi \cdot \ddot{u}_g$$

歐洲 Eurocode 8 (CEN, 2006),針對圓形池槽結構的分析,採用 Veletsos 模型與理論解,並將槽狀結構細分為剛性以及具可撓性等兩種,分別規定動態水壓載重,紐西蘭規範(NZSEE, 2009)亦同。

#### 五、結語

本研究回顧 Housner 與 Veletsos 等人 對於池槽結構受震下的液體動態載重的理 論研究,並剖析美國、日本、歐洲、海西 蘭等之池槽結構耐震設計規範,對於液體 動態載重規定的理論基礎。限於篇幅,對 項內容不作細表。關於 Housner 彈簧-質量 動力系統模型的完整理論推導,應用於 動力系統模型的完整理論推導,應用於 動力系統模型的完整理論推導,應用於 大心狀結構耐震分析的液體動態載竟分 布設定方式、耐震設計規範條文及解說(草 案),以及矩形與圓形水池結構分析案例 等,相關細節可參閱台灣自來水公司研究 報告(2017)。

#### 六、誌謝

感謝台灣自來水公司委託專業服務案 「自來水池狀結構耐震設計規範」提供經 費,本研究部分成果得以順利完成,在此 深致謝忱。

### 參考文獻

- 1. American Concrete Institute (ACI), 2006, ACI 350.3-06 Seismic Design of Liquid-Containing Concrete Structures and Commentary.
- 2. American Petroleum Institute (API), 2007, "API 650 Welded Steel Tanks for Oil Storage," 11-th Ed.
- 3. American Society of Civil Engineers (ASCE), 1984, Guidelines for the Seismic Design of Oil and Gas Pipeline Systems, Section 7.
- 4. Comite Europeen de Normalisation (CEN), 2006, "Eurocode 8 Design of Structures for Earthquake Resistance Part 4: Silos, Tanks and Pipelines".
- 5. Cooper, T. W., 1997, A Study of the Performance of Petroleum Storage Tanks During Earthquakes, 1933-1995, NIST GCR 97-720, Gaithersburg, MD.
- 6. Housner, G. W., 1963, "Dynamic Pressure on Fluid Containers," TID-7024, Chapter 6 and Appendix F, U.S. Atomic Energy Commission.
- 7. New Zealand Society for Earthquake Engineering (NZSEE), 2009, "Seismic Design of Storage Tanks: 2009".
- 8. Priestley, M. J. N., et al., 1986, Seismic Design of Storage Tanks Recommendations of a Study Group of the New Zealand National Society for Earthquake Engineering.
- 9. Veletsos, S. A. et al., 1997, "Dynamic Response of Tanks Containing Liquids or Solids," in Computer Analysis and Design of Earthquake Resistant Structures, Earthquake Engineering Series, Vol. 3.
- Westergaard, H. M., 1931, "Water Pressure on Dams during Earthquakes," Trans. ASCE, Vol. 9833, Proc. Nov.
- 11. 日本水道協會,2009,「水道施設耐震工法指針·解說」。
- 12. 台灣自來水公司,2017,「自來水池 狀結構耐震設計規範委託專業服務案」 成果報告書暨規範條文及解說(即出)。

# 地理資訊系統核心運算技術之研發

楊承道 1 林祺皓 2 葉錦勳 3

#### 摘要

因應近年網際網路與行動裝置大數據的收集運用、各種災害即時監測站的建置與政府開放資料的政策,本研究擬整合更多新的大量數據與監測資料,讓地震災害損失逐步進入大數據分析世代。為克服舊軟體框架的限制,擬定研發新一代適用 TELES 的地理資訊系統(Geographic Information System,GIS)核心運算技術。本研究中將這個地理資訊運算核心模組,命名為 Ginny (Geographic Information & Novel Notion Yolk,Ginny)。

關鍵詞:地理資訊系統、應用程式介面

#### 一、前言

因應近年網際網路與行動裝置大數據 的收集運用、各種災害即時監測站的建置 與政府開放資料的政策, 本研究擬整合更 多新的大量數據與監測資料,讓地震災害 損失逐步進入大數據分析世代。為克服舊 軟體框架的限制,擬定研發新一代適用 TELES (Yeh, 2006) 的 地 理 資 訊 系 統 (Geographic Information System, GIS)核心 運算技術。本研究中將這個地理資訊運算 核心模組,命名為 Ginny (Geographic Information & Novel Notion Yolk, Ginny) • 地理資訊系統核心運算技術的研發計畫預 定執行三年,104 年度重點工作為進行需 求分析、架構設計與初步實作。透過分析 多年累積的專家建議、程式開發者經驗與 一般使用者需求,訂定發展目標,並依此 目標擬定 Ginny 的架構設計。本年度(105) 重點工作為採用物件導向技術,配合開源 碼(Open Source)資源與 104 年度之成果實 作 Ginny 原型程式。並嘗試發展能在多核 心電腦 (Multi-core processor) 上利用多執 行緒 (multi-threading) 進行平行運算的演 算法。下年度(106),將對本應用程式庫的 可靠性與正確性進行測試,預定投入大量

基礎資料對前兩年度之開發成果進行測試。

Ginny 的研發採用物件導向的技術 (Object-Oriented Technology, OOT)進行, 相較以往傳統的程序導向設計方法,物件導向技術更能夠闡明軟體模組之間如何透過訊息的傳遞,運用封裝、繼承、多態等機制來協作構造一個軟體系統。以下本採用物件導向技術,說明 Ginny 的需求分析、技術回顧、架構設計。

### 二、需求分析

透過對多年累積的專家建議、程式開發者經驗與一般使用者需求的分析,(A)基本的發展目標: (A)基本功能:應具備基本的空間屬性、幾何類基本的空間屬性、幾項基本的空間屬性,三項類別等。(B)特色需求:考慮對既的統一性,明發過程採用物件化的應用程式處理,好的增工,與實際的方面,可能過程採用物件化的應用程式處可不行處的。首先基本功能方面,Ginny應到無過一致換格式、及可平行處的。首先基本功能方面,Ginny應到其份為三項:(1)空間查詢:可透過結構可概分為三項:(1)空間查詢:可透過結構的資料屬性與幾何物件(例

<sup>1</sup> 國家地震工程研究中心副研究員

<sup>2</sup> 國家地震工程研究中心助理研究員

<sup>3</sup> 國家地震工程研究中心研究員兼組長

如 點、線、面),進行條件(condition)、群 組(Group)、與排序(order)等的查詢。空間 查詢應不僅考慮到屬性的關聯, 也應該能 夠對幾何物件的關聯進行運算。(2)幾何物 件管理:包含對所有幾何物件的新增、編 輯、與運算功能。幾何物件的運算功能應 包含,切割、組合、與環域的運算等。(3) 座標系統的統一性:在台灣最常用到的座 標系統大地基準有 TWD67、TWD97 和 WGS84 三種,容易造成混淆。尤其是年代 稍早的地理資料檔案,常只有幾何物件的 座標,而沒有說明所使用的座標系統。 Ginny 的開發考慮到舊資料的座標系統差 異可能造成的問題。其次特色需求方面, 新軟體的研發應考慮到對既有程式的相容 性、一般使用者的使用習慣與未來的發展 需求,具體訂定以下的重點原則:(1)以檔 案為資料的傳遞與交換基礎 (2)物件化的 介面 (3) 運算效能。

### 三、技術回顧

Ginny 的研發以 SpatiaLite 為核心基 礎,如圖 1所示,SpatiaLite 是以多個開源 碼軟體為基礎衍生開發出來的一種簡易、 具空間運算功能的空間資料庫(Spatial database,以下簡稱 GeoDB)。因為它已具 備三個 Ginny 所需需求的功能,所以本研 究以它作為基礎,研發自有的功能項目。 這三個已有的功能分別是:(1)單一資料庫 檔案,與其他功能相似的 GeoDB 比較,它 不是以客戶端-伺服器形式運作,而是直接 讀取單一的資料檔案,這個特色有利於簡 化軟體成品的安裝流程; (2)記憶體資料庫, 可透過純記憶體資料庫(In-Memory Database)的方式運作,有利於發展平行與 分散式演算法;(3)具備 Virtual Shapefile table 模組,可以將 Shapefile 模擬成一個虛 擬的資料表,在佔用極少電腦資源的情況 下,即可進行多個 Shapefile 之間的關聯式 空間查詢(relational spatial query)。開源碼 與商業軟體相較,商業軟體通常整合性較 佳也較不會有版本相容性問題,而開源碼 則相對較有彈性較能適應開發者的特殊需

求。開發者開發過程中得小心處理版本差 異與各個相依軟體間可能存在的相容性問 題。請參圖 1, SpatiaLite 主要由 SQLite、 GEOS、與 PROJ.4 這三套件為主要核心功 能並配合其他四個輔助套件組成。

GEOS 是一個全名為 Geometry Engine,這個軟體的目標是支援開放源碼地理資訊系統(以下簡稱, OpenGIS)的幾何運算與查詢功能。GEOS 實作了定義於 Open Simple Features for SQL 的功能,支援 GIS 常用的幾何物件。經過長久的發展已成為各種 OpenGIS 軟體的基礎,例如 QGIS、SpatiaLite、MapWinGIS等,這些套裝軟體都是建立在 GEOS 的基礎上。另外,需要特別強調的是這個軟體提供了 C 與 C++程式語言庫介面,這提供與既有軟體 TELES 間非常好的相容性。

PROJ.4 是一個利用 C 語言實作的函式庫。GIS 的座標資料為了適應各區域的差異與歷史沿革,所使用投影作標系統種類非常多,而 PROJ.4 即是專門用來適應各種座標系統的投影製圖。PROJ.4 在OpenGIS 中的重要性幾乎與 GEOS 相當,目前較主流的 OpenGIS 軟體也都會引用到這個函式庫。

SQLite 為 SpatiaLite 所有資料庫核心功能的基礎,而 SpatiaLite 是一個將 SQLite 加上空間資料管理功能後的衍生軟體。SQLite 是一個應用廣泛而且小巧的資料庫管理系統,可以找到的資源非常豐富。

SpatiaLite 其他四個輔助套件分別為:
(1) Libxml 為 xml 解析器 (parser);
(2)FREEXL 可用來讀取 Microsoft Excel (.xls)試算表。(3)ZLIB 提供資料壓縮功能;(4) Iconv 用來解決字元轉碼問題的工具,包含一個應用程式與函式庫。由於電子計算機發展的歷史因素,使得各種語言的字元編碼形式種類繁多,例如:中文的編碼方式就至少包含 GB2312 與 BIG5,而國際碼(Unicode)的編碼方式也至少包含 UTF-8 與 UTF-16。這個轉碼工具有其必要

性,因為SQLite主要只支援UTF-8與UTF-16,而台灣地區的中文資料普遍使用BIG5儲存。

### 三、架構設計

Ginny 的開發主要以 SpatiaLite (Furieri, 2008)為基礎,如圖 2。首先是利用 其 Virtual Shapefile Table 的功能,將 Shapefile 整合成 SpatiaLite 的虛擬表格, 整合後的虛擬表格可使得 Shapefile 具備 原來沒有的空間查詢以及幾何物件的管理 功能。而類似的功能 Virtual dbasefile 也可 以作用在 dbase file 上,使得沒有帶幾何屬 性的資料表也可以配合其他的資料表做關 聯查詢。大致上來說 SpatiaLite 所控制的 資料表形式,對 Ginny 的功能較重要的有 GIS 表格、屬性表格、view、virtual shapefile 、virtual dbasefile 等五種。而 Ginny 內部為了方便管理這五種資料表形 式,設計以單一的抽象類別 CELL DATA 來代表一個資料表所有的屬性與所有內含 的空間資料,並將共用的操作介面定義為 CELL DATA 的成員函數。

CELL DATA 類別的生成與管理是透 過一個專屬的工具類別 GEODB 來完成, 如圖 3。GEODB 主要的功能被設定為管理 一個(單一)的 SpatiaLite 資料庫檔案。若要 管理多個 SpatiaLite 資料庫檔案,則可以 生成多個 GEODB 實體完成。由於 SpatiaLite 具備獨特的記憶體形式,所以 GEODB 也可以代表一個純記憶體形式的 SpatiaLite 資料庫。CELLDATA 的衍生類 別共有五個為:唯讀的 GIS 表格、可讀寫 的 GIS 表格、唯讀的表格、可讀寫的表格、 與暫存的查詢結果。這五個衍生類別主要 的功能是控制 shapefile 與 SpatiaLite 資料 檔的讀寫與資料結構的維持。每一個 CELL DATA 管理的資料分成屬性與資料, 分別由 Tab\_property 類別管理屬性與 Tab\_data 類別管理資料。Tab\_data 類別管 理包含:欄位型別、欄位長度、欄位名稱、 幾何物件的所有空間點位資料與完整的資 料矩陣。一個完整的 Tab\_data 可以輸出成

一個 shapefile 檔案或者由 shapefile 檔案生成。Tab\_property 類別則管理 CELL DATA 的名稱(又稱為 name 或者 alias)、是否可讀寫、對應 SpatiaLite 內實際表格形式與 shapefile 路徑名稱。

CELL DATA 類別與地圖類別 MAP CANVAS 的關聯如圖 4。地圖由多個向量圖層類別 LAYER 套疊合成。而每一個LAYER 類別實際上對應到一個 CELL DATA 的空間資料表。而圖層的視覺化展示形式,例如線條、點的顏色、主題圖的形式等是由 STYLE 類別控制。比較特別的是 Ginny 的設計可以讓不同的圖層共用同一種 STYLE,用同樣的形式來展現不同來源的資料。

### 五、結論與展望

本年度重點工作為採用物件導向技術,配合開源碼(Open Source)資源與上年度之成果實作原型程式。目前程式處於剛完成的離型階段。預定下年度(106),對現有的原型程式的可靠性與正確性進行測試,並作適當微調以達到可實用之目標。

# 參考文獻

- 1. Yeh, C. H., Loh, C. H., & Tsai, K. C. (2006). Overview of Taiwan earthquake loss estimation system. Natural Hazards, 37(1-2), pp. 23-37.
- 2. Furieri, A (2008). A spatial extension to SQLite,

https://en.wikipedia.org/wiki/SpatiaLite

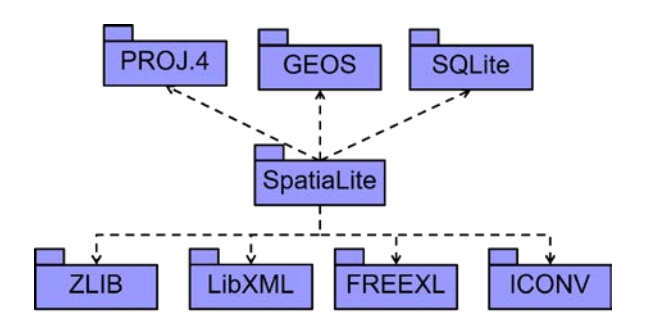


圖 1 SpatiaLite 與主要相依套件關係圖

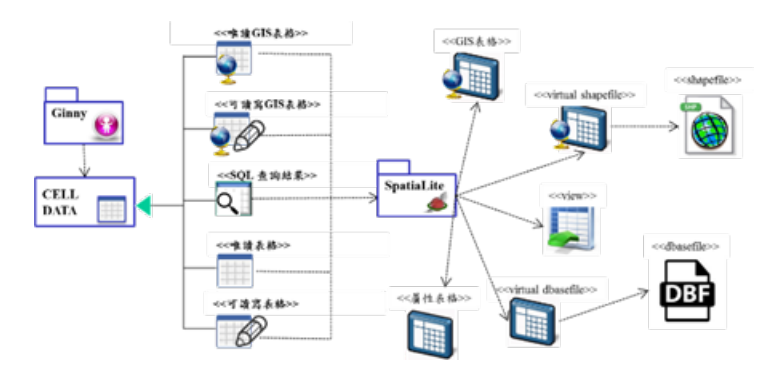


圖 2 Ginny 與 SpatiaLite 關聯示意圖

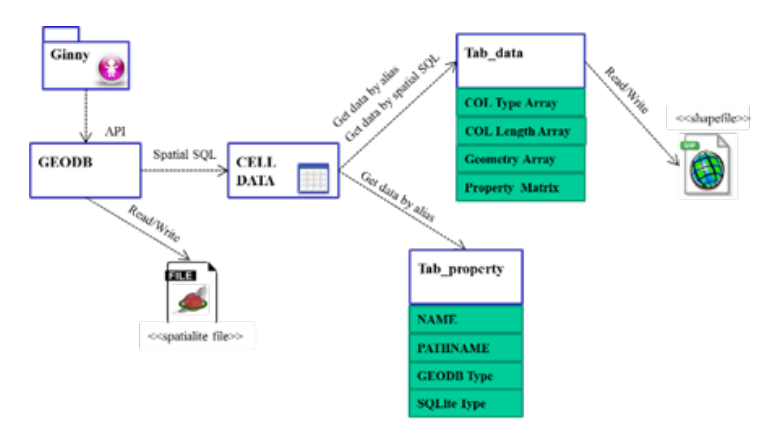


圖 3 Ginny 資料結構類別(class)示意圖

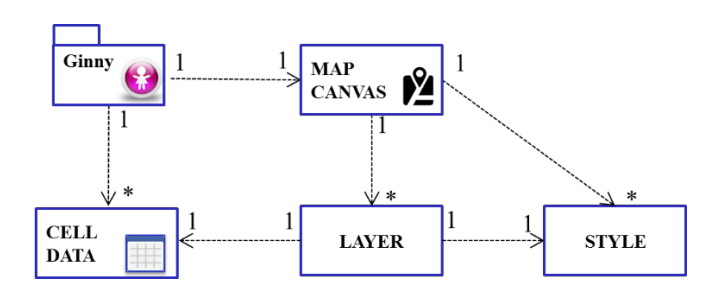


圖 4 Ginny 資料與地圖類別關聯示意圖

# 公共給水系統地震災害衝擊模擬技術研究

葉錦勳 1 劉季宇 2 洪祥瑗 3 黃季暉 4

#### 摘要

公共給水系統為重要維生系統之一環,強震過後之第一時間,若能得到自來水系統損壞與損失的推估結果,提供自來水主管機關與事業單位,藉以掌握取水和淨水設施、送水幹管、輸/配水管網損害可能與震後缺水率、停水戶數等資料,必有助於正確、快速地評估災情,並採取適切有效的應變作為。本計畫目標為提升公共給水系統在地震防災與應變的效能,以既有的震災境況模擬技術(含地震災害潛勢分析、重要設施與送/配水管線震損評估等)為基礎,探討強震後各供水系統(或營運廠所)可能的缺水率和停水戶數等災害衝擊模擬技術。

關鍵詞:自來水、缺水率、震災境況模擬

#### 一、前言

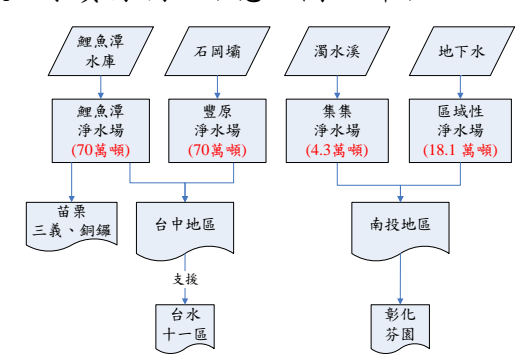
地震發生具極大的不確定性, 公共給 水系統的管線與設施數量龐大、分布廣泛 且耐震性能差異極大。一旦致災性地震發 生,造成部分取水和淨水設施、送水幹管、 翰/配水管網等損害,導致部分地區的用戶 無水可用。本研究延續自來水系統既有之 震災境況模擬技術研發成果,發展自來水 系統受震害衝擊之損害暨損失推估程序, 研擬震後缺水率、停水戶數等推估模式, 並以示範區以進行重要想定地震事件之情 境模擬分析,進而擬訂防災應變與風險管 理對策。除收集個別供水系統的地震災害 潛勢、水源特性、自來水設施耐震參數、 翰配水管網分布及耐震屬性等資料外,也 彙整以往致災性地震的各項調查資料或紀 錄。以落實應用於自來水系統震災風險管 理工作之強化,協助各級政府與事業單位 作好地震減災應變之施政作為。

## 二、台水四區現況與震害經驗

近數十年來,台灣地區發生且導致最嚴重災情當屬民國 88 年的九二一地震;當時自來水系統受創最嚴重地區屬台灣自來

水公司第四區管理處(台水四區)管轄。因此,本計畫以台水四區為主要研究區域,收集探討台水四區之水源、淨水場、送/配水管網與供水調配等的特性;並整理九二一地震當時重要設施(如引水渠道、配水池、加壓站和水管橋)和送/配水管線的災損統計資料;瞭解震後台水四區因應停電、淨水設施和送水幹管等損害所造成的營運衝擊,以及當時緊急供水調度的作法和完全恢復供水所需的時間等。

台水四區供水範圍包含台中市與南投縣,以及彰化縣芬園鄉和苗栗縣卓蘭鎮,同時亦支援彰化縣部分用水。目前台水四區有 25 個供水系統,15 個營運所與給水廠,水資源調配示意如圖一所示。



資料來源:經濟部水利署中區水資源局 圖一 台水四區水資源調配系統示意圖

<sup>1</sup> 國家地震工程研究中心研究員暨震災模擬組組長

<sup>2</sup> 國家地震工程研究中心研究員

<sup>3</sup> 國家地震工程研究中心助理研究員

<sup>4</sup> 國家地震工程研究中心助理研究員



圖二 九二一地震受損淨水設備位置示意

九二一地震為車籠埔斷層錯動引致, 震央在南投縣集集鎮,芮氏規模 7.3,震源 深度 8 公里。車籠埔斷層為逆衝斷層,從 北至南造成長約80多公里的地表破裂帶; 斷層主要為南北走向,於豐原一帶向東側 轉 45 度延伸至卓蘭。由於東勢、石岡等地 的地表破裂最為劇烈,其受災情況也最嚴 重。大型供水系統之淨水設施損壞,除豐 原一場全毀外,其它破壞形態多為取水、 淨水單元損壞,配水池倒塌及氣曝塔倒 塌。區域性供水系統之淨水設施損壞,主 要為導水管損壞、取水井損毀。九二一地 震當時台水四區概分為36個供水系統,計 有 22 座淨水設備損害。淨水設備受損的位 置與九二一當時供水系統的關係,以及與 目前的鄉鎮區界套疊結果如圖二所示。損 害的淨水場多數位於車籠埔斷層上盤和鄰 近斷層的強震區。

# 三、震後缺水率簡易經驗式

根據九二一地震勘災調查資料及台水四區各供水系統和營運廠所在地震前/後之每日出水量、配水量等紀錄,研擬震後缺水率和停水戶數推估模式。九二一地震當時台水四區可概分為 41 個供水評估單元。依各供水評估單元之震後每日出/配水量紀錄後,依平時日均配水量概分為大型供水系統與小型供水系統(以 10,000 CMD 作為分界)。大型供水系統因送水幹管與輸

水幹管管線較多,在震後可以閥調配水量,維持正常配水;但因配水管網的分布較廣、管線災損數較多,在地勢較高或管線末端地區需較久時間方能恢復供水系統震後如遇停電、取水強壓。 型供水系統震後如遇停電、取水資配水管、 地損害等,無法即時取得外部支援配水管、 大型供水系統震後如遇停電、取水資配水管。 大型供水系統震後如遇停電、取水資配水管。 大型供水系統震後如遇停電、取水資配水管。 大型供水系統震後如遇停電、取水資配水管。 大型供水系統震後如遇停電、取水資配水管。 大型性水系統震後如遇停電、下型。 大型性水系統震後可能須完工。 大型性水系、 大型体、 大型体、 大型体、 大型体、 大型体、 大型体、 大型、 大型、 大量、 大量、 大量、 大量、 大量、 大量、 大量

$$S_i = \frac{\overline{D} - D_i'}{\overline{D}}$$
 (1)

换言之,震後缺水率乃實際可用水量(D')與平常日均配水量(D)之差值與平常日均配水量(D)之差值與平常日均配水量的比率。根據九二一地震後個別供水評估單元的配水管網震後初始災損率與其震後配水量短少的統計,運用非線性迴歸分析法,可獲得大型供水系統之震後初始缺水率的簡易經驗式,表如下式

$$S_1 = \frac{1}{1 + 1.008 \cdot RR_1^{-0.7085}} \tag{2}$$

個別供水評估單元震後初始缺水率表為配水管網之管線初始災損率的函數。小型供水系統震後缺水率的變異性極大,部分小型供水系統於震後完全停水,但與配水管網災損並無直接關聯;因此建議小型供水系統之震後缺水率參考川上英九(1996)的研究成果。

# 四、震後缺水率情境模擬推估模式

影響供水評估單元震後供水能力的因素眾多,本研究屏除外部干擾因素,只綜合考慮供水評估單元之內/外部淨水場出水率、淨水場至輸/配水管網間送水幹管的送水能力,及內部輸/配水管網供水功能。

假設某供水評估單元日常所需的每日配水量為 $\overline{D}$ ,由 N 個淨水場合力提供;令震前第 k 個淨水場可提供之每日配水量為 $\overline{D}_k$ ,且 $O_k$ 為第 k 個淨水場之震後出水率;並假設共有  $M_k$ 條送水幹管連接第 k 個外

部淨水場至供水評估單元,其中第j條送水幹管的送水量佔全部送水量的比率為入。 震後第j條送水幹管的送水率(定義為震後仍能維持的送水量與原始送水量的比值)為 ①,則供水評估單元(在進入輸/配水管網前)於震後可獲得的每日配水量為

$$\mathsf{D} = \sum_{k=1}^{\mathsf{N}} \left[ \; \overline{\mathsf{D}}_k \cdot \, \mathsf{O}_k \cdot \sum_{j=1}^{M_k} (\lambda_j \cdot \, \Omega_j) \right] \quad (3)$$

考慮震後供水評估單元內部網損害程度,用戶實際可獲得水量(D')為

$$D' = \theta \cdot \{1 - L_i\} \cdot \sum_{k=1}^{N} \left[ \left. \overrightarrow{D}_k \cdot O_k \cdot \sum_{j=1}^{M_k} (\lambda_j \cdot \Omega_j) \right]_{(4)} \right.$$

其中,令 500 mm 以上之輸水幹管在震後 與震前之供水能力的比值為  $\theta$ ,假設  $\theta$ 為 輸水幹管災損數的函數; 450 mm 以下之配 水管網的震後流失率 L 則定義為經由配水 管網流失之水量與進入配水管網之配水 管網流失之水量與進入配水管網之配水量 的比值。換言之, $D' = \theta \cdot (1 - L) \cdot D$ ,表 示將供水評估單元所獲得的配水量(即式(3) 推估值)扣除輸水幹管和配水管網流失的水 量才是用戶實際可獲得水量。據式(1)進一 步計算該供水評估單元於震後的缺水率。

理論上,震後淨水場出水率 $\mathbf{O}_{\mathbf{k}}$ 、送水幹管送水率 $\mathbf{\Omega}_{\mathbf{j}}$ 、供水評估單元內部之輸水幹管供水率 $\mathbf{0}$ 和配水管網震後流失率 L等值均隨時間而變化;如能推估震後不同時間點的 $\mathbf{O}_{\mathbf{k}}$ 、 $\mathbf{\Omega}_{\mathbf{j}}$ 、 $\mathbf{0}$ 和 L,即可推估該時間點的缺水率。 $\mathbf{O}_{\mathbf{k}}$ 、 $\mathbf{\Omega}_{\mathbf{j}}$ 和  $\mathbf{0}$ 超近於  $\mathbf{1}$  且 L 超近於  $\mathbf{0}$  所需時間,代表該供水評估單元完全恢復供水所需時間。如單純比較前述四項因素的個別修復所需時間,也可約略概估該供水評估單元完全恢復供水時間。

## 五、震後停水戶數與缺水率關係式

震後會因實施分區輪流供水、限水或停水等措施,與政府宣導節約用水的必要性,每戶日均用水量(d)可望減少。各供水評估單元震後缺水率乃指用戶實際可得水量減少的比率。如每戶日均用水量降低,意謂相同水量可供給更多的用戶,因此震

後採行適當的措施可減少停水戶數。將供水評估單元之停水戶數與其總戶數的比率稱為斷水率(S'),有別於震後缺水率(S)。 停水戶數(V)和斷水率(S')可分別表為

$$v = H - H' = H \cdot \left(1 - \frac{1 - S}{\gamma}\right)$$
 (5)

$$S' = \frac{V}{H} = 1 - \frac{1-S}{V} \tag{6}$$

其中,H和H'分別為供水評估單元內的總 戶數和震後可獲得用水的戶數;γ為震後與 平時之每戶日均用水量的比率。γ為震後 缺水率的函數,當震後缺水率越大時,每 戶日均用水量可望下降。

### 六、地震災害衝擊情境模擬

綜合考量台水四區附近已知活動斷層 分布和活動特性,選定大甲-彰化斷層和屯 子腳斷層作為影響台水四區最嚴重的活動 斷層,並根據個別活動斷層的調查資料, 設定最大可能地震事件的震源參數如表一 所示,台水四區管理處之模擬結果於表二。

表一 最大可能地震事件的震源參數

活動斷層		規模 (M <sub>L</sub> )				
屯子腳	平移	7.0	8	60	13.7	17.9
大甲彰化	逆	7.3	5	30	69.3	30.0

表二 台水四區最大可能地震模擬結果

	配水管	災損	幹管	災損	修復	修復
活動斷層	100-	250-	500-	800	時間	成本
	200	450	750	以上	(隊-時)	佰萬
大甲彰化	5,400	345	21	22	85,386	419
屯子腳	2,240	140	8	14	36,290	178

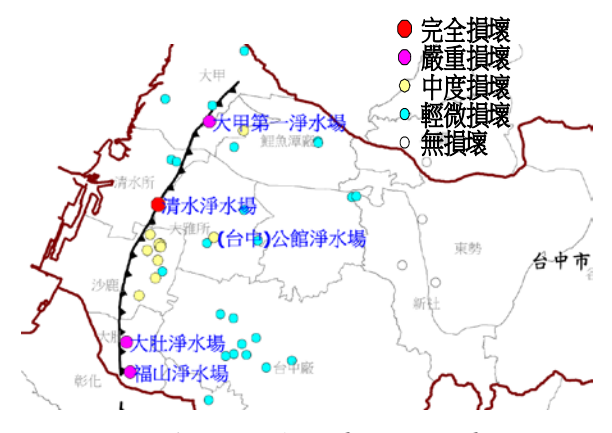
大甲-彰化斷層地震可能引致清水淨水場完全損害,修復時間約需10個月,總計各區處受損淨水場的修復費用約12億7千萬元。屯子腳斷層地震引致淨水場損害較輕微,修復時間約兩個月,總計各區處受損淨水場的修復費用約3億1千萬元。台水四區管理處之輸/配水管線災損模擬

結果比較如表二,以修復時間(隊-時)和修 復成本而言,大甲-彰化斷層地震引致的管 線災損約為屯子腳斷層地震引致管線災損 規模的 2.34 倍。大甲-彰化斷層地震後缺水 率和停水戶數推估結果如表三所示。

表三 大甲-彰化斷層地震後推估結果

供水評 估單元	戶數	每日 配水量	震後 缺水率	缺水量	斷水 率	停水 戶數
台中廠	509,757	946,232	0.97	770,903	0.96	487,328
沙鹿	54,191	100,591	0.96	80,777	0.94	50,831
大雅所	45,574	84,596	0.93	66,153	0.90	41,199
清水所	43,408	80,575	0.92	61,967	0.88	38,329
鳥日所	24,106	44,746	0.90	33,937	0.87	20,876
南投	37,721	64,000	0.83	100,583	0.77	29,045
大肚	11,051	9,300	0.81	7,486	0.74	8,211
大甲	22,667	22,200	0.79	19,272	0.73	16,502
豐原廠	107,958	200,397	0.77	124,374	0.70	75,139
草屯	43,307	59,440	0.73	43,099	0.65	28,106
鯉魚潭	22,416	41,610	0.73	83,782	0.66	14,750
霧峰	15,942	17,300	0.70	14,025	0.62	9,852

「淨水場和送水幹管送水率」反應外部淨水場震後出水率,以及將清水送至供水評估單元之送水幹管的送水率;「輸水幹管輸水率」和「震後流失率」分別反應內部輸水幹管和配水管網的供水能力;綜合前述三個欄位的值即可推估震後缺水率,也可探討各供水評估單元於震後缺水的原因。大甲-彰化斷層地震淨水場震損評估結果如圖三。



圖三 大甲-彰化斷層地震淨水場震損評估

#### 七、結語

本計畫以既有震災境況模擬技術(含地 震災害潛勢分析、重要設施與送/配水管線 震損評估等)為基礎,整合自來水各項基本 圖資和耐震屬性資料、個別淨水場與供水 評估單元之出/配水量關係,彙整九二一地 震時,取水和淨水設施、配水池、加壓站、 水管橋和送/配水管線等的災損資料。研擬 並修訂相關設施與管線震損評估模式所需 的參數值,管線震後初始災損率推估缺水 率的經驗式,由供水評估單元內之震後缺 水率和缺水量的推估結果再進一步轉化為 該供水評估單元內之斷水率、停水戶數和 影響人數等。藉此了解強震對自來水設施 與管線災損數量、對社會所造成的衝擊, 和引致的經濟損失等後果的嚴重性和分 布,可提升公共給水系統之震前防災整備 和震後應變對策。

# 参考文獻

- 1.川上英二,1996,「道路交通システムの形状 と連結確率との関係」,第1 回都市直下地 震災害総合シンポジウム,pp.169-172。
- 2.台灣自來水公司,2000a,「九二一集集大震 自來水搶修(復舊)紀實」。
- 3. 台灣自來水公司,2000b,「台灣省自來水事業統計年報」,第二十二期。
- 4. 陳耀楠、王炳鑫,2003,「九二一集集大地震 之供水設施損壞分析研究」,中華民國自來 水協會,台北。
- 5. 經濟部水利署,2016,「公共給水系統地震 災害衝擊模擬技術之研究」研究報告,計畫 編號 MOEA-WRA-1050316,台北。

# 醫院緊急供電設備物之耐震易損性研究

林祺皓 1 劉小勤 2 楊承道 3

#### 摘要

有鑑於責任急救醫院係為大規模地震災害後之緊急醫療服務的重要設施,本研究利用九二一震害醫院為研究基礎,探討緊急供電設備物之耐震易損性。易損性用以描述設備物遭遇地震衝擊時之損害機率。設備物的損害機率與其安裝設置條件有關,故本研究考量設備物在不同耐震缺失下之損害差異。利用專家評估之耐震缺失分數,與結合場址的地震危害度曲線,以訂定不同耐震缺失之易損性參數。此外,以九二一地震時之震度,結合震害醫院位置和設備物所在樓層,綜合研析設備物耐震易損性參數之合理性。

關鍵詞:緊急供電、地震危害度曲線、耐震易損性

### 一、前言

美國 1971 年 San Fernando 地震、 1994 年北嶺地震,以及日本阪神地震的醫 院建築勘災報告中,都有地震導致災區醫 院嚴重受創而無法參與救災的記錄。台灣 處於環太平洋地震帶,近年來震度六級以 上地震紀錄中,如:1999 年集集地震、2006 年台東、恆春地震、2010 年高雄甲仙地震 等,均發生醫院無法發揮醫療機能的情形。 從這些經驗中得知,當災難型地震造成大 量傷患湧進鄰近的醫療院所時,如何確保 在黃金 24 小時內將傷患送至仍具有緊急 救護功能的醫療院所,是決定災民是否存 活的關鍵因素。

事實上,在921 集集地震後,國人已開始重視醫院設備物的耐震分析研究。於2000 年,姚昭智在調查南投縣四間醫院建築的功能性設施中,即指出掉落物(包括磚牆、輕鋼架天花板及吊掛石材)、淹水、缺電及醫療、分量、會嚴重影響災後醫療功能。(姚昭智,2000)。同年,莊佳章等人針對醫院建築功能性設施提出耐震等估方式。認為必須先調查空調、緊急供電、供水、熱源供給、通訊系統中各設備間連

結的關係,並繪製成邏輯樹圖。再利用美國 EQE 公司的統計方式作為單項設備物評估量化的依據,最終可藉由邏輯樹圖推算出整體系統的耐震分數(莊佳璋,2000)。

繼集集地震受災醫院耐震性能研究陸續完成之後,為延續前人努力研究的成果,並避免當災難型地震來臨時,傷患無法及時送達適當醫療院所的情形發生。本研究欲利用前人評估之耐震缺失分數,結合場

<sup>1</sup> 國家地震工程研究中心助理研究員

<sup>2</sup> 國家地震工程研究中心專案助理研究員

<sup>3</sup> 國家地震工程研究中心副研究員

址的地震危害度曲線,重新推導醫院的非結構物與功能性設施於不同耐震缺失下之易損性參數。並期望後續得以將研究結果與國內醫院設備物之邏輯樹概念整合後,融入台灣地震損失評估系統(Taiwan Earthquake Loss Estimation System)中,以利未來的防救災業務與管理上可得以有效評估地震潛在的風險程度與可能導致的醫院災損情形。

### 二、研究對象

醫院為地震救災活動中扮演重要的角色,不僅要保護原有病人的安危,對於震後大量湧入的新病患,其醫療救災功能也必需保持正常運作功能。然而,一般地震發生之後,醫院建築的結構體可能只受到輕微損傷,但卻因為院內非結構物的嚴重損壞,使得醫院的緊急醫療功能無法如預期發會效用。

依據莊佳璋、姚昭智針對九二一震災醫院調查(2001),發現維持醫院機能的供電、空調、給水、熱水、通訊等系統中之設備物及維生管線容易在地震中受損,基至影響醫院使用機能。因此,本文研究對象即以醫院可自給的重要機電系統為主,針對緊急供電系統耐震易損性進行研究,採討設備物的損害機率與其安裝設置條件間的關聯性。

#### 三、設備物易損性研究

為研究非結構物的耐震易損性,MCEER(1999)廣泛調查收集、細緻整理了發生在美國本土和國外的地震中非結構物的損壞記錄,並求得了各項重要設備物的易損性曲線參數,以繪製橫坐標為PGA的易損性曲線。透過該易損性曲線,可求得設備物在各PGA值的地震震動下的弱損性曲線,MCEER進而建立了一套設備物制。 震評估系統,即以機率統計的資料,給電影情物一個耐震分數,分數越高(莊佳璋,設備物一個耐震分數越高(莊佳璋,2001)。

具體而言,單一設備物的耐震分數的計算如公式 1-6 所示,BS 為設備物的耐震基本分數(Basic Score),是在設備物正常安裝條件下,由易損性分析而得;PMF是為考量各項設備物安裝條件缺失而納入的修正分數項 (Performance Modification Factor),其數值建立在專家評估的基礎上。RS 為修正後的設備物耐震分數 (Resultant Score),即為基本分數與某項缺失產生的修正分數的差值。

$$RS = BS - PMF \tag{1}$$

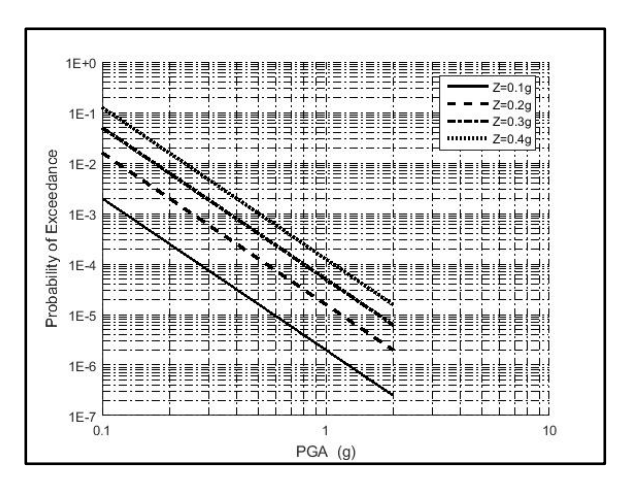
$$BS = -\log(P_{fa}) \tag{2}$$

$$P_{fa} = \int_{0}^{\infty} \frac{-\partial H}{\partial PGA} \cdot P_{f} \cdot dPGA$$
(3)

$$P_f = \Phi(\frac{\ln(PGA/x_m)}{\beta}) \tag{4}$$

$$\frac{\partial H}{\partial PGA} = a \cdot 10^b \cdot PGA^{(a-1)} \tag{5}$$

$$\log_{10} H = a \log_{10} PGA + b \tag{6}$$



圖一用於基本分數推導的地震危害度曲線

其中,H為地震危害度的年超越機率,a和b為函數參數。圖一中四條直線為平行直線,代表具有相同的斜率,即相同的a值。對應于圖一中的各直線,計算出不同應分值(表1)。設備物的地震反應有關,同時與設備物位震度相關。考量樓層對地震作用的放大效應,MCEER採用加速度樓高放大係數來考量這一放大效應。具體計算的放大效應。其體計算的地上樓高分為3段,在部1/3樓高內的加速度放大係數取為1,5。

本研究假定  $RS = -\log(P_{fa})$  , $P_{fa}$  、 $P_f$  、  $P_f$  、  $P_f$  、  $P_f$  的計算公式均同前所述,反推  $P_f$  , 各耐震缺失對應的設備物易損性參數  $(x'_m$  和  $\beta'$  ),其中  $\beta'$  均假設為 0.5 。藉由逆推導獲得各項耐震缺失下的設備易損性曲線,我們能求得在某地震動強度下,設備物由於某缺失原因而損害的機率。對於損害機率大的缺失可作為耐震補強措施之依據。

# 四、緊急供電設備物易損性研究

921 集集地震後,莊佳璋負責的研究小組受行政院的委託,對地震災害較嚴重的南投地區的四家急救責任醫院救護設備的防震措施進行了評估(2001)。本研究依據評估報告中的醫院緊急供電設備物的資料,由逆推導法求得設備物的耐震易損性。

此四家醫院分別編號為甲醫院、乙醫院、丙醫院、丁醫院。四家醫院的緊急供

電系統中,需考量的重要設備物有分電盤(Control Panel)、發電機(Generator)、蓄電池(Battery Rack)、柴油桶(Tank)、冷卻水塔(Cooling Tower),這些設備物於MCEER 評分表中對映的編號分別是 EL-04、EL-08、EL-06、TK-01、MN-04。

表一-五中列出了MCEER 依據場址、設備物所在樓層而訂立的各設備物在不同耐震缺失下的修正項,表中 $x'_m$ 和 $\beta'$ 列為根據耐震評分,且依照本研究之逆推導法,求得的設備物易損性中值與標準差。

表一 分電盤耐震評分暨易損性參數

	分電盤			$\beta'$
	安裝良好			0.4
	PMF1	無固定支座	0.58	0.5
	PMF2	支座固定不佳	0.67	0.5
耐	PMF3	力傳遞不佳	0.58	0.5
震	PMF4	易受大力撞擊	1.22	0.5
缺	PMF5	剛性連接	0.58	0.5
失		地震動引起設備		
	PMF6	物間或同結構物	0.46	0.5
		間相互作用		

表二 發電機耐震評分暨易損性參數

	發電機			$\beta'$
	安	装良好	2.0	0.4
	PMF1	無固定支座	0.78	0.5
	PMF2	支座固定不佳	0.91	0.5
7.1	PMF3	存在避振隱患	0.91	0.5
耐震	PMF4	剛性連接考量	0.58	0.5
長缺	PMF5	啟動器與發電機	0.58	0.5
失		間存在移位	0.50	0.5
		地震動引起設備		
	PMF6	物間或同結構物	0.91	0.5
		間相互作用		

表三 蓄電池耐震評分暨易損性參數

	3	$x'_m$	$\beta'$	
	安	装良好	2.5	0.4
	PMF1	無固定支座	0.67	0.5
	PMF2	支座固定不佳	0.78	0.5
耐	PMF3	無電池間隔物	0.67	0.5
震	PMF4	無縱向横撑	0.78	0.5
缺	PMF5	電池無束制	0.58	0.5
失		地震動引起設備		
	PMF6	物間或同結構物	0.58	0.5
		間相互作用		

表四 柴油桶耐震評分暨易損性參數

	柴油桶			β'
	安	装良好	1.6	0.4
	PMF1	無固定支座或支	0.56	0.5
耐		座固定不佳		
震缺	PMF2	底部剎車裝置未 固定	0.89	0.5
失	PMF3	剛性連接考量	0.71	0.5
入	PMF4	底部支撐腳尺寸 不足	0.71	0.5

表五 冷卻水塔耐震評分暨易損性參數

	冷卻水塔			$\beta'$
	安裝良好			NA
7.1	PMF1	無固定支座或支	0.46	0.5
耐震	PMFI	座固定不佳	0.46	0.5
長缺	PMF2	底部剎車裝置未	0.91	0.5
<b>共</b>	FIVIF2	固定	0.91	0.3
大	PMF3	剛性連接考量	0.46	0.5

#### 五、結論

本文提出的耐震分數逆推導法考量了 設備物的場址震度,以及設備物所在樓層 的加速度放大效應,以損害機率的形式呈 現非結構設備物在各種缺失情況下的耐震 性能和可靠度。該逆推法而得之損害機率 可以作為耐震評分系統的補充。

## 参考文獻

- 1. 姚昭智,「功能性設施之損壞」,九二 一集集大地震建築物災害調查分析,財 團法人成大建築文教基金會,台南 (2000)。
- 2. 姚昭智、莊佳璋、郭耕杖,「醫院功能 性設施損壞分析及改善措施研究」,地 震災害境況模擬研討會,國家地震工程 研究中心,台北市(2001)。
- 3. 柴駿甫,「醫院耐震評估補強準則之研 擬(I, II, III)」, 科技部專題研究計畫 (2011~2014)。
- 4. 莊佳璋等,「台南地區急救責任醫院救護設備之防震措施評估」,衛生署 DOH89-TD-1223,(2000)。
- 5. 莊佳璋等,「台南地區急救責任醫院救護設備之防震措施評估」,衛生署 DOH90-TD-1069,(2001)。
- É 華 等 , 「南部地區醫院防震級救災 能力評估」,衛生署 DOH91-TD-1133 , (2002)。
- 7. 許藝瀚,「醫院機電系統耐震性能評估研究」,碩士論文,國立成功大學建築研究所,台南 (2007)。
- 8. 郭耕杖,「醫院建築功能性設施耐震評估」,碩士論文,國立成功大學建築研究所,台南 (2001)。
- 9. 葉錦勳,「台灣地震損失評估系統-TELES」,國家地震工程研究中心,台 北市 (2002)。
- 10. Multidisciplinary Center For Earthquake Engineering Research (MCEER), "Seismic Reliability Assessment of Critical Facilities: A Handbook, Supporting Documentation, and Model Code Provisions", Technical Report MCEER-99-0008 (1999).

# 臺灣老舊校舍耐震能力提升計畫

蔣佳憓1次文成2鍾立來3

#### 摘要

臺灣校舍耐震評估與補強相關計畫執行迄今已有九年的時間,截至 106 年 1 月 26 日資料顯示,公立高中職以下學校初步評估與詳細評估作業大致已完成,亦指耐震能力不足校舍皆已明朗,未來應依序其耐震能力由低至高,並考量各棟校舍使用頻率之多寡逐一進行補強或拆除,以保障師生生命財產安全。依據臺灣校舍耐震補強資料庫目前尚餘2,000 棟校舍尚未完成補強施工或拆除作業,因此,教育部國民及學前教育署向行政院爭取三年 180 億元經費用以改善全體校舍耐震能力,以期於 109 年起,全體師生擁有一個安全健康的教學環境。

關鍵詞:教育部、校舍、耐震評估與補強、校舍耐震資訊網

### 一、前言

因臺灣位於歐亞大陸板塊與菲律賓海板塊交界處,屬地震頻繁之區域。據統計臺灣每隔 15 至 20 年級會發生一次災難型地震,造成國民傷亡與經濟損失。學校係培育下一代重要場所,提供一健康安全的環境是教育部一項重要的課題,又加上校舍往往於災害發生後,擔負起收容、安置,庇護災民的重要角色,如遭逢倒塌將嚴重影響整體國家之社會發展。

教育部自 98 年起爭取中央預算,全面 推動老舊校舍耐震能力提升計畫,針對公 立高中職以下各級學校之老舊校舍,逐一 進行耐震體檢,若確認該棟校舍為耐震能 力不安全者,則進行耐震補強或拆除整建, 逐步確保全臺校舍之耐震能力。本計畫目 的在於強化老舊校舍耐震能力,於下一次 大地震來臨前做好準備,保障師生生命財 產安全免受地震災害之威脅。

# 二、臺灣校舍耐震補強計畫之策略

臺灣公立高中職以下學校數量龐大, 當全面執行耐震評估或補強時,應有一經 濟有效之執行策略,逐一縮小問題之規模, 避免因量體龐大、耗時費日,使計畫難以 推動,損害原先設定計畫目標之美意。

臺灣校舍耐震補強計畫之策略分為現 地普查、初步評估、詳細評估、補強設計 及補強工程,共計五個階段(如圖1)。現 地普查係清查全臺公立高中職以下校舍之 量體,將其興建年代、面積、校舍使用狀 熊與結構型式等資訊儲存於資料庫內,進 而確認需進入初步評估作業之列管量體, 凡民國 88 年以前(含) 興建之一般類(師 生直接使用)校舍都須執行初步評估,當 校舍經初步評估求得耐震指標 15 值小於 80分,則須進行詳細評估作業,詳細評估 結果 CDR 值大於 1 則表示該棟校舍符合現 行耐震法規,反之則表示耐震能力不足, 須進一步執行耐震補強或拆除作業,以確 保其耐震能力。在此流程中,詳細評估與 補強設計均須通過審查,以確保分析及設 計之合理性與正確性,而補強施工則藉監 造來確認施作之品質。

<sup>1</sup>國家地震工程研究中心專案技術員

<sup>2</sup>國家地震工程研究中心助理研究員

<sup>3</sup>國家地震工程研究中心副主任

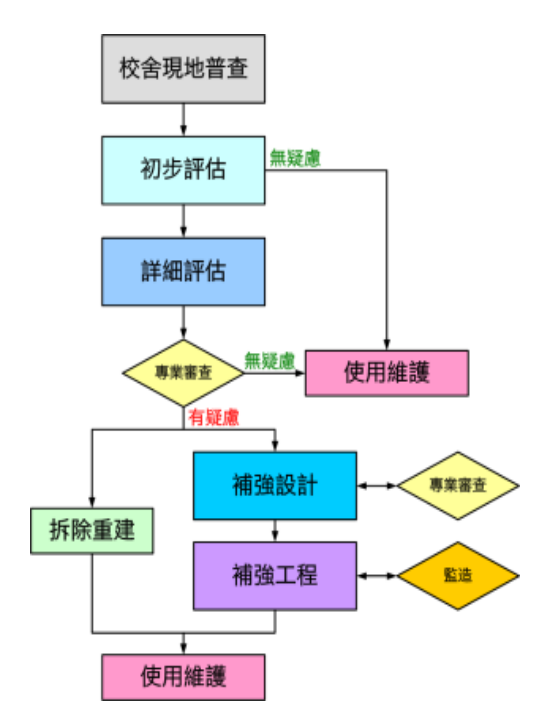


圖1 臺灣校舍耐震補強計畫之策略

### 三、執行現況

臺灣校舍耐震評估與補強工作執行至今已有將近九年的時間,解除列管率從98年計畫開始至105年已來到88.9%(如圖2),大多數的校舍都已完成耐震能力提升的工作。

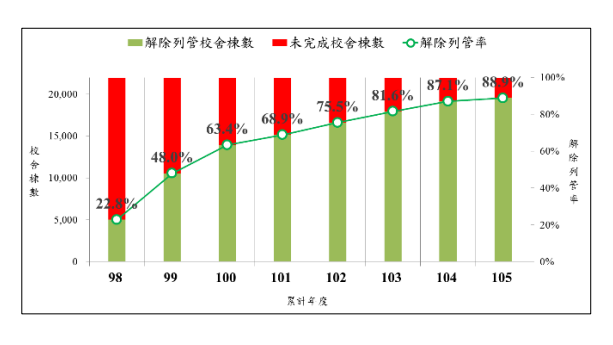


圖 2 98-105 年解除列管率

與 104 年解除列管率 87.1%相比,105 年度初步評估結果為安全無疑慮校舍新增 15 棟、詳細評估結果判定為安全校舍新增 18 棟、補強設計結果不須補強校舍新增 1 棟、補強工程竣工校舍新增 412 棟、已核 定補強工程經費刻正執行中校舍新增 275 棟、核定拆除經費校舍新增 98 棟。

#### 四、各階段作業之執行進度

為加速執行老舊校舍耐震評估與補強 作業,教育部擬定校舍耐震評估與補強執 行期程規劃,102年完成初步評估、104年 完成詳細評估、105年完成高震損風險補 強、108年完成所有耐震能力不足校舍補 強,以下逐一檢視目標之執行情況。

#### (一) 初步評估

依據第十七次季報數據(資料截止至 106年1月26日)顯示,全臺計有13,688 棟校舍需進入初步評估階段,其中已完成 之校舍有13,679棟,餘9棟校舍尚未完 成,經查證未完成之校舍,其中有8棟校 舍為重新辦理初步評估,另1棟校舍已拆 除重建,待檢送相關佐證文件後即可解除 列管,初步評估完成率為99.9%。

觀察全臺初步評估結果 Is 值 200 分以下統計圖表 (如圖 3),發現大多數介於 50分至 80 分間,約占整體初評校舍數 38%。

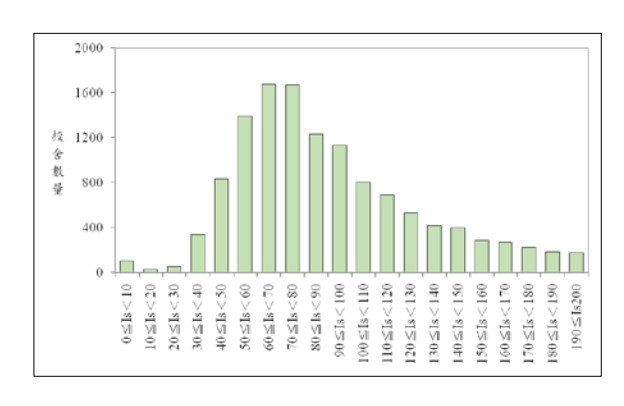


圖 3 初步評估結果 Is 值分佈圖

#### (二) 詳細評估

初步評估結果須進入詳細評估階段計有7,972棟校舍,目前已完成詳細評估校設計有7,943棟校舍,尚有29棟未完成。經檢視未完成29棟校舍大多已有經費刻正辦理中,待評估完成並上傳成果後即可確認其耐震能力,詳細評估完成率為99.6%。

全臺詳細評估作業大致已完成,將詳 評結果 CDR 值以長條圖方式由小至大展開 亦呈常態分佈(如圖 4),且校舍評估結果 多集中於 0.5 至 0.8 間。若觀察耐震能力不足 (CDR 小於 1) 之校舍,則占總棟數 87%,由此可知初步評估方法具初步篩選耐震能力不足校舍之鑑別度。

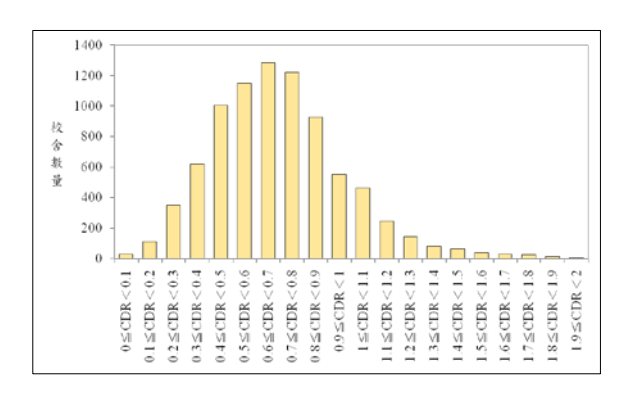


圖 4 詳細評估結果 CDR 值分佈圖

#### (三) 高震損風險校舍

### 五、結論與展望

為於 108 年完成全臺公立高中職以下 校舍耐震評估與補強之目標,並使全體師 生於耐震安全之校舍內,進行教學之活動, 教育部向行政院國家發展委員會爭取新台 幣 180 億元預算,分三年(106-108 年)時 間執行,用以達成耐震補強、拆除與重建 之目標。

依據臺灣耐震資訊網顯示,全臺公立 高中職以下校舍尚有 2,000 餘棟未完成耐 震補強拆除,未來三年若以每年平均數來 看,每年約有超過700 棟校舍需執行耐震補強或拆建棟數,數量之龐大,係為未來一項大挑戰。為達成108年全面提升老舊校舍耐震能力,應有相關措施得以配合。例如校舍安置計畫之擬訂、發包策略之運用等。

校舍專案辦公室為提供提供相關校園 安置計畫範例予各校參閱,持續針對不同 安置計畫之類型進行收集,安置計畫之方 式可區分為:

- 1. 校內安置
- 2. 校外安置
- 3. 變更教學時段

校內安置多將師生安置於校園餘裕教室空間,例如專科教室、行政辦公室等或將禮堂、活動中心等空間以隔板方式間隔出單位教室進行授課,亦有補強校舍傷以樓層之不同,區隔補強空間與教學空間,個如補強構件從一樓至三樓,而四樓的人工當與教學空間,避免學生誤闖,造成傷害。

而需校外安置之校園,大多發生於偏遠地區之學校,因其補強校舍為校園唯一教學行政空間,當該棟校舍需執行補強工程時,無其他校舍得以安置師生,因此需至校外進行安置,校外安置方式有借用它校餘容間、里民活動中心、地方廟宇等。校外安置需注意學生上下學之交通問題、校外安置需注意學生上下學之交通問題、在餐運送問題、並配合安置空間調整授課內容等。

第三類師生安置計畫方式則為變更教 學時段,將寒、暑假時段與期時段進行 對調,此類安置計畫可運用於本校無餘裕 教室需借用它校教室安置,但鄰近學校於 教學時段又無教室可借用時。部分縣市 於大政 所教育局處可讓學校調整寒暑假時段 所教育局處可讓學校調整寒暑假時段 配合它校之餘裕教室空間時段。安置 有許多方式,唯適合自己學校的安置方法 就是最好的方式。 另為加速各縣市補強工程發包之執行, 避免發包作業延誤執行補強施工之時間, 建議各縣市可採聯合發包方式進行,例如 經費高校舍涵蓋經費少校舍進行發包,或 市區學校涵蓋偏選地區校舍,或鄰近學校 聯合發包等策略,以吸引營建廠投標,提 高決標之機率,唯此方式建議應由各縣市 政府統籌處理為佳。

臺灣校舍耐震能力提昇計畫自 98 年執行至今,已建立完善作業制度,且教育部與各縣市政府皆已具有豐富之執行經驗,後續三年將堅持朝向最終目標邁進,期望能於 108 年完成全臺公立高中職以下校舍耐震評估補強之目標。預計於 108 年底校舍耐震評估補強之目標。預計於 108 年底校舍耐震評估補強計畫結束後,全臺高中職以下校舍解除列管率可達到 99% (如圖5)。

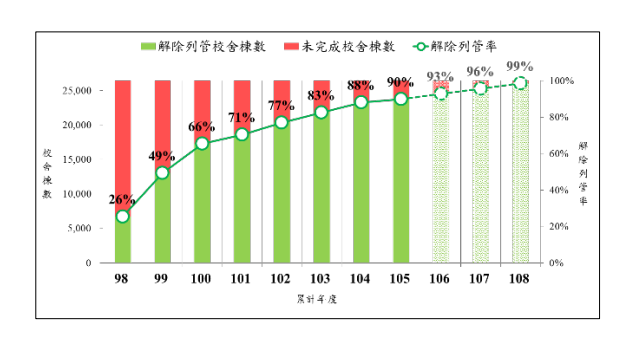


圖 5 108 年底前預估之解除列管率

# 参考文獻

- 教育部,公立國中小校舍耐震能力及設施設備改善計畫(106-108年度)(核定本),
   2016年9月。
- 2. 國家地震工程研究中心,(106-17)全國 公立國中小執行現況與展望報告,2017 年2月。
- 3. 國家地震工程研究中心,(106-17)全國 公立高中職執行現況與展望報告,2017 年2月。
- 4. 國家地震工程研究中心,校舍耐震評估 與補強電子報。

# 核能設施地震危害度重新評估-地震震源特徵

#### 摘要

地震震源特徵團隊系協助台灣電力公司(Taiwan Power Company, TPC)因應我國核能管制機關一行政院原子能委員會(Atomic Energy Council, AEC)之要求,針對核能電廠執行地震危害重新評估(Seismic Hazard Reevaluation)的部分,執行程序則依循美國「地震危害分析資深委員會(Senior Seismic Hazard Analysis Committee, SSHAC)」所訂定第 3 層級(簡稱 SSHAC Level 3)之程序,並參考美國 Diablo Canyon 核能電廠(Diablo Canyon Power Plant, DCPP)執行地震危害重新評估。針對 4 個目標廠址(四座核電廠)完成地震震源特徵(Seismic Source Characterization)評估。發展臺灣地震震源特徵模型須包含區域震源模型、活動斷層震源模型及隱沒帶震源模型。

區域震源模型使用三種模型,震源分區 B、震源分區 S 與不分區(Zoneless)模型。活動斷層震源模型 7 條主要斷層(Primary Faults)、47 條次要斷層(Other faults)及 2 條隱沒帶界面(Subduction Zone Interface)斷層。隱沒帶震源模型分成板塊界面型與板塊內部(Subduction Zone Intraslab)型,板塊界面採用斷層震源形式設定,板塊內部採用區域震源方式設定。地震震源特徵團隊需能夠確認每一個地震震源特徵模型的參數設定皆須有學術上或技術上的支持與解釋,並調查出模型中不確定性的中值、體值、範圍值(Center, Body, Range, CBR),進而於邏輯樹中合理的給予不同權重,最終完成地震震源特徵模型,以計算 4 個廠址的危害度曲線。

關鍵詞: SSHAC Level3、地震震源特徵、區域震源、斷層震源、 隱沒帶震源

#### 一、前言

2011年3月11日,日本東北太平洋近海發生 Mw 9.0 的地震。東京電力公司所屬的福島第一核能電廠,因強烈地震動引致海嘯導致嚴重核子事故,衝擊全球。許多先進國家開始審慎全面重新檢視核能電廠之安全性,並嚴格檢視、修改相關評估、設計及審查管制規範,提出新的管制要求。美國核能管制委員會(Nuclear

Regulatory Commission, NRC)組成近期專案小組(Near-Term Task Force, NTTF)進行調查與檢討,隨後出具研究報告提出35項改善建議,並要求營運中核能電廠反應器廠址需依最新的地質調查、地震紀錄與分析理論方法等,重新評估地震對廠址安全之衝擊。若地震危害重新評估的結果高於核能電廠原設計,得依評估結果決定電廠需強化的結構、系統與組件項目(Structures, Systems, and Components,

<sup>1</sup> 國家地震工程研究中心

<sup>2</sup> 中興工程顧問社

<sup>3</sup> 中央研究院 地球科學所

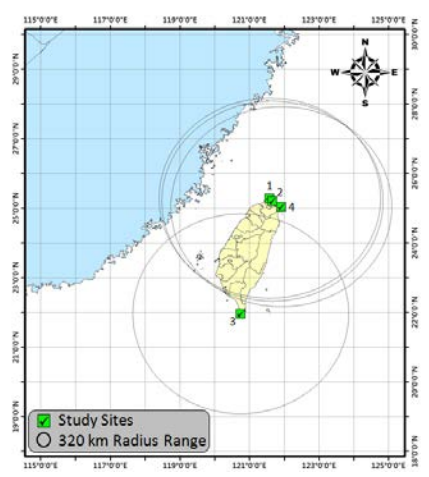
<sup>4</sup> 國立中央大學 地球科學系

<sup>&</sup>lt;sup>5</sup> Lettis Consultants International. Inc. Earth Science Consultants

SSCs),以確保核電廠對抗地震危害之能力。

# 二、計畫簡介

本計畫係屬務實性(Pragmatic)任務 非研究性(Research)探討,目的係為協助 台灣電力公司(Taiwan Power Company, TPC)因應我國核能管制機關一行政院原 子能委員會(Atomic Energy Council, AEC) 要求針對核能電廠執行地震危害重新評 估(Seismic Hazard Reevaluation),執行程 序則依循美國「地震危害分析資深委員會 Seismic Hazard (Senior **Analysis** Committee, SSHAC)」所訂定第3層級(後 稱 SSHAC Level 3)之程序,並參考美國 Diablo Canyon 核能電廠(Diablo Canyon Power Plant, DCPP)執行地震危害重新評 估的程序與考量的技術議題,建立適用於 台電公司指定 4 處目標工址 (4 座核能電 廠,位置如圖一所示)的地震源特徵 (Seismic Source Characterization, SSC)模 型,包含區域震源模型(Areal source model)、斷層震源模型(Fault source model) 及隱沒帶震源模型(Subduction zone source model)。並使分析模型中各參數的 中值(center)、基體(body)及範圍(range)分 布在技術上具備合理解釋(Technically Defensible Interpretations), 進而於邏輯 樹中合理的給予不同權重,最終完成地震 震源特徵模型,以計算4個廠址的危害度 曲線。

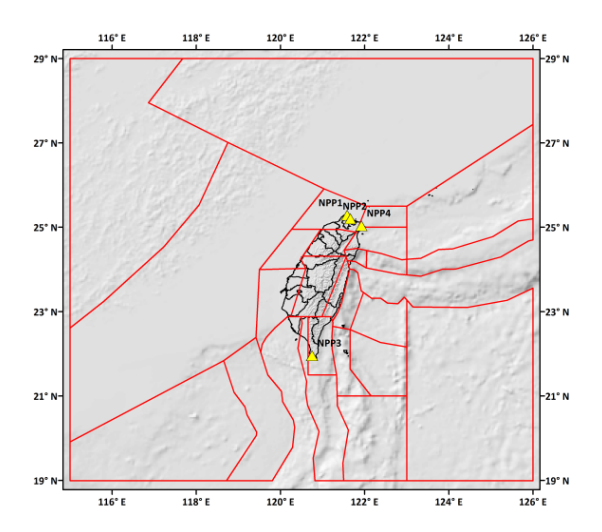


圖一 目標工址位置圖。編號 1-4 為四座 核能廠址。黑圈為電廠 320 公里範圍

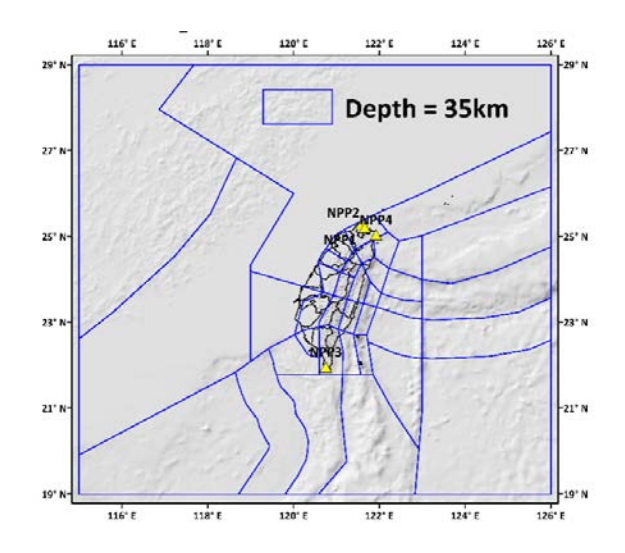
### 三、區域震源模型

臺灣島屬於造山帶,斷層密佈,地體構造破碎,然,造山累積之能量除了透過斷層活動產生大規模地震的方式釋放外,仍有不少地殼地震(Crustal earthquake)活動(規模 6.5 以下)的方式釋放能量。區域震源劃分的主要目的,在於綜合臺灣地體構造與地質特性等資訊之後,依各區域之差異性與特性,將臺灣島內及鄰近海域之差異性與特性,將臺灣島內及鄰近海域分區(Zoning Scheme),並假設地震隨機發生於單一震源分區之中,與斷層無關連性。

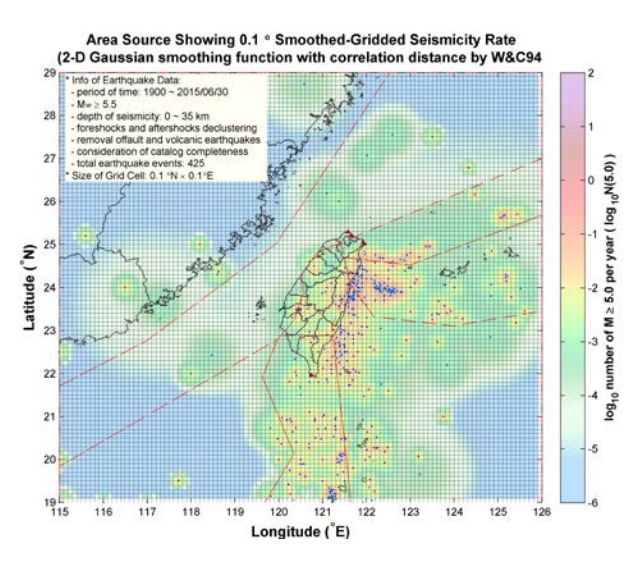
本計畫目前所使用的震源分區有三,一、二為本中心羅俊雄等人的震源分區(Loh et al., 1994)與中興社鄭錦桐等人(Cheng et al.,2002)所建立的震源分區,並整合中國東南沿海之震源分區(高戰武等,1996),並依照地體構造與震源分布等資訊,建立區域震源分區「Zoning Scheme B」(圖二)與「Zoning Scheme S」(圖三)。三則採用不分區(Zoneless)模型,用以檢視人工分區的不確定性(圖四)。



圖二 震源分區(Zoning Scheme) B 淺層模型



圖三 震源分區(Zoning Scheme) S 淺層模型

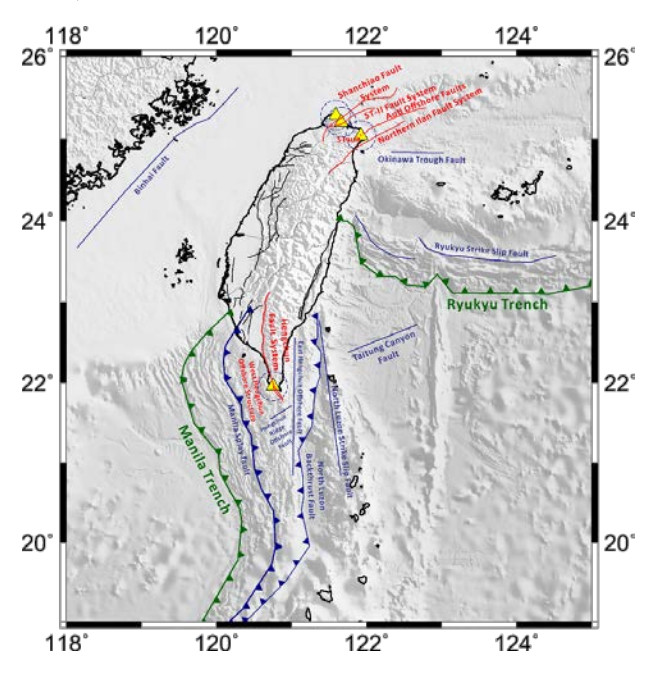


圖四 不分區(Zoneless)模型

### 四、斷層震源模型

斷層震源模型乃整合不同版本之地質空間資料與活動斷層分佈(如 TEM 2016 版本(Shyu et al.,2016)、中央地質調查所 2012 版本(林啟文等,2012)、中央大學應用地質所 1999 版本(Lee et al., 1999)等)。透過各規模及各距離區間的危害度貢獻參數拆解圖(deaggregation map)顯示在核電廠 20 公里內的斷層震源為電廠也震危害度的主要來源。因此,距電廠 20 公里內的活動斷層為電廠危害度之主要斷層震源,電廠 20 公里外則為次要斷層。

針對四做核電廠為廠址之斷層震源 (海域與陸域)共為 7 條主要斷層(Primary fault)、47條次要斷層(Other faults)及2條 隱沒帶界面(Subduction zone Interface)斷 層(如圖五)。斷層模型為設定主要斷層之 幾何模型(長度、傾角、破裂深度)、滑移 速率(Slip rate)。並依據歷史地震事件與 地質證據,討論斷層分段(Segmentation) 及可能破裂模式(Rupture model)。透過斷 層幾何求得可能的最大破裂面積,在利用 驗 闗 係 式 經 (Scaling relationship)(Wells and Coppersmith, 1994) 求得特徵地震規模(Characteristic Magnitude) 與 最 大 規 模 (Maximum Magnitude),用以算出斷層地震對廠址之 危害度。

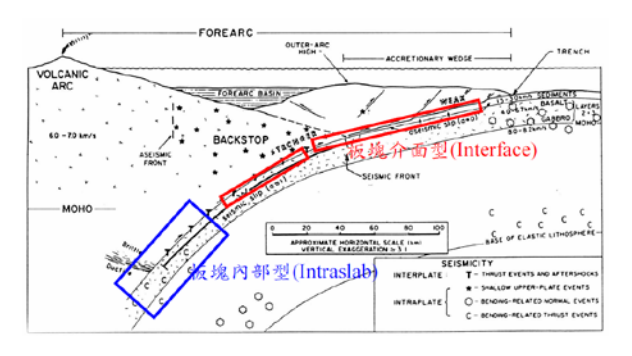


圖五 活動斷層圖。包含一共 7 條主要斷層(紅色)、48 條其他斷層(陸域黑色、海域藍色)及 2 條隱沒帶斷層(綠色)

# 五、隱沒帶震源模型

隱沒帶震源模型包含臺灣北部琉球隱沒帶(Ryukyu subduction zone)與臺灣南部馬尼拉隱沒帶之隱沒帶(Manila subduction zone)。隱沒帶震源又區分成板塊界面型(Subduction Zone Interface)與板塊內部型(Subduction Zone Intraslab)板塊內部型板塊界面型採斷層震源形式設定,包含板塊界面的幾何模型,利用幾何模型與尺度經驗關係式求得地震規模。板塊內部型則採

區域震源的方式,依隱沒板塊各段之地震 特性,區分出數個震源分區。透過計算得 出隱沒帶震源對廠址之危害度。



圖六 隱沒帶震源示意圖。紅色為板塊界面型,藍色為板塊內部型。修改自 Byrne et al., 1988

## 参考文獻

- 1. Byrne, D. E., Davis, D. M., and Sykes, L. R. (1988). Loci and maximum size of thrust earthquakes and the mechanics of the shallow region of subduction zone. Tectonics, 7, p. 833-857.
- 2. Lee, C. T. (1999). Neotectonics and active faults in Taiwan, Proceedings of the 1999 Workshop on Disaster Prevention/Management and Green Technology, Foster City, California, 61-74.
- 3. Loh, C. H., Yeh, Y. T., Jean, W. Y. and Yeh, Y. H. (1991). Probabilistic seismic risk analysis in the Taiwan area based on PGA and spectral amplitude attenuation formulas. Engineering Geology, 30, p. 277-304.
- 4. Shyu, J. B. H., Chuang, Y.-R., Chen, Y.-L., Lee, Y.-R., Cheng, T. C.-T. (2016) A New On-Land Seismogenic Structure Source Database from the Taiwan Earthquake Model (TEM) Project for Seismic Hazard Analysis of Taiwan. Terr. Atmos. Ocean. Sci., 27, 311-323, doi: 10.3319/ TAO.2015.11.27.02 (TEM).
- 5. Wells, D.L. and Coppersmith, K.J. (1994). New empirical relationships among magnitude, rupture length, rupture width, rupture area, and surface

- displacement. Bull. Seismol. Soc. Am., 84, p. 974-1002.
- 6. 林啟文、盧詩丁、陳文山 (2012). 臺灣 活動斷層分布圖 2012 年版說明書,經 濟部中央地質調查所特刊,第26號, 第1-30頁。
- 7. 高戰武、陳國星、周本剛、周慶、雷清 清 (2014). 新地震區劃圖地震構造區 劃分的原則和方法—以中國東部中强 地震活动區為例。震災防御技術,第 9 期,第 1 卷,第 1-11 頁。

# 地震災害潛勢圖資建置

葉錦勳1劉季宇2黃李暉3

#### 摘要

台灣主要的地震災害潛勢有地震動、斷層破裂引致的地表破壞、土壤液化和山崩等四種。本研究依據耐震設計規範,以回歸期 475 年之設計地震為標準,識別地震動災害潛勢之高低,繪製以耐震設計規範為基礎之地震動災害潛勢圖,以及該地震動下之土壤液化潛能指數(PL值)圖。另外,依據地調所 2012 年版臺灣活動斷層分布圖和其歷年坡地地質調查成果,建置活動斷層錯動引致地表變位的影響範圍和坡地災害潛勢圖,其中斷層錯動的影響範圍可分成跨越斷層和鄰近斷層兩種。透過與四種地震災害潛勢圖之套疊,可突顯不同工址各種地震災害潛勢之高低,分析各種地震災害潛勢風險。四種全台灣地區的地震災害潛勢圖屬初階精度,可應用於大範圍地區地震風險評估、擬訂都市計畫或進行都市防災規劃時的參考。

關鍵詞:地震災害潛勢圖、土壤液化潛勢圖、曝險分析

### 一、簡介

台灣地震常見的致災因子有地震動、 活動斷層錯動、土壤液化和坡地災害等四種,為突顯台灣地區四種地震災害可能發生的區域和分布情形,本研究分別繪製全台灣地區這四種地震災害的潛勢圖。工程上,欲對小範圍基地內的地質、環境情況進行了解,必需進行多處詳細的地質鑽探

以下依序說明本研究對於這些災害 潛勢的考慮方式、根據的資料來源、圖層 繪製的程序與結果。

### 二、地震動潛勢

常見的地震動參數有最大地表加速度 PGA、最大地表速度 PGV、長短週期的譜加速度等。自來水等地下管線受到地

<sup>1</sup>國家地震工程研究中心研究員兼任組長

<sup>2</sup>國家地震工程研究中心副研究員

<sup>3</sup>國家地震工程研究中心助理研究員

震動引致之地盤強制變形,此影響主要反映於管軸方向的管體應變,其值正比於最大地表速度。因此,不論是連續管線或分段管線的耐震設計(ALA, 2001b;日本水道協會,2009),或是耐震評估、災損推估(日本水道技術研究中心,2011)時,均直接以最大地表速度值作為地震動之災害潛勢。

評估土壤液化是否可能發生時,須整 合工程鑽孔資料,控制地震之地震規模與 相應之最大地表加速度,以及地下水位深 度等資料,計算工址之土壤液化潛能指 數,以為評估之依據。評估土壤液化潛能指 潛勢時,最大地表加速度 PGA 為不可缺 少考慮的因素。此外,地上工程結構物方 面,如建物、橋梁等最常參考的地震動指 標就是最大地表加速度 PGA。

綜合以上之討論,地震動災害潛勢圖,實有必要分別製作最大地表速度 PGV 與最大地表加速度 PGV 兩種指標的地震 動災害潛勢圖層,以下為詳細說明。

耐震設計規範研擬之初,須進行地震 危害度分析,根據工址周圍約200公里內 歷史地震之規模、震央、震源深度以及活 動斷層之地震潛勢(規模與發生率),再依 短週期及一秒週期水平譜加速度之衰減 律,分別繪製譜加速度之危害度曲線。以 選定之回歸期或超越機率,即可由危害度 曲線求得譜加速度參數。因此,以50年 10%超越機率之短週期水平譜加速度,設 定為設計地震之震區短週期水平譜加速 係數,以 $S_{c}^{D}$ 表示,乃為重力加速度 g 之 比值;以50年10%超越機率之一秒週期 水平譜加速度,設定為設計地震之震區一 秒週期水平譜加速係數 $S_i^D$ 。換言之,耐震 設計規範水平譜加速度係數的規定,即是 分析了地震動潛勢的高低而設定。

因此,本研究直接引用規範的規定,計算並繪製最大地表速度 PGV 與最大地表加速度 PGA 的分布圖,作為地震動的災害潛勢圖,供後續進行地震動災害潛勢、土壤液化潛勢等因子的分析。另外,

耐震設計規範歷經多次修訂,國家地震工 程研究中心目前正研擬新版規範的草案, 重新規定地震動設計地震力的有關參數, 但尚未發布。新版規範的草案對於各地區 的水平譜加速度規定略有調整,在近斷層 效應的考量上,則納入較多的活動斷層, 整體而言更為詳細且完整。因此,本研究 直接採用新版規範草案的規定。

關於最大地表速度 PGV 的訂定, AASHTO (American Association of State Highway and Transportation Officials, 2010)係用工址一秒週期水平加速度係數  $S_{D1}$ ,來估算最大地表速度 $V_{max}$  (單位為cm/s),其計算式函數為接近直線的曲線,可將計算方式可簡化為:

$$V_{max} = (0.885) \frac{9.81 S_{D1}}{2\pi} \tag{1}$$

至於最大地表加速度  $A_{max}$  的訂定,當結構為剛體,即其基本振動週期 T=0,結構之運動與地表同,設計地震之工址水平譜加速度  $S_{aD}$  ,即為設計地震之最大地表加速度。因此,當結構之基本振動週期為零時,其工址水平譜加速度為等效最大地表加速度 度 (effective peak ground acceleration, EPA):

$$EPA = \frac{S_{DS}}{2.05} \tag{2}$$

這裡,取 $A_{max}$ 之值為設計地震 EPA之值,乃重力加速度 g之比值。

依據新版規範草案,以新版規範草案的設計地震之等效最大地表加速度  $A_{max}^{(D)}$  及最大地表速度  $V_{max}^{(D)}$  繪製以村里為單元的地震動災害潛勢圖方式,彙整如下:

- (1) 由村里所屬之行政區,查規範表可得設計地震之震區短週期及一秒週期水平譜加速度係數 $S_S^D$ 及 $S_I^D$ 。
- (2) 根據村里別,由以村里方式劃分之近 斷層調整因子分布圖,可得設計地震

反應譜等加速度段及等速度段之近 斷層調整因子 $N_{A}^{(D)}$ 及 $N_{V}^{(D)}$ 。

- (3) 由第二類地盤(普通地盤)、 $S_S^{(D)} = N_A^{(D)} S_S^D \mathcal{B} S_I^{(D)} = N_V^{(D)} S_I^D$ ,查規範工址放大係數表,以線性內插方式,得設計地震反應譜等加速度段及等速度段之工址放大係數 $F_a^{(D)}$ 及 $F_a^{(D)}$ 。
- (4) 考慮近斷層效應和場址效應後,如下 兩式,  $S_{DS} = F_a^{(D)} S_S^{(D)} = F_a^{(D)} N_A^{(D)} S_S^D$  及  $S_{D1} = F_v^{(D)} S_V^{(D)} = F_v^{(D)} N_V^{(D)} S_I^D$ , 分別計 算設計地震之工址短週期及一秒週 期水平譜加速度係數 $S_{DS}$  及 $S_{DI}$ 。
- (5) 由式(3.4)計算設計地震之工址等效最大地表加速度 $A_{max}^{(D)}$ ,由式(3.3)計算設計地震之工址最大地表速度 $V_{max}^{(D)}$ 。

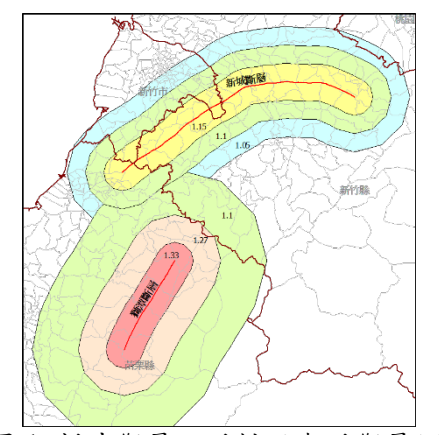


圖 1 新城斷層附近村里與近斷層調整 因子之不同劃分範圍

在臺北盆地內,受到盆地及其沖積層之影響,長週期之地盤效應明顯,故設計地震之工址短週期與中長週期的分界大於一秒。因此,設計地震之工址短週期以及一秒週期水平譜加速度係數,均取為 $S_{DS}$ ,其值不分臺北一、二或三區,均為0.6,不需要再乘上工址放大係數,但必要時須乘以近斷層調整因子。

最後,得到設計地震之地震動災害潛勢 PGV (單位 m/s)、PGA (單位 g)分布之 圖層,如圖 2 所示。

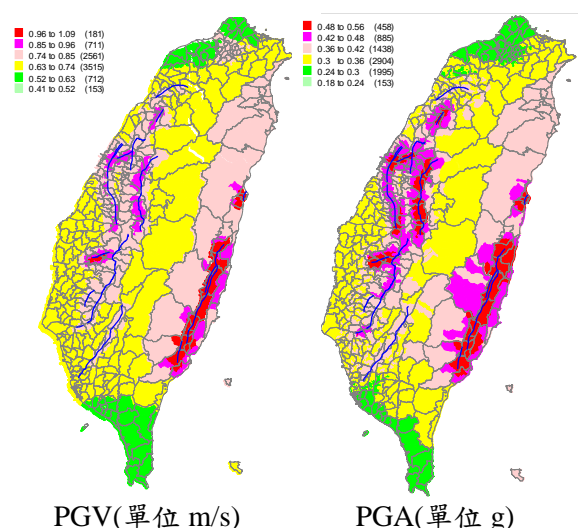
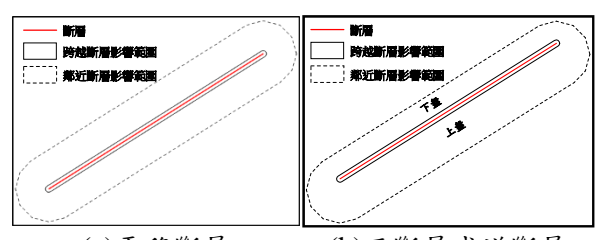


圖 2 設計地震之 PGA 地震動災害潛勢分布

#### 三、活動斷層潛勢圖



(a)平移斷層 (b)正斷層或逆斷層 圖 3 斷層錯動影響範圍示意圖

### 四、土壤液化

進行工址詳細的土壤液化潛勢評估時,通常需具備工址所在地之工程鑽孔資料,並配合工址設計地表加速度值與地環規模等資訊。然而,受限於現有工程鑽出資料不足、分布不均及資料品質不足質大範圍地區之高精度的人類,常無法獲得大範圍地區之資料。為克服工程鑽光資料不足,與分布不均的困難,有必要適當地配資料和分析模式,土壤液化敏感類別圖的應用即是主要的手段。

土壤液化敏感類別圖引用 Yeh, et al. (2015)的製作成果。主要依據經濟部中央地質調查所比例尺 1/50000 的地質圖和全國工程鑽孔資料庫、民國 101 年取得之內政部 5m×5m 沿海地區的數值地形圖、以及民國 104 年購自交通部運輸研究所之交通路網數值圖的河川流域分布圖等,以及新的液化敏感類別定義,製作台灣地區之土壤液化敏感類別圖,作為判識大範圍地區之液化潛勢高低的標準。

本研究考慮設計地震(回歸期 475 年) 之土壤液化災害潛勢,各工址之土壤液化 敏感類別可參考 Yeh, et al. (2015)微調土 壤液化敏感類別的分類標準後製作的全 國土壤液化敏感類別圖,地震規模可參考 新版規範草案所建議,用於進行土壤液化 評估的設計地震規模分區圖,最大地表加 速度則可參考圖 2 之設計地震 PGA 地震 動災害潛勢分布圖,至於地下水位深度, 統一假設為 1.5 m 並以之為預設值。

將以上資訊代入 Yeh, et al. (2015)的 研究中提出的液化潛能指數推估模式,最 後可以得到設計地震之土壤液化災害潛勢(液化潛能指數)分布,如圖 4 所示。進行土壤液化評估時,液化潛能指數通常以5 和 15 為分界點,小於 5 表示該鑽孔的液化機率極低,15 以上表示該鑽孔液化機率頗高,當介於 5 和 15 之間時則較不易判識。

進行大範圍地區的土壤液化潛勢評估時,可以液化潛能指數作為發生液化機率的參考;但應考量前述判識標準和資料品質的不確定性,避免高估土壤液化機率。

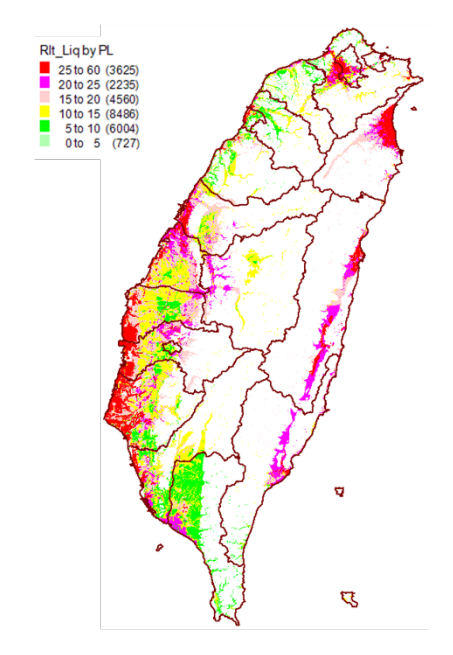


圖 4 設計地震之土壤液化災害潛勢 (液化潛能指數)圖

# 五、坡地災害

地調所自民國 92 年開始規劃全國性 山崩潛感圖製作,由李錫堤等人於 2005 年完成此規劃報告(經濟部中央地質調查 所,2005)。本研究向地調所申請取得山崩 潛感圖後,配合林務局由衛星影像辨識的 山崩歷史目錄圖資(於政府資料開放平台 下載),製作坡地災害敏感類別圖,辨識坡 地災害的潛勢。

山崩潛感圖主要顯示了容易發生岩 屑崩滑及落石的地點。進一步考慮岩性、 坡度及坡高等因子可有效區分墜落型山 崩與岩屑崩滑型山崩。岩屑崩滑潛感區原則上可以坡度 55 度做為門檻值,從山崩高潛感區中劃分出來。坡度小於 55 度時,容易發生岩屑崩滑。坡度大於 55 度時,容易發生落石。

一般而言,曾經發生過山崩的區域, 土石經過鬆動,再次發生的機會和潛勢較 高。因此,另外參考93年~104年的山崩 歷史目錄,該資料由林務局委託成功大學 以各年度全島福衛二號衛星影像自動進 行崩塌地識別。歷年曾發生過山崩的區域 和山崩潛感圖層套疊,重新計算斜坡單元 的崩壞比(山崩面積所占之比值),並定義 斜坡單元內之崩壞比大於等於 0.5 者為高 潛勢單元,介於 0.5 到 0.05 間為中潛勢單 元,而小於 0.05 者為低潛勢單元。與之前 山崩潛勢評估結果相較,取較高的潛勢值 為斜坡單元的坡地災害潛勢,高潛勢的斜 坡單元數量會微幅增加,中低潛勢的斜坡 單元數量則減少,所製作的坡地災害潛勢 圖較原本山崩潛感圖保守,製作成果展示 於圖 5。



圖 5 坡地災害潛勢圖

### 六、結論與展望

本研究製作的四種台灣地區地震災 害潛勢圖,可作為擬定都市防救災計畫之 參考,此外,可與建物、維生管線、鐵公 路橋梁或重要設施等資料套疊,識別各種標的之災害潛勢,篩檢出鄰近活動斷層、 土壤液化、山崩等高災害潛勢區之重要標 的,作曝險分析相關之運用。

### 參考文獻

- 1 李錫堤、潘國樑、林銘郎,2005,「山崩調查與危險度評估-山崩潛感分析之研究 (3/3)」,經濟部中央地質調查所報告,第94-18號,共268頁。
- 2 李錫堤、費立沅,(2011),「山崩災害分析與廣域製圖」,地工技術,第129期,第67-76頁。
- 3 林美聆等,2001,「全國液化潛能圖之 製作及評估方法之研究」,國家地震工 程研究中心研究報告,NCREE-01-017, 台北。
- 4 國家地震工程研究中心 2016,「建築物 耐震設計規範及解說」(修訂版草案)。
- 5 經濟部中央地質調查所,2008,「都會區及周緣坡地環境地質資料庫圖集說明書」,新北市。
- 6 葉錦勳,2002,「地震災害境況模擬方 法與應用軟體整合研究」,國家地震工 程研究中心,技術報告NCREE-02-009, 台北。